

جمهوری اسلامی ایران  
سازمان مدیریت و برنامه‌ریزی کشور

ضوابط و معیارهای طرح و اجرای سیلوهای بتنی  
مشخصات فنی عمومی و اجرایی سازه و  
معماری سیلو

نشریه شماره ۲۳۵-۱

معاونت امور فنی  
دفتر تدوین ضوابط و معیارهای فنی

۱۳۸۲

انتشارات سازمان مدیریت و برنامه‌ریزی کشور ۸۲/۰۰/۲۵

## فهرستبرگه

سازمان مدیریت و برنامه‌ریزی کشور. دفتر تدوین ضوابط و معیارهای فنی  
ضوابط و معیارهای طرح و اجرای سیلوهای بتن: مشخصات فنی عمومی و  
اجرایی سازه و معماری سیلو / معاونت امور فنی، دفتر تدوین ضوابط و معیارهای فنی.-  
تهران: سازمان مدیریت و برنامه‌ریزی کشور، معاونت امور پشتیبانی، مرکز مدارک علمی و  
انتشارات، ۱۳۸۲.

سیزده، ۲۱۰ ص: مصور.- (سازمان مدیریت و برنامه‌ریزی کشور. دفتر تدوین ضوابط و  
معیارهای فنی؛ نشریه شماره ۲۳۵-۱) (انتشارات سازمان مدیریت و برنامه‌ریزی کشور؛  
(۸۲/۰۰/۲۵

ISBN 964-425-423-6

مربوط به بخش‌نامه شماره ۱۰۱۱۵۶-۱۵۱۰۱ مورخ ۱۳۸۲/۲/۲

۱. سیلوها - استانداردها. ۲. سیلوها - طرح‌زو ساختمان - استانداردها. الف. سازمان مدیریت  
و برنامه‌ریزی کشور. مرکز مدارک علمی و انتشارات. ب. عنوان. ج. فروست.

۱۳۸۲ ش. ۱ ۲۵۳-۴۲۸/۳۶۸ TA

ISBN 964-425-423-6

شابک ۹۷۸-۴۲۵-۴۲۳-۶

## ضوابط و معیارهای طرح و اجرای سیلوهای بتن: مشخصات فنی عمومی و اجرایی سازه و معماری سیلو

تهیه کننده: معاونت امور فنی. دفتر تدوین ضوابط و معیارهای فنی  
ناشر: سازمان مدیریت و برنامه‌ریزی کشور. معاونت امور پشتیبانی. مرکز مدارک علمی و انتشارات  
چاپ اول: ۱۰۰۰ نسخه، ۱۳۸۲

قیمت: ۱۵۰۰۰ ریال

لیتوگرافی: قاسملو

چاپ و صحافی: چاپ زحل

همه حقوق برای ناشر محفوظ است.



بسمه تعالیٰ

ریاست جمهوری

سازمان مدیریت و برنامه‌ریزی کشور

دفتر رئیس سازمان

شماره :	۱۵۱۵۶-۱۰۱	بخشنامه به دستگاه‌های اجرایی، مشاوران و پیمانکاران
تاریخ :	۱۳۸۲/۲/۲	
<b>موضوع: خواص و معیارهای طرح و اجرای سیلوهای بتنی</b> <b>مشخصات فنی عمومی و اجرایی سازه و معماری سیلو</b>		
<p>به استناد آینین نامه استانداردهای اجرایی طرح‌های عمرانی موضوع ماده ۲۳ قانون برنامه و بودجه و در چهارچوب نظام فنی و اجرایی طرح‌های عمرانی کشور (مصوبه شماره ۲۴۵۲۵/ت ۱۴۸۹۸ ه، مورخ ۱۳۷۵/۴/۴ هیأت وزیران)، به پیوست نشریه شماره ۲۳۵-۱ دفتر تدوین خواص و معیارهای فنی این سازمان، با عنوان «<b>خواص و معیارهای طرح و اجرای سیلوهای بتنی، مشخصات فنی عمومی و اجرایی سازه و معماری سیلو</b>» از نوع گروه سوم، ابلاغ می‌گردد تا از تاریخ ۱۳۸۲/۳/۱ به اجرا درآید.</p> <p>دستگاه‌های اجرایی، مشاوران، پیمانکاران و عوامل دیگر می‌توانند از این نشریه به عنوان راهنمای استفاده نمایند و در صورتی که روش‌ها، دستورالعمل‌ها و راهنمای‌های بهتر در اختیار داشته باشند، رعایت مفاد این نشریه الزامی نیست.</p> <p>عوامل بادشده باید نسخه‌ای از دستورالعمل‌ها، روش‌ها یا راهنمای‌های جابگزین را برای دفتر تدوین خواص و معیارهای فنی این سازمان، ارسال دارند.</p> <p style="text-align: right;">محمد ستاری فر معاون رئیس جمهور و رئیس سازمان</p>		



## پیشگفتار

در کشور ما، آرد و نان مهمترین ماده غذایی در مراکز جمعیت، اعم از شهری یا روستایی است که طبیعاً مصرف آن رابطه مستقیمی با رشد جمعیت و افزایش درآمد و رونق اقتصادی جامعه داشته و با سطح درآمد خانوار رابطه معکوس دارد. کاهش قدرت خرید خانوار، سبب افزایش مصرف گندم به عنوان یک کالای اساسی و ماده غذایی واحد می‌گردد. از طرف دیگر مهاجرت بی‌رویه از مناطق روستایی به شهرها و اشاعه فرهنگ و الگوی مصرف حاکم بر جوامع شهری، به نحو قابل ملاحظه‌ای بر میزان تقاضای مواد غذایی، به ویژه گندم می‌افزاید. عوامل یادشده سبب می‌گردد آرد و نان به عنوان یک کالای راهبردی، در جامعه مطرح شده و تهیه، ذخیره‌سازی و توزیع به موقع آن اولویت بسیار بالایی را به خود اختصاص دهد.

ذخیره‌سازی گندم به روش‌های متعددی امکان‌پذیر است که متدالترین آنها عبارتند از :

۱- سیلوهای بتني قائم با مقطع دایره (استوانه‌ای) و چهارگوش (منشوری)

۲- سیلوهای فولادی با پوسته استوانه‌ای

۳- سیلوهای بتني با پوسته کروی

۴- سیلوهای افقی مسقف

۵- سیلوهای افقی غیرمسقف

ضرورت مکانیزه‌سازی، کاهش سطوح ذخیره‌سازی، بهداشت بهره‌برداری، و مسائل دیگری از قبیل انعطاف‌پذیری در انتخاب شکل و ابعاد لازم برای حصول ظرفیت مورد نیاز و ملاحظاتی از قبیل استحکام و افزایش عمر مفید سازه و تجهیزاتی که در داخل آنها استقرار می‌یابند، ساخت سیلوهای نوع ۱ را توجیه‌پذیر می‌نماید. بدیهی است در طراحی و ساخت تأسیساتی با این درجه اهمیت، باید از ضوابط و معیارهای فنی به نحو مطلوبی استفاده نمود. به خصوص که در سالهای اخیر این وظیفه مهم به متخصصان و مهندسان مجروب ایرانی محول گردیده که ضمن بهره‌گیری از معیارهای فنی و مهندسی، می‌باشد پارامترهای عمدۀ طراحی را با عنایت به ملاحظات ژئوتکنیکی، لرزه‌خیزی، زیست‌محیطی، اقلیمی و ... انتخاب نمایند که

ضمن رعایت جنبه‌های اقتصادی و اجتماعی، اطمینان کافی نسبت به عملکرد صحیح تأسیسات در طول عمر مفید آنها حاصل گردد.

در این نشریه، سعی شده است با توجه به تجربیات مفیدی که در سالهای اخیر در طراحی و اجرای سیلوهای بتی کسب گردیده است، معیارهای سازه‌ای و ضوابط طرح و اجرای سیلوهای بتی تدوین و در اختیار علاقمندان و مهندسان محاسب که در این زمینه تخصصی فعالیت می‌نمایند، قرار گیرد.

باتوجه به موارد یادشده و بر اساس ماده ۲۳ قانون برنامه و بودجه، دفتر تدوین ضوابط ومعیارهای فنی اقدام به تهیه این آیین‌نامه نموده است، به این امید که با افزایش آگاهی مهندسان، طراحان و مجریان در مرور طرح و اجرای سیلوهای بتی و رعایت ضوابط یادشده، شاهد اجرای مناسب‌تر باشیم.

معاونت امور فنی از آقای مهندس شاپور طاحونی به خاطر زحمات و کوشش‌های فراوان ایشان در تهیه و تدوین آیین‌نامه حاضر، قدردانی و تشکر می‌نماید. همچنین لازم است از اساتید محترم دانشکده مهندسی دانشگاه شیراز به ویژه آقایان دکتر زرین‌چنگ و دکتر سیدیان که در تهیه پیش‌نویس نشریه با این دفتر همکاری نموده‌اند، تشکر شود. از مدیرکل محترم دفتر تدوین ضوابط و معیارهای فنی، سرکارخانم «مهندس بهناز پورسید»، مدیرکل محترم دفتر امور فنی، جناب آقای مهندس سیداکبر هاشمی و آقایان مهندس میرمحمد ظفری و مهندس علی تبار که در تنظیم مطالب نشریه در راستای اهداف دفتر تلاش نموده‌اند، نیز سپاسگزاری می‌شود.

معاونت امور فنی توفیق روزافزوون این عزیزان را در خدمت به جامعه مهندسی کشور از درگاه ایزد منان مسئلت دارد.

## فهرست مندرجات

فصل ۱. کلیات ..... (۱ تا ۱۰)	
۱	۱ - معرفی
۶	۲ - مشخصات هندسی
فصل ۲. مبانی طراحی هندسی و مکان یابی سیلوها ..... (۱۱ تا ۲۶)	
۱۱	۱ - مجموعه تأسیسات ذخیره‌سازی
۱۶	۲ - معیارها و استانداردهای مکان یابی، طراحی و اجرای سیلوهای بتنی در ایران
۱۶	۲ - ۱ - مکان یابی سیلوها
۱۶	۲ - ۲ - جاده‌های اصلی و راه‌های دسترسی
۱۶	۲ - ۳ - خصوصیات ژئوتکنیکی ساختمگاه
۱۷	۲ - ۴ - دسترسی به آب
۱۷	۵ - دسترسی به برق دائمی و خطوط مخابراتی
۱۷	۶ - تأمین مصالح ساختمانی در محل
۱۷	۷ - تأمین ماشین‌آلات سنگین و پرسنل فنی
۱۷	۸ - ترافیک منطقه
۱۸	۹ - مطالعات هیدرولوژیکی و کلیماتولوژیکی منطقه
۱۸	۱۰ - سهولت صادرات و واردات
۱۸	۱۱ - سهولت توزیع گدم
۱۸	۱۲ - امکان توسعه آتی
۱۸	۱۳ - مالکیت زمین در محل سیلو
۱۸	۱۴ - هماهنگی با طرح جامع شهر با استان
۱۹	۱۵ - نکات متفرقه در انتخاب محل
۱۹	۱۶ - حفظ محیط زیست
۱۹	۲ - انتخاب طرح معماری و سازه‌ای
۲۰	۴ - تقسیم‌بندی سیلوها از نظر کاربری

هفت

## فصل ۳. مصالح بتن و فولاد

### قسمت الف: مصالح بتن

۲۷	۱-۱-۳ انتخاب و تأیید مصالح
۲۷	۱-۱-۳ ملاحظات طراحی
۲۷	۱-۱-۳ ویژگی های مصالح مصرفی
۲۸	۱-۱-۳ آزمایش های مصالح
۲۸	۱-۱-۳ سیمان
۲۹	۱-۱-۳ سنگدانه ها
۲۹	۱-۱-۳ مواد زیان آور در سنگدانه ها
۳۲	۱-۱-۳ آب
۳۴	۱-۱-۳ مواد افزودنی
۳۴	۱-۱-۳ تعریف
۳۴	۱-۱-۳ کلیات
۳۵	۱-۱-۳-۶-۳ افزودنی های شیمیایی
۳۷	۱-۱-۳-۶-۳ افزودنی های معدنی
۳۸	۱-۱-۳-۶-۳ مواد افزودنی متفرقه
۳۹	۱-۱-۳-۶-۳ اثمار کردن و نگهداری مصالح بتن
۳۹	۱-۱-۳-۶-۳ کنترل و بازرسی

### قسمت ب: فولاد

۴۱	۱-۱-۳ علائم اختصاری
۴۲	۱-۱-۳ کلیات
۴۲	۱-۱-۳ انواع فولاد
۴۲	۱-۱-۳-۱ روش تولید
۴۲	۱-۱-۳-۲ شکل رویه
۴۲	۱-۱-۳-۳ جوش پذیری
۴۳	۱-۱-۳-۴ شکل پذیری
۴۳	۱-۱-۳-۵ قطر اسمی
۴۴	۱-۱-۳-۶ مشخصات مکانیکی
۴۴	۱-۱-۳-۷ طبقه بندی میلگردها
۴۴	۱-۱-۳-۸ آزمایش ها
۴۵	۱-۱-۳-۹ نمونه برداری

۴۵	۱۳-۳ - تواتر نمونه برداری
۴۵	۱۳-۳ - ضوایت پذیرش میلگرد ها (یا فولاد)
۴۶	۱۴-۳ - تغییر شکل ها
۴۶	۱۴-۳ - نمودار تنش - تغییر شکل نسبی
۴۶	۱۴-۳ - مدول الاستیسیته
۴۶	۱۴-۳ - ضریب انبساط حرارتی
۴۶	۱۵-۳ - شکل پذیری
۴۶	۱۶-۳ - جوش پذیری
۴۷	۱۷-۳ - ابار کردن، نگهداری و کنترل فولاد

**فصل ۴. بارگذاری (۴۹ تا ۶۴)**

۴۹	۴ - ۱ - دامنه
۴۹	۴ - ۲ - بار مرده
۵۰	۴ - ۳ - بار زنده و ماشین آلات
۵۰	۴ - ۴ - فشار ناشی از مصالح ذخیره شده
۵۰	۴ - ۴ - ۱ - کلیات
۵۰	۴ - ۴ - ۲ - فشار مصالح در سیلو
۵۰	۴ - ۴ - ۳ - فشار مصالح در بونکرهای
۵۸	۴ - ۵ - بار برف
۵۹	۴ - ۶ - فشار باد
۶۱	۴ - ۷ - نیروی زلزله - روش استاتیکی معادل
۶۳	۴ - ۸ - آثار دما
۶۴	۴ - ۸ - ۱ - افزایش یا کاهش یکنواخت دما
۶۴	۴ - ۸ - ۲ - تابش یک طرفه آفتاب
۶۴	۴ - ۸ - ۳ - گرادیان حرارتی

**فصل ۵. تحلیل و طراحی (۶۵ تا ۹۶)**

۶۵	۵ - ۱ - معرفی
۶۵	۵ - ۲ - تحلیل
۶۵	۵ - ۳ - تحلیل دستی
۶۵	۵ - ۳ - ۱ - سیلوها با مقطع دایره (سیلوی گرد):
۶۹	۵ - ۳ - ۲ - سیلوها با مقطع مربع مستطیل و چندضلعی

۶۹	۳-۳-۵ خمشن جدار به علت گردادیان حرارتی
۷۱	۴-۳-۵ خمشن داخل صفحه دیوارها
۷۲	۵-۳-۵ فولادهای قائم در جدار سیلوها
۷۲	۶-۳-۵ کف و قیف سیلو
۸۰	۷-۳-۵ پایه‌های سیلو
۸۰	۸-۳-۵ شالوده سیلو
۸۴	۴-۴ تحلیل رایانه‌ای
۸۵	۵-۵ طراحی
۸۵	۱-۵-۵ مقدمه
۸۵	۲-۵-۵ ضرایب و ترکیبات بار
۸۶	۳-۵-۵ ضرایب جزئی اینمنی
۸۶	۴-۵-۵ طراحی برای خمشن تنها
۸۷	۵-۵-۵ طراحی برای کشش تنها
۸۷	۶-۵-۵ طراحی برای اثر تأثیر کشش محوری و لنگر خمینی
۹۰	۷-۵-۵ طراحی برای برش
۹۰	۸-۵-۵ کنترل عرض ترک
۹۱	۹-۵-۵ ضخامت حداقل در جداره‌های سیلوهای گرد
۹۲	۱۰-۵-۵ تنش فشاری حداکثر بتن در پای جداره سیلو
۹۳	۱۱-۵-۵ خمشن مقاطع بتن مسلح دایره با جدار نازک
۹۴	۱۲-۵-۵ طراحی برای خمشن ناشی از گرادیان حرارتی
۹۶	۱۳-۵-۵ جزئیات متفرقه

۱۰۳	۱-۶ معرفی
۱۰۳	۲-۶ ضوابط عمومی قالب‌های لغزنده
۱۰۵	۳-۶ نمای سطح بتن
۱۰۵	۴-۶ اجزای قالب لغزنده
۱۰۸	۵-۶ بارگذاری
۱۰۸	۱-۵-۶ بارهای قائم
۱۰۸	۲-۵-۶ فشار جانبی
۱۰۸	۳-۵-۶ رواداری‌های کار تمام شده
۱۰۹	۶-۶ سیستم جک

۱۱۱	۶-۷ ملاحظات اجرایی
۱۱۲	۶-۸ روش تراز کردن قالب
۱۱۳	۶-۹ حمل مصالح
۱۱۴	۶-۱۰ الغزش قالب
۱۱۵	۶-۱۱ جزئیات بازشوها

## فصل ۷. سیلوهای پیش ساخته بتنی (۱۱۷ تا ۱۲۸)

۱۱۷	۷-۱ معرفی
۱۲۲	۷-۱ فهرست علایم
۱۲۲	۷-۲ دامنه
۱۲۲	۷-۳ پوشش
۱۲۳	۷-۴ رواداری های نصب
۱۲۳	۷-۴-۱ انتقال محور سیلو یا دوران درزهای قائم
۱۲۳	۷-۴-۲ شکم دادن دیواره سیلو
۱۲۳	۷-۴-۳ قطر داخلی سیلو
۱۲۳	۷-۴-۴ حلقه ها
۱۲۳	۷-۵ طراحی دیوار
۱۲۳	۷-۵-۱ بارها، فشار طرح، و نیروها
۱۲۳	۷-۵-۲ ضخامت دیوار
۱۲۵	۷-۵-۳ خمش حلقوی
۱۲۶۵	۷-۵-۴ فشار و کمانش
۱۲۶	۷-۵-۵ کشن و برش
۱۲۶	۷-۵-۶ بازشو در دیوار
۱۲۷	۷-۶ حلقه های کششی
۱۲۷	۷-۶-۱ اندازه فاصله
۱۲۷	۷-۶-۲ قطر مؤثر حلقه ها
۱۲۷	۷-۶-۳ پیش کشیدگی
۱۲۷	۷-۶ آزمایش مقاومت فشاری قطعات پیش ساخته

## فصل ۸. سیلوهای بتنی پس کشیده (۱۲۹ تا ۱۴۰)

۱۲۹	۸-۱ فهرست علایم
۱۲۹	۸-۲ دامنه

۱۳۰	۳ - ۸ سیستم پسکشیدگی
۱۳۰	۴ - ۸ سیستم تاندون
۱۳۲	۵ - ۸ تاندون‌های چسبیده
۱۳۳	۶ - ۸ تاندون‌های نچسبیده
۱۳۴	۷ - ۸ غلاف‌های پسکشیدگی
۱۳۴	۸ - ۸ سیستم‌های دوربین
۱۳۵	۹ - ۸ جزیيات و استقرار آرماتورهای معمولی
۱۳۵	۱۰ - ۸ بازشوی دیوارها
۱۳۶	۱۱ - ۸ ثبت تنش‌های پیش‌تنیدگی
۱۳۶	۱۲ - ۸ طراحی
۱۳۸	۷ - ۱۲ - ۸ آرماتورهای معمولی
۱۳۸	۹ - ۱۲ - ۸ اتلاف‌های پیش‌تنیدگی
۱۳۸	۱۳ - ۸ برش و خمش نوارهای قائم به علت پسکشیدگی
۱۴۰	۱۴ - ۸ رواداری‌ها

#### **فصل ۹. ضوابط نگهداری سیلوهای غلات (۱۴۱ تا ۱۴۴)**

۱۴۱	۱ - ۹ معرفی
۱۴۱	۲ - ۹ عوامل خطرساز در سیلو
۱۴۲	۳ - ۹ آفات ابارداری
۱۴۲	۴ - ۹ حمله حشرات
۱۴۲	۵ - ۹ دما
۱۴۲	۶ - ۹ سکون هوا
۱۴۲	۷ - ۹ افزایش رطوبت
۱۴۳	۸ - ۹ تشکیل لایه‌های پودر و پوسته
۱۴۳	۹ - ۹ عوامل جرقه‌زا
۱۴۳	۱۰ - ۹ خرابکاری

#### **فصل ۱۰. مثال طراحی سیلو به عنوان راهنمای استفاده از آینن نامه (۱۴۵ تا ۱۶۴)**

۱۴۵	معرفی
۱۴۹	طراحی میلگردهای حلقوی
۱۵۰	انتخاب ضخامت پوسته
۱۵۳	محاسبات نیروی زلزله

۱۵۶	طراحی میلگردهای قائم برای خمث و برش ناشی از...
۱۵۶	طراحی میلگرد قائم در تراز $y' = 22\text{ m}$
۱۵۸	خمث پوسته
۱۵۸	کنترل برای خمث و برش به علت نیروهای زلزله (ناحیه زیر دال بتني $(26/5 < y' < 22)$ )
۱۶۱	طراحی کف سیلو
۱۶۳	طراحی شالوده
۱۶۴	فهرست منابع
(۲۰۲ تا ۱۶۵) ..... ۱۶۵	<b>پیوست - جداول ضرایب تحلیلی دال‌ها</b>
۱۶۶	جدوال دال‌های دو طرفه
۱۶۸	جدول دال‌ها با چهار لبه متکی
۱۹۰	جدول دال‌ها با سه لبه متکی
۲۰۳ ..... ۲۰۳	<b>واژه‌نامه انگلیسی به فارسی</b>
۲۰۵ ..... ۲۰۵	<b>واژه‌نامه فارسی به انگلیسی</b>
۲۰۷ ..... ۲۰۷	نمایه



# فصل ۱

## کلیات

### ۱-۱ معرفی

سیلو<sup>۱</sup> انباره ایستاده‌ای است که از آن برای ذخیره مصالح دانه‌ای استفاده می‌شود. در صورتی که ارتفاع سیلو کوچک باشد، اصطلاحاً به آن بونکر<sup>۲</sup> گفته می‌شود. در شکل ۱ - ۱ انواع بونکر و در شکل ۲ - ۱ انواع سیلو نشان داده شده است. سیلوها همانند شکل ۱ - ۲ می‌توانند به صورت تک و یا همانند شکل ۱ - ۳ به صورت گروهی ساخته شوند. در حالت اخیر کارآبی سیلوها در هنگام بهره‌برداری افزایش می‌یابد. در حالت گروهی، مجموعه ممکن است به صورت یکپارچه و یا با درز انبساط در حد فاصل سیلوها ساخته شود. در اشکال ۱ - ۴ تا ۱ - ۷ مثال‌هایی از نمونه‌های واقعی نشان داده شده است.

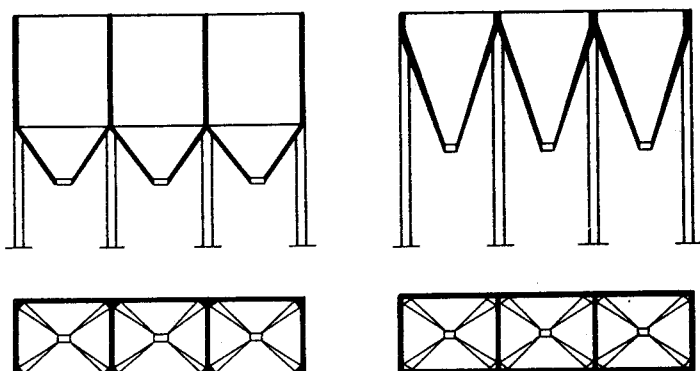
جنسن<sup>۳</sup> در سال ۱۸۹۵ اولین کسی بود که روابط فشار جانبی ناشی از مواد دانه‌ای انبار شده در داخل سیلو را در حالت استاتیکی تدوین نمود. از روابط جنسن برای طراحی سیلوهای متعددی استفاده شده که نتایج حاصل از آن رضایت‌بخش نیز بوده است. امروزه معلوم شده است که در هنگام پر و یا خالی کردن، فشار جانبی از مقادیر بدست آمده از روابط جنسن تجاوز می‌کند. حال چرا سیلوهای طراحی شده توسط روش جنسن منجر به نتایج رضایت‌بخشی شده است، باید به حساب ضرایب اطمینان نسبتاً بزرگی که در آینه نامه‌های طراحی قدیمی استفاده می‌شد، قرار داده شود. پاپر<sup>۴</sup> برای اولین بار رفتار مواد دانه‌ای را در هنگام خالی شدن سیلو مورد بررسی قرار داد. او همانند شکل ۱ - ۸ مصالح داخل سیلو را در هنگام خالی شدن به سه ناحیه تقسیم کرد. در ناحیه ۳ مصالح انبار شده احتمالاً به صورت یک توده حرکت می‌کنند، اگر چه در هر مقطع ممکن است

1- Silo

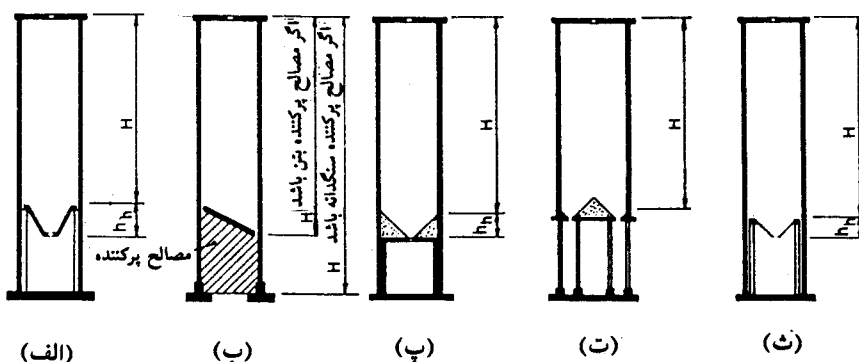
2- Bunker

3- Jannsen

4- Pieper



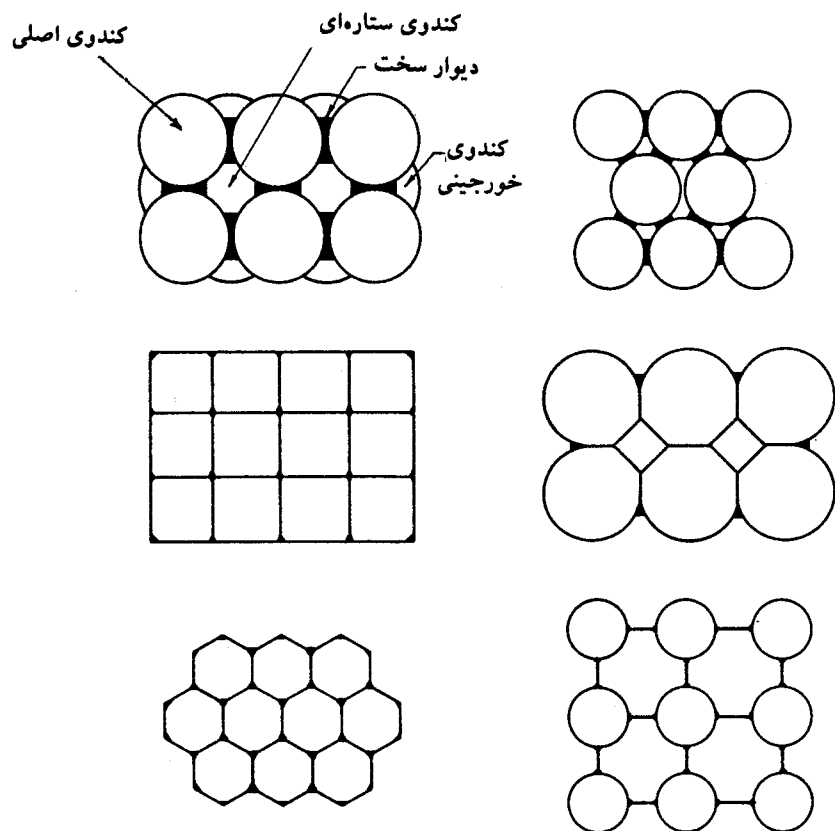
شکل ۱ - ۱ انواع بونکر.



- (الف) سیلو روی شالوده یکپارچه (رادیه). قیف کف سیلو به طور مستقل روی پایه هایی قرار دارد که این پایه ها به جداره سیلو متصل هستند.
- (ب) سیلو روی شالوده نواری. کف سیلو مستقل بوده و روی مصالح پرکننده متکی است.
- (پ) سیلو با کف تخت متکی بر جداره سیلو با ضخامت افزایش یافته. قیف انتهایی توسط مصالح پرکننده ایجاد شده است.
- (ت) سیلو با بازشو های متعدد و کف تخت متکی بر ستون و قیف ایجاد شده به وسیله مصالح پرکننده و شالوده یکپارچه (رادیه).
- (ث) سیلو با شالوده یکپارچه با کف قیفی متکی بر آتیر حلقوی که این تیر نیز به نوبه خود متکی بر ستون های مستقل می باشد.

شکل ۱ - ۲ انواع سیلو.

سرعت تمام نقاط یکسان نباشد. در ناحیه ۲، جریان قیفی<sup>۵</sup> شکل می گیرد. جریان قیفی سدی در مقابل جریان تردهای ناحیه ۳ می باشد و در نتیجه آن گنبدهایی در ناحیه A در حد فاصل نواحی ۳

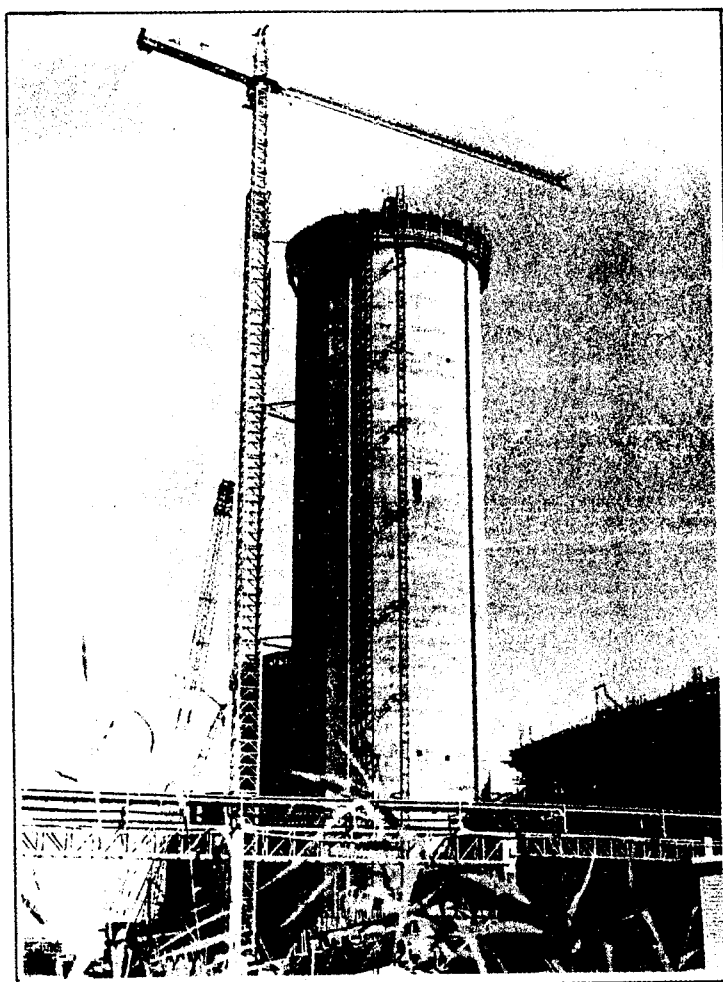


شکل ۱ - ۳ سیلوها در حالت گروهی.

و ۲ شکل می‌گیرد که باعث افزایش فشار جانبی در این ناحیه می‌شود. در واقع در ناحیه A بزرگترین فشارهای جانبی تولید می‌گردد. در ناحیه ۱، جریان قیفی، شکل متمایزتری به خود می‌گیرد و در آن سرعت در توده زیر مخروط قیفی کاملاً صفر است.

در ناحیه B قوس‌هایی تشکیل می‌شود که عمر آن کوتاه است و در هنگام شکستن ایجاد شکهایی می‌کند که نتیجه آن، ایجاد ضربات چکشی می‌باشد.

میزان شکل‌گیری جریان‌های توده‌ای و قیفی بستگی به شیب کف ته سیلو (قیف سیلو) دارد. در صورتی که زاویه شیب بزرگ باشد  $\alpha > 70^\circ$ ، جریان توده‌ای بزرگتر خواهد بود، در صورتی که کف‌های تخت و کم شیب شرایط جریان قیفی را تقویت می‌نمایند.  $\alpha$  در شکل ۱ - ۰ نشان داده شده است.



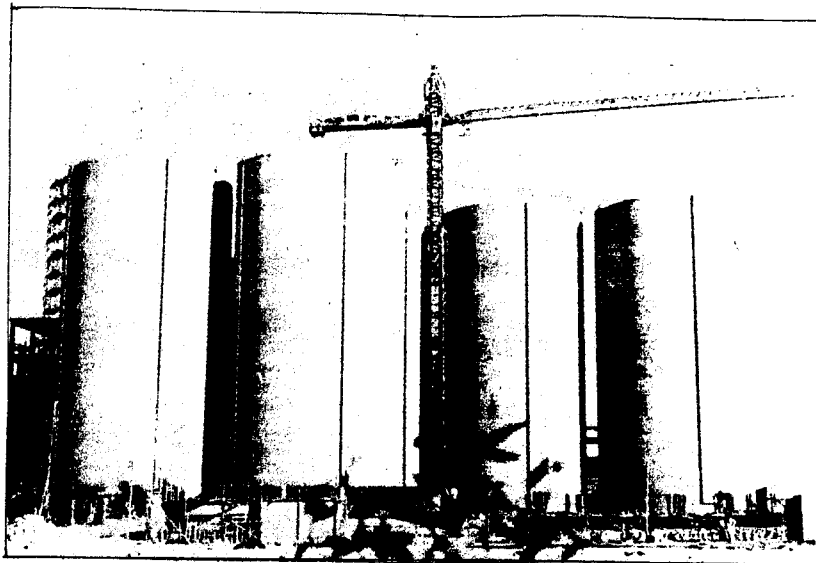
شکل ۱ - ۴ سیلوی نک.

#### اختلاف بین سیلو و بونکر

به علت اختلافاتی که در خصوص فشار جانبی مصالح انبار شده در سیلو و بونکر وجود دارد، لازم است طراح به طریقی آن دو را از یکدیگر تمییز دهد. در این مورد روش های زیر پیشنهاد شده است:

#### روش دیشینگر

در صورتی که  $H > 1/\sqrt{A}$  باشد، طرح مورد نظر سیلو می باشد. H ارتفاع طبق شکل ۱ - ۲ و A سطح مقطع می باشد.



شکل ۱ - ۵ سیلو به صورت گروهی - کندوها مجزا از یکدیگر هستند.

### روش آبین نامه شوروی

اگر روابط زیر برقرار باشد، طرح مورد نظر سیلو می‌باشد.

$H > 1/5D$  ..... (برای سیلوهای گرد)

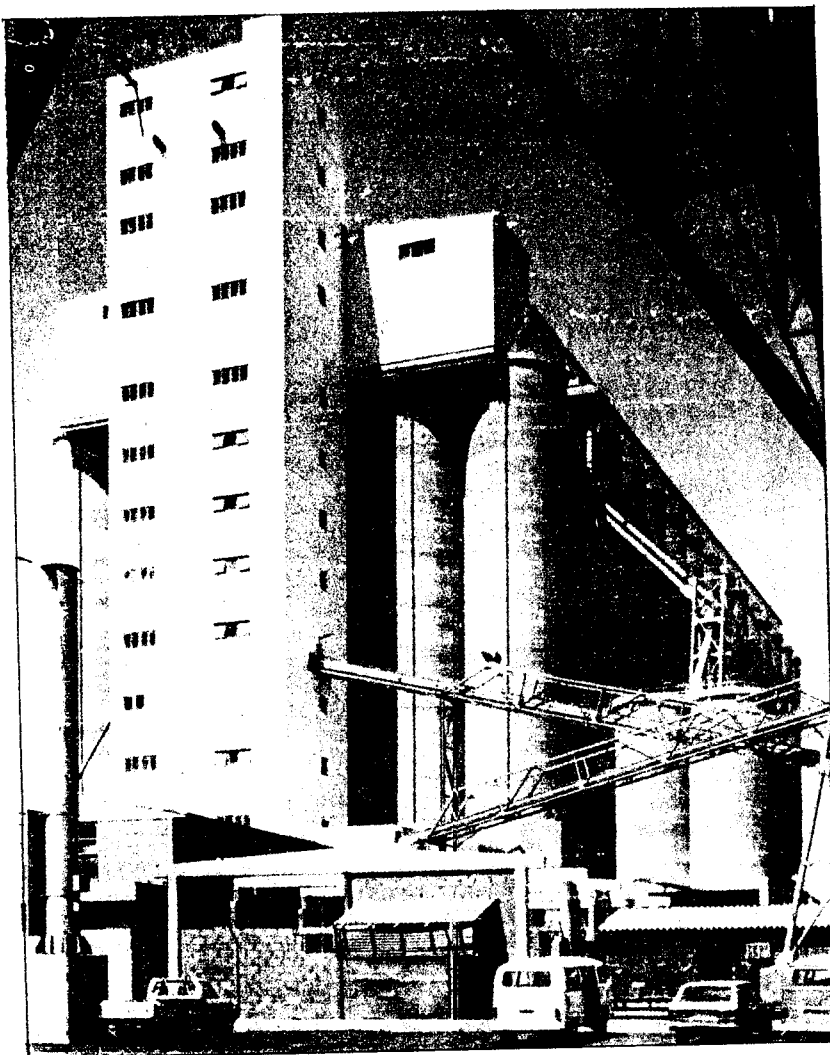
$H > 1/5a$  ..... (برای سیلوهای مستطیل)

D قطر و a ضلع کوچک مقطع است.

### روش ترسیمی

در این حالت از گوشه پایین سیلو خط گسیختگی کولمب با زاویه  $45 + \rho/2$  ( $\rho$  زاویه اصطکاک داخلی مصالح ذخیره شده است) نسبت بهافق رسم می‌شود (شکل ۱ - ۹ - الف). اگر این حفظ تراز فوقانی مصالح را قطع نماید، طرح مورد نظر بونکر و اگر دیوار را قطع کند، طرح مورد نظر سیلو می‌باشد.

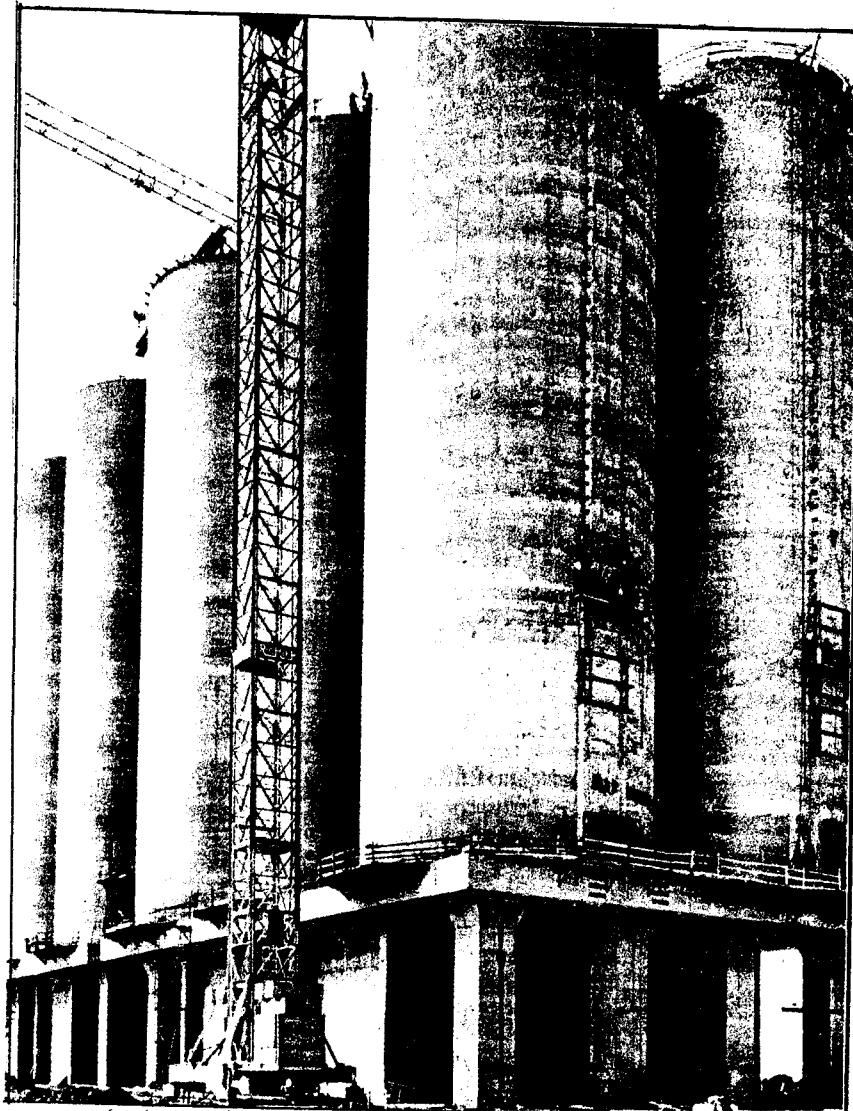
در مورد سیلوهایی که کف آنها به صورت قیفی است، این اختلاف نظر وجود دارد که خط گسیختگی از نقطه C رسم شود یا D (شکل ۱۰ - ۹ - ب).



شکل ۱ - ۶ سیلو به صورت گروهی - کندوها در گروه‌های کوچکتر به صورت یکپارچه عمل می‌نمایند.

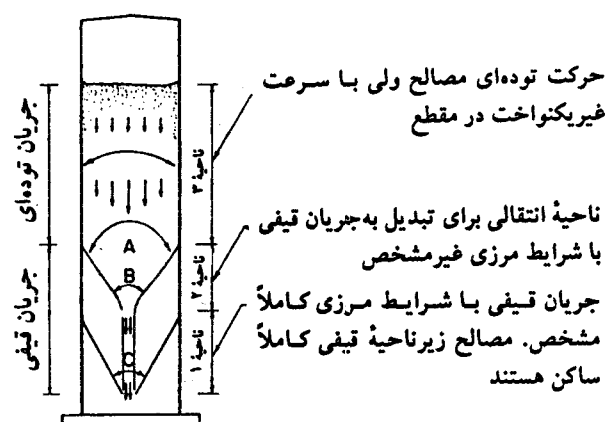
## ۱-۲ مشخصات هندسی

در جدول ۱-۱ مشخصات هندسی مقاطع مختلف که در مسائل مربوطه به سیلو مورد استفاده قرار می‌گیرند، ارائه شده است.

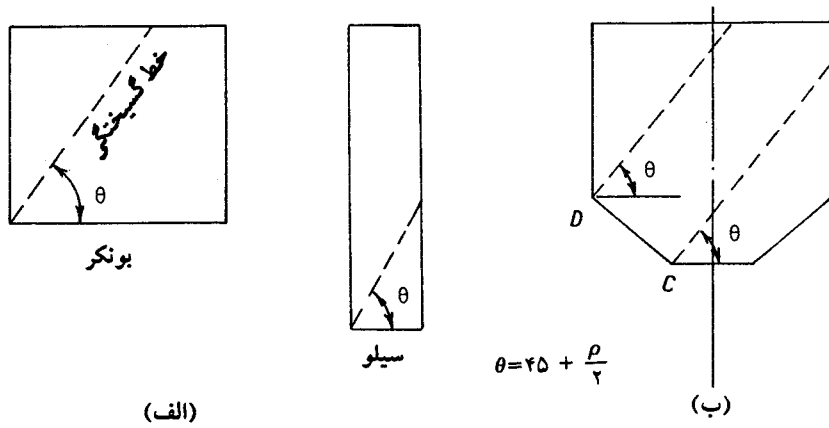


شکل ۱ - ۷ سیلوها به صورت گروهی مستقر در روی پایه - کندوها مجزا از یکدیگر هستند.

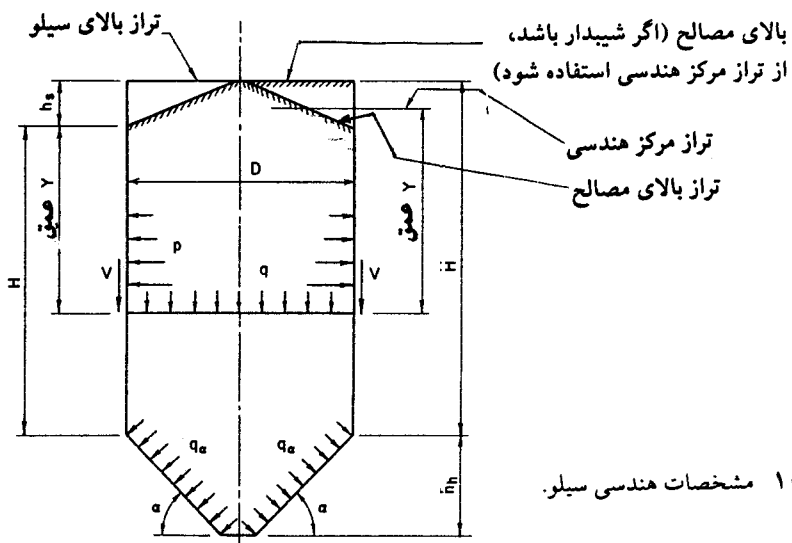
آین‌نامه طراحی سیلوهای بتن‌آرمه ۸



شکل ۱ - ۸ طرح خطوط جریان در هنگام خالی شدن سیلو.



شکل ۱ - ۹



شکل ۱ - ۱۰ مشخصات هندسی سیلو.

جدول ۱ - ۱ خواص هندسی مقاطع

مقاطع	A مساحت	L محیط	Rشعاع هیدرولیکی
دایره	$\frac{\pi}{4} D^2$	$\pi D$	$\frac{D}{4}$
قطعه	$\frac{\alpha D^2}{\lambda}$	$(\frac{\alpha}{4} + 1)D$	$\frac{D/4}{1+2/\alpha}$
	$0.0021\lambda\alpha D^2$	$(0.008\lambda\alpha + 1)D$	$\frac{D/4}{1+14/6/\alpha}$
چندضلعی	$\frac{ND^2}{\lambda} \sin \frac{2\pi}{N}$	$ND \sin \frac{\pi}{N}$	$\frac{D}{4} \cos \frac{\pi}{N}$
	$\frac{ND^2}{\lambda} \cot \frac{\pi}{N}$	$Na$	$\frac{a}{4} \cot \frac{\pi}{N}$
مستطیل	$ab$	$2(a+b)$	$\frac{ab}{2(a+b)}$ ، (ضلع بزرگ) $\frac{a}{2}$ ، (ضلع کوچک)
مستطیل بلند	--	--	$\frac{a}{2}$
حلقه	$\frac{\pi}{4} (D_e^2 - D_i^2)$	$\pi(D_e + D_i)$	$\frac{(D_e - D_i)}{4}$
کندوی سقاره‌ای	$(1 - \frac{\pi}{4})D^2$	$\pi D$	$\frac{a}{4} = 0.104D$



## فصل ۲

### مبانی طراحی هندسی و مکان‌یابی سیلوها

#### ۱-۲ مجموعه تأسیسات ذخیره‌سازی

تأسیسات ذخیره‌سازی عموماً از ترکیب عناصر سازه‌ای متعددی حاصل می‌گردد که هر کدام از آنها، از زمان ورود غله به محوطه سیلو تا خروج کامل آن به نحوی وارد عمل گردیده و در مراحل مختلف بهره‌برداری وظیفه مشخصی را به عهده می‌گیرند. این عناصر عمدتاً به عنوان سازه‌های اصلی تلقی گردیده و تعداد بسیار محدودی از آنها جزء ساختمان‌های جنبی محسوب می‌گردند. سازه‌های اصلی عبارتند از (اشکال ۱ - ۲ - ۳ - ۴):

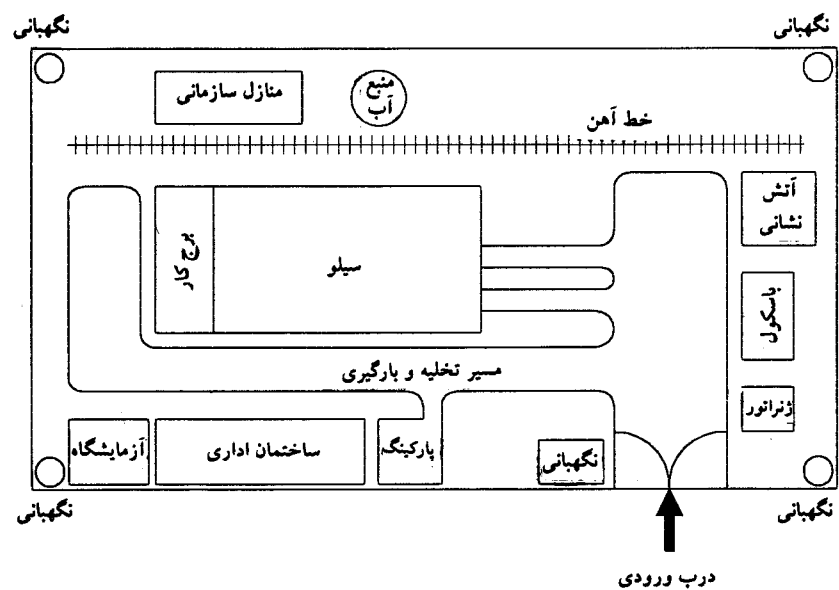
- ۱ - کندوها و قیف داخل آنها (هوایی یا زمینی) که محل ورود غله می‌باشد. در بعضی موارد از فضای موجود بین کندوها (موسوم به ستاره‌ای) نیز برای ذخیره غله و در نتیجه افزایش ظرفیت ذخیره‌سازی استفاده می‌شود.
- ۲ - گالری زیر کندوها که رابط بین کندوها و ساختمان بر جکار می‌باشد.
- ۳ - چاله تخلیه و پوشش آن، که کامیون یا واگن حامل غله، محمولة خود را در چاله مذبور تخلیه نموده و از آنجا به کمک سیستم‌های انتقال مناسب به بالابرها منتقل می‌شود.
- ۴ - ساختمان بر جکار که محل استقرار ماشین‌آلات بوده و عملیات مربوط به الک کردن، بو جاری، توزین و... در داخل آن صورت می‌گیرد.
- ۵ - سایه‌بان مستقر در سقف کندوها که ماشین‌آلات مورد نیاز برای توزیع غله در داخل کندوها مختلف در داخل آن نصب می‌شوند.
- ۶ - ساختمان صادرات که برای بارگیری غله ذخیره شده و تحويل آنها به شبکه حمل و نقل شهری مورد استفاده قرار می‌گیرند.
- ۷ - ساختمان‌های جنبی معمولاً نسبت به سازه‌های فوق از درجه اهمیت کمتری برخوردار هستند

و در اجرای آنها می‌توان از همان ضوابط و مشخصات موجود برای ساختمان‌های تجاری یا اداری یا مسکونی استفاده نمود. این ساختمان‌ها عبارتند از: ساختمان نگهداری و حراست، ساختمان‌های محل سکونت کارکنان سیلو، ساختمان‌های اداری برای پرسنل مستقر در سیلو، انبارها، کارگاه‌های برقی و مکانیکی، تأسیسات برق اضطراری، موتورخانه، مخازن آب زمینی و هوایی، پست برق و ترانسفورماتور، جاده‌های دسترسی در داخل و خارج از محوطه سیلو و بالاخره محوطه‌سازی و سیستم‌های زهکش و تخلیه آب‌های سطحی (شکل ۲-۱).

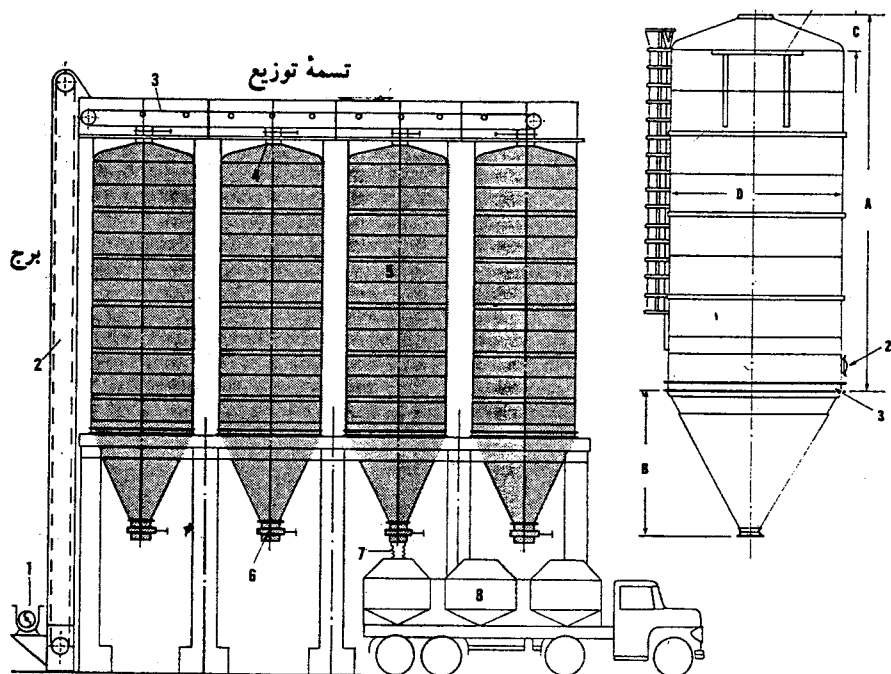
همان‌گونه که قبلاً نیز بیان گردید در طراحی ساختمان‌های فوق می‌توان از معیارهای مربوط به ساختمان‌ها و اینبینه فنی و صنعتی که توسط سازمان‌های ذیصلاح تهیه و منتشر گردیده است استفاده نمود. لیکن طرح و محاسبه ساختمان‌های اصلی باید به گونه‌ای صورت پذیرد که پارامترهای طراحی و مشخصه، عواملی نظیر تفاوت‌های برق‌تاری اجزای متشکله این نوع تأسیسات با سایر ساختمان‌های صنعتی را به خوبی منعکس نماید. پارامترهایی نظیر تعدد و تکرار بارگذاری و باربرداری فونداسیون‌ها، افزایش تدریجی دما به واسطه انباشته شدن غله در داخل کندو و احتمال بروز انفجار، امکان نشست غیریکنواخت و غیرهمگن در فونداسیون‌ها و اختلال در عملکرد منظم ماشین‌آلات که در ساختمان‌های مختلف نصب گردیده‌اند و بالاخره امکان برخورد ساختمان‌هایی با ارتفاع بیش از ۵۰ متر (کندوها و برجکار) و خرالی ناشی از ضربه واردہ بر آنها، همه از جمله عواملی هستند که این نوع ساختمان‌ها را کاملاً از سازه‌های مشابه متمايز می‌نمایند و لذا ضرورت تدوین مقررات خاص و ارایه پیشنهادات طراحی مناسب بیش از هر زمان دیگری احساس می‌گردد.

نکات عمده‌ای که به لحاظ سازه‌ای از اهمیت ویژه‌ای برخوردار بوده و به ذکر آنها پرداخته می‌شود عبارتند از:

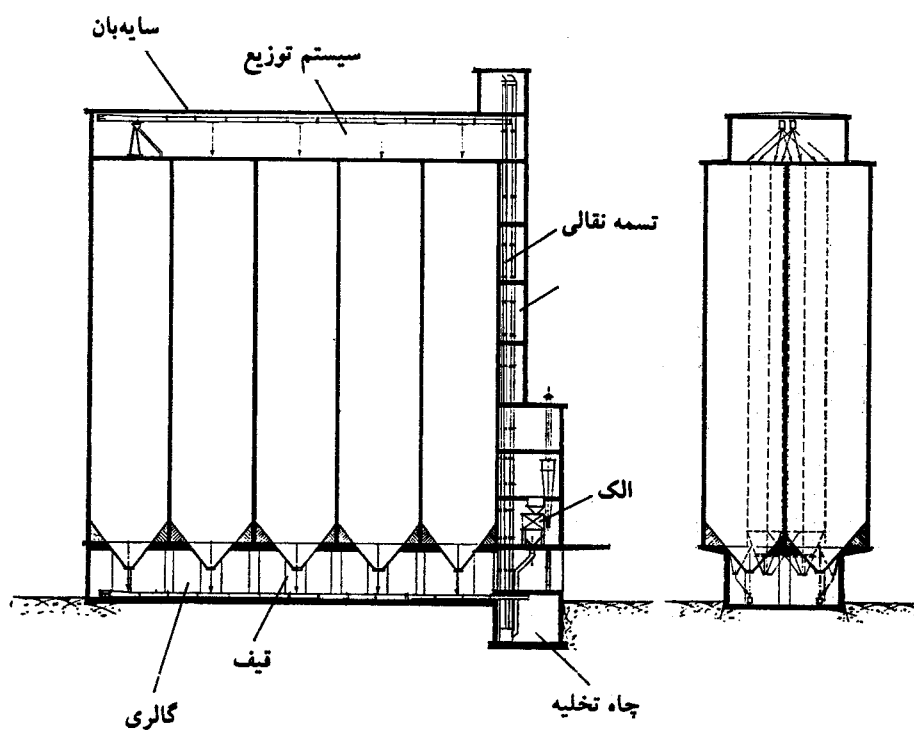
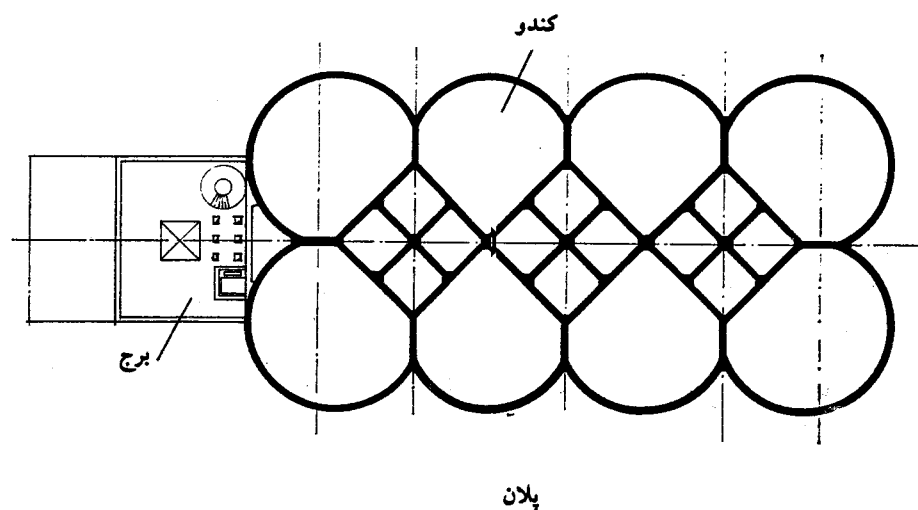
- ۱ - ملاحظات مربوط به انتخاب محل مناسب برای احداث سیلو (مکان‌یابی).
- ۲ - تهیه طرح معماری مناسب که بتواند کلیه نیازها و اهداف اصلی طرح را برآورده نموده و تداخل قسمت‌های مختلف را به حداقل میزان ممکنه برساند.
- ۳ - مطالعه منابع نیرویی مختلف با منشاً ژئوفیزیکی یا مصنوعی که به‌نحوی در مقاطع مختلف سازه‌ها، ایجاد تنش یا تغییر شکل می‌نماید. تشخیص انواع بارهای واردہ در طول عمر مفید تأسیسات، نحوه ترکیب آنها و مشخص نمودن مقاطع که حالت بحرانی داشته و در نهایت کنترل‌کننده پارامترهای انتخاب شده برای طراحی می‌باشد.
- ۴ - استفاده از آین‌نامه‌ها و دستورالعمل‌های معتبر و شناخته شده برای آنالیز تنش ناشی از بارگذاری‌های مذکور در بند ۳. در این زمینه سعی می‌شود ضمن معرفی روش‌های تحلیل و



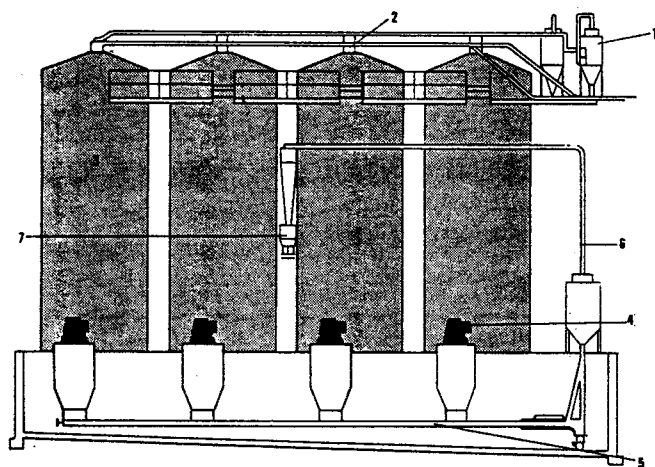
شکل ۲ - ۱ پلان محوطه سیلو (حداقل ۵ هکتار، حداکثر ۳۰ هکتار).



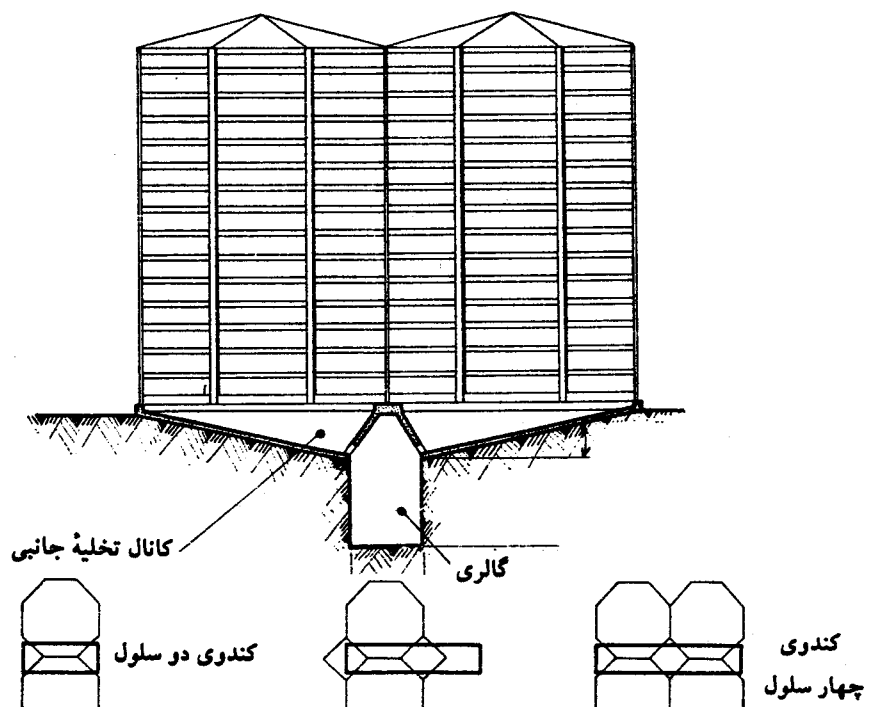
شکل ۲ - ۲ سیستم تخلیه از زیر.



شکل ۲ - ۳. پلان، مقطع طولی و عرضی سیلو.



شکل ۲ - ۴ سیستم تخلیه از زیر به کمک نسمه نقاله.



شکل ۲ - ۵ سیستم تخلیه توسط گالری مرکزی.

مدل‌های سازه‌ای مناسب، ترم افزارهای موجود در طراحی قسمت‌های مختلف سیلو نیز معرفی شوند.

## ۲ - ۲ معیارها و استانداردهای مکان‌یابی، طراحی و اجرای سیلوهای بتنی در ایران

### ۲ - ۲ - ۱ مکان‌یابی سیلوها

نکاتی که در مکان‌یابی یک سیلوی غله با ظرفیت بالا باید مورد توجه قرار گیرد به اختصار به شرح زیر است:

### ۲ - ۲ - ۲ جاده‌های اصلی و راه‌های دسترسی

شبکه‌های حمل و نقل اصلی و راه‌های اسفالته تا نزدیکی محل احداث سیلو، قبل احداث گردیده باشد. محل سیلو حتی الامکان به شبکه راه‌آهن که ارزانترین وسیله انتقال کالاست نزدیک باشد. کلیه پل‌ها و ابینیه فنی که در مسیر کامیون‌های حامل غله به محل سیلو قرار می‌گیرند از مقاومت کافی برخوردار باشند.

### ۲ - ۲ - ۳ خصوصیات ژئوتکنیکی ساختگاه

زمین محل احداث سیلو باید فشارهای وارد در مرحله بهره‌برداری را به خوبی تحمل نماید. انتخاب ساختگاه در مکان‌هایی که لایه‌های سست بستر سنگی بر روی هم قرار گرفته باشند مجاز نیست. در محل مورد نظر، می‌باشد زمین نسبتاً هموار باشد. وجود پستی و بلندی‌های زیاد، هزینه تسطیح و خاکبرداری و خاکریزی قابل ملاحظه‌ای به پروژه تحمیل می‌کند. خاک محل باید همگن باشد. وجود املاح و ترکیبات شیمیایی نظیر کلرورها و سولفات‌ها جزو عوامل نامطلوب بوده و از انتخاب محل در مجاورت گنبدهای نمکی و زمین‌های شوره‌زار باید اجتناب گردد. سفره آب‌های زیرزمینی نباید نزدیک به سطح زمین باشد تا خطر روانگرایی بهنگام وقوع زلزله تأسیسات ذخیره‌ای را تهدید نماید. به علاوه در مکان‌هایی که تأسیسات صنعتی دیگری قبل احداث گردیده و یا در آینده ساخته خواهد شد و به خصوص در مواردی که پساب این واحدها در مجاورت سیلو عبور می‌نمایند اجرای پروژه‌های ذخیره‌سازی مجاز نیست. قرار گرفتن سیلو در مکان‌هایی که نزدیک به گسل‌های فعال باشند و تکان‌های قوی هر چند وقت یک‌بار منطقه را به لرزه در می‌آورد هزینه پروژه را به طور فزاینده‌ای افزایش خواهد داد. همچنین عبور قنات‌های قدیمی از زیر فونداسیون و مسائل ناشی از نشست موضعی، اختلال در عملکرد ماشین‌آلات و تجهیزات مکانیکی را به دنبال خواهد داشت.

**۴-۲-۲ دسترسی به آب**

تأمین آب تمیز و باکیفیت مطلوب برای تهیه بتن، مصارف بهداشتی، آشامیدنی و مصارف دوره بهره‌برداری باید با کمترین زمینه مقدور باشد. آب قابل دسترسی بهتر است در صورت امکان بدون انجام عملیات تصفیه و بدون استفاده از سیستم‌های انتقال تأمین گردد.

**۴-۲-۳ دسترسی به برق دائمی و خطوط مخابراتی**

محل احداث سیلو باید در نزدیکی شبکه برق رسانی واقع گردیده و جریان برق با ولتاژ بالا که در هنگام ساخت و بهره‌برداری مورد نیاز است قابل حصول باشد. انتقال جریان از محل انشعاب به محل کارگاه نباید مستلزم احداث دکل‌های فلزی و تأسیسات جنبی با هزینه زیاد باشد. دسترسی به شبکه مخابراتی کشور و استفاده از خطوط فاکس و تلفن در مراحل ساخت و بهره‌برداری، الزامی است.

**۴-۲-۴ تأمین مصالح ساختمانی در محل**

وجود کارخانه‌های تهیه سیمان و نزدیک بودن منابع فرضه برای تهیه شن و ماسه از عوامل بسیار مؤثر در اقتصاد پژوهه‌های ذخیره‌سازی است. حمل مصالح از فواصل دور، علاوه بر هزینه‌های اجرایی، زمان ساخت را نیز به طور قابل ملاحظه افزایش خواهد داد.

**۴-۲-۵ تأمین ماشین آلات سنگین و پرسنل فنی**

قرار گرفتن شهرهای بزرگ و مراکز سکونت عمده در نزدیکی محل احداث سیلو، امکان تهیه ماشین آلات سنگین نظیر کامیون، کمپرسی، تریلی، بتونیز، جرثقیل و... را به طور کرایه‌ای فراهم می‌نمایند. تأمین پرسنل فنی و ماده نظیر تکنسین آزمایشگاه، راننده، جوشکار، برقکار، آرماتوریند و...، و نیز تأمین پرسنل فنی و اداری در مرحله بهره‌برداری باید امکان‌پذیر باشد.

**۴-۲-۶ ترافیک منطقه**

محل سیلو باید به گونه‌ای باشد که موجب ترافیک و برهم زدن نظم راه‌های اصلی و یا مسیرهای حمل و نقل درون‌شهری در زمان فصل خرید بشود. امکان توقف کامیون‌ها به مدت چندین ساعت و چندین روز باید در انتخاب محل سیلو در نظر گرفته شود.

## ۲-۹-۲ مطالعات هیدرولوژیکی و کلیماتولوژیکی منطقه

وزش بادهای با سرعت زیاد، علاوه بر انتقال گرد و خاک به مراکز سکونت مجاور، نیروهای طراحی را افزایش داده و پایداری سازه‌ها را به مخاطره می‌اندازد. در شرایط اضطراری می‌باشد جهت وزش باد در منطقه تعیین و سپس جهت استقرار سازه‌ها در پلان مشخص گردد. احداث سیلو در محلهای با طوفان‌های سنی، فرسایش ماشین‌آلات و تأسیسات مکانیکی را سرعت می‌بخشد. بارش باران‌های سیل آسا و قرار گرفتن سیلو در مسیل، هزینه احداث سیستم‌های تخلیه آب‌های سطحی را به عملیات اجرایی اضافه می‌نماید. همچنین عدم دفع سریع آب‌های ناشی از بارش برف و باران می‌تواند خسارات قابل ملاحظه‌ای را به مواد ذخیره‌ای فراهم سازد. سطح آب‌های زیرزمینی در فصول بارانی نباید به سطح زمین نزدیک شود.

## ۲-۱۰-۲ سهولت صادرات و واردات

محل احداث سیلو بهتر است حتی‌الامکان در فواصل نزدیک به بنادر و مراکز صادراتی کشور انتخاب شود و انتقال گندم‌های وارداتی در کوتاه‌ترین نواحی زمانی و مکانی به سیلو صورت پذیرد.

## ۲-۱۱-۲ سهولت توزیع غلات

حتی‌الامکان سیلو به مرکز استان و نقاط پر مصرف غلات نزدیک باشد.

## ۲-۱۲-۲ امکان توسعه آتی

محل سیلو باید به نحوی باشد که جهت احداث آسیاب، کارخانجات وابسته به آن، احداث خانه‌های سازمانی و ادارات وابسته و نیز احداث انبارهای مکانیزه در نزدیکی سیلو در آینده مشکل عمده‌ای موجود نباشد.

## ۲-۱۳-۲ مالکیت زمین در محل سیلو

مالکیت زمین و نوع آن باید مشخص باشد. ابتیاع زمین‌های زراعی و بعضًا مسکونی با توجه به اینکه محوطه وسیعی به این نوع تأسیسات اختصاص داده می‌شود قسمت تمام شده و هزینه ذخیره‌سازی را بالا می‌برد. همچنین تصرف زمین‌های اوقافی، دولتی، منابع طبیعی و تخریب باغات اکثرًا مسائل حقوقی و مشکلات قانونی به دنبال خواهد داشت.

## ۲-۱۴-۲ هماهنگی با طرح جامع شهر با استان

محل سیلو باید به گونه‌ای باشد که با طرح جامع استان یا شهر هماهنگ بوده و در مسیر توسعه آتی

شهر قرار نگیرد.

## ۲-۲-۱۵- تکات متفرقه در انتخاب محل

برخورداری از امنیت نسبی به‌هنگام ساخت و بهره‌برداری - نزدیکی به پایگاه‌های انتظامی - نزدیک به آزمایشگاه فنی جهت کنترل کیفیت و آزمایش مصالح - امکان استفاده از تسهیلات ایاب و ذهاب شهری برای پرسنل شاغل و پرسنل فنی به‌هنگام ساخت - نزدیک بودن به خطوط انتقال گاز - نزدیک بودن به جایگاه‌های توزیع سوخت (بنزین و گازوییل و...) - قابلیت زمین برای احداث فضای سبز و درختکاری و ایجاد جنگل‌های طبیعی.

## ۲-۲-۱۶- حفظ محیط زیست

برای احداث سیلو باید کمترین تعداد درخت قطع گردد. محل سیلو حتی امکان از هجوم کبوترها و سایر پرنده‌گان مصون بوده و از تجمع آنها می‌باشد جلوگیری شود. امکان رشد و تکثیر موش و جانوران ناقل میکروب در محل موجود نباشد.

## ۲-۳- انتخاب طرح معماری و سازه‌ای

### ۲-۳-۱- قبل از ارایه طرح معماری و سازه‌ای نهایی، می‌باشد طرح مقدماتی براساس شناسایی و بررسی فاکتورهای اصلی زیر تهیه گردد.

- انجام مطالعات لرزه‌خیزی و زمین‌شناسی محل
- تغییر نتایج نهایی ژئوتکنیک
- انتخاب ماشین‌آلات لازم با مشخصات فنی و هندسی کامل آنها
- استقرار اولیه ماشین‌آلات در سیلو
- تهیه طرح کنترل
- بررسی تأمین آب و نحوه آبرسانی و دفع فاضلاب در سیلو
- بررسی اقتصادی و برآورد قیمت برای گزینه بهینه
- تعیین ابعاد هندسی ساختمان‌های اصلی و جنبی طرح
- تهیه طرح محوطه
- بررسی کامل و جامع در رابطه با مصالح مورد استفاده جهت ساختمان‌ها و تأسیسات
- بررسی روش‌های مختلف اجرای ساختمان و پیش‌بینی روش مناسب (با توجه به‌هزینه، مدت اجرا و محل اجرا)

- تهیه گزارش توجیهی از نظر اقتصادی، اجرایی و سایر موارد در خصوص طرح پیشنهادی
- تهیه مشخصات اصلی و ضروری اجرای طرح و برآورد اوزان، احجام و...
- تهیه و تنظیم برآورد هزینه اجرای کار
- تهیه نقشه‌های مربوط به طرح مقدماتی
- تهیه برنامه زمان‌بندی اجرایی مراحل مختلف طرح
- تهیه گزارش نهایی مطالعات مقدماتی مرحله اول

**۲ - ۳ - ۲** بعد از تکمیل مطالعات و تدوین گزارشات فوق الذکر، لازم است بررسی‌های اولیه‌ای در رابطه با طرح به عمل آید که اهم آنها از این قرار است:

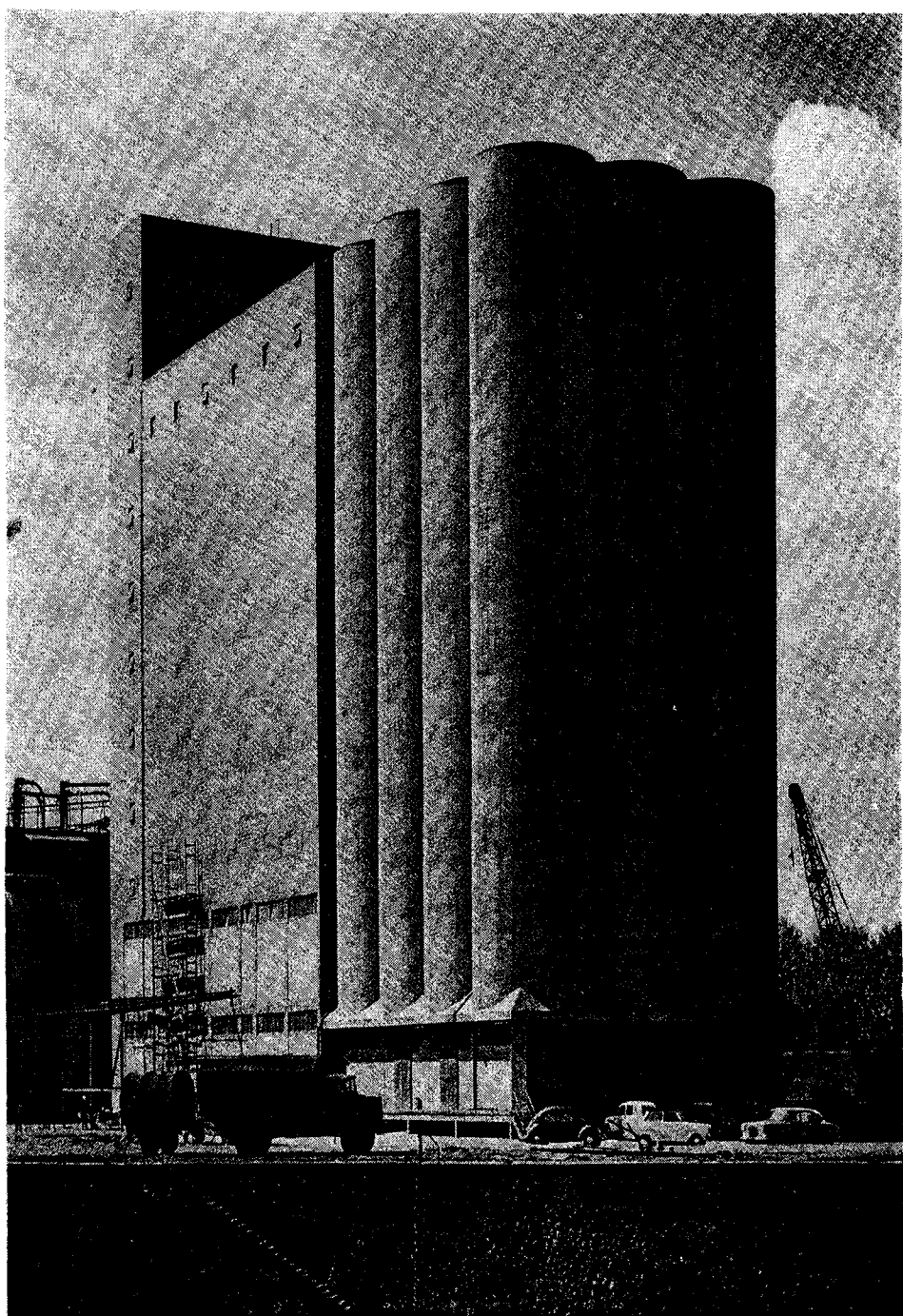
- مذاکره و تبادل نظر با کارفرما پیرامون نیازهای طرح و تعیین ظرفیت استاتیکی و دینامیکی سیلو
- جمع آوری و دریافت اطلاعات لازم مرتبط با طرح
- بازدید از محل و کسب اطلاعات لازم از موقعیت زمین
- انجام مطالعات و بررسی‌های همه جانبه در مورد نیازهای حال و آینده طرح
- پیگیری عملیات ژئوتکنیک و اعلام نیازها به مشاور خاک
- بررسی سیستم ماشین آلات و کنترل سیلو و تهیه فلوچارت (نمودار جریان) مربوطه
- بررسی نتایج آزمایشات خاک، آب و مصالح ساختمانی محل
- تحقیق و بررسی درباره مصالح ساختمانی در محل و پیش‌بینی‌های لازم جهت تهیه آنها

## **۲ - ۴ تقسیم‌بندی سیلوها از نظر کاربری**

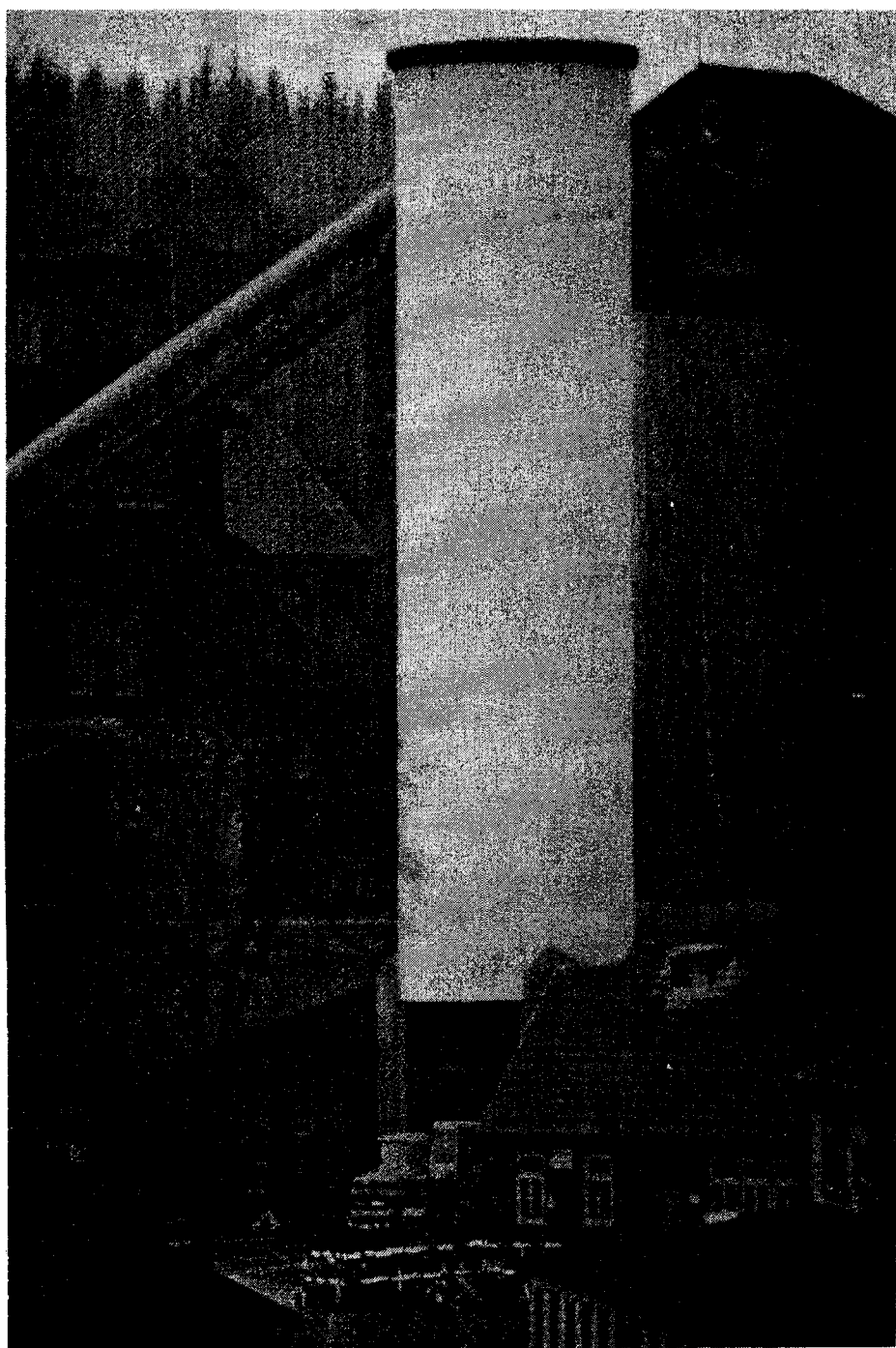
از نظر کاربری سیلوها را می‌توان به شرح زیر تقسیم‌بندی نمود:

- ۱ - سیلوی ذخیره غلات (شکل ۲ - ۶).
- ۲ - سیلوی ذخیره مواد اولیه صنعتی مثل سنگ آهن، سیمان، ذغال سنگ، کلینکر، کک و موارد مشابه (شکل ۲ - ۷).
- ۳ - سیلوی ذخیره‌سازی آرد (شکل ۲ - ۸).
- ۵ - سیلوهای اسکله‌ای برای صادرات و واردات (سیلوهای ترانزیت) (اشکال ۲ - ۹ و ۲ - ۱۰).

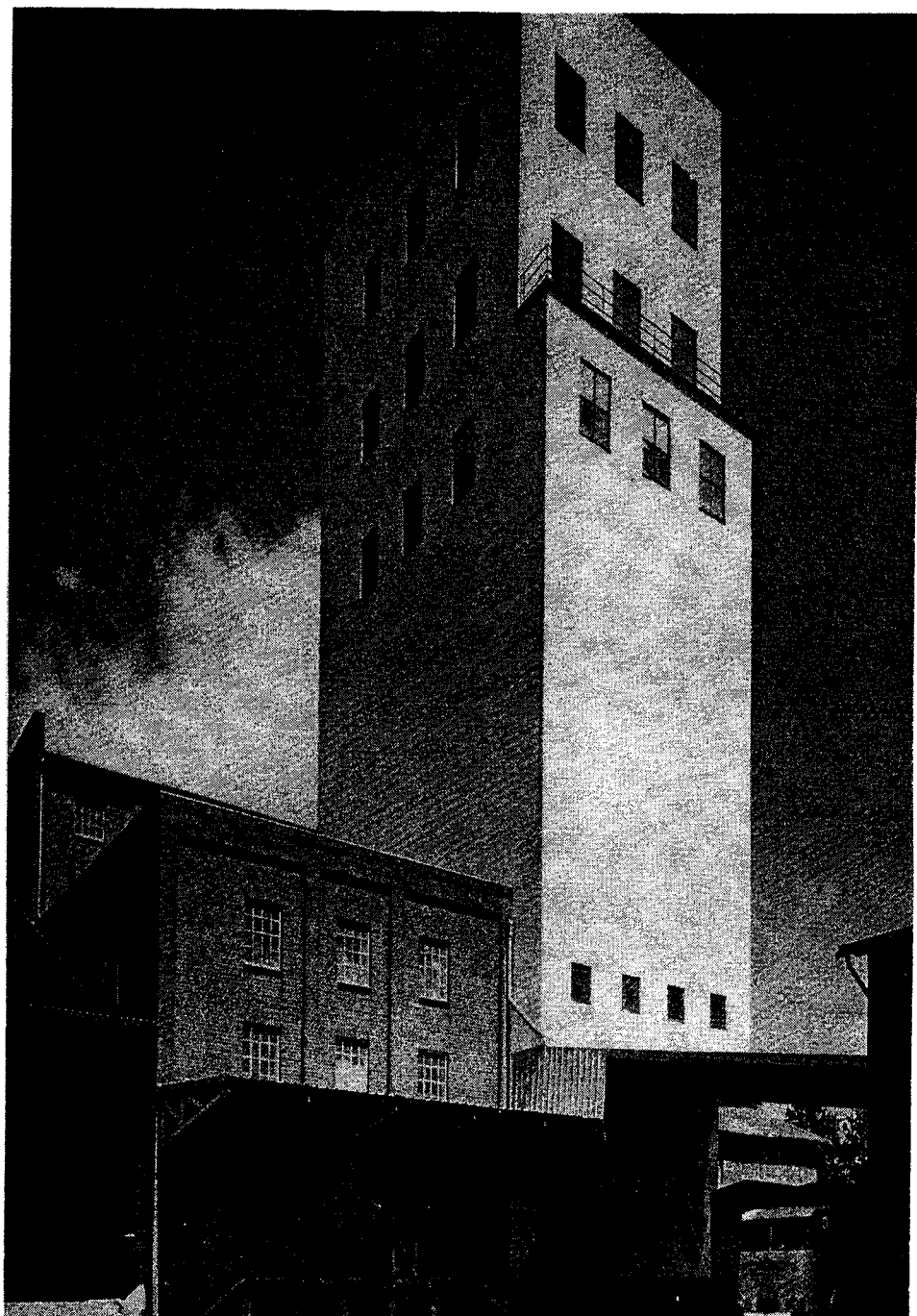
اشکال ارایه شده می‌تواند مبنای مقایسه‌ای برای انتخاب نمای ظاهری سیلو بر حسب موقعیت قرارگیری آن در فضای شهری و غیره باشد.



شکل ۲ - ۶ سیلوی ذخیره غلات.

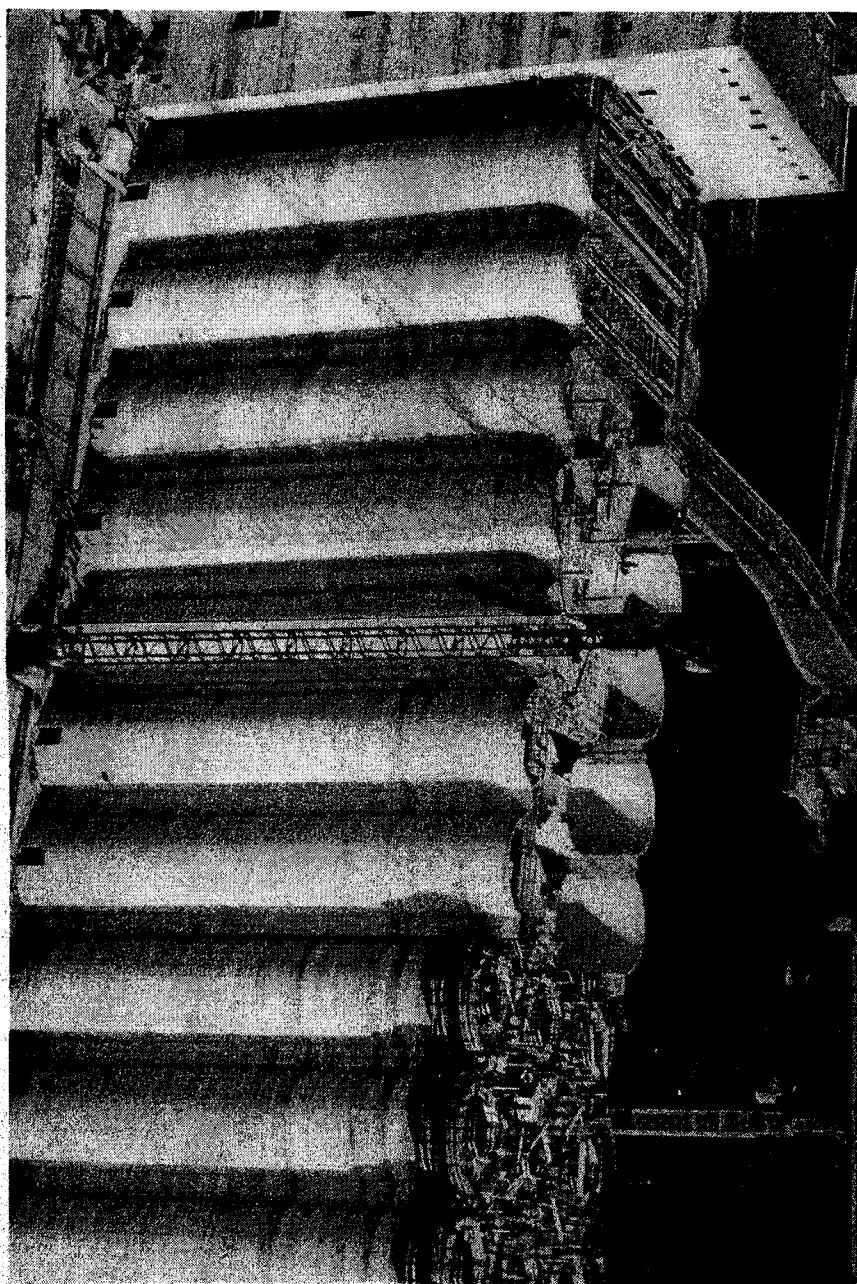


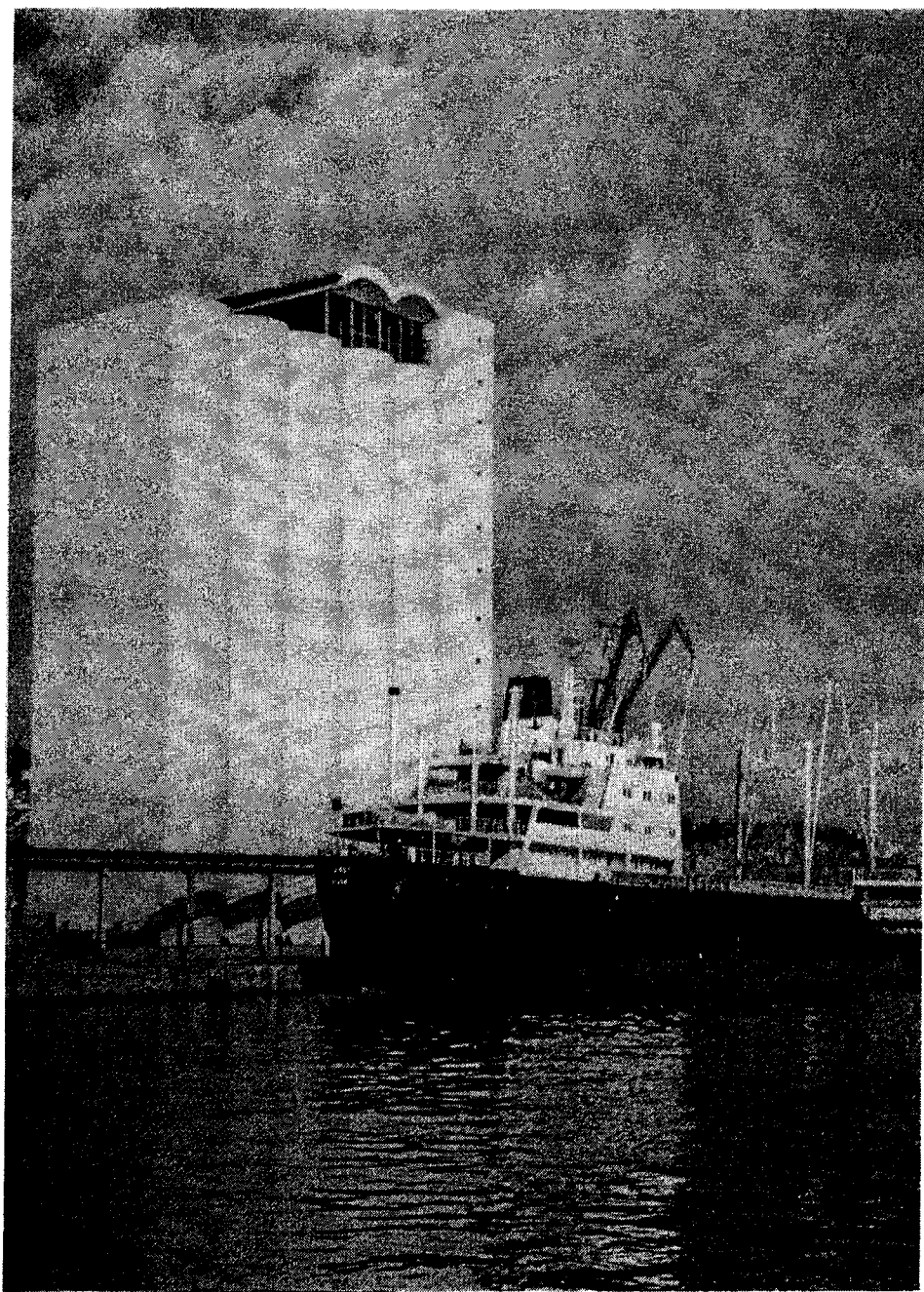
شکل ۲-۷ سیلوی سنگ آهن.



شکل ۲ - ۸ سیلوی ذخیره‌سازی آرد.

شکل ۱ - ۹ سبزی اسکله‌ای پرای مسادرات و واردات در حین ساخت





شکل ۲ - ۱۰ سیلوی اسکله‌ای در حین بهره‌برداری.



## فصل ۳

### مصالح بتن و فولاد

#### قسمت الف: مصالح بتن

##### ۱-۱ انتخاب و تأیید مصالح

###### ۱-۱-۱ ملاحظات طراحی

مصالح مصرفی در ساخت بتن باید طوری انتخاب شوند که ضوابط طراحی از نظر ایمنی، عملکرد سازه‌ای، پایایی و شکل ظاهری سازه، با توجه کافی به شرایط محیطی، تأمین شوند. در صد مواد زیان‌آور در مواد تشکیل‌دهنده بتن نباید از مقادیر تعیین شده به عنوان حد اکثر مجاز تجاوز کنند (به بند ۳-۴-۵ رجوع شود).

###### ۱-۱-۲ ویژگی‌های مصالح مصرفی

۱-۱-۲-۱ به طور کلی مصالح مصرفی در ساخت بتن باید مطابق ویژگی‌های تعیین شده در استانداردهای مربوط به این آیین نامه باشند (به بند ۳-۲-۲ رجوع شود). در صورت لزوم باید گواهی تطابق مصالح مصرفی با ویژگی‌های استاندارد ارایه شود.

۱-۱-۲-۲ مصالحی را که در فهرست استانداردهای آزمایش‌ها درج نشده‌اند می‌توان در ساخت بتن به کار برد مشروط بر آنکه اثر این نوع مصالح بر ضوابط طراحی به طور کامل مورد بررسی قرار گیرد، اطلاعات کافی و قابل قبول در مورد مناسب بودن این گونه مصالح در دست باشد، و از کنترل کیفیت اطمینان حاصل شود. تجربه‌های قبلی همراه با نتایج حاصل از آزمایش‌های این گونه مصالح را باید با توجه به مشخصات خصوصی و نظر دستگاه نظارت در پروژه، منظور داشت. در صورت

استفاده از این نوع مصالح باید سوابق مربوط به جزئیات و عملکرد آنها همراه با نقشه‌های اجرا شده نزد کارفرما نگهداری شود.

### ۳-۲ آزمایش‌های مصالح

۳-۲-۱ دستگاه نظارت می‌تواند علاوه بر آنچه در مدارک مربوط به مشخصات فنی اجرایی پیش‌بینی شده انجام آزمایش‌های دیگری را برای هر یک از مصالح مصرفی در ساخت بتن درخواست کند تا از تطابق کیفیت این مصالح با ویژگی‌های فنی مقرر اطمینان یابد.

۳-۲-۲ آزمایش‌ها باید طبق استانداردهای تعیین شده به وسیله دفتر امور فنی و تدوین معیارهای سازمان مدیریت و برنامه‌ریزی کشور بعمل آید.

۳-۲-۳ دستگاه نظارت باید تا خاتمه دوره تضمین و خداقل تا یک سال پس از پایان کار هر پروژه، سابقه کامل نتایج آزمایش‌های انجام شده روی مصالح را نگهداری و سپس به صاحب کار تحویل دهد. ضبط و نگهداری این اطلاعات به صورت زیانه‌ای برای ساختمان‌های مهم الزامی است.

### ۳-۳ سیمان

۳-۳-۱ سیمان مصرفی در ساخت قطعات باربر باید با یکی از مشخصات مشروح زیر یا هر استاندارد دیگری که قبلاً به تأیید دستگاه نظارت رسانیده مطابقت داشته باشد:

(الف) «مشخصات انواع سیمان پرتلند» (دست ۱۰۱).

(ب) «مشخصات سیمان‌های پرتلند آمیخته روباره‌ای» (دست ۱۰۲).

(پ) «مشخصات سیمان‌های پرتلند آمیخته پوزولانی» (دست ۱۰۳).

(ت) «مشخصات سیمان پرتلند آمیخته آهکی» (دست ۱۲۹).

۳-۳-۲ سیمان مصرفی در کارگاه باید دارای مشخصات سیمانی باشد که در تعیین نسبت‌های اختلاط به کار رفته است (بهند ۶-۲ رجوع شود).

### ۴-۳ سنگدانه‌ها

۳-۱-۴ سنگدانه‌های مصرفی در بتن، باید دارای چنان کیفیتی باشند که بتوان با آنها بتنی مقاوم و پایا ساخت.

۳-۲-۴ سنگدانه‌های مصرفی در ساخت بتن باید با «مشخصات سنگدانه‌های بتن» (دست ۲۰۱) مطابقت داشته باشند.

۳-۳-۴ سنگدانه‌هایی را که برخی از ویژگی‌های آنها مطابق بند ۳-۴-۲ نباشد ولی آزمایش‌های خاص یا سابقه عملکرد واقعی آنها نشان دهد که می‌توان با آنها بتنی با مشخصات مورد نظر بتن تازه و با مقاومت و پایایی کافی بدست آورد، با تأیید دستگاه نظارت در ساخت بتن مصرف می‌شود.

۳-۴-۴ بزرگترین اندازه اسمی سنگدانه‌های درشت نباید از هیچ یک از مقادیر زیر بیشتر باشد.

(الف) یک پنجم کوچکترین بعد داخلی قالب بتن.

(ب) یک سوم ضخامت دال.

(پ) سه چهارم حداقل فاصله آزاد بین میلگردها.

(ت) سه چهارم ضخامت پوشش روی میلگرد.

تبصره ۱: اندازه کوچکترین الکی که حداقل ده درصد وزنی سنگدانه روی آن باقی بماند، اندازه اسمی سنگدانه نامیده می‌شود.

تبصره ۲: به کار بردن سنگدانه‌های درشت‌تر از ۳۸ میلی‌متر در ساخت بتن آرمه توصیه نمی‌شود، ولی در هیچ حالت اندازه سنگدانه‌ها نباید از ۶۳ میلی‌متر تجاوز کند.

### ۴-۵ مواد زیان‌آور در سنگدانه‌ها

#### ۴-۵-۱ گلیات

سنگدانه‌های مصرفی در بتن باید سخت و پایا باشند و مواد زیان‌آور موجود در آنها نباید از مقادیر حداقل مجاز ذکر شده در بندهای ۴-۳-۵-۲ و ۴-۳-۵-۳ تجاوز کند.

#### ۴-۵-۲ مواد زیان‌آور در سنگدانه‌های ریز

مقدار مواد زیان‌آور موجود در سنگدانه‌های ریز بتن نباید از مقادیر حداقل مجاز داده شده در جدول

۳-۴-۵-۲ تجاوز کند، و روش آزمایش برای هر یک از مواد زیان‌آور باید مطابق این جدول باشد.  
همچنین ارزش ماسه‌ای سنگدانه‌های ریز بتن براساس دت ۲۳۲ باید کمتر از ۷۵ درصد باشد.

**۳-۴-۵-۳ مواد زیان‌آور در سنگدانه‌های درشت**  
مقدار مواد زیان‌آور موجود در سنگدانه‌های درشت بتن باید از مقادیر حداکثر مجاز داده شده در جدول ۳-۴-۵-۳ تجاوز کند و روش آزمایش برای هر یک از مواد زیان‌آور باید مطابق این جدول باشد.

**۳-۴-۵-۴ سنگدانه‌های پولکی و سوزنی**  
درصد دانه‌های پولکی و سوزنی در سنگدانه‌های درشت نباید از مقادیر داده شده در جدول ۳-۴-۵-۴ تجاوز کند.

جدول ۳-۴-۵-۲ حداکثر مقادیر مجاز مواد زیان‌آور در سنگدانه‌های ریز بتن و روش‌های آزمایش

نوع ماده زیان‌آور	روش آزمایش	حداکثر درصد وزنی مجاز در کل نمونه
کلوخه‌های رسی و دانه‌های سست	دت ۲۲۱	۳
دانه‌های گذشته از الک شماره ۲۰۰ (۰/۷۵٪ میلی‌متر) - بتن تحت سایش - سایر بتن‌ها	دت ۲۱۸	۳۰ ۵۰
زغال‌سنگ، لیگنیت، یا سایر مصالح سبک: - هنگامی که نمای ظاهری بتن حایز اهمیت است - سایر بتن‌ها	دت ۲۱۹	۰/۵ ۱
میکا		۱
سولفات‌ها بر حسب $(SO_4^{2-})$	دت ۲۳۰	۰/۴۰۰
کلرید‌ها بر حسب $(Cl^-)$	دت ۲۳۱	۰/۰۴

\* در مورد ماسه شکسته، اگر دانه‌های گذشته از الک شماره ۲۰۰ منتشر کل از پودر سنگ و عاری از رس باشند، می‌توان این مقادیر را به ترتیب به ۵ و ۶ درصد افزایش داد. این درصدها براساس دانه‌بندی ماسه گذشته از الک ۰/۷۵٪ میلی‌متر (شماره ۴)، ساخته می‌شوند.

\*\* مقدار کل سولفات قابل حل در آب بر حسب  $(SO_4^{2-})$  در محلول بتن و با احتساب  $(SO_4^{2-})$  موجود در سیمان، باید از ۴ درصد بیشتر باشد و به هر حال مقدار کل سولفات موجود باید از ۵ درصد وزن سیمان تجاوز کند.

جدول ۳ - ۴ - ۵ - مقادیر حداقل مجاز مراد زیان آور در سنگدانه های درشت بتن و روش های آزمایش

حداکثر درصد وزنی مجاز در کل نمونه	روش آزمایش	نوع ماده زیان آور
۰/۲۵	دت ۲۲۱	کلوخه های رسی
۵	دت ۲۲۳	دانه های نرم *
۱		چرت به صورت ناخالصی **
۳		- در معرض شرایط محیطی شدید
۵		- در معرض شرایط محیطی متوسط
۱+	دت ۲۱۸	- در معرض شرایط محیطی ملایم
		دانه های گذشته از الک شماره ۲۰۰ (۰/۷۵ میلی متر)
۰/۵	دت ۲۱۹	زغال سنگ، لیگنیت، یا سایر مصالح سبک: - هنگامی که نمای ظاهری بتن حایز اهمیت است
۱		- سایر بتن ها
۳	-	دانه های سست شامل مجموع کلوخه های رسی، دانه های نرم، چرت هوازده، شیل ها و شیسته های متورق هوازده: - بتن نمایان
۵		- بتن تحت سایش
۷		- سایر بتن ها
۰/۴++	دت ۲۳۰	سولفات ها بر حسب ( $\text{SO}_4^{--}$ )
۰/۰۲	دت ۲۳۱	کلریدها بر حسب ( $\text{Cl}^-$ )

\* این محدودیت فقط در مواردی حاکم است که نرمی هر یک از دانه های درشت به تنهایی با توجه به عملکرد بتن جبهه بحرانی دارد، از قبیل کف های پر تردد یا سایر مواردی که سختی سطح اهمیتی ویژه دارد.

\*\* این گونه چرت در ۵ سیکل در آزمایش سلامت یا ۵۰ سیکل در آزمایش زدن بخ و آب شدن (صفر تا ۴ درجه سلسیوس) از هم می پاشد، یا چگالی آن در حالت اشباع با سطح خشک، از ۰/۲۵ کمتر است. از هم پاشیدن به شکسته یا تکه شدن واقعی بر اساس آزمایش های عینی اطلاق می شود. این محدودیت ها فقط در مورد سنگدانه هایی حاکم اند که چرت به عنوان ناخالصی آنها تلقی شود و در مورد شن هایی که بیشتر از چرت تشکیل یافته اند قابل اعمال نیست.

محدودیت های مربوط به سلامت سنگدانه ها باید بر سوابق بهره برداری از آنها در محیط مورد نظر استوار باشد. برای ملاحظه طبقه بندی شرایط محیطی به آین نامه آیا مراجعه شود.

+ در مورد دانه های شکسته، اگر دانه های گذشته از الک شماره ۲۰۰ متنشکل از پودر سنگ و عاری از رس باشند، می توان این درصد را به ۱/۵ افزایش داد.

++ مقدار کل سولفات قابل حل در آب بر حسب  $\text{SO}_4^{--}$  مخلوط بتن و با احتساب  $\text{SO}_4^{--}$  موجود در سیمان، نباید از ۴ درصد بیشتر باشد، و به هر حال مقدار کل سولفات مرجوح نباید از ۵ درصد وزن سیمان تجاوز کند.

جدول ۳-۴-۵ مقادیر حداکثر مجاز سنگدانه‌های بولکی و سوزنی در سنگدانه‌های درشت

وزنی مجاز	حداکثر درصد	روش آزمایش	نوع سنگدانه
۳۰	۲۲۰	دت	دانه‌های بولکی: سنگدانه‌های مانده روی الک ۶/۳ میلی‌متر ( $\frac{1}{4}$ اینچ)
۳۵	۲۲۰	دت	دانه‌های سوزنی: سنگدانه‌های با حداکثر اندازه ۶۳ و یا ۵۰ میلی‌متر ( $\frac{1}{2}$ و یا ۲ اینچ)
۴۰	۲۲۰	دت	سنگدانه‌های با حداکثر اندازه ۲۸ و یا ۲۵ و یا ۱۹ میلی‌متر ( $\frac{1}{4}$ و یا ۱ و یا $\frac{3}{4}$ اینچ)
۴۵	۲۲۰	دت	سنگدانه‌های با حداکثر اندازه ۱۲/۵ و یا ۹/۵ میلی‌متر ( $\frac{1}{8}$ و یا $\frac{3}{8}$ اینچ)

### ۳-۵-۳ آب

۳-۱ آب مصرفی برای شست و شوی سنگدانه‌ها، ساخت و عمل آوری بتن باید تمیز و صاف باشد. باید از مصرف آب حاوی مقادیر زیاد از هر نوع ماده از قبیل روغن‌ها، اسیدها، قلیایی‌ها، املح، مواد قندی، و مواد آلی که قادر به صدمه زدن به بتن یا میلگرد باشد، خودداری کرد. به طور کلی آب آشامیدنی برای مصرف در ساخت و عمل آوری بتن رضایت بخش تلقی می‌شود. آب غیرآشامیدنی مورد تردید را تنها در صورت مطابقت با بند ۳-۵-۲ می‌توان به کار برد. مواد زیان‌آور در آب مصرفی در بتن نباید از مقادیر حداکثر مجاز داده شده در جدول ۳-۵-۱ تجاوز کند و روش آزمایش برای هر نوع ماده زیان آور باید مطابق همین جدول باشد.

۳-۲ آب غیرآشامیدنی را به شرطی می‌توان در ساختن بتن به کار برد که با ضوابط بندهای ۳-۵-۱-۱ الی ۳-۵-۲-۴ و نیز جدول ۳-۵-۱ مطابقت داشته باشد.

۳-۳-۱ انتخاب نسبت‌های اختلاط بتن باید براساس آبی باشد که در کارگاه مورد استفاده قرار می‌گیرد.

۳-۳-۲ مقاومت‌های ۷ و ۲۸ روزه آزسونه‌های ملات ساخته شده با آب غیرآشامیدنی مطابقت دت ۱۱۹، باید حداقل معادل ۹۰ درصد مقاومت‌های نظیر آزمنه‌های مشابه ساخته شده با آب مقطمر باشند.

۳-۳-۳ تعیین زمان گیرش سیمان با آب غیرآشامیدنی باید مطابق دت ۱۱۳ باشد. نتیجه

جدول ۳ - ۵ - ۱ حداکثر مقادیر مجاز مواد زیانآور در آب مصرفی بتن و روش‌های آزمایش

نوع ماده	شرح	روش آزمایش	حداکثر غلظت مجاز (قسمت در میلیون)
ذرات جامد معلق	- بتن آرمه در شرایط محیطی شدید، و بتن پیش‌تینده - بتن آرمه در شرایط محیطی ملابم و بتن بدون آرماتور	دست	۱۰۰۰ ۲۰۰۰
		دست	۳۰۵
مواد محلول	- بتن آرمه در شرایط محیطی شدید و بتن پیش‌تینده - بتن آرمه در شرایط محیطی ملابم - بتن بدون آرماتور و بدون اقلام فلزی مدفعون	دست	۱۰۰۰ ۲۰۰۰ ۳۵۰۰۰
		دست	۳۰۵
کلر ( $\text{Cl}^-$ )	- بتن آرمه در شرایط محیطی شدید، بتن پیش‌تینده، و بتن عرضه پل‌ها - سایر موارد بتن آرمه، در شرایط مرطوب، یا دارای مواد آلومینیومی با فلزات غیر مشابه، یا دارای قالب‌های گالوانیزه دائمی - بتن بدون آرماتور و بدون اقلام فلزی مدفعون	دست	۵۰۰*
		دست	۱۰۰۰*
		دست	۱۰۰۰۰
سولفات ( $\text{SO}_4^{2-}$ )	- بتن آرمه و بتن پیش‌تینده - بتن بدون آرماتور و بدون اقلام فلزی مدفعون	دست	۱۰۰۰*
		دست	۳۰۰۰**
قلیابی‌ها ( $\text{Na}_2\text{O} + \text{K}_2\text{O}/658\text{K}_2\text{O}$ )		دست	۶۰۰
		دست	۳۰۴

\* مقدار کل یون کلرید قابل حل در آب در مخلوط بتن، بر حسب درصد وزن سیمان، نباید از مقادیر حداکثر مجاز داده شده در جدول ۳ - ۳ - ۶ - آینه نامه آبا تجاوز کند.

\*\* مقدار کل سولفات قابل حل در آب بر حسب  $\text{SO}_4^{2-}$  در مخلوط بتن و با احتساب  $\text{SO}_4^{2-}$  موجود در سیمان، نباید از ۴ درصد بیشتر باشد و به هر حال مقدار کل سولفات موجود نباید از ۵ درصد وزن سیمان تجاوز کند.

آزمایش نباید بیش از یک ساعت زودتر تا ۱/۵ ساعت دیرتر از نتیجه به دست آمده با آب مقطر باشد.

۳ - ۵ - ۴ - ۲ آزمایش سلامت سیمان با آب غیرآشامیدنی مطابق دست ۱۲۳ صورت می‌گیرد و نتیجه حاصل نباید بیش از میزان مجاز مربوط به آب مقطر باشد.

۳ - ۵ - ۵ - ۲ آزمایش‌های مربوط به این مقایسه‌ها باید در شرایط یکسان، به غیر از نوع آب مصرفی انجام شوند.

**۳-۵-۳** مقدار pH مصرفی در بتون نباید از ۵ کمتر و از ۸/۵ بیشتر باشد. آزمایش تعیین pH آب باید مطابق دت ۳۰۳ صورت گیرد.

## ۶-۳ مواد افزودنی

### ۶-۱ تعریف

ماده افزودنی ماده‌ای است به‌غیر از سیمان پرتلند، سنگدانه، و آب، که به‌صورت گرد یا مایع، به عنوان یکی از مواد تشکیل‌دهنده بتون و برای اصلاح خواص بتون، کمی قبل از اختلاط یا در حین اختلاط به‌آن افزوده می‌شود.

مواد افزودنی به‌دو گروه مواد افزودنی شیمیایی و مواد افزودنی معدنی تقسیم می‌شوند.

### ۶-۲ کلیات

**۶-۲-۱** استفاده از مواد افزودنی در بتون تنها با تصویب قبلی دستگاه نظارت مجاز است.

**۶-۲-۲** عملکرد یا مؤثر بودن مواد افزودنی باید قبل از مصرف و به‌کمک نمونه‌های محلولت بتون مورد تأیید قرار گیرد.

**۶-۲-۳** مواد افزودنی باید با مشخصات دت ۴۰۱ تا دت ۴۰۴ و دت ۴۰۸ تا دت ۴۱۰ مطابقت داشته باشند.

**۶-۲-۴** ماده افزودنی باید با سیمان مصرفی سازگار باشد. اگر بیشتر از یک نوع ماده افزودنی به کار رود، باید سازگاری مواد مصرفی با یکدیگر به تأیید دستگاه نظارت برسد.

**۶-۲-۵** اندازه‌گیری مواد افزودنی باید به دقت انجام پذیرد. اگر بیش از یک نوع ماده افزودنی به کار رود، اندازه‌گیری هر یک از آنها باید به‌طور جداگانه صورت گیرد.

**۶-۲-۶** هر ماده افزودنی باید همان ترکیب و عملکردی را که در تعیین نسبت‌های اختلاط بتون در تمام مدت مصرف حفظ نماید.

**۶-۲-۲** در ساخت بتن آرمه نباید از کلرید کلسیم استفاده شود.

### **۶-۳-۳ افزودنی‌های شیمیایی**

#### **۶-۳-۱ مواد افزودنی حباب‌ساز**

##### **الف - تعریف و کاربرد**

مواد افزودنی حباب‌ساز موادی هستند که سبب تشکیل حباب‌های بسیار ریز هوا که به طور یکنواخت در حجم بتن یا ملات توزیع شده‌اند، می‌گردند. این حباب‌ها باید پس از سخت شدن بتن یا ملات در آن باقی بمانند.

حباب‌های هوا پایایی بتن را در برابر رطوبت، و یخ زدن و آب‌شدن‌های مکرر افزایش می‌دهند و مقاومت بتن را در برابر پوسته‌شدگی سطحی ناشی از یخ‌زدایی شیمیایی زیاد می‌کند.

همچنین با مصرف این مواد کارایی بتن تازه و نفوذناپذیری بتن سخت شده به میزانی قابل توجه بیشتر می‌شود و نیز جدا شدن دانه‌ها و آب انداختن بتن کاهش می‌باید.

##### **ب - مشخصات**

مشخصات مواد افزودنی حباب‌ساز باید با دت ۴۰۲ مطابقت داشته باشد.

#### **۶-۳-۲ مواد افزودنی کاهنده آب**

##### **الف - تعریف و کاربرد**

ماده افزودنی کاهنده آب به منظور تقلیل مقدار آب مصرفی در شرایط یکسان روانی بتن، یا افزایش روانی بتن در شرایط یکسان میزان آب مصرفی به کار می‌رود. این مواد به دو نوع کاهنده معمولی و کاهنده قری آب تقسیم می‌شوند.

##### **ب - مشخصات**

مشخصات مواد افزودنی کاهنده معمولی و قری آب باید با دت ۴۰۱ مطابقت داشته باشد.

#### **۶-۳-۳ مواد افزودنی کندگیرکننده**

##### **الف - تعریف و کاربرد**

ماده افزودنی کندگیرکننده به منظور به تأخیر انداختن گیرش بتن به کار می‌رود و به سه نوع

کندگیرکننده، کندگیرکننده و کاهنده معمولی آب، و کندگیرکننده و کاهنده قوی آب تقسیم می‌شود.

#### ب - مشخصات

مشخصات مواد افزودنی کندگیرکننده باید با دت ۴۰۱ مطابقت داشته باشد.

#### ۳-۶-۴-۳ مواد افزودنی تسریع‌کننده

##### الف - تعریف و کاربرد

ماده افزودنی تسریع‌کننده به منظور تسریع در گیرش بتن، یا تسریع در کسب مقاومت بتن در سن کمتر، یا به هر دو منظور به کار می‌رود و به دو نوع تسریع‌کننده، و تسریع‌کننده و کاهنده معمولی آب تقسیم می‌شود.

#### ب - مشخصات

مشخصات مواد افزودنی تسریع‌کننده باید با دت ۴۰۱ مطابقت داشته باشد.

#### پ - کلرید کلسیم

استفاده از کلرید کلسیم به عنوان ماده افزودنی تسریع‌کننده فقط در بتن بدون آرماتور مجاز است. در این صورت مشخصات کلرید کلسیم باید مطابق دت ۴۰۴ باشد. مقدار کلرید کلسیم نباید بیشتر از حد لازم برای حصول نتیجه مورد نظر باشد، و به هر حال این مقدار نباید از ۲ درصد وزنی سیمان تجاوز کند.

#### ۳-۶-۵-۳ مواد خمیری‌کننده و روان‌کننده

##### الف - تعریف و کاربرد

مواد خمیری‌کننده و روان‌کننده به منظور بهبود کارآیی بتن تازه به کار می‌رود. از این مواد برای بهبود خواص مخلوط‌های خشن، ساخت بتن قابل پرداخت با ماله آهنی، بتن ریزی قطعات با تراکم زیاد آرماتور، پمپاژ و بتن ریزی با لوله استفاده می‌شود. این گروه مواد افزودنی، حباب‌سازها، پوزولان‌ها، سیال‌کننده‌ها و فرق روان‌کننده‌ها را هم شامل می‌شود. با استفاده از فوق روان‌کننده، بتی فوچال عاده روان تهیه می‌شود.

#### ب - مشخصات

مشخصات مواد افزودنی خمیری‌کننده و فوق روان‌کننده‌ها باید با بندهای ۳-۶-۱-ب،

۳ - ۶ - ۴ - ۲ ت، و مشخصات دت ۴۰۸ مطابقت داشته باشند.

### ۶-۳ - ۴ افزودنی‌های معدنی

این مواد به شکل ذرات بسیار ریز معدنی موجب بهبود برخی از خواص، و یا تأمین خواص ویژه‌ای در بتن می‌شوند. افزودنی‌های معدنی می‌توانند کارآیی و انسجام بتن تازه و همچنین مقاومت و نفوذناپذیری بتن سخت شده را بهبود بخشیده، و رنگ بتن را نیز تغییر دهند. این مواد به سه گروه زیر تقسیم می‌شوند:

#### ۶-۳ - ۴ - ۱ افزودنی‌های معدنی خنثی و رنگدانه‌ها

این مواد، مانند کوارتز آسیاب شده، معمولاً از طریق واکنش شیمیایی موجب افزایش مقاومت بتن نمی‌شوند. مصرف این افزودنی‌ها، موجب بهبود کارآیی و چسبندگی بتن‌هایی می‌شوند که کمبود مواد ریزدانه دارند. این مواد در بسیاری از موارد الزامات سنجگدانه‌های بتن را تأمین کرده و از آنها به عنوان سنجگدانه در بتن استفاده می‌شود.

رنگدانه‌ها نیز به عنوان مواد افزودنی خنثی، برای تولید بتن رنگی به کار می‌روند.

این ترکیبات معدنی مانند اکسید آهن که برای رنگ‌های قرمز، قهوه‌ای، سیاه و زرد، و اکسید کرم که برای رنگ سبز مورد استفاده قرار می‌گیرند باید در مقابل نور و قلیایی‌ها مقاوم باشند و در واکنش‌های آبگیری سیمان دخالت نکنند.

#### ۶-۳ - ۴ - ۲ پوزولان‌ها

##### الف - تعریف

پوزولان‌ها عبارتند از مواد سیلیسی یا سیلیسی و آلومینی که خود به تنها یی فاقد ارزش چسبانندگی بوده و یا دارای ارزش چسبانندگی کم هستند، اما به شکل ذرات بسیار ریز در مجاورت رطوبت طی واکنش شیمیایی با هیدروکسید کلسیم در دمای معمولی ترکیب‌های با خاصیت سیمانی به وجود می‌آورند.

##### ب - کاربرد

مصرف مواد پوزولانی در بتن می‌تواند برای تأمین یک یا چند خاصیت مشروح زیر باشد:

- کاهش میزان سیمان

- کاهش سرعت و میزان حرارت حاصل از فرآیند آبگیری سیمان

- بهبود کارآیی بتن
- افزایش مقاومت بتن
- افزایش پایایی بتن از طریق کاهش نفوذپذیری

عملکرد پوزولان‌ها برای هر یک از خواص فوق، باید قبل از مصرف مورد تأیید قرار گیرد.

#### پ - انواع

پوزولان‌ها بر دو نوع‌ند:

- پوزولان‌های طبیعی خام و یا تکلیس شده که به‌طور عمدۀ شامل خاکسترها آتشفشاری است.
- پوزولان‌های صنعتی که به‌طور عمدۀ شامل خاکستر بادی و دوده سیلیسی است.

#### ت - مشخصات

پوزولان‌هایی که به‌عنوان افزودنی معدنی در بتن یا ملات مصرف می‌شوند باید با یکی از مشخصات مشروح زیر یا هر استاندارد دیگری که قبلاً به‌تأیید دستگاه نظارت رسیده، مطابقت داشته باشند:

- انواع پوزولان‌های خام طبیعی و یا تکلیس شده، و خاکستر بادی مطابق مشخصات دت ۴۰۳
- دوده سیلیسی مطابق مشخصات دت ۴۰۹

#### ۳-۶-۴-۳ افزودنی‌های شبه‌سیمانی

این مواد خاصیت پنهان هیدرولیکی دارند و وقتی که به‌ نحوی مناسب فعال شوند خواص سیمانی پیدا می‌کنند. این افزودنی‌ها فقط در محیط قلیایی با آب واکنشی مشابه سیمان پرتلند نشان می‌دهند و ترکیبات شیمیایی آنها در مقایسه با خاکستر بادی و دیگر مواد پوزولانی بیشتر شبیه سیمان‌های معمولی است. متداول‌ترین نوع این مواد روبار، آهنگدازی است که مشخصات آن باید با دت ۴۱۰ مطابقت داشته باشد.

#### ۳-۶-۵ مواد افزودنی متفرقه

برخی از افزودنی‌های متفرقه عبارتند از: مواد ضد رطوبت، کاهنده نفوذپذیری، دوغاب‌ساز، گازساز و ضدیخ‌ها که برای استفاده از آنها تأیید دستگاه نظارت، رعایت مشخصات مربوط و نیز مقررات کلی مواد افزودنی الزامی است.

به‌هنگام مصرف ضد بخ در بتن، علاوه بر رعایت موارد فوق، ضوابط بتن‌ریزی در هوای سرد

باید رعایت شود.

### ۳-۷-۳ انبار کردن و نگهداری مصالح بتن

۱-۳-۲ سیمان پرتلند نباید در تماس با رطوبت انبار شود، بلکه باید به صورت خشک نگهداری شود تا از خرابی آن جلوگیری بده عمل آید. در مناطق خشک حداکثر می‌توان ۱۲ پاکت سیمان را روی هم انبار کرد، مشروط بر اینکه ارتفاع آنها از  $1/8$  متر تجاوز نکند. سیمان‌ها باید براساس نوع به طور جداگانه در سیلوهای آب‌بندی و هوابندی شده نگهداری شوند. امکان جمع شدن و راکد ماندن سیمان نباید در سیلو وجود داشته باشد.

۲-۳-۲ سنگدانه‌ها باید طوری انبار شوند که جداشدن‌گی دانه‌ها از یکدیگر در هر توده به حداقل برسد و از آلودگی آنها به مواد زیان‌آور جلوگیری شود. سنگدانه‌ها براساس نوع، اندازه و دانه‌بندی باید جداگانه نگهداری شوند. در شرایطی که حداکثر اندازه سنگدانه‌ها کمتر از ۳۸ میلی‌متر باشد، این سنگدانه‌ها باید حداقل به دو گروه سنگدانه‌های ریز و درشت تقسیم شوند. سنگدانه‌های تا حداکثر ۶۳ میلی‌متر باید حداقل در سه گروه مجزا تقسیم شوند. سنگدانه‌ها باید به نحوی مناسب انبار شوند تا از یخ‌زدگی و جمع شدن برف و یخ‌بین دانه‌ها جلوگیری شود و امکان زهکشی فراهم باشد.

در شرایط بتون ریزی در مناطق گرم‌سیر سنگدانه‌ها باید به نحوی مناسب انبار شوند به ترتیبی که تا حد امکان از تابش مستقیم اشعه خورشید در امان بوده و دمای سنگدانه‌ها افزایش پیدا نکند.

۳-۳-۲ مواد افزودنی باید در شرایط مناسب و با رعایت دستورالعمل‌های اعلام شده از سوی سازنده نگهداری شود. برخی مواد افزودنی به دلیل از دست دادن کیفیت خود نباید به مدت طولانی نگهداری شوند. در صورت تردید باید نسبت به انجام آزمایش مطابق مشخصات ماده افزودنی مورد نظر اقدام شود.

### ۳-۷-۴ مصالح خراب یا آلوده به مواد زیان‌آور را نباید در ساخت بتن به کار برد.

### ۳-۸ کنترل و بازرگانی

به منظور اطمینان از انطباق ویژگی‌های مصالح مصرفی با استانداردها و ضوابط این آیین‌نامه باید حداقل بازرگانی‌ها و آزمایش‌ها مطابق جدول ۳-۸ انجام شود.

جدول ۳ - ۸ بازرسی و کنترل کیفیت مصالح بن

ردیف	نوع مصالح	بازرسی - آزمایش	هدف	دوره بازرسی و آزمایش
۱	سیمان	بازرسی استاد تحویل سیمان به کارگاه	انطباق محموله سیمان با سفارش خرید و کنترل مشخصات کارخانه سیمان (۲)	بهازای هر محموله تحویلی به کارگاه
۲	سنگدانه ها (۳)	بازرسی استاد تحویل سنگدانه ها به کارگاه	انطباق محموله مصالح با سفارش خرید و کنترل مشخصات کارخانه تولیدکننده	بهازای هر محموله تحویلی به کارگاه
۳		بازرسی وضعیت ظاهری سنگدانه ها	بررسی وضعیت ظاهری از لحاظ اندازه، شکل دانهها و ناخالصی های آن	بهازای هر محموله تحویلی به کارگاه
۴		آزمایش دانه بندی	مقایسه نتایج آزمایش با ضوابط، استاندارد و الزامات مربوطه بدانه بندی	۱ - اولین محموله از منبع وها معدن جدید ۲ - در صورت مشکوک بودن پس از هر بازرسی عینی ۳ - روزانه یکبار
۵		آزمایش تعیین ارزش ماسه ای	مقایسه نتایج آزمایش با ضوابط، استانداردها و الزامات مربوطه	مطابق موارد ۱ و ۲ بالا در همین ستون و حدائق هفتاهی یکبار
۶		آزمایش تعیین مواد زیان آور	ردیابی مقدار مواد زیان آور در سنگدانه ها و نوع آنها	مطابق موارد ۱ و ۲ بالا در همین ستون
۷		آزمایش تعیین درصد طوبیت	تعیین میزان آب در مخلوط بن	روزانه یکبار و در موارد لزوم (۴)
۸		آزمایش وزن واحد مخصوص	اندازه گیری وزن واحد حجم	مطابق موارد ۱ و ۲ در همین ستون
۹	افزودنی های شیمیایی (۵)	بازرسی استاد تحویل مواد به کارگاه و برحسب روی بسته بندی ها و انجام آزمایش های استاندارد	اطمنان از انطباق مواد با سفارش خرید و همچنین کنترل علام و نشانه های روی بسته بندی ها و مقایسه نتایج آزمایش ها با ویژگی های درج شده در استانداردهای مربوطه	بهازای هر محموله وارد شده به کارگاه
۱۰		بازرسی و مشاهده وضعیت ظاهری افزودنی ها	مقایسه با شرایط ظاهری	برای هر محموله و در موارد لازم به تشخیص دستگاه نظارت
۱۱		آزمایش وزن واحد حجم و عدد pH	برای مقایسه با ویژگی اعلام شده توسط تولیدکننده	حدائق هفتاهی یکبار و در صورت نیاز به تشخیص دستگاه نظارت
۱۲	افزودنی های مولسیونی (۵)	بازرسی استاد تحویل مواد به کارگاه	اطمنان از انطباق مواد با سفارش خرید و نام کارخانه تولیدکننده مواد به شرح ثبت شده در سفارش	بهازای هر محموله وارد شده به کارگاه
۱۳		آزمایش وزن واحد حجم	اطمنان از یکنواختی مواد	بهازای هر محموله وارد شده به کارگاه

جدول ۳ - ۸ بازرسی و کنترل کیفیت مصالح بتن (ادامه)

ردیف	نوع مصالح	بازرسی - آزمایش	هدف	دوره بازرسی و آزمایش
۱۴	افزونه‌ها (به صورت پودر) (۵)	بازرسی استناد تحویل مواد به کارگاه	اطمینان از انطباق مواد با سفارش خرید از نظر نوع و کیفیت و نام کارخانه تولیدکننده در ثبت سفارش	به‌ازای هر محموله واردشده به کارگاه
۱۵	آب	آزمایش تجزیه شیمیایی براساس استاندارد مربوط	اطمینان از عدم وجود ناخالصی‌های زیان‌آور در آب	فقط وقتی که آب از منابع آب شرب عمومی نبوده و یا وقتی که آب از منابع جدیدی تهیه شده و مورد تردید باشد.
۱۶		آزمایش ملات براساس استاندارد مربوط	برای مقایسه نتایج حاصل از آزمایش‌های استاندارد با آب صرفی و آب مقطر	به‌شرح مورد بالا در همین ستون

توضیحات :

- ۱ - جداول ماهی یکبار و یا به‌ازای هر  $100$  تن سیمان، هر کدام زودتر اتفاق افتاد، به‌ازای هر نوع سیمان، نمونه‌گیری شده و مورد آزمایش قرار گیرد. در ضمن به‌ازای هر محموله سیمان تحویل شده به کارگاه لازم است حداقل سه کیلوگرم نمونه تهیه و به‌ نحو مناسب علامت‌گذاری و به‌مدت  $4$  ماه نگهداری شود تا در صورت لزوم مورد آزمایش قرار گیرد.
- ۲ - برای هر محموله واردشده به کارگاه، مشخصات کارخانه و نوع سیمان باید در برگ تحویل ثبت شده باشد.
- ۳ - برای هر تغییر معدن یا منبع سنگدانه واردشده به کارگاه باید اطلاعاتی در مورد حداکثر میزان کلرید (Cl) و سولفات ( $\text{SO}_4$ ) قابل حل در آب موجود در مصالح و همچنین قابلیت و حساسیت احتمالی سنگدانه نسبت به واکنش زایی قلبایی، مشخص شود.
- ۴ - آزمایش از سنگدانه‌های ابافت شده در محل تولید بتن و در زمان تهیه بتن انجام می‌شود.
- ۵ - از هر محموله ماده افزودنی واردشده به کارگاه، باید نمونه‌گیری شده و ضمن نگهداری نمونه‌ها، در صورت لزوم روی آنها آزمایش‌های لازم به عمل آید.

## قسمت ب: فولاد

### ۳ - ۹ علایم اختصاری

$E_s$  = مدول الاستیسیته میلگردهای فولادی، مگاپاسکال (نیوتن بر میلی متر مربع)  
 $\sigma_u$  = مقاومت کششی میلگردهای فولادی، مگاپاسکال (نیوتن بر میلی متر مربع)

$f_y$  = تنش تسلیم میلگردهای فولادی، مگاپاسکال (نیوتن بر میلی‌متر مربع)

$f_yk$  = مقاومت مشخصه میلگردهای فولادی، مگاپاسکال (نیوتن بر میلی‌متر مربع)

$f_{y,obs}$  = حد الاستیسیته به دست آمده از آزمایش کششی میلگردهای فولادی، مگاپاسکال (نیوتن بر میلی‌مترمربع)

$f_{ym}$  = میانگین تنش تسلیم ۱۰ نمونه مورد آزمایش موضوع رابطه ۴ - ۳

$s_{10}$  = انحراف معیار تنش تسلیم ۱۰ نمونه، موضوع رابطه ۴ - ۴

### ۱۰-۳ کلیات

هر نوع فولاد به صورت میلگرد یا سیم که به موجب این آیین‌نامه به عنوان آرماتور در بتون آرمه به کار رود باید مطابق استانداردهای معتبر تولید شده و دارای برگ شناسایی کارخانه سازنده باشد.

### ۱۱-۳ انواع فولاد

انواع فولادهای مصرفی در بتون آرمه از نظر روش تولید، شکل رویه، جوش‌پذیری و شکل‌پذیری به شرح زیر است:

#### ۱۱-۱-۳ روش تولید

الف - فولاد نورد شده در حالت گرم (گرم نوردشده).

ب - فولاد اصلاح شده در حالت سرد به وسیله عملیات مکانیکی از قبیل پیچاندن، کشیدن، نورد کردن یا گذراندن از حدیده (سرد اصلاح شده).

پ - فولاد ویژه که با عملیاتی مانند گرمایش و آبدادگی سخت شده است (گرم عمل آمده).

#### ۱۱-۲-۳ شکل رویه

الف - میلگرد آجدار

ب - میلگرد ساده

#### ۱۱-۳-۳ جوش‌پذیری

فولاد از نظر جوش‌پذیری به سه رده زیر طبقه‌بندی می‌شود:

- الف - فولاد جوش پذیر که با تجهیزات و روش‌های متداول قابل جوشکاری است.
- ب - فولاد جوش پذیر مشروط که در شرایطی معین با تجهیزات و روش‌های معین قابل جوشکاری است.
- پ - فولاد جوش ناپذیر که با وسایل متعارف قابل جوشکاری نیست.

### ۱۱-۳ شکل پذیری

فولاد از نظر شکل پذیری به سه رده زیر طبقه‌بندی می‌شود:

- الف - فولاد نرم که منحنی تنش - تغییر شکل نسبی آن دارای پله تسلیم مشهود است.
- ب - فولاد نیم‌سخت که منحنی تنش - تغییر شکل نسبی آن دارای پله تسلیم بسیار محدود است.
- پ - فولاد سخت که منحنی تنش - تغییر شکل نسبی آن قادر پله تسلیم است.

### ۱۲-۳ قطر اسمی

۱۲-۱ آرماتور به صورت کلاف، شاخه و شبکه‌های جوش شده یا بافته شده در کارخانه، برای مصرف عرضه می‌شود و تفکیک میلگردها از هم براساس قطر اسمی است.

۱۲-۲ قطر اسمی میلگرد ساده قطری است که در برگ شناسایی ذکر می‌شود و معادل قطر دایره هم‌مساحت با مقطع عرضی نظری میلگرد بر حسب میلی‌متر است.

۱۲-۳ قطر اسمی، سطح رویه اسمی و سطح مقطع اسمی میلگردهای آجدار به ترتیب برابر است با قطر، سطح رویه و سطح مقطع میلگردهای ساده صاف هم وزن آنها.

۱۲-۴ در محاسبات وزن، سطح رویه و سطح مقطع میلگرد، قطر اسمی آن و جرم واحد حجم معادل ۷۸۵۰ کیلوگرم در متر مکعب ملاک قرار می‌گیرد.

۱۲-۵ قطرهای اسمی میلگردها از ۵ تا ۵۰ میلی‌متر با گام‌های مختلف، و قطرهای اسمی سیم‌های شبکه‌های جوش شده از ۴ تا ۱۲ میلی‌متر با گام ۵/۰ میلی‌متر می‌باشند.

۱۲-۶ قطرهای اسمی مرجع مورد مصرف در بتن آرمه بر حسب میلی‌متر به شرح زیر است:  
۵، ۶، ۸، ۱۰، ۱۲، ۱۶، ۲۰، ۲۵، ۳۲، ۴۰، ۵۰

### ۱۳-۳ مشخصات مکانیکی

#### ۱۳-۳-۱ تنش تسلیم فولاد، $f_y$ ، و مقاومت مشخصه فولاد، $f_{y,k}$

مقاومت مشخصه فولاد براساس مقدار تنش تسلیم آن تعیین می‌شود، و معادل مقداری است که حد اکثر ۵ درصد مقادیر اندازه گیری شده برای حد تسلیم ممکن است کمتر از آن باشد. در مواردی که تنش تسلیم فولاد بهوضوح مشخص نباشد مقدار آن معادل تنش نظیر  $2/0$  درصد تغییر شکل نسبی ماندگار اختیار می‌شود.

با آزمایش کششی هر آزمونه باید ثابت شود روابط زیر برقرار است:

$$f_{su} \geq 1/18 f_y, \text{obs} \quad f_{su} \geq 1/25 f_y \quad (1-3)$$

#### ۱۳-۳-۲ طبقه‌بندی میلگردها

میلگردهای فولادی براساس مقاومت مشخصه طبقه‌بندی می‌شوند، طبقه‌بندی میلگردهای مصرفی در بتن آرمه بر حسب نوع فولاد به شرح زیر است:

S220      S300      S350      S400      S500

اعداد بعد از S بیانگر حداقل مقاومت مشخصه میلگرد بر حسب نیوتن بر میلی متر مربع می‌باشند.

#### ۱۳-۳-۳ آزمایش‌ها

آزمایش‌های مختلف روی نمونه‌های میلگردهای فولادی باید با رعایت بندهای ۱۳-۳ و ۱۳-۵ مطابق استانداردهای زیر به عمل آید:

- آزمایش کششی میلگرد (دت ۷۰۱).
- آزمایش تاشدگی به زاویه  $180^\circ$  درجه (دت ۷۰۳).
- آزمایش خمکردن و بازکردن خم میلگرد (دت ۷۰۳).
- آزمایش کششی بعد از خمکردن و بازکردن خم میلگردها و سیم‌های با قطر کمتر از ۹ میلی متر (دت ۷۰۲).
- آزمایش پیوستگی میلگرد با بتن (دت ۷۰۴) و (دت ۷۰۵).
- آزمایش وصله‌های جوش شده میلگرد (دت ۷۰۶).
- آزمایش خستگی میلگرد (دت ۷۰۷).

تبصره: آزمایش کششی برای تمامی میلگردها و آزمایش خمکردن و بازکردن خم یا آزمایش تاشدگی با زاویه  $180^\circ$  درجه برای میلگردهای سرد اصلاح شده الزامی است.

**۱۳-۳ نمونه برداری**

مقاومت و سایر مشخصه‌های میلگردها براساس نتایج آزمایش آزمونه‌های بریده شده از آنها تعیین می‌شوند. در هر نمونه برداری باید یک نمونه به طول یک متر بریده شود و آزمونه‌ها از این نمونه جدا شوند.

**۱۳-۴ تواتر نمونه برداری**

تعداد و تراویر نمونه‌ها باید طوری باشد که ارزیابی کیفیت کل آرماتور مصرفی ممکن شود. برای این منظور باید از هر پنجاه تن و کسر آن، از هر قطر و هر نوع فولاد حداقل پنج نمونه برداشته شود. در صورت موافقت دستگاه نظارت می‌توان از هر سه بندل پنج تنی میلگردهای مشابه، یک نمونه انتخاب کرد.

**۱۳-۵ ضوابط پذیرش میلگردها (یا فولاد)**

مقاومت مشخصه فولاد وقتی منطبق بر طبقه مورد نظر و قابل قبول تلقی می‌شود که علاوه بر تأمین شرایط بندهای ۱۳-۱ و ۱۳-۲ یکی از شرایط زیر هم برآورده شود:

**۱۳-۶-۱** در میان نتایج آزمایش‌های کششی ۵ نمونه، تنش تسلیم هیچ‌کدام از آزمونه‌ها کمتر از مقاومت مشخصه فولاد نباشد.

**۱۳-۶-۲** در صورت برآورده نشدن بند ۱۳-۶-۱ باید یکسری دیگر شامل ۵ نمونه مورد آزمایش قرار گیرد. در این صورت نتایج بدست آمده از کل ۱۰ آزمونه باید در رابطه زیر صدق کنند:

$$f_{ym} \geq f_y + 0.6 s_{10} \quad (2-3)$$

که در آن  $f_{ym}$  و  $s_{10}$  به شرح زیر هستند:

$$f_{ym} = \frac{\sum_{i=1}^{10} f_{yi}}{10} = \frac{f_{y1} + f_{y2} + \dots + f_{y10}}{10} \quad (3-3)$$

$$s_{10} = \sqrt{\frac{\sum_{i=1}^{10} (f_{ym} - f_{yi})^2}{9}} \quad (4-3)$$

در صورت برآورده نشدن شرایط دو بند فوق مقاومت مشخصه فولاد از نظر انطباق با طبقه مورد نظر، قابل قبول نخواهد بود.

### ۱۴-۳ تغییرشکل‌ها

#### ۱۴-۳-۱ نمودار تنش - تغییرشکل نسبی

برای سهولت محاسبه می‌توان نمودار واقعی تنش - تغییرشکل نسبی فولاد را با نموداری دو خطی جایگزین کرد. نمودار تنش - تغییر شکل نسبی فولاد در کشش و فشار یکسان در نظر گرفته می‌شود.

#### ۱۴-۳-۲ مدول الاستیسیته

مدول الاستیسیته برای تمامی میلگردهای مصرفی در بتن آرمه برابر با  $200/000$  مگاپاسکال (نیوتون بر میلی مترمربع) فرض می‌شود.

#### ۱۴-۳-۳ ضریب انبساط حرارتی

ضریب انبساط حرارتی برای تمامی میلگردهای مصرفی در بتن آرمه معادل  $1 \times 10^{-5}$  به ازای هر درجه سلسیوس (سانتی‌گراد) است.

### ۱۵-۳ شکل پذیری

شکل پذیری میلگردها براساس آزمایش تاشدگی با زاویه  $180^\circ$  درجه با آزمایش خمکردن و بازکردن خم با استفاده از فلکه استاندارد تعیین می‌شود. شکل پذیری میلگردها وقتی قابل قبول تلقی می‌شود که از دیاد طول نسبی گسیختگی در آزمایش کششی از ۸ درصد روی ده برابر قطر و ۱۲ درصد روی پنج برابر قطر میلگرد کمتر نباشد.

### ۱۶-۳ جوش‌پذیری

جوش‌پذیری میلگردها به نحوه تولید و نیز ترکیب شیمیایی فولاد آنها بستگی دارد. تمامی میلگردهای گرم نورد شده با ترکیب شیمیایی متعارف، دارای جوش‌پذیری مطلوب تلقی می‌شوند. میلگردهای سرد اصلاح شده و گرم عمل آمده، به حرارت جوش حساسیت بسیار دارند و با روش‌های معمول جوش‌پذیری نیستند. وصله جوشی این گونه میلگردها با رعایت ضوابطی خاص میسر است.

### ۱۷-۳ انبار کردن، نگهداری و کنترل فولاد

۱۷-۱ میلگردهای فولادی را باید در محلهای تمیز و عاری از رطوبت انبار کرد تا از زنگزدگی و کثیف شدن سطح آنها جلوگیری شود.

۱۷-۲ میلگردهایی که تا حد پوسته شدن زنگزده باشند بهویژه میگردهایی که به طور موضعی و عمیق دچار خوردگی شده‌اند، بدون انجام آزمایش و حصول اطمینان از انطباق مشخصه‌های آنها با مشخصه‌های مورد نظر و در نظر گرفتن کاهش احتمالی سطح مقطع، قابل مصرف در بتن آرمه نمی‌باشند.



## فصل ۴

### بارگذاری

#### ۱-۱ دامنه

این فصل اختصاص به معرفی حداقل بارهای وارد بر سیلو دارد. بارهایی که در طراحی سیلو باید مورد توجه قرار گیرند، عبارتند از:

- ۱ - بار مرده شامل وزن سازه
- ۲ - بار زنده بهره‌برداری و وزن ماشین آلات و تجهیزات نصب شده روی سیلو
- ۳ - فشار ناشی از مصالح ذخیره شده در سیلو شامل:
  - الف: فشار و وزن مصالح انبار شده، در حالت استاتیکی
  - ب: اضافه فشارها نسبت به بند الف، در هنگام پر و خالی کردن مصالح
- ۴ - بار برف
- ۵ - بار باد
- ۶ - بار زلزله
- ۷ - نیروهای حرارتی به علت محیط اطراف و مصالح گرم ذخیره شده در سیلو

#### ۲-۲ بار مرده

بار مرده شامل وزن سازه و تجهیزات ثابت نصب شده در سیلو می‌باشد. بار مرده سازه با توجه به وزن مخصوص مصالح به کار رفته تعیین می‌گردد. وزن مخصوص مصالح از آخرين ويرايish آين نامه حداقل بارهای وارد بر ساختمان<sup>\*</sup> تعیین می‌گردد.

\* استاندارد ۵۱۹ یا مبحث ششم از مجموعه مقررات ملی ساختمانی ایران

### ۴-۳ بارزنده و ماشین آلات

بارزنده شامل بارهای بهره‌برداری در فضا و راهروهای ارتباطی و دسترسی می‌باشد که مقادیر توصیه شده در آیین‌نامه حداقل بارهای وارد بر ساختمان<sup>\*</sup> باید مورد استفاده قرار گیرند. وزن ماشین آلات با توجه به مشخصات ارائه شده از طرف کارخانه سازنده تعیین می‌گردد که باید ضریب ضربه مناسب برای آن در نظر گرفته شود.

### ۴-۴ فشار ناشی از مصالح ذخیره شده

#### ۱-۴-۴ کلیات

فشار مصالح در مقابل جدار قائم سیلو و کف سیلو باید با استفاده از یکی از روش‌های معرفی شده در این قسمت محاسبه شوند. فشار مصالح نه تنها باید در حالت استاتیک مورد توجه قرار گیرند، بلکه باید هر گونه افزایش یا کاهش فشار ناشی از پدیده‌هایی نظیر؛ پر کردن، خالی کردن، قوس زدن مصالح، شکست قوس، هواده‌ی، و تخلیه بروزمحور مورد توجه قرار گیرد. در سیلوهای گروهی، پر و خالی بودن متناوب سیلوها باید مورد توجه قرار گیرد.

#### ۲-۴-۴ فشار مصالح در سیلو

۱-۲-۴-۱ فشار استاتیکی ناشی از مصالح در حال سکون را می‌توان با استفاده از یکی از روش‌های زیر تعیین نمود:

#### ۱-۲-۴-۱ روش جنسن<sup>۱</sup>

۱- فشار استاتیکی قائم در عمق  $Y$  از سطح آزاد مصالح برابر است با:

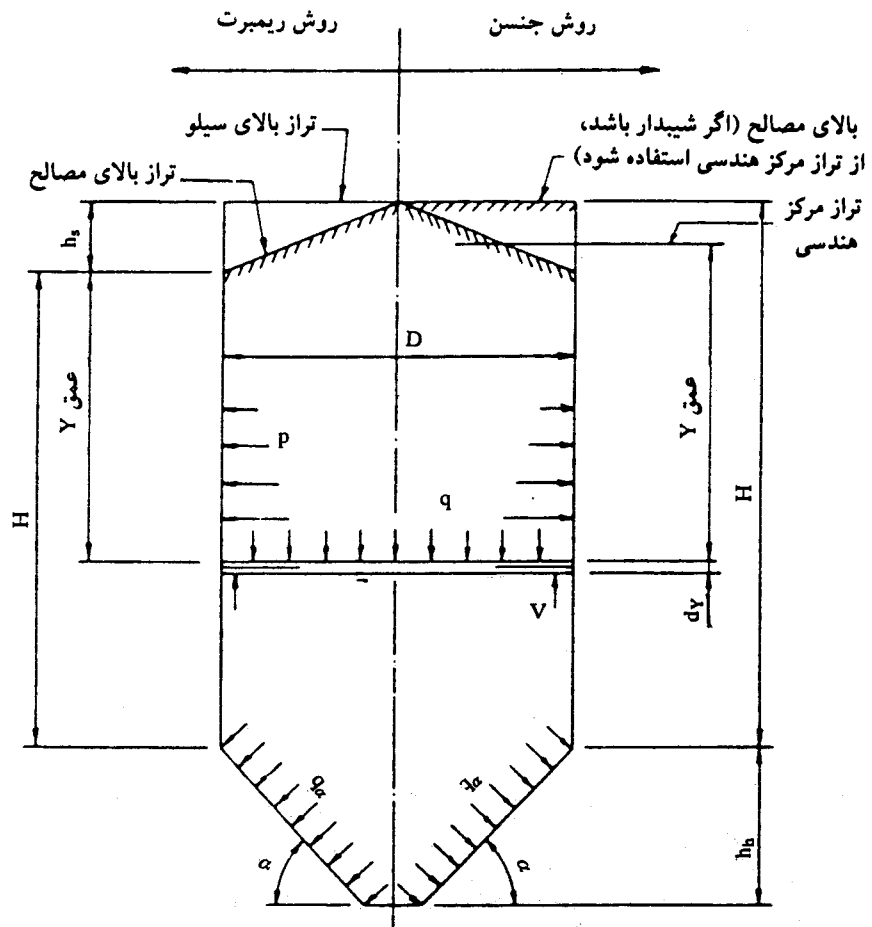
$$q = \frac{\gamma R}{\mu' k} [1 - e^{-\mu' K Y / R}] = \gamma Y \cdot [1 - e^{-\gamma Y}] \quad (1-4)$$

$$Y = \frac{R}{\mu' K}$$

که در رابطه فوق:

$\gamma$  = وزن مخصوص مصالح ذخیره شده (جدول ۴-۱)

\* استاندارد ۵۱۹ یا مبحث ششم از مجموعه مقررات ملی ساختمانی ایران



شکل ۴ - ۱ هندسه سیلو و مصالح داخل آن برای استفاده در روابط جنسن و ریمبرت.

$\mu'$  = ضریب اصطکاک بین مصالح ذخیره شده و جدار سیلو (جدول ۴ - ۱)

$R$  = شعاع هیدرولیکی. برای سیلوها با مقطع دایره،  $R=D/4$  می‌باشد که در آن  $D$  قطر داخلی دایره است.

برای سیلوها با مقطع چندضلعی منظم،  $R=D_e/4$  می‌باشد که در آن  $D_e$  قطر دایره معادل مقطع داخلی چندضلعی است.

برای سیلوها با مقطع مریع،  $R=a/4$  می‌باشد که در آن  $a$  ضلع مریع است.

برای محاسبه فشار در مجاورت ضلع کوچک سیلوی مریع مستطیل، از  $R=a/4$  و برای محاسبه فشار در مجاورت ضلع بزرگ سیلو مریع مستطیل، از  $R=a'/4$  استفاده نمایید که در آن:

$$a' = \frac{2ab}{a+b} \quad (2-4)$$

= ضلع کوچک مستطیل

= ضلع بلند مستطیل

جدول ۴ - ۱ مشخصات مصالح

نوع مصالح	جرم مخصوص مصالح (kg/m³)	زاویه ریزش (درجه)	ضریب اصطکاک' $\mu'$	
			در مقابل فولاد	در مقابل بتن
سیمان - کلینکر	۱۴۱۰	۳۳	۰/۶	۰/۳
سیمان پرتلند	۱۳۴۴ - ۱۶۰۰	۲۴ تا ۳۰	۰/۳۶ - ۰/۴۵	۰/۳۰
رس	۱۷۰۰ - ۲۲۱۰	۱۵ تا ۴۰	۰/۲ - ۰/۵	۰/۳۶ - ۰/۷
ذغال سنگ	۸۰۰ - ۱۰۴۰	۳۲ تا ۴۴	۰/۵۰ - ۰/۶۰	۰/۳۰
ذعال سنگ (اتراسیت)	۹۶۰ - ۱۱۲۰	۲۴ تا ۳۰	۰/۴۵ - ۰/۵۰	۰/۳۰
کک	۶۰۰	۴۰	۰/۸۰	۰/۵۰
آرد	۶۰۰	۴۰	۰/۳۰	۰/۳۰
شن	۱۶۰۰ - ۲۰۰۰	۲۵ تا ۳۵	۰/۴۵ - ۰/۴۰	
گندم	۹۰۰	۳۰	۰/۳۸	۰/۳۴
غلات ریز شامل ذرت، جو، باقلاء، برنج	۷۳۶ - ۹۹۰	۲۲ تا ۳۷	۰/۲۹ - ۰/۴۷	۰/۲۶ - ۰/۴۲
گچ (غیرپودری) - سنگ آهک	۱۶۰۰	۴۰	۰/۵	۰/۳
سنگ آهن	۲۶۴۰	۴۰	۰/۵۰	۰/۳۶
آهک شکفته	۸۰۰ - ۹۶۰	۳۵ تا ۵۵	۰/۵۰ - ۰/۶۰	۰/۳۰
آهک ریزدانه	۹۱۰	۲۵	۰/۵	۰/۳
آهک درشت‌دانه	۱۲۰۰	۲۵	۰/۵	۰/۳
آهک پودری	۷۰۰	۲۵	۰/۵۰	۰/۳۰
سنگ مقناطیس	۲۰۰۰	۴۰		
ماسه	۱۶۰۰ - ۲۰۰۰	۲۵ تا ۴۰	۰/۴۰ - ۰/۷۰	۰/۳۵ - ۰/۵۰
لوبیا (دانه) - نخود	۸۰۰ - ۹۶۰	۲۲	۰/۲۵	۰/۲۰
شکر	۱۰۰۰	۲۵	۰/۴۳	

در جدول ۴ - ۲ مشخصات هندسی مقاطع گوناگون سیلو نشان داده شده است.  
 $k = \text{ضریب فشار جانبی رانکین طبق رابطه زیر:}$

$$k = \frac{1 - \sin \rho}{1 + \sin \rho} \quad (3-4.)$$

جدول ۴ - ۲ خواص هندسی مقاطع

مقاطع	A مساحت	L محیط	شعاع هیدرولیکی R
دایره	$\frac{\pi}{4} D^2$	$\pi D$	$\frac{D}{4}$
قطعه	$\alpha D^2 / \lambda$ رادیان، $\alpha / 100 \times 10^3 \alpha D^2$ درجه،	$(\frac{\alpha}{4} + 1)D$ $(0.001 \times 10^3 \alpha + 1)D$	$\frac{D/4}{1 + 2/\alpha}$ $\frac{D/4}{1 + 114/6/\alpha}$
	$\frac{ND^2}{\lambda} \sin \frac{N\pi}{N}$ $\frac{ND^2}{\lambda} \cot \frac{\pi}{N}$	$ND \sin \frac{\pi}{N}$ Na	$\frac{D}{4} \cos \frac{\pi}{N}$ $\frac{a}{4} \cot \frac{\pi}{N}$
مستطیل	ab	$2(a+b)$	$\frac{ab}{2(a+b)}$ (ضلع بزرگ) $\frac{a}{4}$ (ضلع کوچک)
مستطیل بلند	--	--	$\frac{a}{2}$
حلقه	$\frac{\pi}{4} (D_e^2 - D_i^2)$	$\pi(D_e + D_i)$	$\frac{(D_e - D_i)}{4}$
کندوی ستاره‌ای	$(1 - \frac{\pi}{4})D^2$	$\pi D$	$\frac{a}{4} = 0.104 D$

که در آن م زاویه اصطکاک داخلی و یا به طور تقریب، زاویه ریزش مصالح ذخیره شده در سیلو می باشد (جدول ۴ - ۱).

در جدول ۴ - ۳ مقدار  $Y/Y_0 = e^{-Y/Y_0}$  بر حسب نسبت  $Y/Y_0$  ارائه شده است.

جدول ۴ - ۳ مقدار  $Y/Y_0 = e^{-Y/Y_0}$  بر حسب نسبت  $Y/Y_0$

$Y/Y_0$	۰	۰/۱	۰/۲	۰/۳	۰/۴	۰/۵	۰/۶	۰/۷	۰/۸	۰/۹
۰	۰	۰/۰۹۵	۰/۱۸۱	۰/۲۰۹	۰/۲۳۳	۰/۲۹۳	۰/۴۵۱	۰/۵۰۳	۰/۵۵۱	۰/۵۹۳
۱	۰/۵۳۲	۰/۶۵۷	۰/۸۹۹	۰/۷۲۷	۰/۷۵۳	۰/۷۷۷	۰/۷۹۸	۰/۸۱۷	۰/۸۳۵	۰/۸۵۰
۲	۰/۸۶۵	۰/۸۷۸	۰/۸۸۹	۰/۹۰۰	۰/۹۰۱	۰/۹۱۸	۰/۹۲۶	۰/۹۳۳	۰/۹۳۹	۰/۹۴۵
۳	۰/۹۵۰	۰/۹۵۵	۰/۹۵۹	۰/۹۶۳	۰/۹۶۷	۰/۹۷۰	۰/۹۷۳	۰/۹۷۵	۰/۹۷۸	۰/۹۸۰
۴	۰/۹۸۲	۰/۹۸۳	۰/۹۸۵	۰/۹۸۶	۰/۹۸۸	۰/۹۸۹	۰/۹۹۰	۰/۹۹۱	۰/۹۹۲	۰/۹۹۳

۲ - فشار جانبی استاتیکی در عمق  $Y$  برابر است با:

$$p=qk \quad (4-4)$$

که در آن  $q$  طبق رابطه ۴ - ۱ و  $k$  طبق رابطه ۴ - ۳ می باشد.

۳ - فشار اصطکاکی قائم برای عرض واحد محیط جدار در بالای عمق  $Y$  برابر است با:

$$V=(\gamma Y - 0.8 q)R \quad (5-4)$$

۴ - ۲ - ۱ - ۲ - ۴ - ۲ روش ریمیرت (شکل ۴ - ۱)

۱ - فشار قائم استاتیکی در عمق  $Y$  از سطح آزاد مصالح برابر است با:

$$q=\gamma \left[ Y \left( \frac{Y}{C} + 1 \right)^{-1} + \frac{h_s}{3} \right] \quad (6-4)$$

۲ - فشار جانبی استاتیکی در عمق  $Y$  برابر است با:

$$p=p_{max} \left[ 1 - \left( \frac{Y}{C} + 1 \right)^{-2} \right] \quad (7-4)$$

$P_{max}$  = حداقل فشار استاتیکی

در روابط ۴ - ۶ و ۴ - ۷ داریم:

(الف) برای سیلو با مقطع دایره

$$p_{max} = \frac{\gamma D}{4\mu'} \quad (8-4)$$

$$C = \frac{D}{4\mu' K} - \frac{h_s}{3} \quad (9-4)$$

$D$  = قطر داخلی مقطع

$\gamma$  = وزن مخصوص مصالح (جدول ۴ - ۱)

$\mu'$  = ضریب اصطکاک مصالح با جدار سیلو (جدول ۴ - ۱)

$h_s$  = مطابق شکل ۴ - ۱

$k$  = ضریب فشار جانبی طبق رابطه ۴ - ۲

(ب) برای سیلو با مقطع چند ضلعی (بزرگتر از ۴):

$$p_{max} = \frac{\gamma R}{\mu'} \quad (10-4)$$

$$C = \frac{L}{\pi} \times \frac{1}{4\mu' K} - \frac{h_s}{3} \quad (11-4)$$

$R$  = شعاع هیدرولیکی طبق توضیحات زیر رابطه ۴ - ۱

$L$  = محیط داخلی مقطع چند ضلعی

(پ) برای سیلوها با مقطع مستطیلی - فشار روی ضلع کوچک  $a$

$$p_{max} = \frac{\gamma a}{4\mu'} \quad (12-4)$$

$$C = \frac{a}{\pi\mu' k} - \frac{h_s}{3} \quad (13-4)$$

سیلوها با مقطع مستطیلی - فشار روی ضلع بزرگ  $b$

$$p_{max} = \frac{\gamma a'}{4\mu'} \quad (14-4)$$

که در آن  $a'$  طبق رابطه ۴ - ۲ تعریف می‌شود.

$$C = \frac{a'}{\pi\mu' K} - \frac{h_s}{3} \quad (15-4)$$

۳ - نیروی اصطکاکی قائم برای عرض واحد محیط دیوار در عمق  $Y$  برابر است با:

$$V = (\gamma Y - q)R \quad (16-4)$$

که در آن  $R$  همانند روش جنسن تعریف می‌شود.

جدول ٤ - ٤ ضریب افزایش فشار \* $C_4$

- مقادیر Cd ارایه شده برای پایین ترین تراز هر ناجیه می باشد.
  - در مطالعه که برای اصلاح جریان و سیلهای تعبیه شده است، فشار جانبی طرح سکن است چندین برابر فشار استانیک باشد و مقادیر  $C_0$  ارایه شده در جدول برای این ترازات سیلهای تعبیه شده است.
  - شارکت لام نیست از زنگ ناشی از وزن  $100 \text{ dyne/cm}^2$  درصد مصالح بیشتر شود.
  - اگر  $2H_1 < H_2 < H_3$  باشد، از تقدار درم  $C_0$  برای کل تراکم سلول استفاده شود.
  - برای مقادیر پایین‌ترین H/D، می‌توان از درونیابی خطی استفاده کرد.
  - برای مصالح خرسنگی‌ساز، ضربی  $C_0$  مربوط به محاسبه فشار کف را می‌توان در  $75\%$  ضرب کرد، به استثنای سیلهای هموزن‌کننده که در آنها برای تخلیه از هوا فشرد استفاده شود.

\* در این جدول برای جریان توده‌ای بسیار کوچک هستند.

## ۳ - ۱ - ۲ - ۴ - ۴ فشار روی سطوح مایل (هر دو روش)

فشار استاتیکی عمود بر هر گونه سطحی در عمق  $Y$  که با سطح افق زاویه  $\alpha$  می‌سازد، برابر است با:

$$q_\alpha = p \sin^2 \alpha + q \cos^2 \alpha \quad (17-4)$$

## ۴ - ۲ - ۲ - ۴ - ۴ فشار طراحی به علت مصالح ذخیره شده

فشارهای طراحی  $P_{des}$ ،  $q_{des}$ ، و  $q_{\alpha,des}$  از ضرب فشارهای استاتیکی محاسبه شده طبق روابط ۴ - ۱ تا ۴ - ۱۷ در ضریب افزایش فشار  $C_d$  و یا ضریب ضربه  $C_i$  هر کدام که نتایج بزرگتری به دست دهد، تعیین می‌شود. برای ضربه، فشار قائم نیز باید در  $C_i$  ضرب شود. مقادیر حداقل  $C_d$  و  $C_i$  در جداول ۴ - ۴ و ۴ - ۵ ارائه شده‌اند.

جدول ۴ - ۵ ضریب ضربه  $C_i$ 

نسبت حجم مصالحی که در یک نوبت بارگیری می‌شود به حجم کل سیلو						ضریب $C_i$
۱	۱/۱	۱/۲	۱/۳	۱/۴	کف پتنی	
۱/۲۵	۱/۲۵	۱/۵	۱/۶	۱/۷۵	کف فولادی	

## ۴ - ۲ - ۳ - ۴ فشار در سیلوهای هموزن کننده

سیلوهای هموزن کننده، سیلوهایی هستند که در آنها از فشار هوا برای مخلوط کردن و به حرکت درآوردن مصالح ذخیره شده پودر مانند (دانه‌های بسیار ریز) استفاده می‌شود. در این‌گونه سیلوها فشار طراحی بزرگترین مقدار دو حالت ۱ و ۲ می‌باشد.

حالت ۱: فشار محاسبه شده طبق روابط جنسن و ریمبرت با صرف نظر از فشار هوا.

حالت ۲: فشار محاسبه شده طبق رابطه زیر:

$$P_{des} = q_{des} = q_{\alpha,des} = 0.6 \gamma Y \quad (18-4)$$

که در آن  $\gamma$  وزن مخصوص مصالح در حالت عادی (هواده نشده) می‌باشد. در واقع رابطه ۴ - ۱۸، مصالح را همانند سیالی با وزن مخصوص  $\gamma$  ۰.۶ فرض می‌نماید که در آن ضریب  $6/0$  به علت افزایش فضای بین ذرات به علت ورود هوا می‌باشد.

نیروی اصطکاکی قائم برای عرض واحد دیوار، کماکان از روابط ۴ - ۵ و ۴ - ۱۶ محاسبه می‌شود.

## ۴-۲-۴ افزایش فشار به علت بروز محوری دهانه تخلیه

در صورتی که دهانه تخلیه چسبیده به دیوار باشد، فشار جانبی در ته سیلو، ۲۵ درصد بزرگتر از حالت استاتیکی در نظر گرفته شود. برای بروز محورهای کوچکتر، این مقدار را می‌توان به صورت خطی تا مقدار ضرب برای بروز محوری صفر کاهش داد. این افزایش فشار لازم نیست در ضریب افزایش فشار  $C_d$  ضرب شود. بنابراین فشار طراحی در عمق  $Y$  برابر است با:

$$p_{des} = C_d p + 0.25 p \frac{e}{r} \frac{Y}{H} \quad (19-4)$$

که در رابطه فوق:

$p$  = فشار استاتیکی در عمق  $Y$  طبق روابط ۴-۴ یا ۴-۷

$C_d$  = ضرب افزایش فشار طبق جدول ۴-۰

$e$  = بروز محوری دهانه تخلیه

$r$  = شعاع سیلو

$H$  = ارتفاع کل طبق شکل ۴-۱

$Y$  = عمق

توزیع افزایش فشار ناشی از بروز محوری در حول محیط ثابت نیست و بهمین دلیل باعث لنگر موضعی می‌شود. ولی در مورد سیلوهای کوچک و متوسط، این طور استدلال می‌شود که افزایش فولادهای حلقوی با فرض توزیع یکنواخت اضافه فشار جانبی، جبران میلگردی‌های لازم برای خمیش موضعی را می‌نماید.

## ۴-۳-۴ فشار مصالح در بونکرها

به علت کوچک بودن ارتفاع بونکرها، فشار قائم در هر تراز مساوی وزن مصالح موجود در بالای آن تراز و فشار جانبی طبق رابطه رانکین می‌باشد. اگر برای بونکرها نیز از روابط ۴-۱ تا ۴-۱۶ استفاده شود، خطای حاصله بسیار ناقص خواهد بود.

## ۴-۵ بار برف

بار برف وارد بر سطوح برفگیر سیلوها با توجه به آین‌نامه حداقل بار واردہ بر ساختمانها و اینیه فنی (استاندارد ۵۱۹) محاسبه می‌گردد.

## ۶-۴ فشار باد

طبق استاندارد ۵۱۹ ایران، فشار باد بر روی سطوح با دگیر سیلوها از رابطه زیر محاسبه می شود:

$$P = C_e C_q q \quad (20-4)$$

که در رابطه فوق:

$q = \text{فشار مبنای باد طبق رابطه زیر}$

$$q = 0.00005 V^2 \quad (21-4)$$

$V = \text{سرعت مبنای باد بر حسب کیلومتر بر ساعت طبق جدول ۶-۴ می باشد و نباید کمتر از}$

$80 \text{ کیلومتر بر ساعت انتخاب شود.}$

$q = \text{فشار مبنای باد بر حسب کیلو نیوتن بر متر مربع}$

$C_e = \text{ضریب اثر ارتفاع}$

$$C_e = 2 \left( \frac{z}{10} \right)^{0.16} \geq 2 \quad (22-4)$$

$z = \text{ارتفاع تراز مورد نظر در ساختمان از تراز زمین}$

تغییرات ضریب  $C_e$  در ارتفاع به صورت زیر می باشد.

۱۰۰-۱۲۰	۸۰-۱۰۰	۶۰-۸۰	۵۰-۶۰	۴۰-۵۰	۳۰-۴۰	۲۰-۳۰	۱۰-۲۰	۰-۱۰	Z
$C_e$	$2/9$	$2/8$	$2/7$	$2/6$	$2/5$	$2/4$	$2/2$	$2/0$	

$C_q = \text{ضریب شکل}$

$C_q = 1/4$

$\text{سیلو با پلان مربع یا مستطیل}$

$C_q = 1/10$

$\text{سیلو با پلان شش یا هشت ضلعی}$

$C_q = 0/8$

$\text{سیلو با پلان دایره}$

نیروی ناشی از باد از رابطه زیر محاسبه می شود:

$$F = P \cdot A \quad (23-4)$$

که در آن:

$P = \text{فشار باد طبق رابطه ۶-۲۰}$

$A = \text{تصویر سیلو روی سطحی عمود بر امتداد باد}$

جدول ۴ - ۶ سرعت مبنای باد برای نقاط مختلف کشور

ردیف	نام ایستگاه	سرعت مبنای باد (m/s)	ردیف	نام ایستگاه	سرعت مبنای باد (m/s)
۱	آبادان	۹۰	۲	آباده	۹۰
۳	آبعلی	۱۰۰	۴	اراک	۹۰
۵	اردبیل	۱۱۰	۶	ارومیه	۱۳۰
۷	آغاجاری	۹۰	۸	اصفهان	۱۱۰
۹	امیدیه	۱۱۰	۱۰	اهواز	۱۰۰
۱۱	ابرانشهر	۱۱۰	۱۲	بابلسر	۸۰
۱۳	بحورد	۱۱۰	۱۴	هم	۹۰
۱۵	بندرانزلی	۱۱۰	۱۶	بندرعباس	۱۰۰
۱۷	بندرلنگه	۱۱۰	۱۸	بوشهر	۹۰
۱۹	بیرجند	۱۰۰	۲۰	پارس آبادegan	۱۰۰
۲۱	تبریز	۱۰۰	۲۲	تریت حیدریه	۱۱۰
۲۳	تهران	۱۰۰	۲۴	جاسک	۱۰۰
۲۵	جزیره سیری	۱۰۰	۲۶	جزیره کیش	۹۰
۲۷	چابهار	۱۰۰	۲۸	خرمآباد	۹۰
۲۹	خوی	۹۰			

## ۴-۷ نیروی زلزله - روش استاتیکی معادل

طبق آینن نامه ۲۸۰۰، حداقل نیروی برشی پایه (برش پایه) در هر یک از امتدادهای افقی سازه سیلو برابر است با:

$$V = CW \quad (24-4)$$

در رابطه فوق:

$W$  = وزن مرده سازه به علاوه مصالح ذخیره شده در آن

$C$  = ضریب زلزله طبق رابطه زیر:

$$C = \frac{ABI}{R} \quad (25-4)$$

که در آن:

$A$  = شتاب مبنای طرح مساوی ۳/۵ ۰ برای پهنه با خطر نسبی بالا، ۰/۳ ۰ برای پهنه با خطر نسبی زیاد، ۰/۲۵ ۰ برای پهنه با خطر نسبی متوسط، و ۰/۲ ۰ برای پهنه با خطر نسبی کم، نقشه پهنه‌بندی ایران در آینن نامه ۲۸۰۰ ایران موجود می‌باشد.

$I$  = ضریب اهمیت که بر حسب اهمیت سیلو مقدار آن مساوی ۱ یا ۱/۲ است.

$R$  = ضریب رفتار مساوی ۴ برای سیلوها، قیف‌های متکی بر روی پایه‌های بادبندی شده و یا نشده و مساوی ۵ برای سیلوهایی که دارای جرم گسترده بوده و رفتارشان مشابه ستون طره‌ای است.

$B$  = ضریب بازتاب طبق رابطه زیر:

$$B = 2/5 \left( \frac{T}{T_0} \right)^{2/3} \leq 2/5 \quad (26-4)$$

که در آن:

$T$  = عددی بر حسب نوع زمین مساوی ۴ ۰ برای زمین نوع ۱، مساوی ۵ ۰ برای زمین نوع ۲، مساوی ۷ ۰ برای زمین نوع ۳، و مساوی ۱ برای زمین نوع ۴. طبقه‌بندی انواع زمین در جدول شماره ۲ آینن نامه ۲۸۰۰ ارائه شده است.

$T$  = زمان تناوب اصلی ارتعاش سیلو. در صورتی که ارتعاش سیلو به صورت ارتعاش تیر طره‌ای با جرم یکنواخت در نظر گرفته شود، زمان تناوب  $T$  از رابطه زیر قابل محاسبه است:

$$T = 1/\sqrt[4]{\frac{q}{gEI}} \quad (27-4)$$

که در آن:

$h$  = ارتفاع سیلو

$q$  = وزن واحد طول سیلو به همراه مصالح آن

$I$  = ممان اینترسی مقطع سیلو

$E$  = مدول الاستیستیت مصالح جدار سیلو

$g$  = شتاب ثقل

در صورتی که سیلو روی پایه‌ها متکی باشد و ارتفاع پایه‌ها در مقابل ارتفاع سیلو بلند باشد، (این مورد در اغلب موارد برای بونکرها (قیف‌ها) صادق است)، زمان تناوب از رابطه پاندول وارونه قابل محاسبه است:

$$T = 2\pi \sqrt{\frac{P}{gK}} \quad (28-4)$$

که در آن:

$P$  = وزن کل سیلو به علاوه  $\frac{1}{3}$  وزن پایه‌ها

$g$  = شتاب کل

$K$  = سختی جانبی پایه‌ها

در محاسبه برش پایه‌ها در سیلوها باید به محدودیت‌های زیر توجه نمود:

۱ - مقدار  $\frac{B}{R}$  نباید کمتر از  $5/0$  منظور شود.

۲ - سازه‌هایی که زمان تناوب اصلی ارتعاش آنها کمتر از  $6/0$  ثانیه است، صلب تلقی شده و مقدار  $\frac{B}{R}$  برای آنها  $5/0$  منظور می‌شود.

۳ - چنانچه زمان تناوب اصلی نوسان این نوع سازه‌ها از  $5/0$  ثانیه تجاوز نماید، اعمال روش تحلیل دینامیکی الزامی است.

### توزیع نیروی زلزله در ارتفاع

برای توزیع نیروی زلزله در ارتفاع، سیلو به قطعات متساوی در ارتفاع تقسیم شده، و نیروی مؤثر بر هر قطعه از رابطه زیر محاسبه می‌شود (شکل ۴-۲).

$$F_i = (V - F_t) \frac{w_i h_i}{\sum_{j=1}^n w_j h_j} \quad (29-4)$$

که در آن:

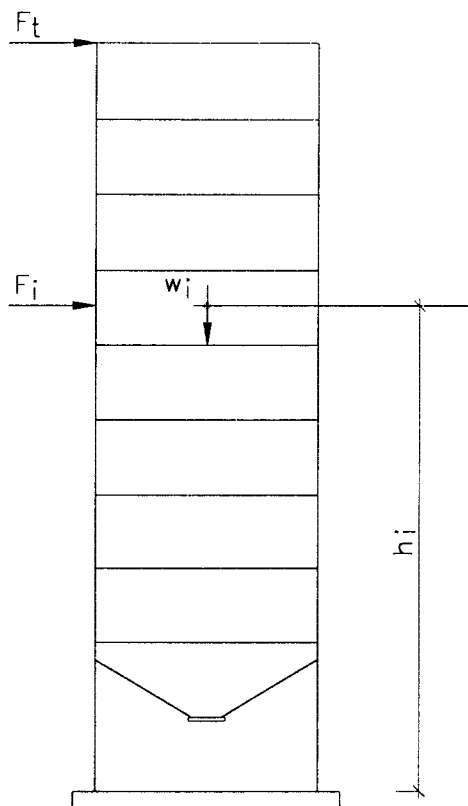
$F_i$  = نیروی جانبی در تراز قطعه  $i$

$w_i$  = وزن قطعه  $i$  ام به همراه مصالح داخل آن

$h_i$  = ارتفاع قطعه  $i$  ام از تراز پایه

$V$  = نیروی برشی پایه

$F_t$  = اثر شلاقی در تراز فوقانی



شکل ۴ - ۲

$$T > 0/v \text{ sec} : F_i = 0/0v TV$$

$$T \leq 0/v \text{ sec} : F_i = 0$$

$w_j$  و  $h_j$  به ترتیب وزن و ارتفاع قطعه زام

#### کف سیلوها

در هنگام زلزله فرض می شود ۸۰ درصد وزن مصالح ذخیره شده در سیلو، روی کف مؤثر شوند.

### ۸ - ۴ آثار دما

در طراحی سیلوها، آثار دما باید در هر یک از حالات زیر ملاحظه گردد:

۱ - افزایش یا کاهش یکنواخت دما

۲ - تابش یک طرفه آفتاب

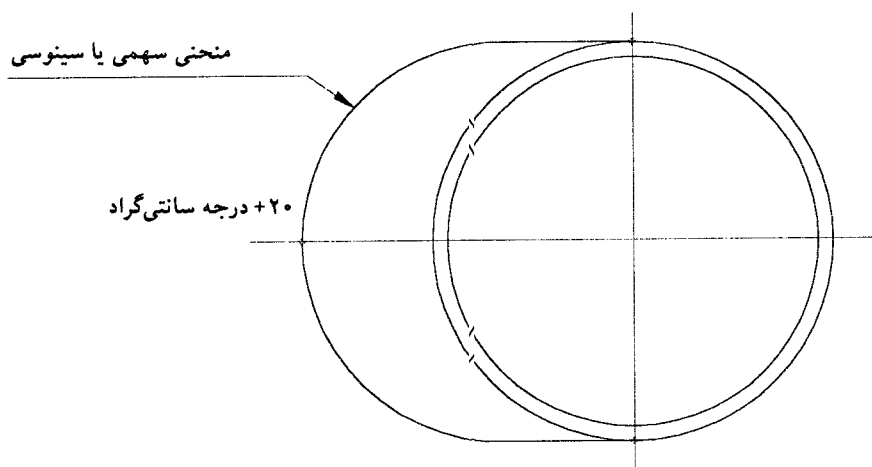
۳ - گرادیان حرارتی

#### ۱-۸-۴ افزایش یا کاهش یکنواخت دما

کل سازه باید برای افزایش یا کاهش دما به مقدار  $30^{\circ}$  درجه سانتی گراد نسبت به دمای مفروض ساخت، تحلیل گردد.

#### ۲-۸-۴ تابش یک طرفه آفتاب

سازه سیلو باید برای تابش یک طرفه آفتاب به مقدار  $+20^{\circ}$  درجه سانتی گراد طبق یلان زیر مطالعه گردد:



شکل ۴ - ۳

#### ۳-۸-۴ گرادیان حرارتی

اختلاف دمای  $\Delta T$  بین سطوح داخلی و خارجی جدار از رابطه زیر محاسبه می شود:

$$\Delta T = (T_{i,des} - T_i) K_t \quad (۳۰ - ۴)$$

که در آن:

$$T_{i,des} = T_i - ۴۴$$

$T_i$  = دمای مصالح ذخیره شده (درجه سانتی گراد). در صورتی که این دما کمتر از  $44^{\circ}$  درجه سانتی گراد باشد، نیاز به محاسبات گرادیان حرارتی نیست.

$$T_0 = \text{دمای محیط در زمستان}$$

$K_t$  = ضریب انتقال حرارت جدار. در صورتی که مصالح ذخیره شده سیمان باشد، مقدار آن از رابطه زیر قابل محاسبه است:

$$K_t = \frac{۰/۰۰۳۱۵t}{۴/۰۹ + ۰/۰۰۳۱۵t} \quad (۳۱ - ۴)$$

$t$  = ضخامت جدار بر حسب میلی متر

## فصل ۵

### تحلیل و طراحی

#### ۱-۱ معرفی

این فصل اختصاص به معرفی روش‌های تحلیل و طراحی سیلوهای بتن مسلح دارد. فرض بر این است که کلیه ضوابط مقرر شده در فصول دهم تا بیستم آیین‌نامه بتن ایران (آبآ) معتبر می‌باشند، مگر اینکه به نحوی در این فصل اصلاح و یا جایگزین شده باشند.

#### ۲-۱ تحلیل

سیلوها سازه‌های پوسته‌ای با رفتار غشایی، خمشی و یا ترکیبی از آنها می‌باشند. تحلیل این‌گونه سازه‌ها با استفاده از روش‌های خطی امکان‌پذیر است. دو روش جاری برای انجام تحلیل خطی عبارتند از:

- ۱ - تحلیل دستی به کمک روابط تحلیل حاصل از حل صریح معادلات دیفرانسیل تعادل و سازگاری تغییرشکل‌های پوسته‌ها.
- ۲ - تحلیل رایانه‌ای به کمک نرم‌افزارهایی که قابلیت تحلیل اجزای محدود دارند.

#### ۳-۱ تحلیل دستی

##### ۳-۱-۱ سیلوها با مقطع دایره (سیلوی گرد):

###### الف - کشش حلقوی

نیروی کششی حلقوی  $F$  برای ارتفاع واحد جدار سیلوی گرد به عل... شار شعاعی یکنواخت  $p$  از

رابطه زیر به دست می آید:

$$F = \frac{pD}{\gamma} \quad (1-5)$$

افزایش در طول قطر از رابطه زیر قابل محاسبه است:

$$\Delta D = \frac{pD^2}{4E_c} \quad (2-5)$$

در روابط فوق:

$p$  = فشار یکنواخت شعاعی

$D$  = قطر میانتار جدار

$t$  = ضخامت جدار

$E_c$  = جدول الاستیسیته بتن

$F$  = نیروی کششی حلقوی

$\Delta D$  = افزایش قطر

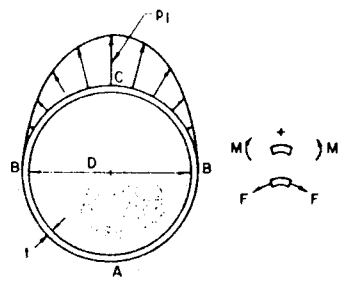
علاوه بر نیروی کششی حلقوی  $F$  برای نوارهای افقی، نوارهای قائم جدار سیلو تحت تنشی های فشاری به علیت بار سقف و نیروی اصطکاکی ناشی از مصالح نیز می باشد که طبق اصول استاتیک قابل محاسبه می باشند.

### ب - خمس موضعی

در بعضی از حالات، ممکن است فشارهای مونتمی بر جدار سیلو وارد شود که این فشارهای موضعی باعث ایجاد خمش و برش در پوسته سیلو می شوند. وجود برون محوری در مجرای تخلیه و یا شتاب ناشی از زلزله می توانند چنین فشارهایی را در سیلو تولید نمایند. در شکل ۱-۵، روابط لازم برای محاسبه نیروهای داخلی ایجاد شده بدullet دو حالت بارگذاری موضعی ارایه شده است که از آنها می توان در طراحی استفاده نمود.

### پ - سیلوهای گرد در حالت گروهی

گاهی موقع سیلوها همانند شکل ۲-۵ به صورت گروهی و بدون درز و یکپارچه طراحی می شوند. طرح اولیه هر کدام از کندوهای اصلی این سیلوها به صورت مجرد و بدون توجه به یکپارچگی آنها انجام می شود. سپس حالت مربوط به پُر بودن کندوی ستاره ای میانی با فرض خالی بودن کندوهای اصلی محیطی و همچنین حالت مربوط به خالی بودن یک کندوی اصلی و پُر بودن کندوهای اصلی



لنگر خمشی

$$M_A = -0.0182 p_i (D+t)^3$$

$$M_B = 0.0208 p_i (D+t)^3$$

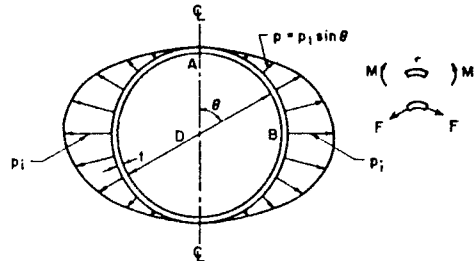
$$M_C = 0.0234 p_i (D+t)^3$$

نیروی حلقوی

$$F_A = 0.1238 p_i (D+t)$$

$$F_B = 0.1667 p_i (D+t)$$

$$F_C = -0.2905 p_i (D+t)$$



لنگر خمشی

$$M = p_i \frac{(D+t)^3}{4} \left[ \left( \frac{\pi}{4} - \frac{\theta}{2} \right) \cos\theta + \frac{\sin\theta}{2} - \frac{1}{\pi} \right]$$

$$M_A = 0.0372 p_i (D+t)^3$$

$$M_B = 0.0342 p_i (D+t)^3$$

$$M = 0.140 p_i D, (\theta = 40^\circ / 7^\circ)$$

نیروی حلقوی

$$F = p_i \frac{(D+t)}{4} [(\pi - 20) \cos\theta + 2 \sin\theta]$$

$$F_A = 0.393 p_i (D+t)$$

$$F_B = 0.250 p_i (D+t)$$

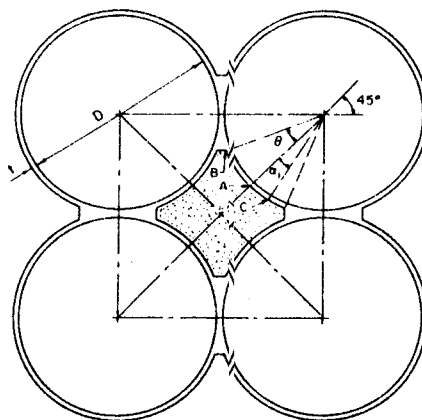
شکل ۵ - ۱ روابط لازم برای محاسبه نیروهای داخلی به علت فشارهای موضعی.

محیطی مورد بررسی قرار می‌گیرد. روابط لازم برای محاسبه نیروهای داخلی در اشکال ۵-۲-۵-الف و ب، ارایه شده است.

تحلیل مربوط به حالت‌های مختلف بارگذاری را می‌توان با فرض رفتار تمام مقطع افقی به صورت یک قاب صفحه‌ای، انجام داد.

با توجه به ساخت بودن نقاط اتصال کندوها، به عنوان یک روش تقریبی، قوس موجود در حدفاصل دو نقطه اتصال را، می‌توان یک قوس دو سرگردان فرض کرد و با توجه به فشارهای وارد، نیروهای داخلی را محاسبه نمود.

در طراحی کندوها یکپارچه، باید توجه خاصی به نقاط اتصال کندوها داشت. این نقاط باید



لنگرهای خمی

نیروهای حلقوی

$$M_A = \frac{P}{4} (D+2t)(D+t) \sin\theta \left(1 - \frac{\sin\theta}{\theta}\right)$$

$$M_B = \frac{P}{4} (D+2t)(D+t) \sin\theta \left(\cos\theta - \frac{\sin\theta}{\theta}\right)$$

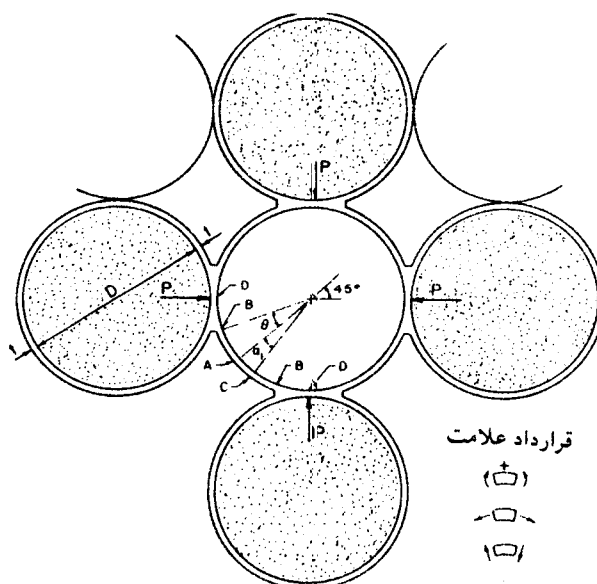
$$M_C = \frac{P}{4} (D+2t)(D+t) \sin\theta \left(\cos\alpha_1 - \frac{\sin\theta}{\theta}\right)$$

$$F_A = \frac{P}{2} (D+2t) \left(1 - \sin\theta\right)$$

$$F_B = \frac{P}{2} (D+2t) \left(1 - \sin\theta \cos\theta\right)$$

$$F_C = \frac{P}{2} (D+2t) \left(1 - \sin\theta \cos\alpha_1\right)$$

(الف) روابط لازم برای محاسبه نیروهای داخلی در حالت پر بودن کندوی ستاره‌ای و خالی بودن کندوهای اصلی اطراف



لنگرهای خمی

نیروهای حلقوی

نیروهای برشی

$$M_A = -0/0352P(D+t)$$

$$M_B = (0/31830/3535 \cos\theta)P(D+t)$$

$$M_C = (0/31830/3535 \cos\alpha_1)P(D+t)$$

$$M_D = 0/0683P(D+t)$$

$$F_A = -0/7071P$$

$$F_B = -0/7071P \cos\theta$$

$$F_C = -0/7071P \cos\alpha_1$$

$$F_D = -0/5P$$

$$V_A = 0$$

$$V_B = 0/7071P \sin\theta$$

$$V_C = 0/7071P \sin\alpha_1$$

$$V_D = 0/5P$$

(ب) روابط لازم برای محاسبه نیروهای داخلی در حالت خالی بودن یک کندوی اصلی و پر بودن کندوهای اصلی اطراف

شکل ۵ - ۲ روابط تحلیلی سیلوهای گروهی گرد.

قادر به انتقال هر گونه نیروی داخلی (لنگر خمینی، نیروی برشی و نیروی محوری) به خصوص به علت نیروهای جانبی باشند.

### ۲-۳-۵ سیلوها با مقطع مربع مستطیل و چندضلعی

نوارهای افقی سیلوها با مقطع مربع، مربع مستطیل و چندضلعی به علت فشار داخلی ناشی از مصالح ذخیره شده، تحت خمینی، برش و نیروی کششی قرار می‌گیرد. همچنین نوارهای قائم جدار به علت بار سقف و نیروی اصطکاکی ناشی از مصالح ذخیره شده، تحت تنש‌های فشاری هستند. در صورتی که نسبت ارتفاع به عرض دیوارهای جدار یک سیلو بزرگتر از ۲ باشد، آن را می‌توان به صورت یک دال یکطرفه در امتداد افق در نظر گرفت. در این صورت رفتار یک نوار افقی از یک سیلو به ارتفاع واحد، همانند یک قاب صفحه‌ای خواهد شد. در شکل ۳-۵-الف، روابط لازم برای محاسبه نیروی برشی، لنگر خمینی و نیروی محوری یک نوار افقی به ارتفاع واحد برای مقطع مربع مستطیل و در شکل ۳-۵-ب، برای مقطع شش‌ضلعی نشان داده شده است. در صورتی که نسبت اصلاح دیوار کوچکتر از ۲ باشد، در این صورت رفتار آن همانند دال دوطرفه خواهد بود. شرایط مرزی چنین دالی با توجه به وضعیت موجود به یکی از صور گیردار، مفصلی و یا آزاد مدل شده و نیروهای داخلی با استفاده از جداول پیوست فصل پنجم محاسبه می‌شود.

### ۳-۳-۵ خمینی جدار به علت گرادیان حرارتی

تغییرات درجه حرارت  $\Delta T$  بین سطوح داخلی و خارجی جدار سیلو، باعث گرادیان کرنشی  $\alpha_i \Delta T / t$  در جدار سیلو می‌شود که در آن  $t$  ضخامت دیوار جدار و  $\alpha_i$  ضریب انبساط حرارتی بتن می‌باشد. به علت نامعینی استاتیکی سازه جدار، گرادیان کرنشی فوق باعث ایجاد لنگر خمینی داخلی در آن می‌شود که مقدار آن از رابطه زیر محاسبه می‌گردد:

$$M_t = \frac{E_c t^3 \alpha_i \Delta T}{(1-\nu) 12} \quad (3-5)$$

که در آن:

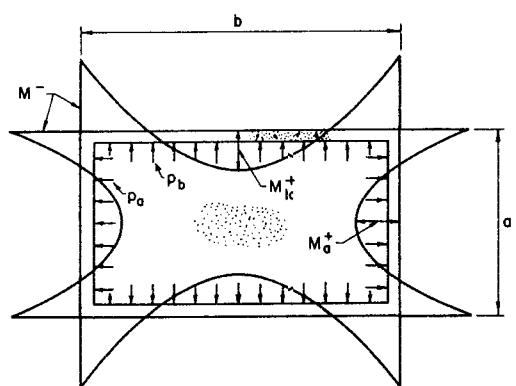
$$E_c = 5000 \sqrt{f_c} \text{ (N/mm}^2\text{)}$$

$$\nu = 0/30$$

$$\alpha_i = 12 \times 10^{-6} \text{ mm/mm/c}^\circ$$

$\Delta T$  = اختلاف درجه حرارت بین سطوح داخلی و خارجی جدار (درجه سانتی‌گراد)

$t$  = ضخامت جدار (mm)



$$M^- = \frac{1}{12(1+n)} (p_a a^r + n p_b b^r) \text{ که } n = \frac{b}{a} \left( \frac{t_a}{t_b} \right)^r$$

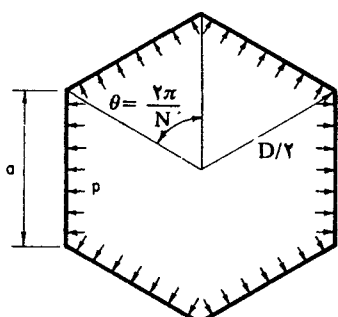
$$M_a^+ = \frac{p_a a^r}{\Lambda} - M^-$$

$$M_b^+ = \frac{p_b b^r}{\Lambda} - M^-$$

$$F_b = p \frac{a}{\gamma} \quad V_b = p \frac{b}{\gamma}$$

$$F_a = \frac{pb}{\gamma} \quad V_a = p \frac{a}{\gamma}$$

(الف) روابط نیروهای داخلی برای یک حلقه مربع مستطیل تحت فشار داخلی



$$a = D \sin \theta / 2$$

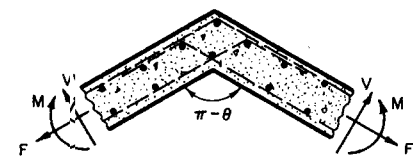
(الف) پلان

در گوشه

$$F = \frac{pD}{\gamma} \cos \frac{\theta}{2}$$

$$V = \frac{pD}{\gamma} \sin \frac{\theta}{2}$$

$$M = \frac{pD^r}{12} \sin^r \frac{\theta}{2}$$



(ب) جزئیات گوشه

در وسط اضلاع

$$\frac{pD}{\gamma} \cos \frac{\theta}{2}$$

O

$$\frac{pD^r}{24} \sin^r \frac{\theta}{2}$$

(ب) روابط نیروهای داخلی برای یک حلقه شش ضلعی تحت فشار داخلی

شکل ۵ - ۳ روابط تحلیلی برای سیلوهای نک با منقطع مستطیل و چند ضلعی.

رابطه ۵ - ۳ بر مبنای مقطع ترک نخورده حاصل شده است. بنابراین نتایج به دست آمده از آن برای حالات معمول که مقطع به صورت ترک خورده می باشد، محافظه کارانه و در جهت اطمینان است. توجه شود که لنگر  $M_1$  هم برای نوارهای افقی و هم برای نوارهای قائم اعمال می شود.

### ۴-۳-۵ خمش داخل صفحه دیوارها

در صورتی که دیوار سیلو در فواصل معین بر روی ستون تکیه داشته باشد، به علت بارهای قائم وارد از سقف، و یا اصطکاک جداره و یا از کف، تحت خمش در صفحه خود قرار می گیرند. روش طراحی دیوار برای چنین خمشی بستگی به ارتفاع دیوار و فواصل محور به محور ستونها دارد. اگر  $H$  ارتفاع دیوار و  $L$  فاصله محور به محور ستونها باشد (شکل ۴ - ۵)، بر حسب نسبت  $H/L$  روش طراحی

دیوار به شرح زیر است:

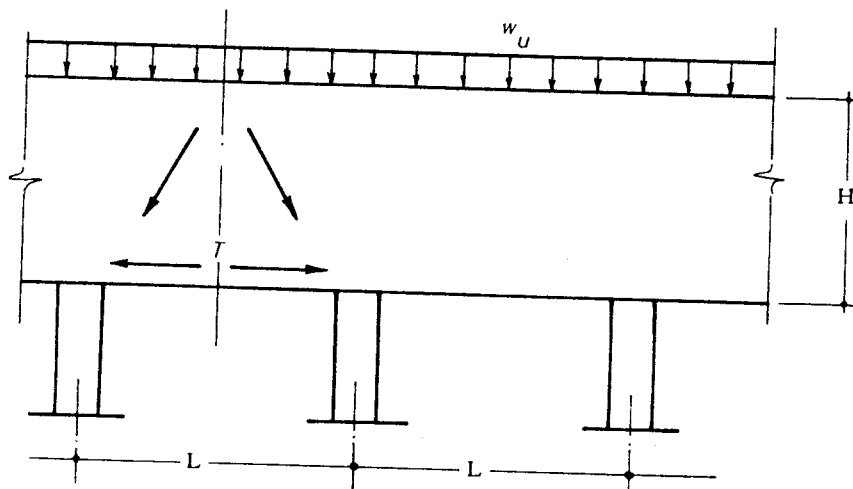
$$\text{الف: } 1 \leq H/L < 1$$

در این حالت، دیوار را می توان همانند یک تیر بتن مسلح معمولی طراحی نمود.

$$\text{ب: } H/L > 1$$

در این حالت اگر دیوار به صورت یک پانل تنها به طور مساوی در روی ستونهایی به فواصل  $L$  متکی و تحت بار یکنواخت با ضریب  $w_u$  قرار داشته باشد، نیروی کششی  $T_u$  که باید برای آن فولاد کششی طراحی شود، از رابطه زیر به دست می آید:

$$T_u = \frac{w_u L}{\sqrt{H/L}} \quad (4-5)$$



شکل ۴ - ۵

در صورتی که نسبت  $H/L > 2$  باشد، نسبت  $2 < H/L \leq 1/10$  در رابطه فوق مورد استفاده قرار می‌گیرد.

فولادهای کششی باید در ارتفاعی مساوی  $1/10 L$  از پایین دیوار قرار داده شوند.

در صورتی که نصف و یا دو سوم فولادهای کششی در حوالی تکیه‌گاه با زاویه  $45^\circ$  درجه به سمت بالا خم شوند، مقاومت برشی  $V_u$  پانل از رابطه زیر بدست می‌آید:

$$V_u \leq 0.54 f_c t \sqrt{H/t} \quad (5-5)$$

در صورتی که نیروی برشی ضربدار  $w_u L/2$  از مقدار فوق تجاوز کند و یا هیچ‌گونه میلگردی به سمت بالا خم نشده باشد، فولاد برشی جان بلايد برای نیروی کششی زیر طراحی شود:

$$T_s = \frac{w_u L/2}{\sqrt{2H/L}} \quad 1 \leq \frac{H}{L} \leq 2 \quad (6-5)$$

فولادهای به دست آمده از رابطه فوق باید با زاویه  $60^\circ$  درجه نسبت بهافق قرار داده شوند. البته می‌توان معادل فولادهای فوق را به صورت خاموت قرار داد.

لازم به تذکر است که رابطه  $5-4$  برای دیوارهایی تنظیم شده است که بار یکنواخت آنها در بالای دیوار قرار دارد. لیکن آزمایشات نشان داده‌اند که از آن می‌توان بوازی حالتی که بار یکنواخت در پایین دیوار اثر می‌کند، نیز استفاده نمود.

### ۵-۳-۵ فولادهای قائم در جدار سیلوها

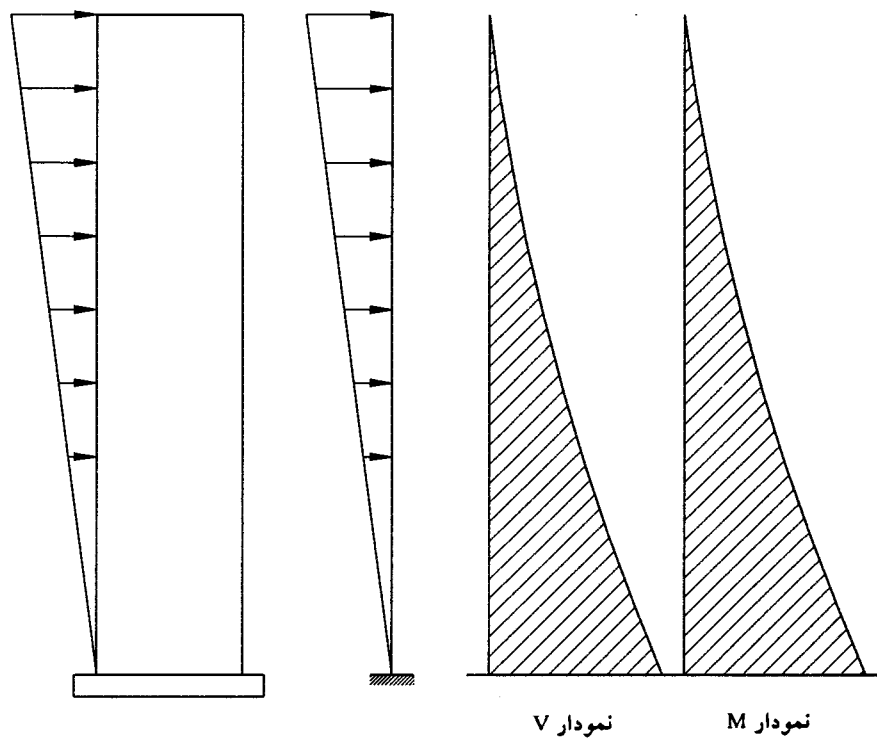
بنا به علی از قبیل توزیع یکنواخت فشار بین میلگردهای افقی، خمینه موضعی و خمینه ناشی از گرادیان حرارتی، لازم است میلگردهای قائم در جدار سیلوها تعییه شود.

عمده‌ترین نیرویی که میلگردهای قائم برای آنها طراحی می‌شوند، تنش‌های ناشی از خمینه کلی ایجاد شده در مقطع ستون به واسطه نیروهای جانبی نظیر باد یا زلزله می‌باشد.

تحلیل سیلوها در مقابل بار جانبی همانند یک تیر طرهای می‌باشد که پای آن گیردار و بالای آن آزاد است (شکل ۵-۵).

### ۶-۳-۵ کف و قیف سیلو

کف سیلوها و بونکرها باید برای مقاومت در مقابل فشار قائم ناشی از مصالح ذخیره شده در حالت استاتیکی و در حالت زلزله طراحی شوند. فشار قائم استاتیکی در عمق  $Y$  از روایط  $4-1$  و یا  $4-6$  و در صورت لزوم رابطه  $4-17$  و اعمال ضرایب افزایش فشار  $C_d$  و یا  $C_i$  به دست می‌آید. در حالت زلزله به علت از بین رفت اصطکاک مصالح با جدار، فرض می‌شود که حداقل  $80^\circ$  درصد وزن کل مصالح ذخیره شده به روی کف فعال می‌شود. کف سیلوها ممکن است به صورت تخت و یا قیفی شکل باشد که در حالت اخیر بسته به شکل سیلو، قیف ممکن است مخروط یا هرم باشد.



شکل ۵ - ۵

### ۵ - ۶ - ۱ - ۱ قیف مخروطی<sup>۱</sup> (شکل ۵ - ۶ - الف)

قیف‌های مخروطی تحت کشش حلقی در حول محیط و کشش نصف‌النهاری در امتداد مولد مخروط قرار دارند. برای یک مخروط متقاضی، کشش نصف‌النهاری  $F_m$  در امتداد مولد برای عرض واحد و کشش حلقی  $F_t$  برای واحد عرض از روابط زیر به دست می‌آیند (شکل ۵ - ۷ - الف).

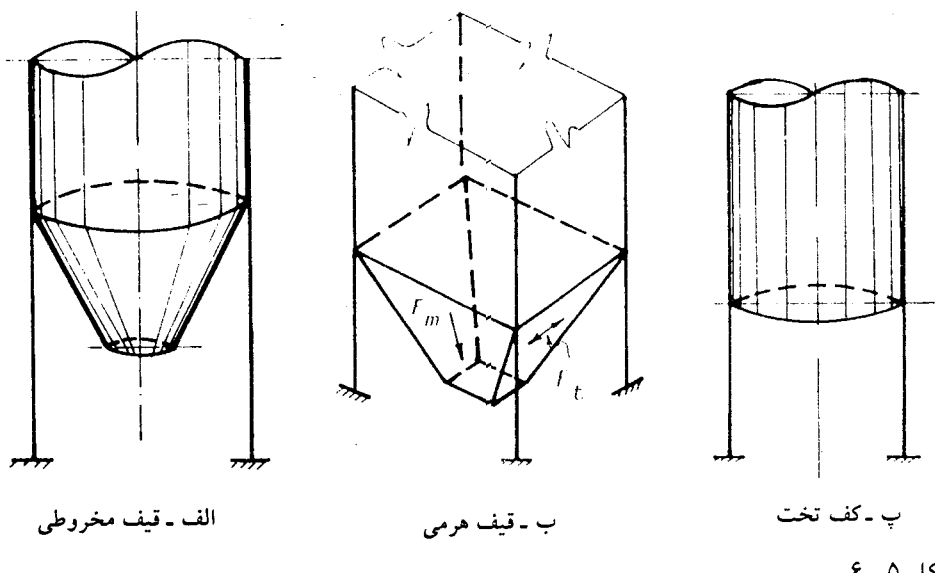
$$F_m = \frac{qD}{\gamma \sin \alpha} + \frac{W}{\pi D \sin \alpha} \quad (۷ - ۵)$$

$$F_t = \frac{q_\alpha D}{\gamma \sin \alpha} \quad (۸ - ۵)$$

در روابط فوق:

$D$  = قطر میانتار مخروط در تراز مورد نظر

1 - hopper



شکل ۵ - ۶

$C_i =$  فشار قائم در تراز موردنظر طبق رابطه ۴-۱-۶ با اعمال ضرایب افزایش فشار

$q_{\alpha} =$  فشار وارد بر سطح شیبدار در تراز موردنظر طبق رابطه ۴-۱۷ با اعمال ضرایب افزایش

ضرایب  $C_i$  یا  $C_d$

$W =$  وزن قیف و مصالح داخل آن در زیر تراز موردنظر

مقادیر  $F_{mu}$  و  $F_{tu}$  برای طراحی بهروش مقاومت نهایی با ضرب  $q$  یا  $q_{\alpha}$  در ضریب بار ۱/۵ و

محاسبه  $W$  رابطه زیر به دست می‌آید:

$$W = 1/25 W_h + 1/5 W_m \quad (9-5)$$

که در آن  $W_h$  وزن قیف در زیر تراز موردنظر و  $W_m$  وزن محتویات قیف در زیر تراز موردنظر می‌باشد که با استفاده از روابط زیر به دست می‌آیند:

$$W_h = \frac{\pi(D^r - d^r)\gamma_h}{4\cos\alpha} \quad (10-5)$$

$$W_m = \frac{\pi(D^r - d^r)\gamma_m \tan\alpha}{24} \quad (11-5)$$

که در آن:

$D$  = طبق شکل ۵-۷-الف

$$\gamma_h = \text{وزن واحد سطح جدار سیلو}$$

$$\gamma_m = \text{وزن مخصوص مصالح ذخیره شده}$$

حدائق ضخامت قیف مخروطی ۱۵۰ میلیمتر است و عرض ترک باید کمتر از مقادیر مجاز باشد.

### ۳-۶-۲-۵ قیف هرمی (شکل ۵-۶-۵-ب)

مطابق شکل ۵-۷-ب، جدار قیف هرمی تحت تأثیر کشش غشایی نصف النهاری  $F_m$  در امتداد مولد و کشش افقی  $F_h$  (شکل ۵-۷-ب) و خمین صفحه‌ای قرار دارد. همچنین اگر قیف به طور پیوسته در لبه فوقانی خود تکیه نکرده باشد، قیف تحت خمین در صفحه نیز قرار می‌گیرد.

اگر فرض شود که مؤلفه قائم کشش نصف النهاری به طور یکنواخت در محیط یک مقطع افقی توزیع شده است، برای قیف متقارن با مقطع مربع مستطیل، نیروی کششی نصف النهاری  $F_m$  را می‌توان از رابطه زیر محاسبه نمود:

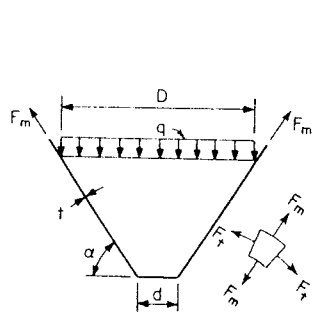
$$F_m = \frac{W + (q_a + q_b)ab/2}{2(a+b)\sin\alpha} \quad (۱۲-۵)$$

که در آن  $a$  ضلع کوچک و  $b$  ضلع بزرگ مقطع و  $q_a$  و  $q_b$  به ترتیب فشار قائم در تراز مورد نظر مربوط به اضلاع  $a$  و  $b$  می‌باشد. به علاوه:

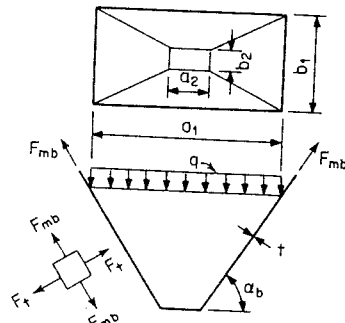
$W$  = وزن قیف و محتویات داخل آن در زیر تراز مورد نظر

$\alpha$  = زاویه جدار قیف با افق

اگر  $b > a$  باشد،  $q_b$  کوچکتر از  $q_a$  خواهد شد که در نتیجه مؤلفه قائم کشش نصف النهاری در دیوار  $a$  ممکن است بزرگتر از مقدار نظیر در دیوار  $b$  شود.



(الف) قیف مخروطی



(ب) قیف هرمی

شکل ۵-۷ نیروهای داخلی در قیف‌ها.

اگر فرض شود هر کدام از دیوارهای قیف،  $\frac{W}{a}$  وزن  $W$  و فشار قائم موجود در سطح مثلث مجاور آن دیوار را حمل کند\*، روابط زیر به دست می آید:

$$F_{ma} = \left( \frac{W}{a} + q_a b \right) \frac{1}{4 \sin \alpha_a} \quad (13-5-\text{الف})$$

$$f_{mb} = \left( \frac{W}{b} + q_b a \right) \frac{1}{4 \sin \alpha_b} \quad (13-5-\text{ب})$$

نیروی کششی افقی  $F_1$  نیز از رابطه زیر به دست می آید:

$$F_{ta} = \frac{1}{4} (q_{ab} + \gamma_h \cos \alpha_b) b \sin \alpha_a \quad (14-5-\text{الف})$$

$$F_{tb} = \frac{1}{4} (q_{aa} + \gamma_h \cos \alpha_a) a \sin \alpha_b \quad (14-5-\text{ب})$$

که در آن:

$\gamma_h$  = وزن واحد سطح جدار دیوار

$q_{\alpha}$  = فشار وارد بر سطح شبیدار طبق رابطه ۱۷ با اعمال ضرایب افزایش فشار  $C_d$  یا  $C_i$ .

مقدار  $F_{ta}$  و  $F_{tb}$  برای طراحی به روش مقاومت نهایی از ضرب  $q$  در ضریب بار  $1/5$  و محاسبه  $W$  از رابطه ۵-۹ به دست می آید. اوزان  $W_h$  و  $W_m$  نیز از روابط زیر قابل تعیین هستند:

$$W_h = h_h \gamma_h \left( \frac{a_1 + a_2}{\sin \alpha_a} + \frac{b_1 + b_2}{\sin \alpha_b} \right) \quad (15-5)$$

$$W_m = \frac{h_h \gamma_m}{6} [(2a_1 + a_2)b_1 + 2a_2 + (2a_2 + a_1)b_2] \quad (16-5)$$

که در آن مطابق شکل ۵-۷-ب:

$a_1$  = عرض مقطع در تراز مورد نظر برای محاسبه  $F$

$b_1$  = طول مقطع در تراز مورد نظر برای محاسبه  $F$

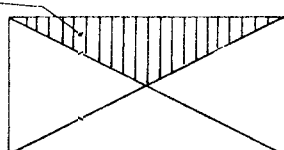
$a_2$  = عرض بازشوی قیف

$b_2$  = طول بازشوی قیف

حداقل خشامت جدار قیف هرمی، ۱۵۰ میلی لیتر است و عرض ترک در آن باید کمتر از

\*\*\* مثلث مجاور هر دیوار به صورت زیر تعریف می شود:

مثلث مجاور هر دیوار



مقادیر مجاز باشد.

**خمش صفحه‌ای به علت فشار قائم بر سطح لنگرهاي خمسي در صفحات مثلثي را می‌توان با استفاده از صفحه مستطيل معادل به دست آورد (شکل ۵-۸-الف).**

صفحات ذوزنقه (شکل ۵-۸-ب) با نسبت  $a_2/a_1 \geq 4$  را می‌توان همانند يك صفحه مثلث در نظر گرفت. برای اين منظور کافی است دو ضلع ذوزنقه را امتداد دهيم تا مثلث معادل به دست آيد. مثلث معادل را می‌توان همانند شکل ۵-۸-الف به صورت يك صفحه مربع مستطيلي تحليل نمود. صفحات ذوزنقه با نسبت  $a_2/a_1 < 4$  را می‌توان با استفاده از صفحه مستطيلي معادل، به دست آورد (شکل ۵-۸-پ). ابعاد اين مستطيل معادل از رابطه زير به دست می‌آيد:

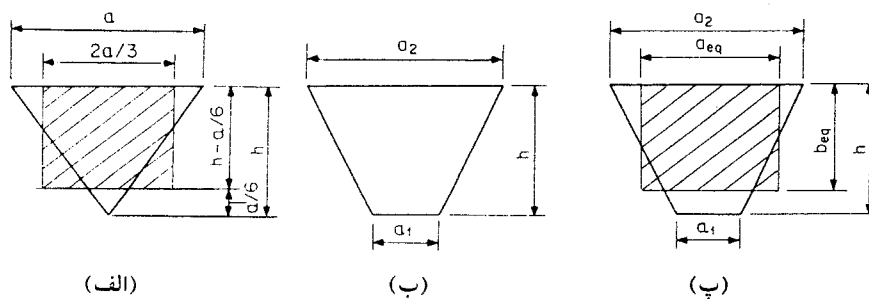
$$a_{eq} = \frac{2a_2(2a_1 + a_2)}{3(a_1 + a_2)} \quad (17-5-\text{الف})$$

$$b_{eq} = h - \frac{a_2(a_2 - a_1)}{6(a_1 + a_2)} \quad (17-5-\text{ب})$$

ضرایب لنگر برای صفحات مستطيلي را می‌توان از جداول پيوست کتاب به دست آورد. شرایط مرزی لبه صفحات را برحسب وضعیت موجود، می‌توان به یکی از حالات گيردار، ساده و آزاد فرض نمود.

### خمش داخل صفحه قيفها

در صورتی که يك صفحه مثلثي تحت خمش در صفحه خودش قرار گيرد (به عبارت ساده، به صورت يك تير خمسي عمل کند)، مطابق شکل ۵-۹ ارتفاعی معادل  $5a/9$  (دهانه خمش است) از آن را می‌توان به صورت يك تير در نظر گرفت و توزيع تنش در ارتفاع آن را خطی فرض کرد. توزيع تنش



شکل ۵-۸

در قسمت تحتانی این ارتفاع را می‌توان به صورت خطی تا رأس مثلث به صفر رساند.

لنگر خمی در تیر فرضی از رابطه  $M = F_m a^{1/2}/8$  به دست می‌آید که در آن  $F_m$  کشش نصف‌النهاری محاسبه شده توسط روابط ۱۲-۵ و ۱۳-۵ می‌باشد. تنش‌های کششی محاسبه شده به علت این لنگر را می‌توان با نیروی افقی  $F$  ترکیب کرد و براساس این نیروی حاصل جمع، میلگردهای افقی را محاسبه نمود.

#### نیروهای متمرکز در تکیه‌گاه‌های قیف‌های هرمی

در صورتی که مطابق شکل ۱۰-۵، قیف در چهارگوش خود روی ستون تکیه کرده باشد، چهارگوش آن تحت نیروهای متمرکز قرار می‌گیرد. تحت این بارگذاری، در لبه فصل مشترک صفحات نیروی کششی  $T$  به وجود می‌آید که مقدار آن برابر است با:

$$T = \frac{P}{\sin \alpha} \quad (10-5)$$

که در آن  $\alpha$  زاویه بین لبه با سطح افق می‌باشد.

در لبه فوقانی نیز نیروی فشاری به وجود می‌آید که مقدار آن برابر است با:

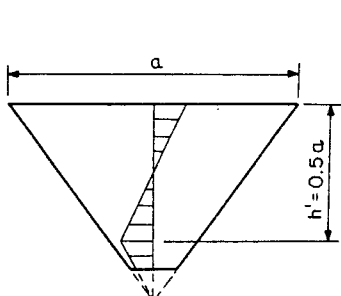
$$C_a = P \cos \alpha \cos \beta_a \quad (10-5-\text{الف})$$

$$C_b = P \cos \alpha \cos \beta_b \quad (10-5-\text{ب})$$

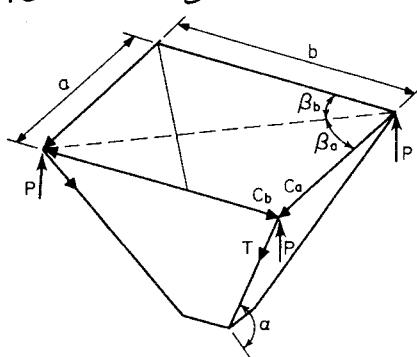
که در آن  $\beta_a$  و  $\beta_b$  زاویه بین لبه‌های  $a$  و  $b$  با قطر قیف در یک مقطع افقی می‌باشد. با توجه به اینکه این نیروها متمرکز هستند، لازم است میلگردهای آنها فقط در حوالی ستون تعییه گردد.

#### ۳-۶-۳-۵ کف‌های تخت

محاسبه کف‌های تخت افقی، همانند دال‌های بتن مسلح معمولی صورت می‌گیرد. فشار طراحی در



شکل ۹-۵



شکل ۱۰-۵

حال استاتیکی برابر است با:

$$w = g + q_{des} \quad (20-5)$$

که در رابطه فوق:

$$g = \text{وزن واحد سطح دال}$$

$q_{des}$  = فشار طرح طبق روابط ۱-۴ و ۶-۴ با اعمال ضرایب افزایش فشار  $C_d$  و  $C_i$ . در طراحی

بهروش مقاومت نهایی، برای  $g$  ضریب  $1/25$  و برای  $q_{des}$  ضریب  $1/5$  اعمال می‌شود.

$$w = \text{فشار وارد برکف}$$

در حالت زلزله فشار طراحی از رابطه زیر به دست می‌آید:

$$w = g + p \quad (21-5)$$

در رابطه فوق:

$$g = \text{وزن مرده دال}$$

$p$  = فشار کل ناشی از ۸۰ درصد وزن مصالح ذخیره شده توجه شود که در این حالت اصطکاک

مصالح با جداره کلاً در نظر گرفته نمی‌شود.

در طراحی بهروش مقاومت نهایی، رابطه ۲۱-۵ به صورت زیر در می‌آید:

$$w_u = g + 1/2 p \quad (22-5)$$

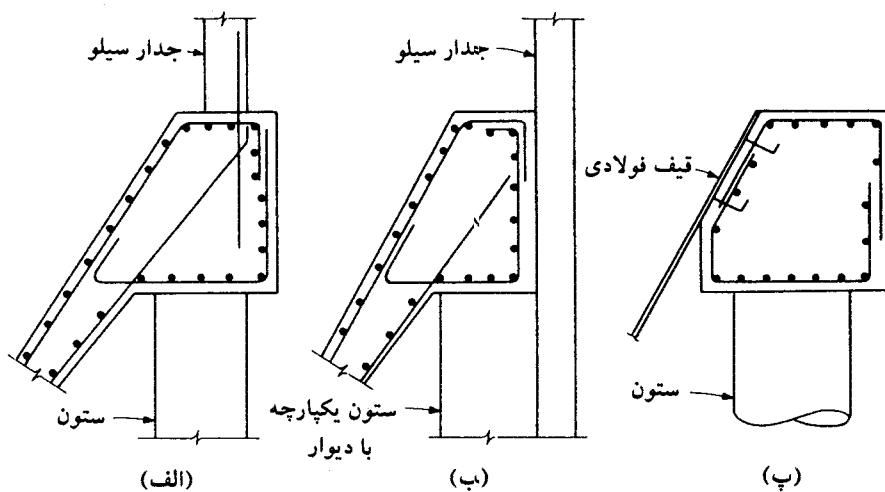
فشار طراحی، بزرگترین مقدار به دست آمده از روابط ۵-۲۰ و ۵-۲۱ می‌باشد. در صورت

از نزدیکی سیلو باید برای آثار حرارتی نیز طراحی گردد.

#### ۵-۳-۶-۴ تیرهای تکیه‌گاهی قیف

قیف‌های بتنی اغلب بر روی تیرهای لمبای قرار دارند که به طور یکپارچه با دیوار قیف بتن ریزی می‌شوند (اشکال ۵-۱۱ - الف و ب). در شکل ۵-۱۱-پ، یک قیف مخروطی فولادی بر روی یک تیر بتن مسلح تکیه کرده است. تیرهای تکیه‌گاهی ممکن است به طور پیوسته بر روی دیوار و یا به طور نقطه‌ای بر روی ستون‌ها و یا ستون‌های یکپارچه با دیوار <sup>۲</sup> تکیه نمایند.

اگر امتداد میانتار جدار قیف از مرکز هندسی تیر تکیه‌گاهی عبور ننماید، در تیر تکیه‌گاهی ایجاد پیچش می‌شود. در تیرهای حلقوی به علت این لنگر پیچشی، ایجاد لنگر خمشی می‌شود. در صورتی که تیر تکیه‌گاهی به طور پیوسته بر روی دیوار متکی باشد، از لنگر خمشی و پیچشی فوق می‌توان صرف نظر کرد و تیر تکیه‌گاهی را فقط برای نیروی فشاری حلقوی ناشی از مؤلفه افقی نیروی نصف‌النهاری قیف طراحی کرد. مقدار این نیروی فشاری برابر است با:



شکل ۱۱-۵ تیرهای تکیه‌گاهی قیف.

$$P = (F_m \cos\alpha)(D/2) \quad (23-5)$$

تیرهایی که همانند شکل ۱۱-الف، در چند نقطه بر روی ستون متکی باشند، به علت نیروی نصف‌النهاری  $F_m$  قیف، در آنها نیروی برشی، لنگر خمشی و لنگر پیچشی و نیروی فشار حلقوی ایجاد می‌شود. تحلیل چنین تیری با استفاده از برنامه‌های تحلیل کامپیوتروی که توانایی تحلیل قاب فضایی را داشته باشند، امکان‌پذیر است.

در قیف‌های مریع مستطیل، به علت اتصال برونو محوری قیف به تیر تکیه‌گاهی و پیچش ناشی از آن، هیچ‌گونه لنگر خمشی در تیر تکیه‌گاهی ایجاد نمی‌شود. در این حالت نیز اگر تیر تکیه‌گاهی با دیوار سیلو یکپارچه باشد، از لنگر پیچشی فوق می‌توان صرف‌نظر کرد.

وقتی که از تیر تکیه‌گاهی استفاده نشود و قیف مستقیماً به جدار سیلو وصل شود، در جدار سیلو ایجاد خمش موضعی می‌شود که می‌لگردهای لازم باید برای آن تعییه شود.

### ۷-۳-۵ پایه‌های سیلو

ستون‌هایی که جداره سیلو و به خصوص کف سیلو را حمل می‌کنند، تحت تأثیر بار زنده ناشی از مصالح ذخیره شده قرار دارند که به مراتب بزرگتر از بار مرده می‌باشد. پر بودن سیلو برای یک زمان طولانی، باعث ایجاد خزش در بتن پایه‌ها می‌شود. در نتیجه، تنش بتن کاهش و باری که توسط فولادها حمل می‌شود، افزایش می‌یابد. حال اگر پس از این زمان طولانی، مصالح داخل سیلو تخلیه شود، با بازگشت الاستیک فولادها به علت باربرداری، بتن تحت کشش قرار می‌گیرد. اگر تنش‌های

کششی بتن از مقاومت کششی آن تجاوز نماید، ترکهای عرضی قابل توجهی در ستون ایجاد می‌شود. اگر این ترکهای عرضی، با ترکهای طولی ناشی از تنش پیوستگی زیاد در اثنای باربرداری توأم شوند، وضعیت خطرناکی می‌تواند برای ستون‌ها و پایداری سیلو به وجود آید. برای جلوگیری از چنین وضعیتی توصیه می‌شود که نسبت فولادهای طولی در مقطع ستون از ۲ درصد تجاوز نکند. به علاوه سطح مقطع میلگردی‌های طولی نباید از  $L/F_y$  تجاوز نکند که در آن  $L$  نیروی محوری ناشی از بار زنده می‌باشد.

در صورتی که پایه‌های سیلو تحت برش و خمش ناشی از بارهای جانبی زلزله قرار گیرند، باید کلیه ضوابط شکل‌پذیری شدید در مورد آنها اعمال شود.

### ۸-۳ شالوده سیلو

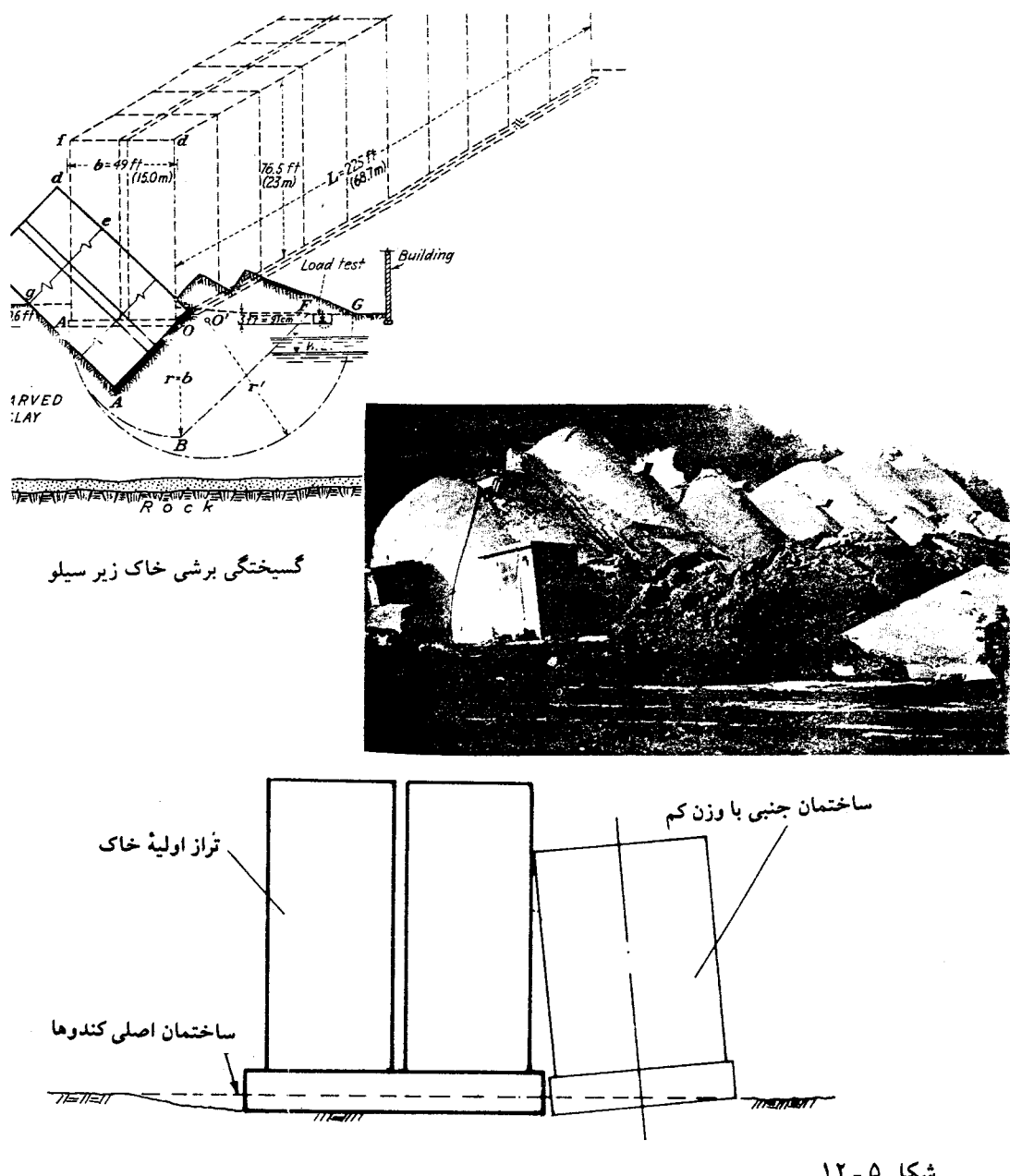
سیلوها سازه‌های بسیار سنگینی هستند که تنش منتقله از آنها به زمین، می‌تواند قابل توجه باشد. لذا در هنگام طراحی شالوده باید دقت زیاد به عمل آید. در این خصوص مطالعات کامل زمین‌شناسی و مکانیک خاک تا عمق مناسب، قویاً توصیه می‌شود. تعیین تنش مجاز باربری زمین با توجه به معیار مقاومت و نشست خاک، از اهم وظایف مشاور خاک می‌باشد. در عمل شواهد بسیاری از خرابی‌های کلی و یا صدمات ناشی از نشست وجود دارد. شکل ۱۲-۵ - الف، نشان‌دهنده خرابی کلی یک سیلو به علت لغزش برشی خاک زیر سیلو می‌باشد. از عوامل مهمی که می‌تواند باعث خرابی کلی فونداسیون سیلو شود، بارگذاری نامتقارن یک مجموعه سیلوهای گروهی باشد. بنابراین علاوه بر عوامل طراحی، برنامه بهره‌برداری از سیلوها نیز می‌تواند در ناپایداری فونداسیون سیلو دخیل باشد. در نتیجه ملاحظه می‌گردد که بارگذاری‌های نامتقارن باید در برنامه کنترل شالوده سیلوها قرار گیرد.

نشست زیاد مجموعه اصلی سیلو نیز می‌تواند باعث کج شدن ساختمان‌های جنبی که فشار منتقله آنها به زمین و در نتیجه نشست آنها به مرتب کوچکتر از مجموعه اصلی است، شود. شکل ۱۲- ب، نشان‌دهنده چنین وضعیتی می‌باشد.

در حالت گروهی، شالوده سیلوها به صورت یک دال یکپارچه صلب (با ضخامت زیاد) می‌باشد که برای ترکیبات مختلف پر و یا خالی بودن سیلو و همچنین نیروی جانبی زلزله، باید تنش‌های فشاری و همچنین واژگونی آن کنترل شود.

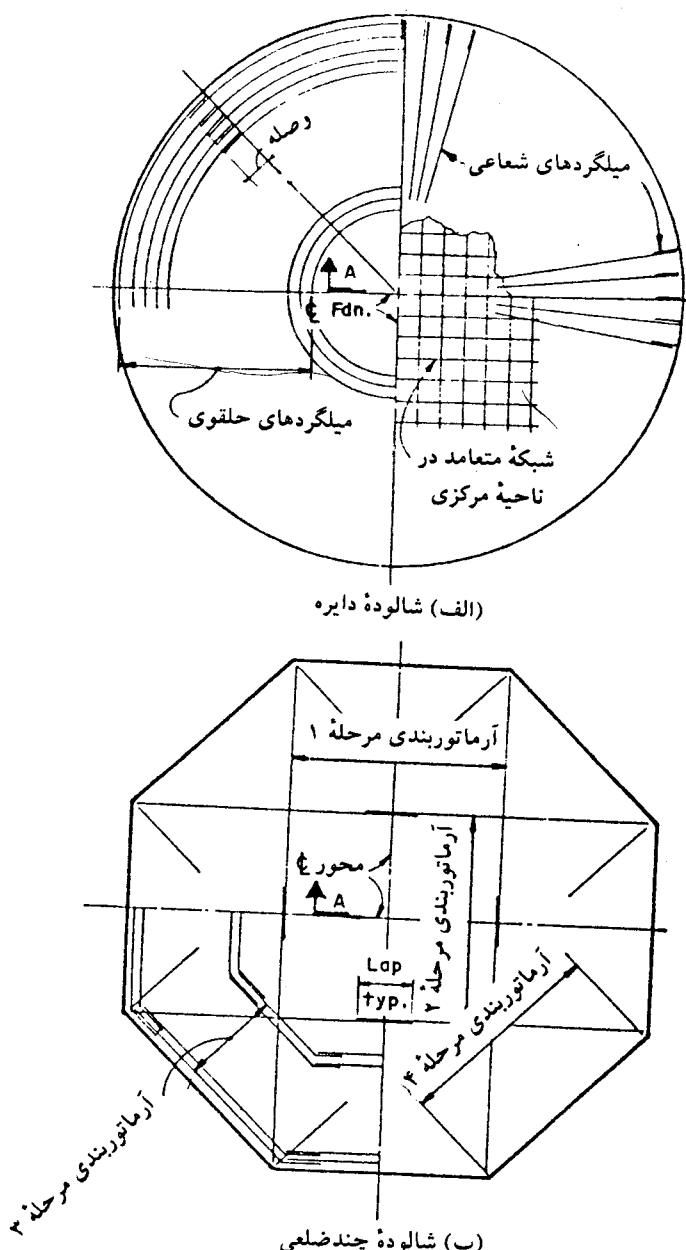
در صورتی که مقاومت زمین کم باشد، باید از شالوده‌های شمعی استفاده نمود. در این حالت نیز باید یک دال یکپارچه به عنوان کلاهک شمع‌ها اجرا شود.

در مورد سیلوهای تک نیز شالوده به صورت یکپارچه است و شکل آن بر حسب مورد می‌تواند دایره و یا چندضلعی باشد. در شکل ۱۳-۵ این شالوده‌ها و نحوه آرماتوربندی آنها نشان داده شده



است. برای تعیین تنش در زیر یک شالوده دایره می‌توان از شکل ۱۴-۵ و روابط زیر استفاده نمود:

$$p = \frac{W}{A} K_1 \quad (۲۴-۵)$$



شکل ۵ - ۱۳ شالوده سیلوهای نک.

$$A = \pi(R^2 - R_0^2) \quad (25-5)$$

$$Z = K_s R \quad (26-5)$$

در روابط فوق و شکل ۱۴-۵:

$$R = \text{شعاع خارجی شالوده}$$

$$W = \text{بار محوری کل}$$

$$M = \text{لنگر واژگونی}$$

$$R_0 = \text{شعاع داخلی شالوده} \quad (\text{در مورد شالودهای یکپارچه مساوی صفر است})$$

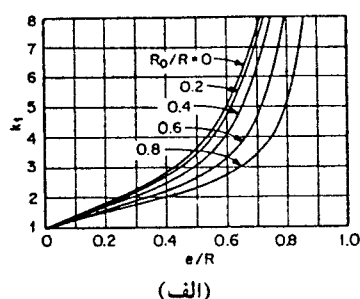
$$e = M/W$$

$$K_1 \text{ و } K_2 = \text{ضرایب طبق اشکال ۱۴-۵ - الف و ب}$$

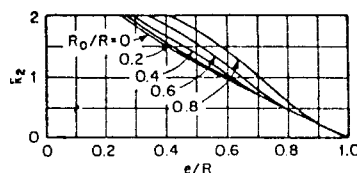
در مورد شالودهای هشت ضلعی، می‌توان از یک دایره معادل با شعاعی مساوی متوسط شعاع‌های دوازه محیطی و محاطی استفاده نمود.

## ۵-۴ تحلیل رایانه‌ای

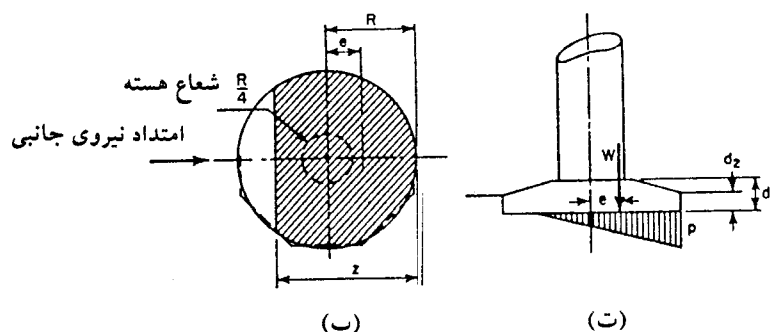
با توجه به رفتار فضای کار سیلو، برای تحلیل آن به کمک رایانه، لازم است مدل اجزای محدود سه بعدی از کل سازه تهیه شده و در مقابل بارهای مختلف مورد تحلیل قرار گیرد. در شکل ۱۵-۵ مدل سه بعدی سیلو نشان داده شده است.



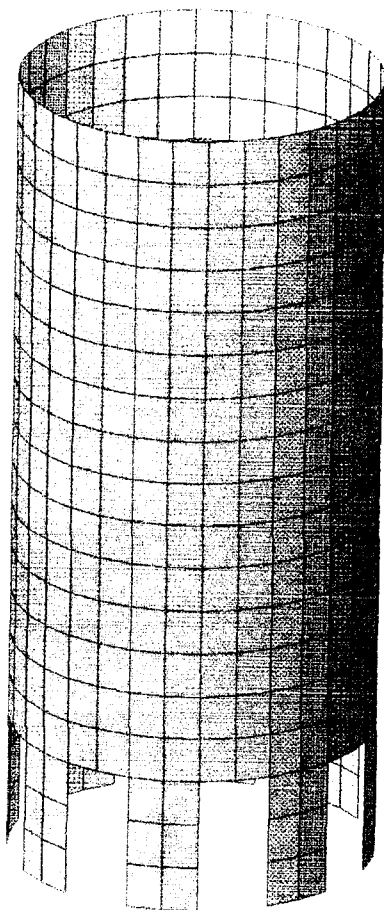
(الف)



(ب)



شکل ۱۴-۵ محاسبه فشار در زیر شالوده دایره.



شکل ۱۵-۵ مدل کامپیوتری برای تحلیل سیلو.

## ۵-۵ طراحی

### ۱-۵-۵ مقدمه

طراحی سازه‌ای سیلوهای بتنی طبق مفاد آین نامه آبآ و بر مبنای ارضی شرایط حالت حدی نهایی مقاومت (بند ۱۰ - ۵ آبا) و کنترل در حالت حدی بهره‌برداری بند (۱۰ - ۶ آبا) انجام می‌شود.

### ۲-۵-۵ ضرایب و ترکیبات بار

در تعیین تلاش‌های ناشی از بارهای وارد بر سیلو، باید ضرایب و ترکیبات زیر به کار رود.

$$\begin{aligned}
 & 1/25D \\
 & 1/25D + 1/5L \\
 & D + 1/2L + 1/2E \text{ (} 1/2W \text{)} \\
 & 0/85D + 1/2E \text{ (} 1/2W \text{)} \\
 & 1/25D + 1/5L + 1/5H \\
 & 0/85D + 1/5H \\
 & D + 1/2L + T \\
 & 1/25D + 1/25T
 \end{aligned} \tag{۲۷-۵}$$

که در ترکیبات فوق:

$$\begin{aligned}
 D &= \text{بار مرده} \\
 L &= \text{بار زنده} \\
 E &= \text{بار زلزله} \\
 W &= \text{بار باد} \\
 H &= \text{فشار جانبی ناشی از مصالح ذخیره شده} \\
 T &= \text{آثار دما}
 \end{aligned}$$

### ۳-۵-۵ ضرایب جزیی ایمنی

در تعیین مقاومت نهایی مقطع، ضرایب جزیی ایمنی مقاومت‌های زیر باید در مقاومت‌های مشخصه بتن و فولاد اثر داده شوند.

الف - ضریب جزیی ایمنی مقاومت بتن:

$$\phi_c = 0/6 \tag{۲۸-۵}$$

ب - ضریب جزیی ایمنی مقاومت فولاد:

$$\phi_s = 0/85 \tag{۲۹-۵}$$

در صورتی که برای اجرای سیلو از قالب لغزنده استفاده شود، علاوه بر اعمال ضرایب ایمنی جزیی فوق، باید ضریب کاهش اصلاحی ۹۵٪ در ضرایب فوق ضرب گردد.

### ۴-۵-۵ طراحی برای خمش تنها

در این حالت سطح مقطع فولادهای کششی از رابطه زیر به دست می‌آید:

$$A_s = \frac{M_u}{\phi_s F_y (Jd)} \tag{۳۰-۵}$$

در رابطه فوق:

$$M_u = \text{لنگر خمی ضربیدار (N.mm)}$$

$$\phi_s = \text{ضریب کاهش ظرفیت فولاد مساوی ۰/۸۵}$$

$$F_y = \text{تنش جاری شدن فولاد مصرفی (N/mm}^2)$$

$$d = \text{ارتفاع مؤثر مقطع (mm)}$$

$$J_d = \text{بازوی مقاوم داخلی (در تقریب اول مساوی ۰/۸۵ d فرض می شود)}$$

### ۵-۵-۵ طراحی برای کشش تنها

طراحی برای کشش خالص

سطح مقطع فولاد کششی از رابطه زیر به دست می آید:

$$A_s = \frac{T_u}{\phi_s F_y} \quad (31-5)$$

در رابطه فوق:

$$T_u = \text{نیروی محوری کششی ضربیدار (N)}$$

$$\phi_s = \text{ضریب تقلیل ظرفیت فولاد مساوی ۰/۸۵}$$

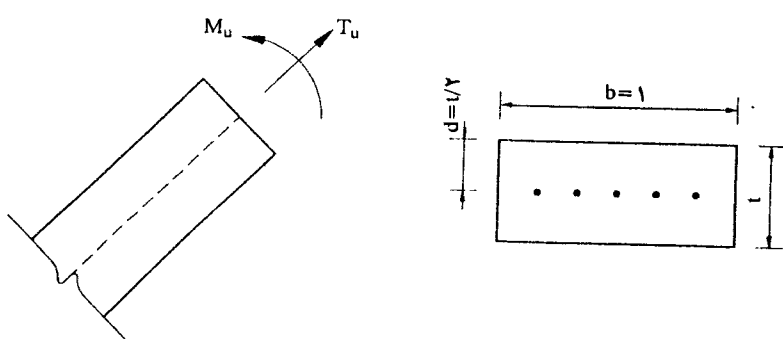
$$F_y = \text{تنش حد جاری شدن فولاد مصرفی (N/mm}^2)$$

$A_s$  به دست آمده می تواند در یک یا دو لایه در مقطع قرار داده شود.

### ۶-۵-۵ طراحی برای اثر توأم کشش محوری و لنگر خمی

الف - در صورتی که یک لایه میلگرد در وسط مقطع تعییه شده باشد

در شکل ۵-۱۶ مقطعی به عرض واحد تحت تأثیر لنگر خمی ضربیدار  $M_u$  و نیروی کششی



شکل ۵-۱۶

ضریبدار  $T_u$  با یک لایه میلگرد میانی نشان داده شده است.

در این حالت سطح مقطع فولاد کششی، را می‌توان از رابطه تقریبی زیر تعیین نمود:

$$A_s = \frac{T_u}{\phi_s F_y} + \frac{M_u}{\phi_s F_y (Jd)} \quad (32-5)$$

در رابطه فوق:

$T_u = M_u$  به ترتیب نیروی محوری و لنگر خمشی ضریبدار

$F_y =$  تنش جاری شدن فولاد

$\phi_s =$  ضریب تقلیل ظرفیت فولاد مساوی ۰/۸۵

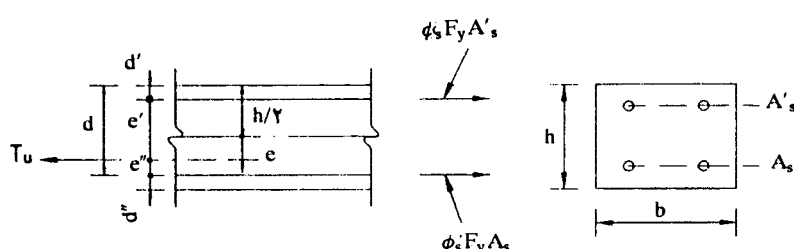
$Jd =$  بازوی مقاوم داخلی (در تقریب اول مساوی  $d/85$  فرض می‌شود).

در برآون محورهای بزرگ ( $e = M_u/T_u$ ) که لنگر خمشی بر نیروی کششی غلبه دارد.

تنش فشاری باید در وجه فشاری مقطع به کمک یک روش منطقی کنترل گردد.

ب - در صورتی که دو لایه میلگرد در مقطع تعییه شده باشد

حالات ۱ - برآون محوری کوچک "d"



شکل ۱۷-۵

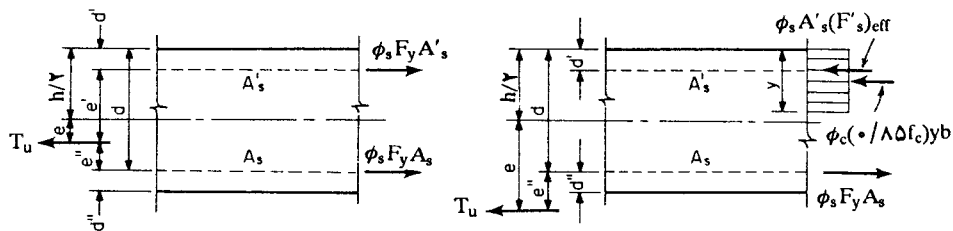
سطح مقطع فولادها برای واحد عرض، طبق روابط زیر محاسبه می‌شوند:

$$A_s = \frac{T_u e'}{\phi_s F_y (d - d')} \quad (\text{فولادهای نزدیک به نیرو}) \quad (33-5)$$

$$A'_s = \frac{T_u e''}{\phi_s F_y (d - d')} \quad (\text{فولادهای دور از نیرو}) \quad (34-5)$$

هر دو فولاد  $A_s$  و  $A'_s$  تحت کشش می‌باشند.

حالت ۲ - بروز محوری بزرگ "d"



شکل ۱۸ - ۵

گام ۱ - مقدار حدی  $y_i/d$  بر حسب نوع فولاد و نوع بتن از جدول زیر محاسبه می‌گردد:

جدول ۱ - مقادیر حدی  $y_i/d$

مقاومت مشخصه بتن $f_c(N/mm^2)$	نش جاری شدن فولاد $N/mm^2$				
	۲۴۰	۲۸۰	۳۰۰	۳۵۰	۴۲۰
≤ ۳۰	۰/۴۵۲	۰/۴۳۶	۰/۴۲۷	۰/۴۰۵	۰/۳۷۸
۳۵	۰/۴۲۶	۰/۴۱۱	۰/۴۰۲	۰/۳۸۱	۰/۳۵۵
۴۰	۰/۴۰۰	۰/۳۸۶	۰/۳۷۸	۰/۳۵۷	۰/۳۳۳

گام ۲ - با فرض احتیاج به فولاد فشاری، تنش مؤثر فشاری  $(f'_s)_{eff}$  از رابطه زیر محاسبه می‌گردد:

$$(f'_s)_{eff} = 600 \left[ \frac{y_i - \beta_1 d'}{y_i} \right] - 0.85 f_c \quad (35-5)$$

که باید مقدار آن از  $0.85 f_c - F_y$  بزرگتر شود.

اگر از رابطه فوق برای  $d'$  مقدار منفی به دست آید، باید چنین نتیجه گرفت که فولاد فشاری در جایی قرار دارد که وجودش بی تأثیر است. در چنین حالتی اگر مقطع با فولاد کششی تنها جوابگو نباشد، یا باید  $d$  افزایش یابد و یا  $A'$  به جایی منتقل گردد که مؤثر باشد.

اگر مقدار  $d'$  به دست آمده از رابطه مثبت باشد، در این صورت سطح مقطع فولاد فشاری از

رابطه زیر محاسبه می‌گردد:

$$A'_s = \frac{T_u(e'') - 0.85 \phi_c f_c b y_i (d - 0.5 y_i)}{\phi_c (f'_s)_{eff} (d - d')} \quad (36-5)$$

(رابطه فوق از نوشتن تعادل لنگرهای نسبت به فولاد کششی به دست می‌آید).

گام ۳ - اگر مقدار  $A'_s$  به دست آمده از رابطه فوق مثبت باشد، در این صورت مقطع به فولاد فشاری احتیاج دارد و فولاد کششی نیز از رابطه زیر به دست می‌آید:

$$A_s = \frac{T_u + o / 85\phi_c f_c b y_i + A'_s (\phi_s f'_s)_{eff}}{\phi_s F_y} \quad (37-5)$$

(رابطه فوق از نوشتمن تعادل نیروها در امتداد  $x$  به دست می‌آید).

گام ۴ - اگر رابطه برای  $A'_s$  مقدار منفی نتیجه دهد، در این صورت به فولاد فشاری احتیاج نیست. در این صورت صرفنظر از اینکه طراح بخواهد به طور اختیاری فولادی در سمت فشاری تعبیه کند یا نه، مقطع بدون در نظر گرفتن هرگونه فولاد فشاری، با فولاد کششی تنها، طراحی می‌شود. در این حالت، سطح مقطع فولاد کششی تنها برابر است با:

$$A_s = \frac{T_u + o / 85\phi_c f_c b y}{\phi_s F_y} \quad (38-5)$$

که در آن:

$$y \approx d - \sqrt{d^2 - \frac{2T_u e''}{o / 85\phi_c f_c b}} \quad (39-5)$$

حداقل میلگرد کششی  $200 \text{ mm}$  است.

#### اثر مشترک نیروی محوری فشاری و لنگر خمشی

برای این حالت می‌توان از نمودارهای اندرکنش ایروی محوری و لنگر خمشی که در بتن مسلح معمولی به کار گرفته می‌شود، استفاده نمود. در صورتی که مقدار نیروی محوری فشاری ضربیدار کوچکتر از  $A_g f_c / 10$  گردد، در جهت اطمینان می‌توان از اثر آن صرف‌نظر نمود. در این عبارت  $A_g$  مساحت کلی مقطع می‌باشد.

#### ۷-۵-۵ طراحی برای برش

طراحی برای برش طبق مفاد فصل دوازدهم از آیین‌نامه آبا انجام می‌شود.

#### ۸-۵-۵ کنترل عرض ترک

کنترل عرض ترک در جداره‌های تحت کشش سیلوهای طبق رابطه زیر محاسبه می‌شود:

$$W_{cr} = W_1 - W_2 + W_3 \quad (\text{عرض ترک}) \quad (40-5)$$

که در رابطه فوق:

$W_1 =$  عرض ترک به علت تأثیر کوتاه مدت فشار جانبی  $p_{des}$  (شامل اثر ضریب افزایش فشار)

$W_2 =$  عرض ترک به علت تأثیر کوتاه مدت فشار استاتیک  $p$

$W_3 =$  عرض ترک به علت تأثیر بلند مدت فشار استاتیک  $p$

$W_1 - W_2$  در واقع عرض ترک به علت تأثیر کوتاه مدت اضافه فشار می باشد.

برای محاسبه عرض ترک ها می توان از روابط زیر استفاده کرد:

$$W_1 = \Psi_1 \frac{A\beta}{\Sigma_0} \frac{f_{s,tot}}{E_s} \quad \Psi_1 = 1 - 0 / \sqrt{\frac{0.8 A f'_t}{F_{tot}}} \geq 0.3 \quad (41-5)$$

$$W_2 = \Psi_2 \frac{A\beta}{\Sigma_0} \frac{f_{s,st}}{E_s} \quad \Psi_2 = 1 - 0 / \sqrt{\frac{0.8 A f'_t}{F_{st}}} \geq 0.3 \quad (42-5)$$

$$W_3 = \Psi_3 \frac{A\beta}{\Sigma_0} \frac{f_{s,st}}{E_s} \quad \Psi_3 = 1 - 0.35 \frac{0.8 A f'_t}{F_{st}} \geq 0.65 \quad (43-5)$$

$\beta = 0.7$  برای میلگرد آجردار و  $1$  برای میلگرد ساده (البته استفاده از میلگرد ساده مجاز

نیست)

$A =$  سطح مقطع جدار برای ارتفاع واحد

$st =$  انداز نشان دهنده حالت استاتیک (بدون ضریب افزایش فشار)

$tot =$  انداز نشان دادن فشار استاتیک به علاوه اضافه فشار

$f'_t = 0.38 \sqrt{f_c} = f_c' =$  مقاومت کششی بتن ( $N/mm^2$ )

$\Sigma_0 =$  مجموع محیط میلگردهای حلقوی در ارتفاع واحد دیوار

$f_s =$  تنش فولاد

## ۹-۵-۵ ضخامت حداقل در جداره سیلوهای گرد

برای احتساب لنگرهای غیرقابل محاسبه به علت انتقال فشارهای غیریکنواخت در جداره سیلوهای گرد، حداقل ضخامت زیر برای جدار این سیلوها توصیه می شود:

$$t_{min} = p \frac{D}{2} \frac{m E_s + f_s - n f_{ct}}{f_s f_{ct}} \quad (44-5)$$

$m =$  ضریب جمع شدگی (مساوی ۰.۰۰۰۳)

$f_s =$  تنش کششی مجاز (بین ۰/۵  $F_y$  تا ۰/۴  $F_y$ )

$f_{ct} =$  تقریباً مساوی ۰/۱  $f_c'$

$D$  = قطر میاندار جدار سیلو

$p$  = فشار جانبی در حالت استاتیک (بدون اعمال ضریب افزایش فشار)

$n$  = نسبت مدول الاستیسیتیٰ فولاد به بتن

حداقل ضخامت دیوار در سیلوهای گرد و یا مربع مستطیل با بتن ریزی درجا، ۱۵۰ میلی متر می باشد.

### ۱۰-۵-۵ تنش فشاری حد اکثر بتن در پایی جداره سیلو

جداره سیلو در قسمت های تحتانی (پای جداره) تحت تنش های فشاری زیادی به علت نیروهای تقلی است. میزان تنش فشاری بتن تحت بارهای ضربیدار نباید از مقادیر زیر تجاوز نماید:

الف - وقتی که مسئله کمانش در میان نیست:

$$\sigma_c = 0.55 \phi_c f_c \quad (45-5)$$

$$\phi_c = 0.6$$

ب - سیلوهای با مقطع مربع مستطیلی وقتی در پایی جدار بازشو وجود دارد و در نتیجه امکان کمانش مطرح می شود:

$$\sigma_c = 0.55 \phi_c f_c \left[ 1 - \left( \frac{H_0}{40t} \right)^2 \right] \quad (46-5)$$

در رابطه فوق:

$$H_0 = \text{ارتفاع آزاد بازشو}$$

$$t = \text{ضخامت جدار}$$

پ - سیلوها با مقطع دایره وقتی که بازشو در پای دیوار وجود ندارد و امکان کمانش موضعی وجود دارد.

$$\sigma_c = 0.55 \phi_c f_c \left[ 1 - \left( \frac{D}{120t} \right)^3 \right] \quad (47-5)$$

$D$  = قطر میاندار جدار (جمله  $D/120t$ ) کاهش به علت کمانش موضعی جداره می باشد.

ت - سیلوها با مقطع دایره وقتی که در پایی دیوار بازشو وجود دارد.

$$\sigma_c = 0.55 \phi_c f_c \left[ 1 - \left( \frac{H_0}{40t} \right)^2 - \left( \frac{D}{120t} \right)^3 \right] \quad (48-5)$$

$$H_0 = \text{ارتفاع بازشو}$$

### ۱۱-۵-۵ خمث مقاطع بتن مسلح دایره با جدار نازک

مطابق شکل ۱۹-۵، یک مقطع جدار نازک با ضخامت ۱ و شعاع میانتار  $r$  با توزیع یکنواخت فولاد در حول محیط در نظر بگیرید. نیروی فشاری  $W$  با بروونمحوری  $e$  براین مقطع اعمال می‌شود. همچنین فرض کنید مقطع دارای یک یا دو بازشوی متقارن با زاویه مرکزی  $2\beta$  می‌باشد.

در سیلوها و قنی از تحلیل ارایه شده در این قسمت استفاده می‌شود که خمث کلی سیلو همانند تیر طرهای، به واسطه تأثیر نیروهای جانبی باد یا زلزله مورد توجه باشد.

در صورتی که  $e/r < 0$  باشد، در مقطع هیچ‌گونه کششی ایجاد نمی‌شود و در نتیجه با استفاده از مقطع تبدیل یافته می‌توان تنش فشاری را در بتن و فولاد محاسبه نمود.

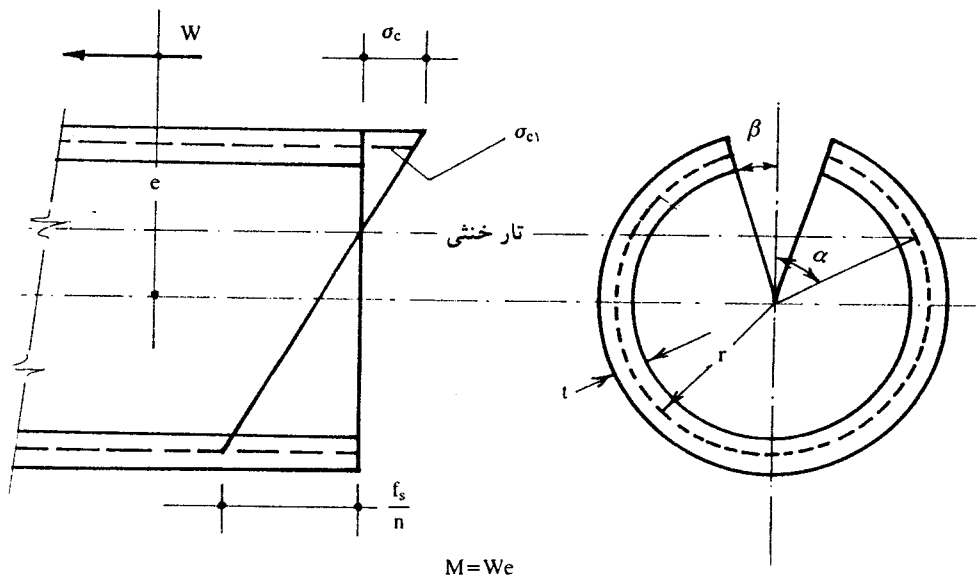
در صورتی که  $e/r > 0$  باشد، در مقطع کشش ایجاد می‌شود. در این حالت برای محاسبه تنش‌ها می‌توان از روابط ارایه شده در زیر استفاده نمود. این روابط تنش بهره‌برداری را برای بارهای بدون ضریب به دست می‌دهند [ترکیب بار (W) یا  $(D+L \pm E)$ ]

$$\frac{e}{r} = \frac{1}{2} \frac{(1-p)(\alpha - \sin\alpha \cos\alpha) - (1-p+np)(\beta + \sin\beta \cos\beta - \gamma \sin\beta \cos\alpha) + np\pi}{(1-p)(\sin\alpha - \alpha \cos\alpha) - (1-p+np)(\sin\beta - \beta \cos\beta) - np\pi \cos\alpha} \quad (49-5)$$

در رابطه فوق:

$W$  = بروونمحوری نیروی فشاری

$r$  = شعاع میانتار مقطع



شکل ۱۹-۵

$$n = \frac{40}{\sqrt{f_c}} \quad \beta = \text{نصف زاویه مرکزی بازشو (به صورت تنها یا متقارن)}$$

$$\alpha = \text{نصف زاویه مرکزی تار خنثی}$$

$$p = A_s / 2\pi r t \quad (p = \text{نسبت فولاد مقطع})$$

رابطه فوق به صورت آزمون و خطاب حل می شود تا مقدار  $\alpha$  به دست آید. با تعیین  $\alpha$  می توان

تنش ها را از روابط زیر محاسبه نمود:

$$\sigma_{c1} = \frac{W(\cos\beta - \cos\alpha)}{2rt[(1-p)(\sin\alpha - \alpha\cos\alpha) - (1-p+np)(\sin\beta - \beta\cos\alpha) - np\pi\cos\alpha]} \quad (50-5)$$

تنش بتون در تار خارجی

$$\sigma_c = \sigma_{c1} \left[ 1 + \frac{t}{\pi r \cos\beta (\cos\beta - \cos\alpha)} \right] \leq 0 / 45 f_c \quad (51-5)$$

تنش در فولاد

$$\sigma_s = n\sigma_{c1} \left[ \frac{1 + \cos\alpha}{\cos\beta - \cos\alpha} \right] \leq 0 / 6 F_y \quad (52-5)$$

به جای استفاده از روابط، می توان از نمودار شکل ۵-۲۰ که با  $n=15$  رسم شده، برای تعیین تنش ها در یک مقطع دایرۀ جدار نازک استفاده نمود.

شکل ۵-۲۲ نیز مجموعه ای از نمودارهای اندرکنشی نیروی فشاری و لنگر خمی را برای حالت وجود بازشو در مقطع و بدون بازشو نشان می دهد. در این نمودارها،  $\sigma_c$  تنش فشاری مجاز بتون می باشد که مساوی  $45 f_c / 0$  منظور می شود.

## ۱۲-۵-۵ طراحی برای خمی ناشی از گرادیان حرارتی

پس از تعیین لنگر ناشی از گرادیان حرارتی، مقدار فولاد خمی لازم که هم در امتداد افقی و هم در امتداد قائم قرار داده می شود، از رابطه زیر به دست می آید:

$$A_{s,t} = \frac{1/25 M_t}{\phi_s F_y (d - d'')} \quad (53-5)$$

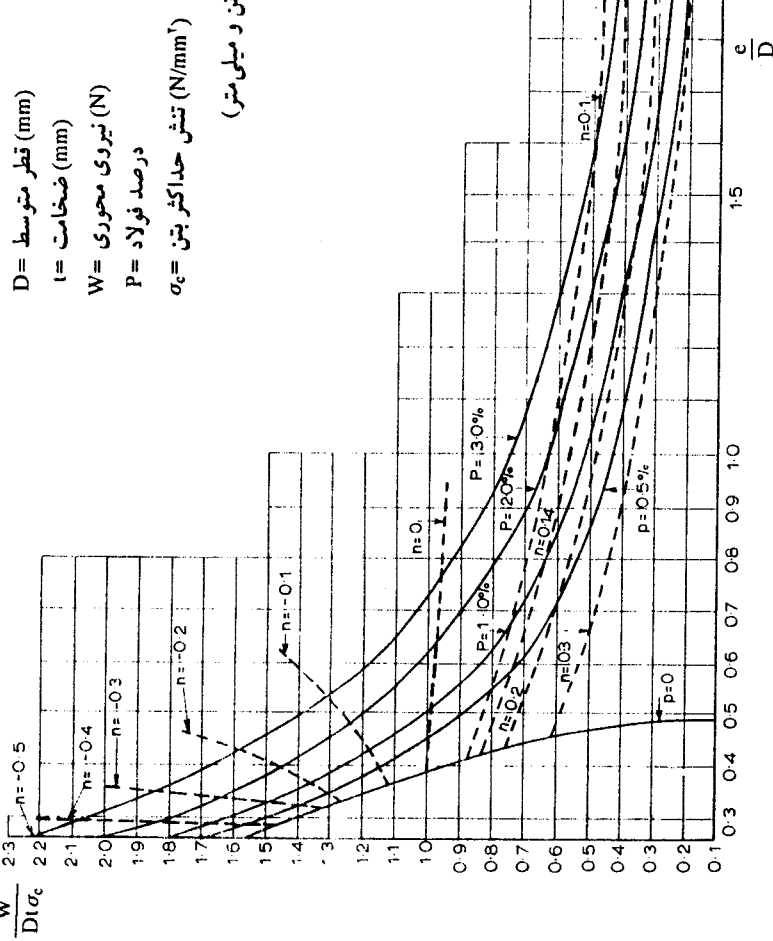
که در رابطه فوق:

$$M_t = \text{تنش جاری شدن فولاد}$$

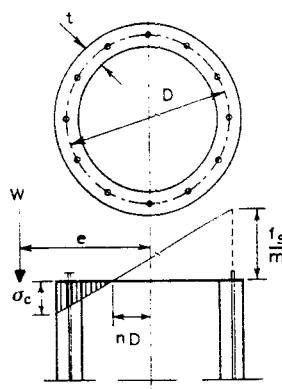
$$M_t = \text{لنگر به دست آمده از رابطه (۳-۵)}$$

$$d'' = \text{طبق شکل ۱۸-۵}$$

قطع حلقه‌ای جدار نازک



شکل ۵



شکل ۲۱-۵ مقطع دایره بدون بازشو.

فولادهای محاسبه شده از رابطه فوق باید در نزدیکی سطح خنکتر سیلو (غالباً سطح خارجی) قرار داده شوند.

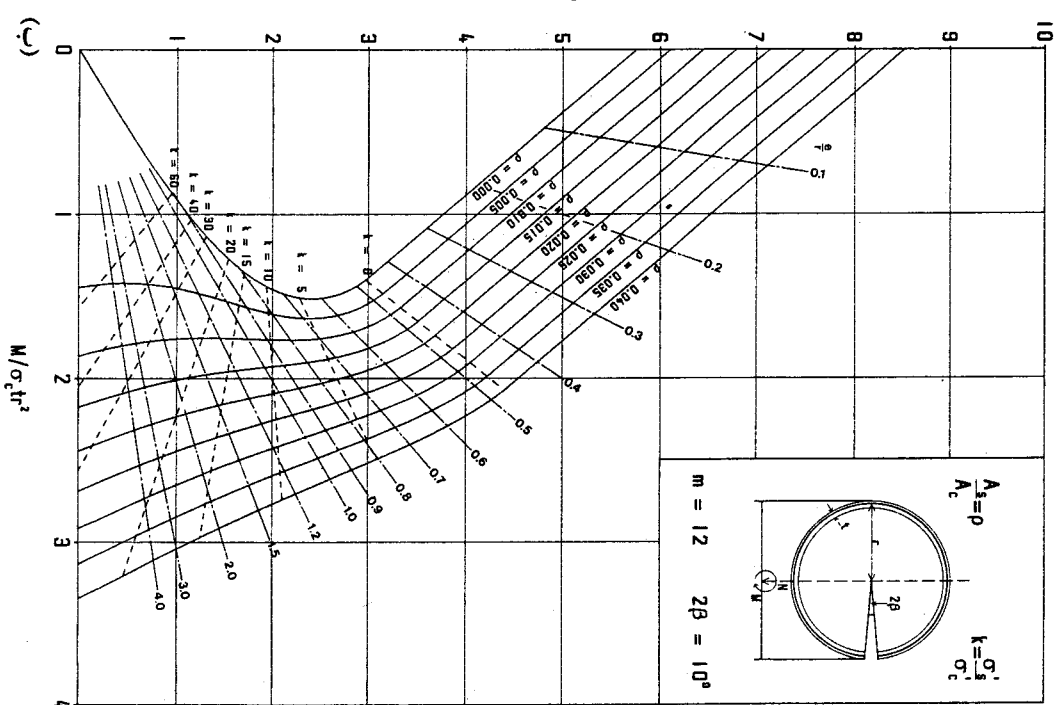
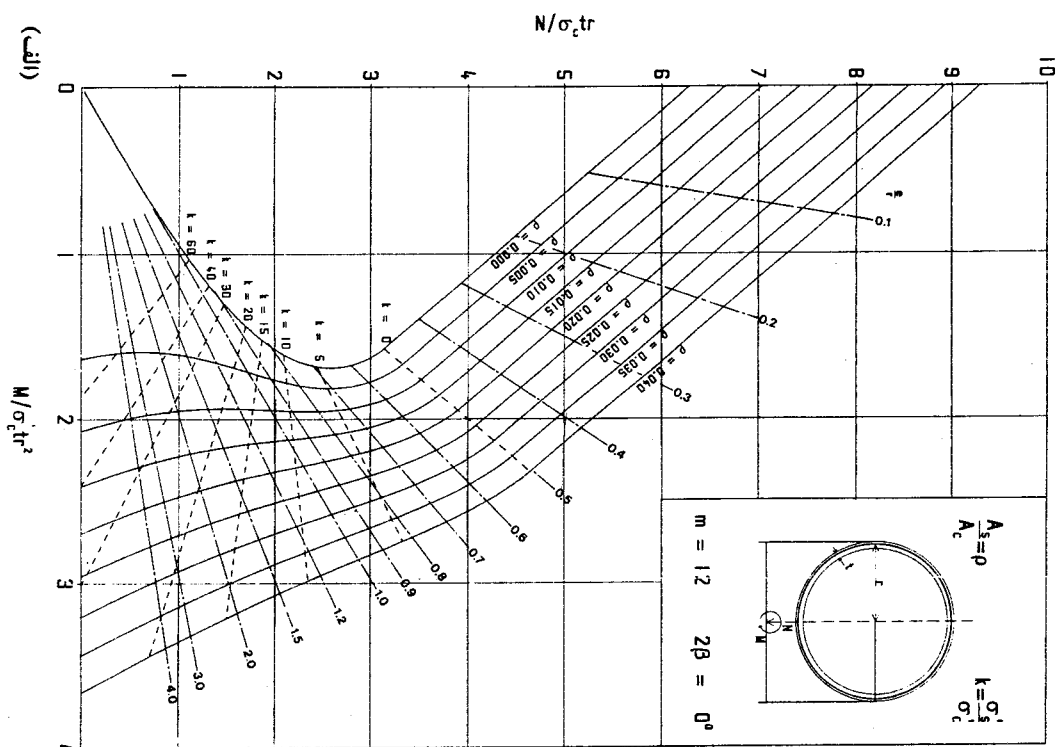
### ۱۳-۵-۵ جزیات متفرقه حداقل میلگردهای افقی

میلگردهای افقی محاسبه شده در ناحیه تحت فشار داخلی سیلو، (یعنی ناحیه‌ای که تحت فشار جانبی ناشی از مصالح ذخیره شده است)، باید لاقل تا ارتفاعی مساوی شش برابر ضخامت دیوار، در زیر ناحیه فشاری یعنی در ناحیه بدون فشار داخلی ادامه یابند. در زیر این ناحیه، حداقل میلگردهای افقی مساوی  $25/0$  درصد می‌باشد.

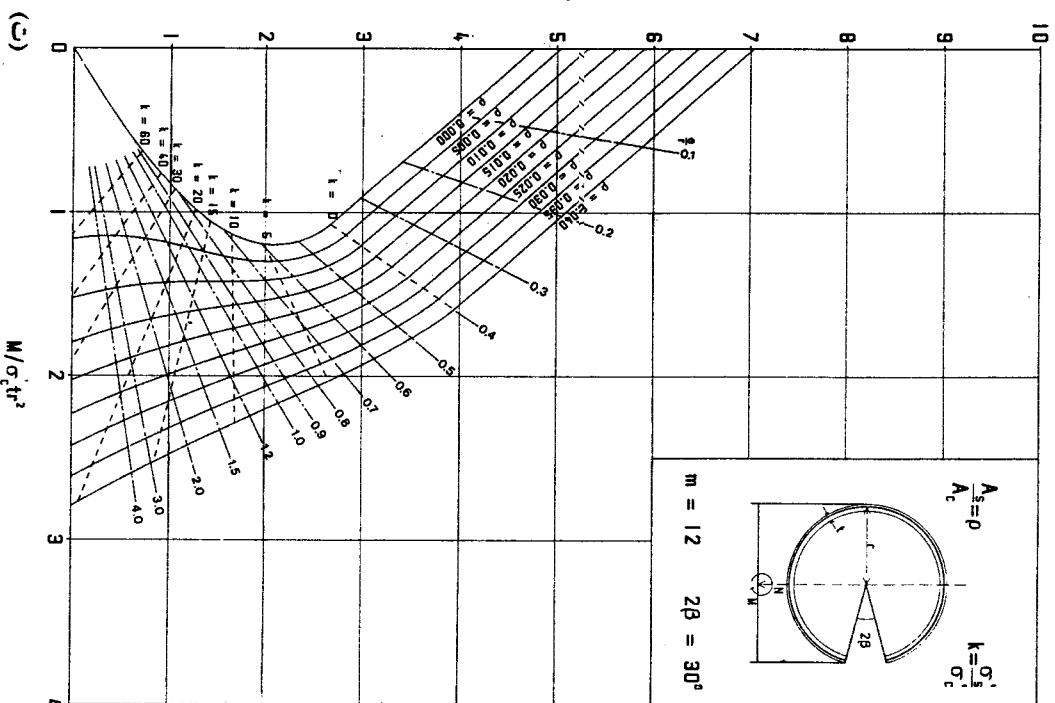
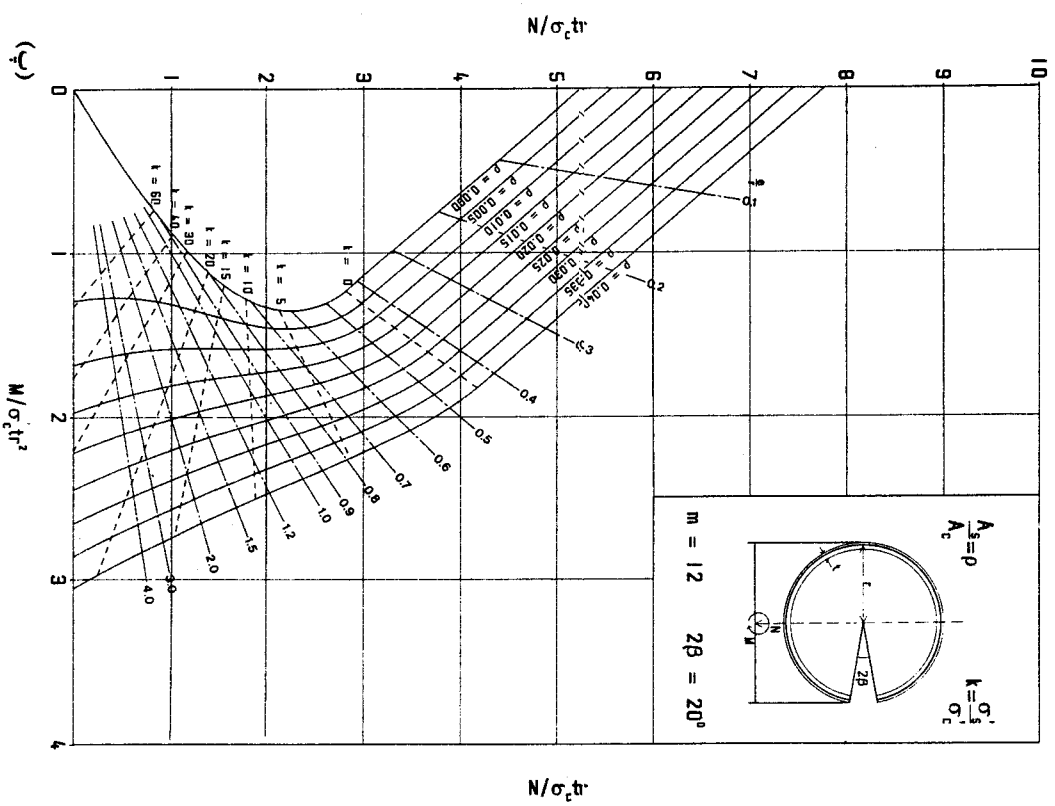
#### حداقل میلگردهای قائم

نموده میلگردهای قائم نباید کمتر از  $12$  میلی‌متر باشد. در ناحیه تحت فشار داخلی سیلو، حداقل نسبت میلگردهای قائم برای جدارهای خارجی مساوی  $15/0$  درصد مقطع و برای جدارهای داخلی مساوی  $1/0$  درصد می‌باشد. در ناحیه بدون فشار، این نسبت مساوی  $2/0$  درصد برای کل فولاد مقطع است. حداکثر فاصله میلگردهای قائم در منطقه تحت فشار داخلی مساوی  $3$  برابر ضخامت است که برای دیوارهای خارجی نباید بیشتر از  $250$  میلی‌متر و برای دیوارهای داخلی نباید بیشتر از  $350$  میلی‌متر باشد.

مهمترین وظیفه میلگردهای قائم، حمل تنש‌های کشنشی ناشی از خمش کلی جدار سیلو



شكل ٥ - ٢٢



شكل ٥ - ٢٢ (دبال)

به علت نیروهای جانبی باد یا زلزله می‌باشد.

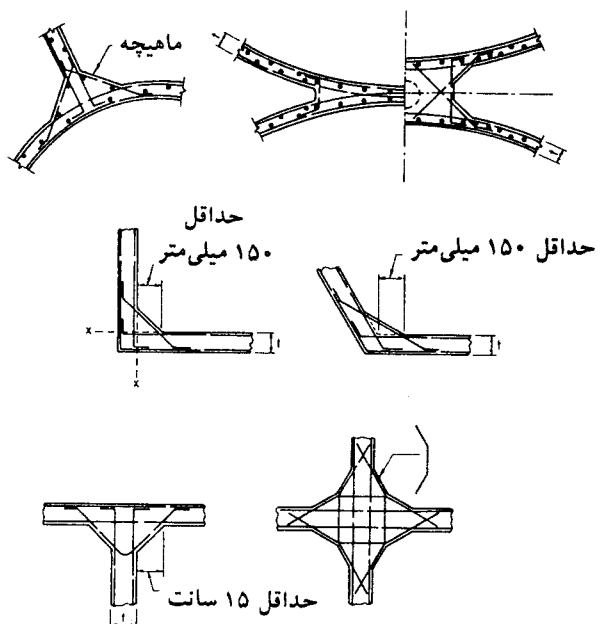
جزیبات آرماتوربندی در گوشها و در محل تقاطع  
در شکل ۵ - ۲۳ جزیبات آرماتوربندی در گوش و در محل تقاطع سیلوها نشان داده شده است.

### دسته کردن ۳ میلگرد

در سیلوها و بونکرها، میلگردهای افقی رانمی توان به صورت دوتایی و یا سه تایی دسته کرد.

### تعداد سفره‌های میلگرد

در صورتی که ضخامت جدار مساوی و یا بزرگتر از ۲۵۰ میلی‌متر باشد، هم میلگردهای افقی و هم میلگردهای قائم باید در دو سفره قرار داده شوند. در ضخامت‌های کوچکتر، وقتی که از یک سفره میلگرد استفاده می‌شود، این سفره باید نزدیک‌تر به سطح خارجی قرار داده شود.



شکل ۵ - ۲۳. جزیبات آرماتوربندی در محل گوشها.

### بازشوها در ناحیه تحت فشار داخلی

لاقل ۶۰ درصد میلگردهای افقی قطع شده توسط بازشو، باید در بالای بازشو و به همین مقدار باید در پایین بازشو قرار داده شود.

لاقل ۵۰ درصد میلگردهای قائم قطع شده توسط بازشو، باید در هر طرف بازشو قرار داده شود. به علاوه در هر طرف بازشو، نواری به عرض چهار برابر ضخامت جدار لازم است به صورت یک ستون با طول آزادی به اندازه ارتفاع بازشو کنترل گردد. این ستون، بار قائم سهم خودش به علاوه نصف بار دیوار را که در بالای بازشو و در ارتفاعی مساوی عرض بازشو به وجود می‌آید، حمل می‌کند. به علاوه لازم است در گوشهای بازشو، میلگردهای ۴۵ درجه برای جلوگیری از ترک‌های قطری تعییه گردد. همچنین در مناطق زلزله‌خیز به خاطر رعایت مسائل شکل‌پذیری، توصیه می‌شود که میلگردهای قائم و افقی تعییه شده در لبه‌های افقی و قائم سوراخ توسط حلقه‌هایی (خاموت‌های بسته) با فواصلی نه بیشتر از ۴ برابر قطر میلگردهای تقویتی دورگیری شوند.

### بازشوها در ناحیه بدون فشار داخلی

مقدار میلگردهای افقی اضافه شده در بالا و پایین بازشو، نباید کمتر از میلگردهای افقی قطع شده در عرضی معادل نصف عرض بازشو باشد (توصیه می‌شود این مقدار کمتر از نصف کل میلگردهای قطع شده در ارتفاع نباشد). دیوارهای بالا و پایین بازشو باید برای حمل تمام بارهای قائم وارد بر دیوار در بالا و پایین بازشو طراحی شوند.

میلگردهای قائم در لبه‌های قائم بازشو، براساس روشی محاسبه می‌شود که برای بازشوها در ناحیه فشاری ذکر گردید.

برای این بازشوها نیز تعییه میلگردهای ۲۴ درجه در گوش و دورگیری میلگردهای تقویتی توسط خاموت بسته توصیه می‌شود.

### مهار میلگردهای تقویتی در اطراف بازشو

میلگردهای تقویتی اضافه شده در لبه‌های بازشو، بعد از لبه بازشو حداقل باید به اندازه بزرگترین طول به دست آمده از شرایط زیر، امتداد یابند.

الف - طول لازم برای مهار فولاد وقتی که تا حد تسلیم تحت تنش قرار می‌گیرد.

ب - ۶۰۰ میلی‌متر

پ - نصف بعد بازشو در امتداد عمود بر میلگرد مورد نظر

### بازشوها با فواصل کم

در غالب موارد، به خصوص در نواحی بدون فشار داخلی واقع در پای سیلو، لازم می‌گردد بازشوهایی با فواصل کم تعییه گردد. حداقل فاصله بین دو بازشو، (در واقع عرض باقیمانده در حداصل دو بازشو)، نباید کمتر از ۳ برابر ضخامت دیوار باشد. این دیوارها همانند ستون‌هایی در مقابل کلیه نیروهای قائم و زلزله طراحی شده و ضوابط شکل پذیری شدید (فصل ۲۰ آب) در خصوص آنها اعمال می‌شود.

### حداقل فاصله بین میلگردهای افقی

حداقل فاصله آزاد بین میلگردهای افقی در نواحی بدون وصلة ۵۰ میلی‌متر می‌باشد. همچنین در حالتی که جدار سیلو توسط قالب‌های لغزنده اجرا می‌شود، فواصل میلگردها باید به قدر کافی بزرگ باشد تا امکان نصب آنها همراه با صعود قالب باشد.

### طول وصلة

طول وصلة میلگردهای افقی جدار سیلو در ناحیه تحت فشار داخلی، در صورتی که اجرا با استفاده از قالب‌های لغزنده انجام شود، نباید کمتر از مقادیر زیر باشد:  
برای سیلوهای غیردایروی، با وصلة‌های غیرمرحله‌ای<sup>۴</sup>، مساوی با طول وصلة محاسبه شده طبق بند ۱۸ - ۴ - آینه نامه آبا (مساوی  $1/2 \times 4$  میلی‌متر).

برای سیلوهای دایروی، با وصلة‌های مرحله‌ای<sup>\*</sup> و نظارت دائم، مساوی با طول مهاری  $h/4$  به علاوه ۱۵۰ میلی‌متر، در محاسبه طول وصلة، وقتی که از قالب‌های لغزنده استفاده شود، میلگردهای افقی، تحتانی فرض می‌شوند و در صورتی که از قالب‌های معمولی استفاده شود، میلگردهای افقی، فوقانی فرض می‌شوند (یعنی در محاسبه طول مهاری، ضریب  $1/4$  بر آنها اعمال می‌شود). پوشش بتن روی میلگردها در محل وصلة نباید کمتر از مقادیر توصیه شده طبق آینه نامه آبا و نه کمتر از ۲۵ میلی‌متر برای دیوارهای داخلی باشد.

وقتی که بتن در امتداد عمود بر میلگردهای افقی تحت کشش باشد، در محل وصلة باید میلگردهای قائم برای جلوگیری از ترک‌های افقی تعییه گردد.

در سیلوهای دایروی، وصلة میلگردها، چه افقی و چه قائم، باید به صورت مرحله‌ای باشد. یعنی در یک مقطع نمی‌توان تمام میلگردها را با هم وصلة کرد. در منطقه تحت فشار داخلی، برای

#### 4 – unstaggered

\* وصلة مرحله‌ای (Staggered) حالتی را گویند که در آن وصلة تمام میلگردها در یک مقطع نبوده و در مقاطع مختلف انجام می‌شود.

میلگردهای حلقوی در هر یک متر ارتفاع فقط می‌توان یک میلگرد وصله کرد و برای میلگردها قائم، وصله باید دو درمیان باشد.

#### قرارگیری آرماتور

در صورتی که جدار سیلو فقط یک سفره آرماتیر داشته باشد، محل قوارگیری آن نزدیکتر به سطح خارجی می‌باشد.

#### درزهای اجرایی

بتن‌ریزی و اجرای جدار سیلو باید پیوسته و بدون درز اجرایی باشد، مگر اینکه محل درز اجرایی در نقشه‌های اجرایی نشان داده شده باشد.

## فصل ۶

### ساخت

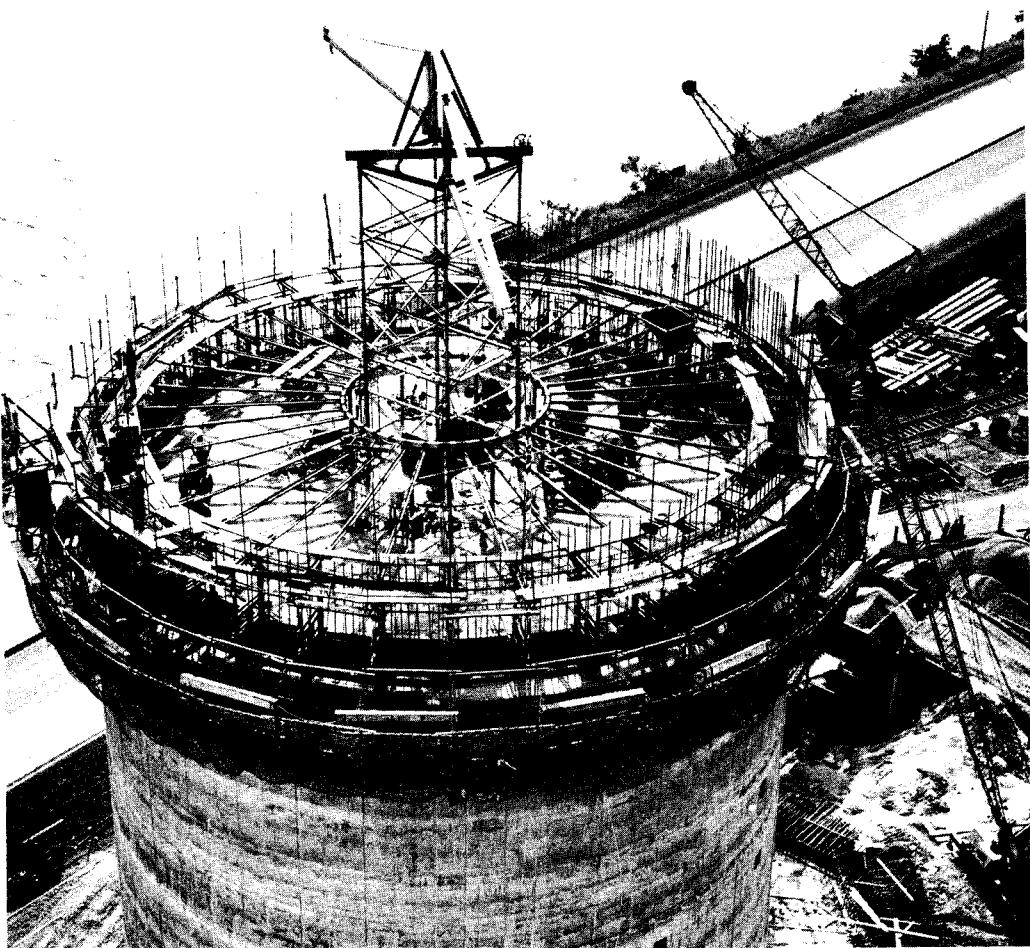
#### ۱-۱ معرفی

در اجرای سیلوهای بتن آرمه لازم است کلیه ضوابط اجرایی ساختمان‌های بتن آرمه که در فصل ششم آبین نامه بتن ایران (آب) ارایه شده است، مورد توجه قرار گیرد.  
از طرف دیگر ساخت اکثر سیلوها با استفاده از روش قالب لغزندۀ قائم انجام می‌شود. لذا در این فصل ضوابط اختصاصی این روش اجرایی ارایه می‌گردد. این ضوابط مکملی بر ضوابط اجرایی عمومی سازه‌های بتن مسلح می‌باشند.

#### ۲-۱ ضوابط عمومی قالب‌های لغزنده

۱. سعی گردد که طرح‌نما در ارتفاع سیلو یکسان باشد. این امر امکان انجام قالب‌بندی را فراهم می‌کند که در حین لغزش، نیازی به اصلاح هندسی در مقیاس بزرگ نخواهد داشت. بدین منظور باید ضخامت پوسته را در کل ارتفاع ثابت درنظر گرفت.  
صرفه‌جویی در بتن مصرفی از طریق کاهش ضخامت یا ابعاد هندسی مقطع، صرف نظر از زمان تلف شده، موجب صعوبت زیادی به جهت اصلاح قالب‌ها در حین اجرا خواهد شد. حداقل ضخامت دیوار هر چند که به اندازه سنگدانه‌های بتن مصرفی وابسته است، لیکن از دیدگاه اجرای قالب لغزنده، نباید از ۱۸۰ میلی‌متر کمتر باشد تا از توقف<sup>۱</sup> قالب که ناشی اصطکاک زیاد بین جداره قالب و بتن تازه می‌باشد، جلوگیری شود.

1- pullup



سیلو در حال اجرا با قالب لغزنده

۲. طراحی آرماتورهای مقطع عامل مهمی است، ته بر بازدهٔ عملیات اجرای قالب لغزنده مؤثر است. از تمرکز زیاد آرماتور در مقطع، آنگونه که در اعصاری بتن مسلح با اجرای درجا وجود دارد، باید اجتناب شود، چراکه در چنین حالت‌هایی، آرماتورگذاری در مقطع در حین لغزش قالب، اگر غیر ممکن نباشد، بسیار مشکل خواهد بود.

در صورتی که لغزش قالب به صورت پیوسته نباشد، جزیيات آرماتورهای قائم باید به گونه‌ای باشد که در حین توقف قالب، عملیات آرماتورگذاری (قائم) انجام گیرد. اگر لغزش قالب به طور پیوسته باشد، یک طرح (الگوی) مناسب که موید رضایت مهندس سازه باشد، باید برای محل

وصله آرماتورهای قائم اتخاذ شود، به گونه‌ای که امکان آرماتورگذاری در حین حرکت قالب، فراهم باشد. البته بهتر است تدبیری اتخاذ شود تا محل همه وصله‌ها در یک تراز باشد.

## ۶-۳ نمای سطح بتن

در استفاده از سیستم قالب لغزنده، نوع پرداخت نهایی سطح بتن با توجه به مقتضیات معماری و نمایی باید مورد توجه قرار گیرد. روش معمول در قالب‌های لغزنده، پرداخت سطح بتن با ماله‌های آهنی، چوبی و یا لاستیکی، به روی سطح بتن تر در حین لغزش قالب و یا به روی سطح بتن خشک شده پس از اتمام عملیات لغزش قالب می‌باشد.

بدین منظور یک زیرپایی یا سکو از زیر قالب آویزان شده و کارگران مربوطه سطح بتن تازه را با استفاده از ماله، پرداخت می‌کنند تا سطحی صاف و صیقلی تأمین شود. پس از تکمیل عملیات پرداخت دستی، غشای مراقبت بر روی سطح صاف شده بتن پاشیده می‌شود و معمولاً پرداخت مجدد سطح بتن پس از اتمام لغزش قالب لازم نیست. شکل ۶-۱ تجهیزات نمازای نصب شده بر قالب لغزنده را نشان می‌دهد.

## ۶-۴ اجزای قالب لغزنده

مطابق شکل ۶-۲، اجرای قالب لغزنده عبارتند از:

۱. یوغ<sup>۲</sup>

۲. پشت‌بندهای<sup>۳</sup> افقی (کمرکش)

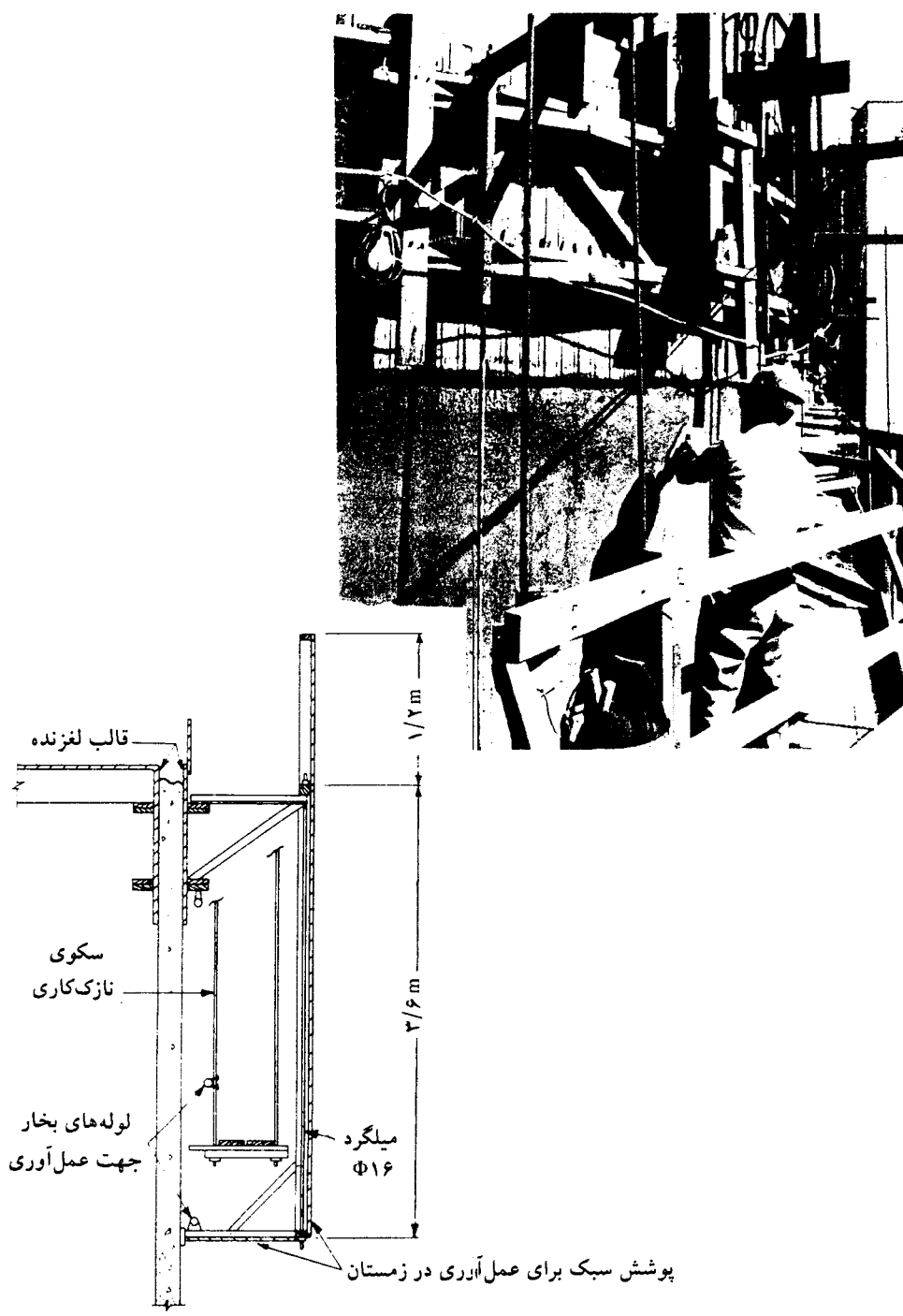
۳. قالب‌بدنه<sup>۴</sup>

یوغ دو وظیفه اصلی دارد، مقاومت در مقابل فشارهای جانبی بتن، و انتقال بارها به محل میله جک‌ها. وظیفه پشت‌بندها نیز دادن مقاومت خمشی به قالب‌بدنه و انتقال فشار قالب‌ها به یوغ‌ها می‌باشد. سکوی نازک‌کاری، عرشة اجرایی و سکوی طره‌ای به پشت‌بندهای افقی متصل می‌شوند. اتصال پشت‌بندها به یوغ باید قادر به حمل این بارها باشد. قالب‌بدنه که می‌تواند از الوارهای چوبی، پانل‌های فلزی و یا پانل‌های ساخته شده از چند لایی باشد، مستقیماً به پشت‌بندهای افقی متصل می‌شود.

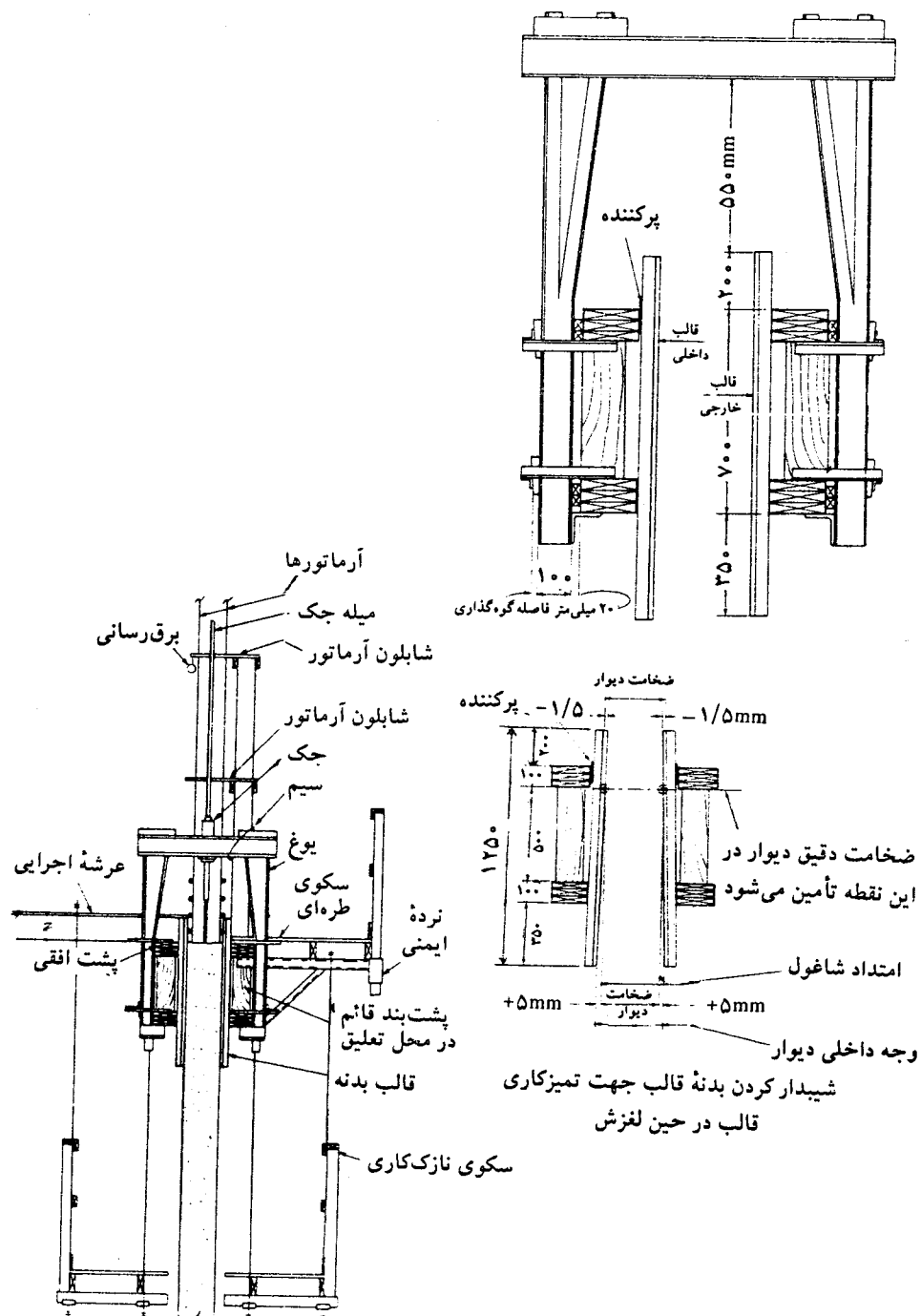
2- yoke

3- wale

4- sheathing



شکل ۶ - ۱ نمازایی و تجهیزات نمازایی در قالب لغزنده.



شکل ۶-۲ اجزای قالب لغزنده.

## ۶-۵ بارگذاری

### ۶-۵-۱ بارهای قائم

(الف) بارهای مرده شامل وزن کلیه اجزای قالب

(ب) بار زنده

۳/۵۰ کیلونیوتون بر مترمربع در روی عرشه کار و یا بار متتمرکز به اندازه وزن فرغون و دستگاه‌های حمل بتن هر کدام که اثر بزرگتری داشته باشند، در طراحی عناصر درجه‌اول عرشه نظیر تخته کوبی و تیرچه‌های آن. در طراحی بار انتقال یافته به پشت‌بندها این بار را می‌توان به ۲/۵۰ کیلونیوتون بر مترمربع تقلیل داد.

۱/۲۵ کیلونیوتون بر مترمربع برای سکوهای نازک‌کاری

(پ) بار اصطکاکی

برای قالب‌های لغزنده با ارتفاع قالب بدنه بین ۱/۲ تا ۱/۴ متر، نیروی اصطکاک بین بتن تازه و قالب لغزنده مساوی ۳/۰۰ کیلونیوتون بر متر طول محیط در نظر گرفته می‌شود.

### ۶-۵-۲ فشار جانبی

فشار جانبی بتن روی قالب‌های بدنه از رابطه زیر به دست می‌آید:

$$p = 5 + \frac{53/5 R}{T+17/80} \quad (6-1)$$

$p$  = فشار جانبی بتن ( $\text{kN/m}^2$ )

$R$  = سرعت بتن‌ریزی در ارتفاع (متر بر ساعت)

$T$  = درجه حرارت بتن (سانتی‌گراد)

فشار فوق برای حالتی است که هر بار فقط لایه فوقانی بتن‌ریزی مرتعش شود. در صورتی که بخواهیم هر بار ارتعاش داخلی را در تمام ارتفاع قالب بدنه انجام دهیم، عدد ۵ موجود در رابطه فوق باید با ۷ جایگزین گردد.

### ۶-۵-۳ رoadاری‌های کار تمام شده

۱ - ضخامت دیوار  $+20$  و  $-10$  میلی‌متر

۲ - هر انحراف هر نقطه در بالای سازه نسبت به نقطه نظیر ثابت در پای سازه مساوی ۵۰ میلی‌متر

برای ارتفاع کمتر از ۳۰ متر و مساوی  $\frac{1}{60}$  ارتفاع (ونه بیشتر از ۲۰۰ میلی‌متر) برای ارتفاع بزرگتر از ۳۰ متر.

## ۶-۶ سیستم جک

انواع مختلف جک‌های مورد استفاده در قالب‌های لغزندۀ عبارتند از:

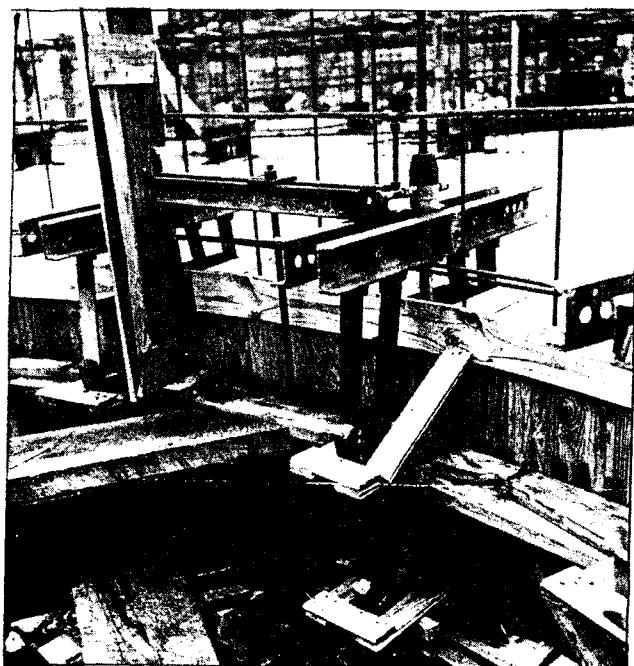
۱. هیدرولیکی (شکل ۶-۳)

۲. هوای فشرده

۳. الکتریکی

۴. دستی

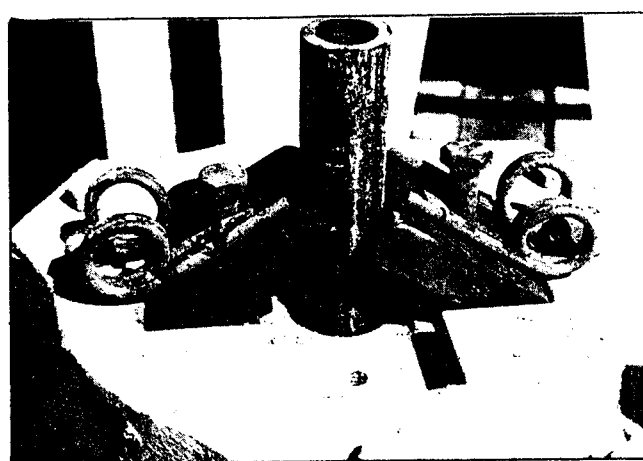
سیستم جک هیدرولیکی که متداول‌ترین سیستم است، از یک شبکه جک‌های هیدرولیکی که از طریق خطوط لوله روغن به یک مخزن مرکزی متصل بوده و انرژی آنها از یک پمپ الکتریکی تأمین می‌شود، تشکیل می‌یابد. این جک‌ها معمولاً روی لوله‌هایی به قطر ۲۵ میلی‌متر حرکت کرده و بالا می‌روند. هر جک به گونه‌ای کالیبره می‌شود که با هر بار فعال شدن پمپ، حدوداً ۲۵ میلی‌متر



شکل ۶-۳ سیستم جک هیدرولیکی سوارشده بر بوغ فولادی.

بالا باید (شکل ۶ - ۵). لازم است تا فشار پمپ به اندازه کافی باشد به گونه‌ای که از بالا آمدن کلیه جک‌ها قبل از خاموش شدن پمپ اطمینان حاصل نمود. اگر این حالت پیش نیاید و همه جک‌ها یکسان بالا نیایند، کف قالب از تراز خارج شده و قالب از شاقول خارج می‌شود. ظرفیت معمول جک هیدرولیکی حدود ۳ تن می‌باشد، ولی در حالات خاص می‌تواند تا ۲۵ تن نیز باشد. یوگ‌هایی که در این سیستم به کار می‌روند از جنس فولاد است.

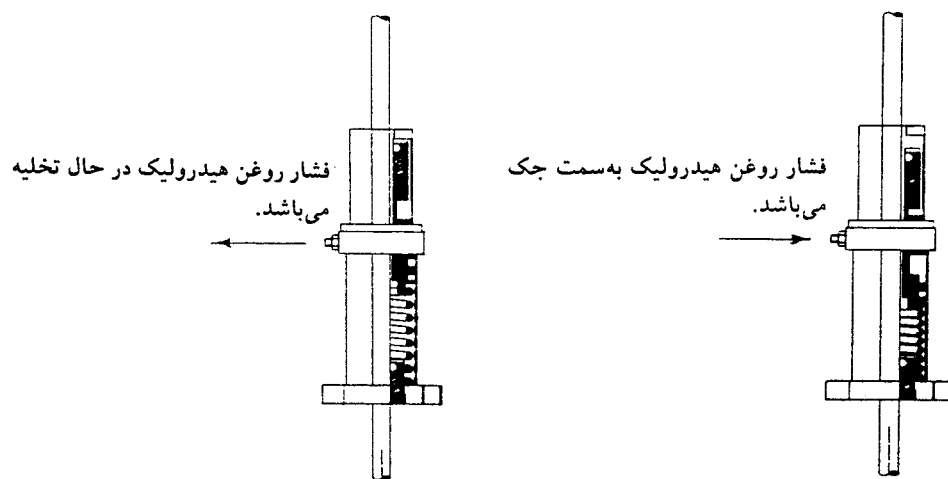
مطابق شکل ۶ - ۴ جک‌های بالا رونده باید دارای سیستم گیره ایمنی باشند، تا در صورت بروز هر نوع نقص در سیستم جک، از لغزش سیستم به سمت پایین جلوگیری نماید.



شکل ۶ - ۴ سیستم گیره ایمنی برای جلوگیری از لغزش.

سیستم جک هوای فشرده نیز یک سیستم صنعتی و ابتکاری شامل یک شبکه جک می‌باشد که از طریق لوله‌های هوا به یک مخزن هوای فشرده که معمولاً در نزدیکی پایه قالب لغزنه قرار می‌گیرد، متصل است. سیستم کنترلی یک سوپاپ خروجی هوا می‌باشد که بر روی قالب قرار گرفته و به طور دستی هدایت می‌شود به گونه‌ای که کال قالب‌بندی را در هر مرحله حرکت ۱۲ میلی‌متر بالا می‌برد. میله‌هایی که این جک بر روی آنها بالا می‌روند، اغلب یک میله توپر با قطر ۲۵ میلی‌متر می‌باشند که در انتهای برای اتصال به میله بعدی ارزوه شده‌اند. یوگ از جنس چوب بوده و در محل ساخته و نصب می‌شوند. که این امر انعطاف‌پذیری زیادی در شرایط طراحی ایجاد می‌نماید.

در سیستم‌های جک الکتریکی و دستی، بالاروی سیستم با دوران مهره در روی میله جک حدیده شده انجام می‌شود. سیستم جک دستی تقریباً منسوخ شده و کمتر مورد استفاده قرار می‌گیرد. سیستم جک‌های الکتریکی نیز نسبت به جک‌های هیدرولیکی کمتر مورد استفاده است.



در این حالت فتر اصلی جک در حال باز شدن بوده و فک بالا به سمت بالا حرکت می کند. فک پایین به همراه کل بدنه جک ثابت می باشد.

در این حالت فتر اصلی جک فشرده، فک بالا درگیر و فک پایین به همراه کل بدنه جک به سمت بالا می روند.

شکل ۶ - ۵ مراحل بالاروی جک های هیدرولیکی.

## ۶ - ۶ ملاحظات اجرایی

ارتفاع قالب های لغزنده برای اجرای متعارف معمولاً بین  $۱۲۰۰$  تا  $۱۵۰۰$  میلی متر است (شکل ۶-۲). در این شکل مقطعی از یک قالب لغزنده ساده و نحوه استفاده از شابلون جهت کمک به قرار دادن آرماتورها در محل صحیح خود، نشان داده شده است. فاصله یوغ ها باید در فاصله حداقل معادل  $۲$  متر البته با اضافه کردن یک نوع مجازی (منفصل از سیستم جک) باشد که اضافه کردن این یوغ برای تأمین تکیه گاه اضافی لازم است.

باید توجه و دقیق ترین مرحله از نصب و راه اندازی قالب مبذول داشت، چرا که در این مرحله، قالب از لحاظ ابعاد هندسی، و داشتن مقاومت لازم در مقابل تنش های وارد در حین عملیات لغزش و بتون ریزی، کنترل می گردد. قالب های، شبیه در حدود  $۱:۴۰$  در ارتفاع دارند تا در حین لغزش به سمت بالا، خود به خود تمیز شوند. البته در بعضی از انواع قالب ها تنها یک وجه قالب شبیدار ساخته شده وجه دیگر به صورت قائم باقی می ماند. این شبیب طوری است که پای قالب قدری از ضخامت دیوار بزرگتر و بالای قالب کمی از ضخامت دیوار کمتر است. قالب بدنه می تواند از جنس چند لایی های  $۲۰$  میلی متری یا مصالح دیگری نظیر ورق های

فلزی یا الوارهای ۲۵ میلی‌متری باشد، که در هر مورد بسته به جنس و مقاومت، از ۲ یا ۳ ردیف پشت‌بند افقی استفاده می‌شود. اندازه وابعاد پشت‌بندهای افقی به فاصله بین یوگ‌ها بستگی دارد و معمولاً از چهار تراش‌های  $150 \times 50 \times 50$  میلی‌متر و حتی گاهی از نیمرخ‌های فولادی نظری قوطی، ناوданی و نبشی می‌باشند. در نقاط جنک، پشت‌بندهای افقی توسط پشت‌بندهای قائم به یکدیگر یکپارچه می‌شوند و سیستم قالب به یوگ آویزان می‌شود. عرضه یا سکوی عملیات نیز به سیستم پشت‌بندهای پانل متصل می‌گردد.

معمولًاً طراحی یوگ‌ها به صورت تیپ انجام می‌شود تا بتوان برای قالب‌بندی دیوارهای با ضخامت‌های متفاوت از یک نوع یوگ استفاده نمود. فاصله‌ای در حدود  $300 \text{ mm}$  تا  $600 \text{ mm}$  میلی‌متر بین بازوی‌های قائم یوگ و پشت پانل‌های قالب باید وجود داشته باشد تا بتوان میلگرد‌های افقی را در این فاصله دپو کرد تا آرماتوریندها به سهولت بتوانند در حین لغزش قالب آرماتورهای افقی را از این محل برداشته و در محل خود بینندند. هر چه مقدار آرماتورهای افقی بیشتر باشد، این فاصله باید بیشتر انتخاب شود.

## ۶-۸ روش تراز کردن قالب

روش تراز کردن کف قالب که برای تمام سیستم‌های جک قابل استفاده است، شامل یک شبکه شیلنگ تراز آبی متشکل از لوله اصلی و لوله‌های انشعابی است که هر کدام به یکی از نقاط جک‌زنی می‌رسند. لوله اصلی به مخزن آب مرکزی متصل است. در هنگام نصب، کف قالب تراز شده و در این حالت سطح آب در لوله‌های تراز به عنوان سطح مرجع ثبت می‌شود. در حین عملیات لغزش، کف قالب در ترازهای مختلف، با توجه به تراز مرجع قابل تنظیم است. دانستن تراز نسبی قالب در هر مرحله از بتن‌ریزی به جهت کنترل حرکت‌های جاتبی قالب بسیار مهم و ضروری است. معمولاً در تنظیم و ترازیابی قالب، از شاقول وزنهای یا شاقول نوری<sup>۵</sup> استفاده می‌شود که در تراز خط مشخص از کف قالب، قرار داده می‌شوند. این شاقول‌ها، مرتبًاً کنترل و بازبینی می‌شوند و بر این اساس می‌توان میزان انحراف لغزش قالب را بادقت جبران نمود. اصلاح انحراف قالب از مسیر صحیح در حین لغزش با تغییر تراز بخشی از عرشه قالب (بسته به موقعیت موجود) صورت می‌گردد. این تغییر تراز نیز از طریق ثابت نگه‌داشتن چند جک مشخص در حین انجام عملیات بالاروی، انجام می‌شود تا خطای حاصله جبران شده و از بین برود. این گونه عملیات اصلاحی در حین بتن‌ریزی و لغزش

قالب بسیار مشکل بوده و باید تحت نظارت دقیق مهندس ناظر و مسئول مربوطه انجام شود. حرکت‌های جانبی و دورانی قالب نیز از طریق بارهای قائم که به صورت طره‌ای بر قالب اعمال می‌شود، انجام می‌گردد تا احیاناً خطاهای ناشی از انحراف‌های جانبی و یا چرخشی قالب تصحیح شود. یک نمونه از بارهای طره‌ای، گیره‌هایی<sup>۶</sup> می‌باشد که بشکه آب ۲۰۰ لیتری از آن آویزان می‌شود. وزن این بشکه با تغییر مقدار آب آن، قابل تنظیم است.

اجزای قالب لغزنده در حین اجرا تمایل بهافت خواهد داشت و این حالت با افزایش زمان اجرا بیشتر نیز خواهد شد. بنابراین جزیبات اجرایی سکوی کار باید به گونه‌ای باشد تا این سکو به مثابه یک دیافراگم بین واحدهای مختلف عمل نموده و تغییرشکل‌ها را متعادل نماید.

در مواردی می‌توان از میله‌هایی که با بست قورباغه‌ای بهم متصل هستند و در بتن اعضاي قالب می‌گیرند، نیز بهره برد. این امر به تنظیم و نگهداری ابعاد در محدوده دلخواه و همچنین عدم ارتباط مستقیم اعضا با یکدیگر کمک می‌کند، در ضمن امکان انجام تنظیمات و تصحیح خطاهای اصلی را نیز فراهم می‌کند.

تراز قالب در هر مرحله از کار توسط یک متر فلزی یا وسیله‌ای مشابه، که به انتهای قالب بسته شده است، نشان داده می‌شود. نقطه قراثت متر نزدیک یک شیلنگ تراز قرار دارد و در نتیجه در هر لحظه می‌توان تراز تمام نقاط را داشت.

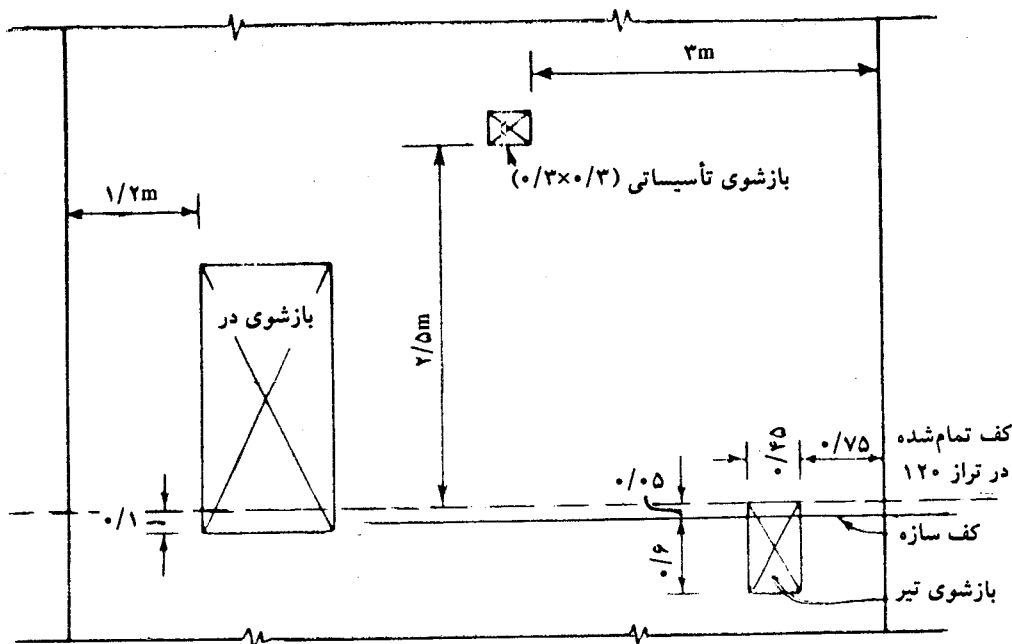
## ۹- ۶ حمل مصالح

در قالب‌بندی و اجرای بخشی یا کل یک ساختمان به شیوه قالب لغزنده، روشی مناسب برای بالا کشیدن بتن، آرماتور و دیگر مصالح مورد نیاز برای اجرا، باید انتخاب شود. از جمله وسایل مورد استفاده برای این کار جرثقیل‌های متحرک، جرثقیل برجمی، دکل‌های خودایستا یا هر روش و وسیله دیگری است که مناسب برای بالا کشیدن امکانات لازم برای قالب‌بندی لغزنده باشد. جرثقیل‌های برجمی سال‌های زیادی است که در تسريع اجرای ساختمان‌های بلند مورد استفاده بوده و امروزه بسیار رایج هستند. در قالب‌بندی لغزنده یک جرثقیل برجمی همراه قالب به بالا برده شده و می‌تواند در حمل وسایل و تجهیزات لازم یا بخشی و پس از تکمیل عملیات اجرای قالب‌بندی، به کار رود. هر چند روش اتخاذ شده باید بر اساس نقطه نظرات و دیدگاه‌های عملی و با توجه به محدودیت‌های مورد نیاز در مراحل مختلف اجرا باشد.

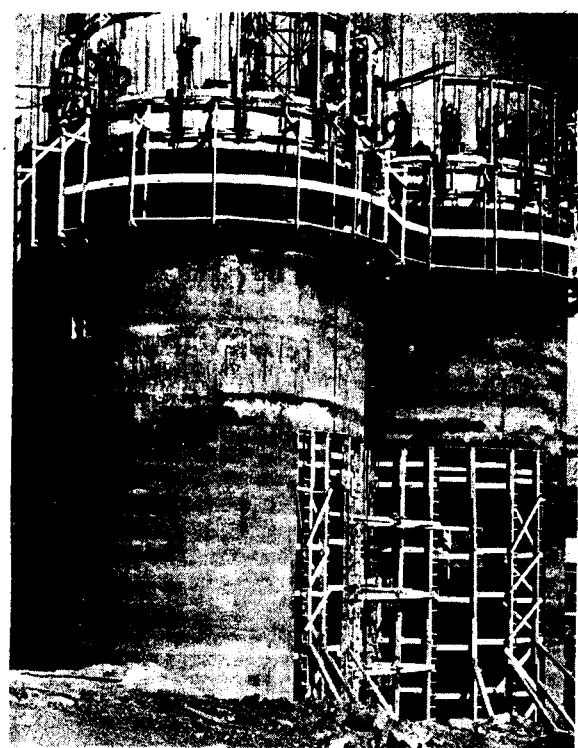
## ۶ - لغزش قالب

آخرین نکته‌ای که در اجرای قالب لغزندۀ باید مورد توجه قرار گیرد، عملکرد صحیح قالب در خلال لغزش آن به سمت بالا می‌باشد. کیفیت این بخش از کار بستگی به آماده سازی جزیبات صحیح اجرایی قبل از شروع لغزش می‌باشد. برنامه‌ریزی تحویل مصالح، به خصوص بتن به پای کار، برقراری ارتباط بین پیمانکاران جزء، و داشتن داشش و اطلاعات فنی و اجرایی نسبت به سیستم قالب‌بندی لغزان، از جمله مواردی هستند که در هنگام اجرای این سیستم باید مدنظر قرار گیرند.

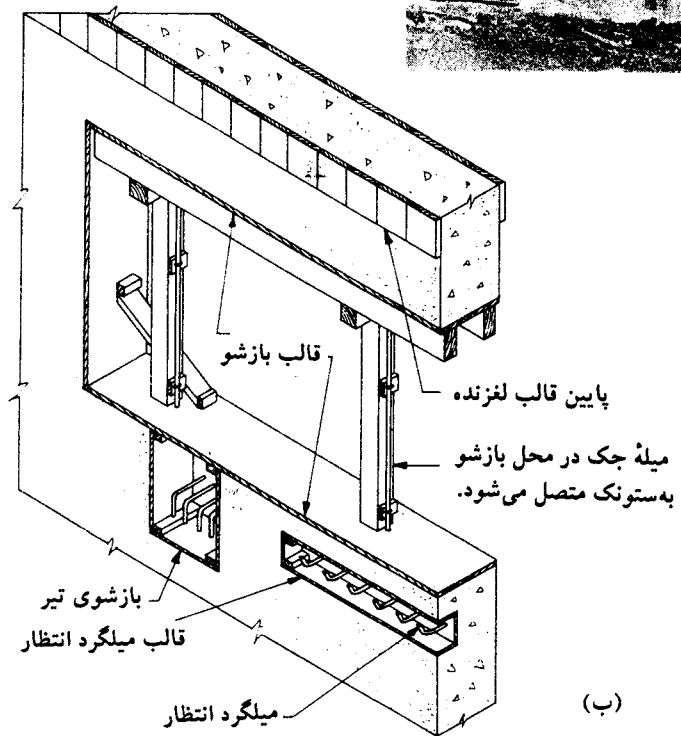
شکل ۶ - ۶ نقشهٔ ساده‌ای از جزیبات یک دیوار را نشان می‌دهد که برای اجرای قالب لغزندۀ آماده شده است. این تیپ نقشه‌ها برای هر دیوار و در حدفاصل هر دو طبقه متواالی یا به عبارتی در هر تراز تهیه شده و کلیه جزیبات قالب‌بندی لازم را نشان می‌دهد. مسئولیت اجرای این جزیبات بر عهده کسی می‌باشد که در حین عملیات بر روی قالب قرار گرفته و صلاحیت لازم را در نظارت کامل و صحیح کار در خلال لغزش قالب دارا می‌باشد. این شخص باید توجه زیادی به خطاهای احتمالی در حین کار نظیر تغییر در ضخامت دیوار، خطأ در خواندن تراز، خطأ در بستن قالب و موارد مشابه داشته باشد. بتن طبق برنامه و الگوی مشخصی باید ریخته شود که معمولاً هر مرحله به ضخامت ۱۵۰ الی ۲۰۰ میلی‌متر است و هر بار با استفاده از ویبره حدود ۵۰ الی ۷۵ میلی‌متر از بتن ریخته



شکل ۶ - ۶ نقشهٔ جزیبات برای اجرای یک تراز از قالب‌بندی لغزان یک دیوار.



(الف)



(ب)

شکل ۶ - ۷ - جزییات بازشو.

شده در قسمت تحتانی مرتعش می شود. با پرشیدن کامل قالب، حداکثر سرعت لغزش قالب متناسب با سرعت آماده سازی تجهیزات برای مرحله بعدی کار خواهد بود. به طور کلی سرعت لغزش قالب به سمت بالا، بسته به میزان اسلامپ بتن مصرفی، شرایط آب و هوایی و سرعت نصب تجهیزات در هر مرحله از بتن ریزی، متفاوت است، اما به طور متوسط چیزی حدود ۳۰۰ میلی متر در ساعت و در شرایط خاص تا ۶۰۰ میلی متر در ساعت نیز می رسد.

## ۶-۱۱ جزیيات بازشوها

شکل ۶-۷ جزیيات کارگذاری بازشوها و میلگردهای انتظار را در دیواره سیلو نشان می دهد. برای جایگذاری بازشو باید چهارچوبی که صلیبت کافی دارد، در دیواره نصب گردد. صلیبت چهارچوب باید طوری باشد که در حین لغزش، دچار اعوجاج نگردد. همچنین چهارچوب باید طوری در محل خود ثبیت گردد که با عبور قالب های لغزنده از روی آن، دچار جابه جایی نگردد. در موارد متعددی لازم است میلگردهای انتظار برای اتصال قطعات الحقیقی، در روی پوسته سیلو تعییه گردد. شکل ۶-۷- ب، جزیيات نصب میلگردهای انتظار را نیز نشان می دهد آرماتورهای قطعات الحقیقی باید به این میلگردهای انتظار جوش شود.

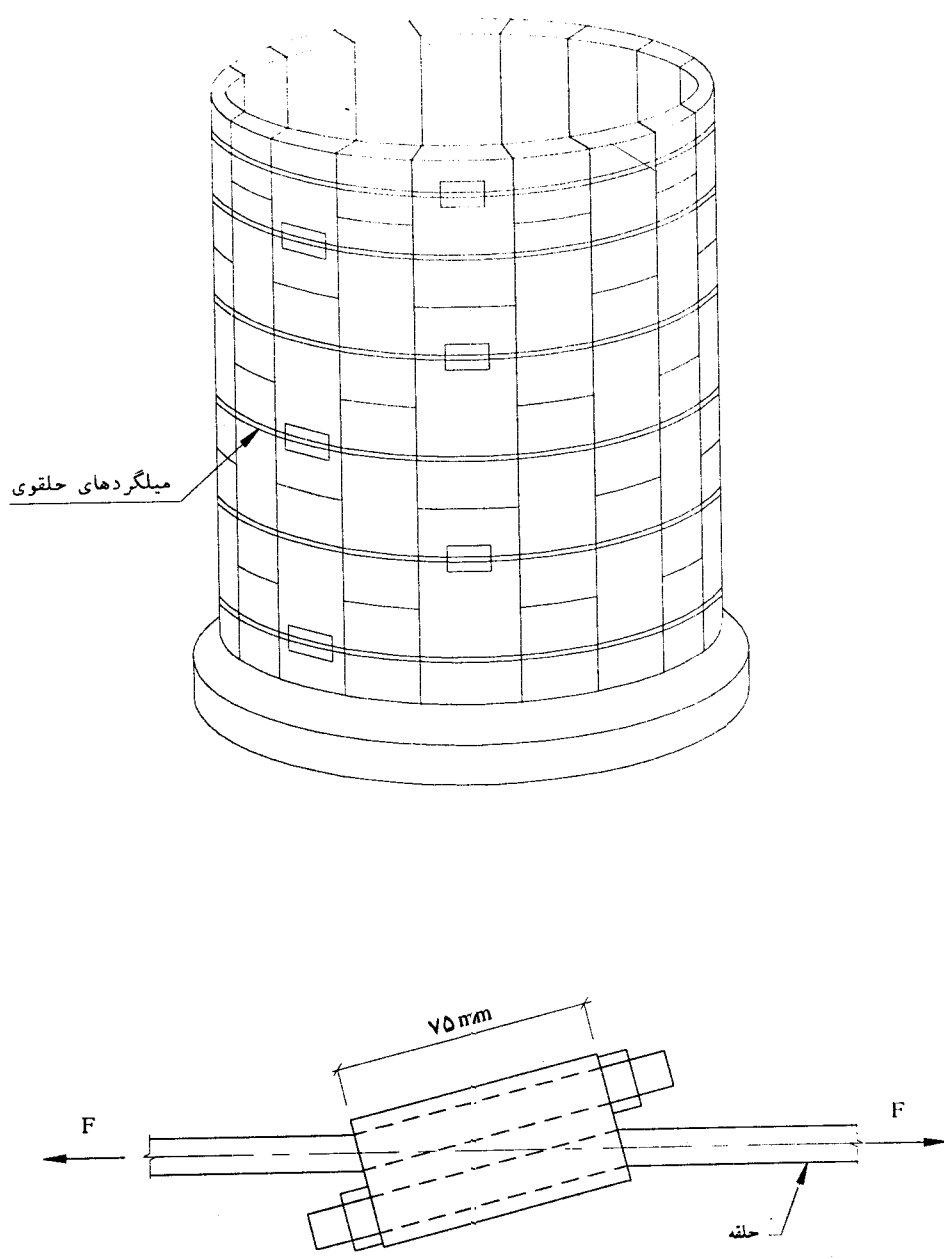
## ۷ فصل

### سیلوهای پیش ساخته بتنی

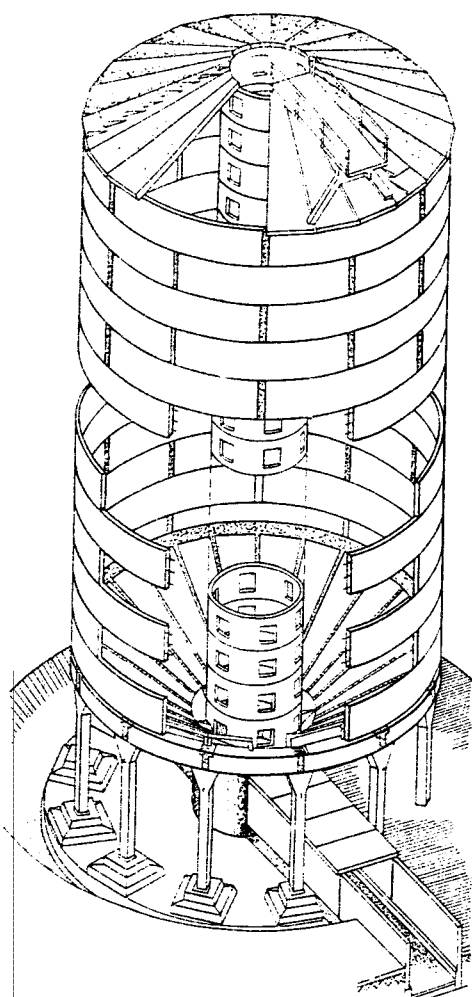
#### معرفی

پیش ساختگی از روش های متداول برای سیلوسازی است، به خصوص برای حالاتی که در نظر است از تجهیز کارگاه برای ساخت سیلو به صورت درجا بنا بهر علتی احتراز کرد. بنابراین کاربرد این روش می تواند به صورت عمده برای سیلوها در ابعاد کوچک و متوسط و یا در مناطق روستایی برای ساخت سیلوهای روستایی باشد.

روش مورد نظر در این فصل، استفاده از قطعات پیش ساخته ای می باشد که قسمتی از یک حلقه می باشند. این قطعات پیش ساخته که در کارخانه با کیفیت خوب قابل ساخت می باشند، به محل مورد نظر حمل شده و در آنجا به صورت آجری روی هم چیده می شوند، به طوری که درزهای افقی بر یکدیگر منطبق نباشند (به صورت یک درمیان) (شکل ۷ - ۱). پس از چیده شدن قطعات، میلگردهای حلقوی بعد از آنها بسته شده و پیش تنیده می گردند تا درزها بر روی هم فشرده شده و آب بندی در درز به وجود آید. هدف پیش تنیدگی کامل نیست و فقط ایجاد کشش اولیه به منظور ایجاد سختی در آرماتورهای حلقوی است. وظیفه این میلگردها مقابله با کشش حلقوی ناشی از فشار داخلی است. علاوه بر میلگردهای حلقوی، برای مقابله با کشش ناشی از نیروی جانبی باد یا زلزله در نوارهای قائم، ممکن است نیاز به میلگردهای قائم باشد که به طور محکم در فونداسیون گیردار شده اند. آخرین مرحله ساخت، سیمانکاری سطوح داخلی و خارجی سیلو می باشد. در دنباله این فصل استاندارد ساخت این نوع سیلوها ارایه می گردد. پیش ساختگی سیلوها به روش های دیگر نیز متداول است اما این روش ساده ترین بوده و حمل قطعات آن نیاز به وسایل سنگین ندارد. در دنباله شکل ۷ - ۱ سایر روش های پیش سازی نشان داده شده است.

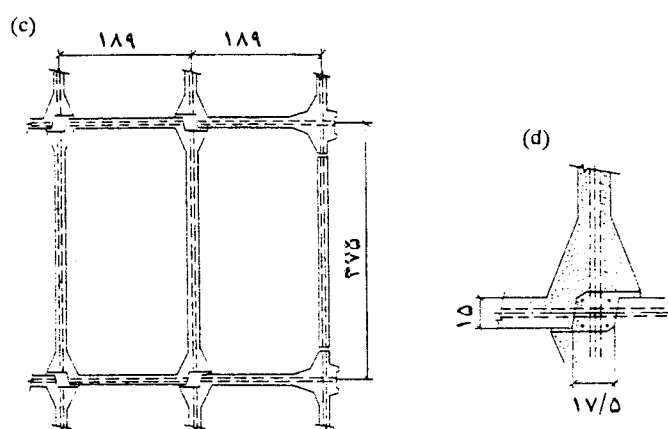
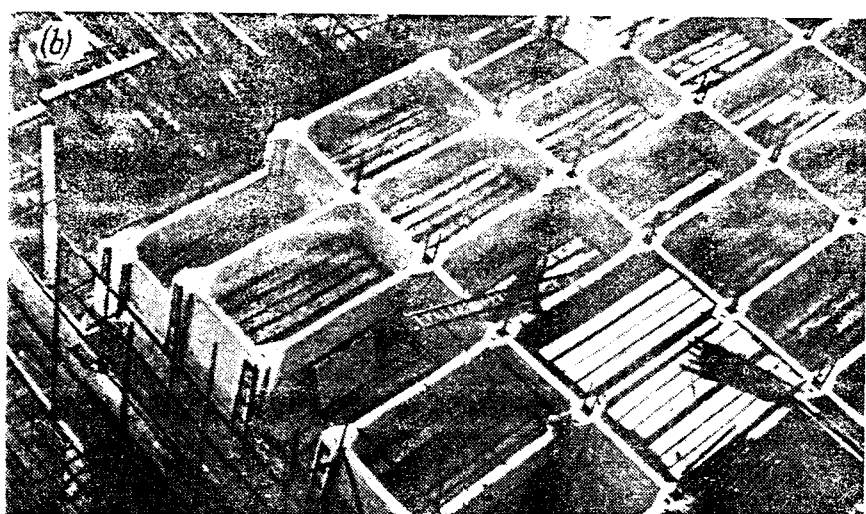


شکل ۷ - ۱ - سیلوهای پیش ساخته با قطعات پیش ساخته.



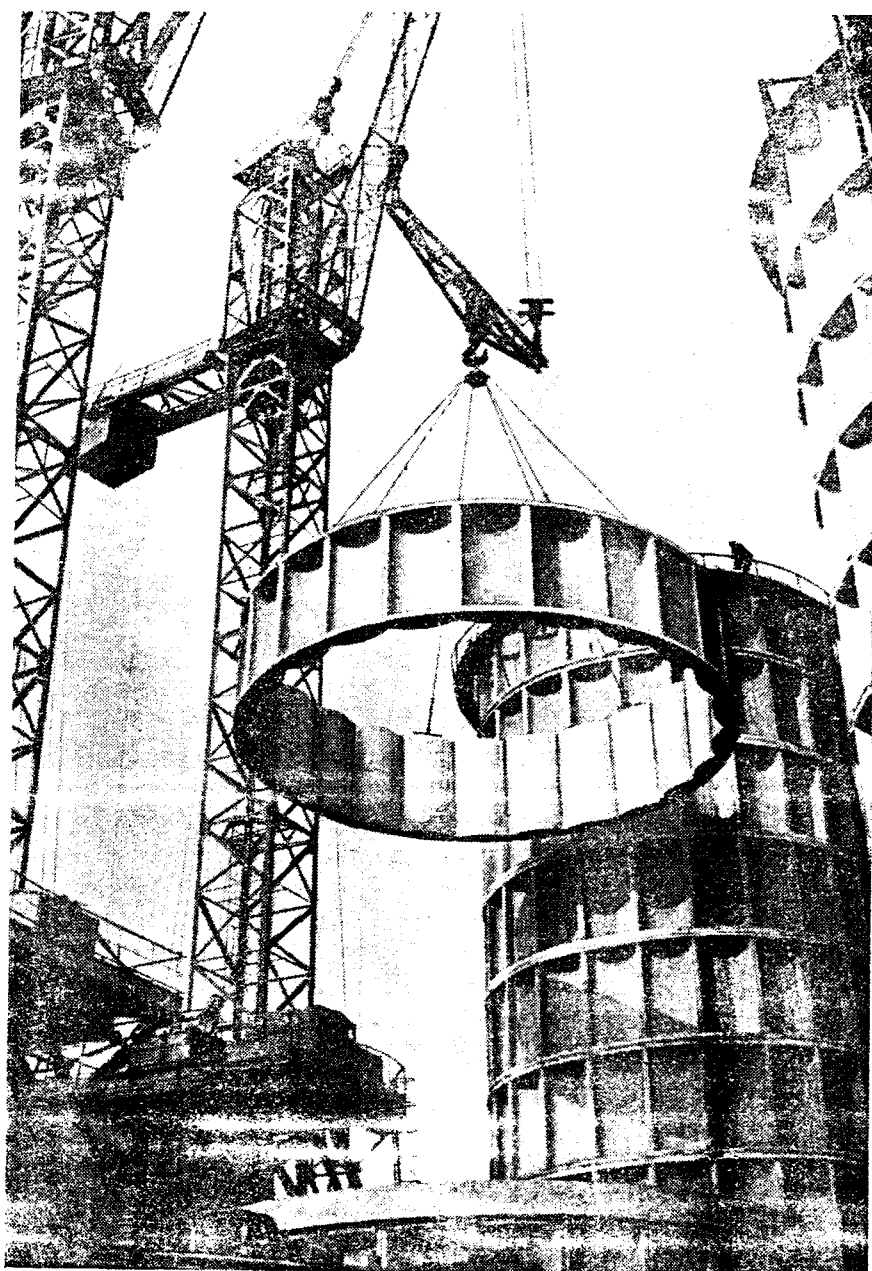
سیلوی پیش ساخته با قطعات کمانی

شکل ۷ - ۱ (ادامه).



سیلوی پیش ساخته با قطعات مستطیلی

شکل ۷ - ۱ (ادامه).



سیلوی پیش ساخته با قطعات دایروی

شکل ۷ - ۱ (ادامه).

## ۷-۱ فهرست علایم

- $\alpha_s$  = سطح مقطع آرماتورهای حلقوی (بر واحد ارتفاع)
- $\alpha_w$  = سطح مقطع مؤثر یک حلقة، مجزا (روی صفحه افقی)
- $\alpha_l$  = مقاومت کششی حلقوی لازم برای ارتفاع واحد دیواره سیلو
- $M_{pos}$  = لنگر خمشی مثبت برای نوار حلقوی (ایجاد کشش در سطح داخلی می‌نماید)
- $M_{neg}$  = لنگر خمشی منفی برای نوار حلقوی (ایجاد کشش در سطح خارجی می‌نماید)
- $M_{\theta, pos}$  = مقاومت خمشی حلقوی برای ارتفاع واحد مساوی جمع مقادیر مطلق
- $M_{\theta, neg}$  و  $M_{\theta, pos}$  به ترتیب مقاومت خمشی در ناحیه لنگر خمشی مثبت و منفی
- $w$  = نیروی کششی در امتداد قائم نواری به عرض واحد به علت نیروی جانبی
- $f_{c,joint}$  = مقاومت فشاری بتن با توجه به وضعیت درز
- $f_{c,stave}$  = مقاومت فشاری قطعه پیش‌ساخته ۲۸ روزه
- $f_{cr}$  = مقاومت فشاری کمانشی نوار قائم سیلو
- $y_t$  = تنش تسليیم میلگردهای حلقوی
- $h_t$  = ضخامت جدار
- $w$  = فشار جانبی باد
- $h_{st}$  = ارتفاع آزمونه قطعه پیش‌ساخته برای آزمایش فشاری

## ۷-۲ دامنه

این فصل اختصاص به سیلوهای ساخته شده از قطعات پیش‌ساخته حلقوی<sup>۱</sup> دارد که از آنها برای ذخیره سازی مصالح دانه‌ای استفاده می‌شود.

## ۷-۳ پوشش

- ۷-۳-۱ سطح داخلی سیلو سیمانکاری می‌شود. سیمانکاری باعث یکپارچگی قطعات پیش‌ساخته در محل درزها می‌گردد. سطح لایه رویه باید لیسه‌ای باشد.

۷-۳-۲ در صورتی که در مشخصات فنی خواسته شده باشد، سطح خارجی سیلو باید سیمانکاری گردد. سیمانکاری باید طوری باشد که باعث آب‌بندی درزها گردد. سطح سیمانکاری می‌تواند به صورت تخته ماله‌ای یا هر نمای دیگر درآید.

#### ۷-۴ رواداری‌های نصب

۷-۴-۱ انتقال محور سیلو یا دوران درزهای قائم  
برای ۳ متر ارتفاع  
۲۵ میلی‌متر

۷-۴-۲ شکم دادن دیواره سیلو  
برای ۳ متر ارتفاع  
برای تمام ارتفاع سیلو  
۲۵ میلی‌متر  
۷۵ میلی‌متر

۷-۴-۳ قطر داخلی سیلو  
برای هر ۳ متر قطر  
 $\pm 25$  میلی‌متر

#### ۷-۴-۴ حلقه‌ها

تعداد حلقه‌ها  
فواصل حلقه‌ها  
 $\pm 25$  میلی‌متر

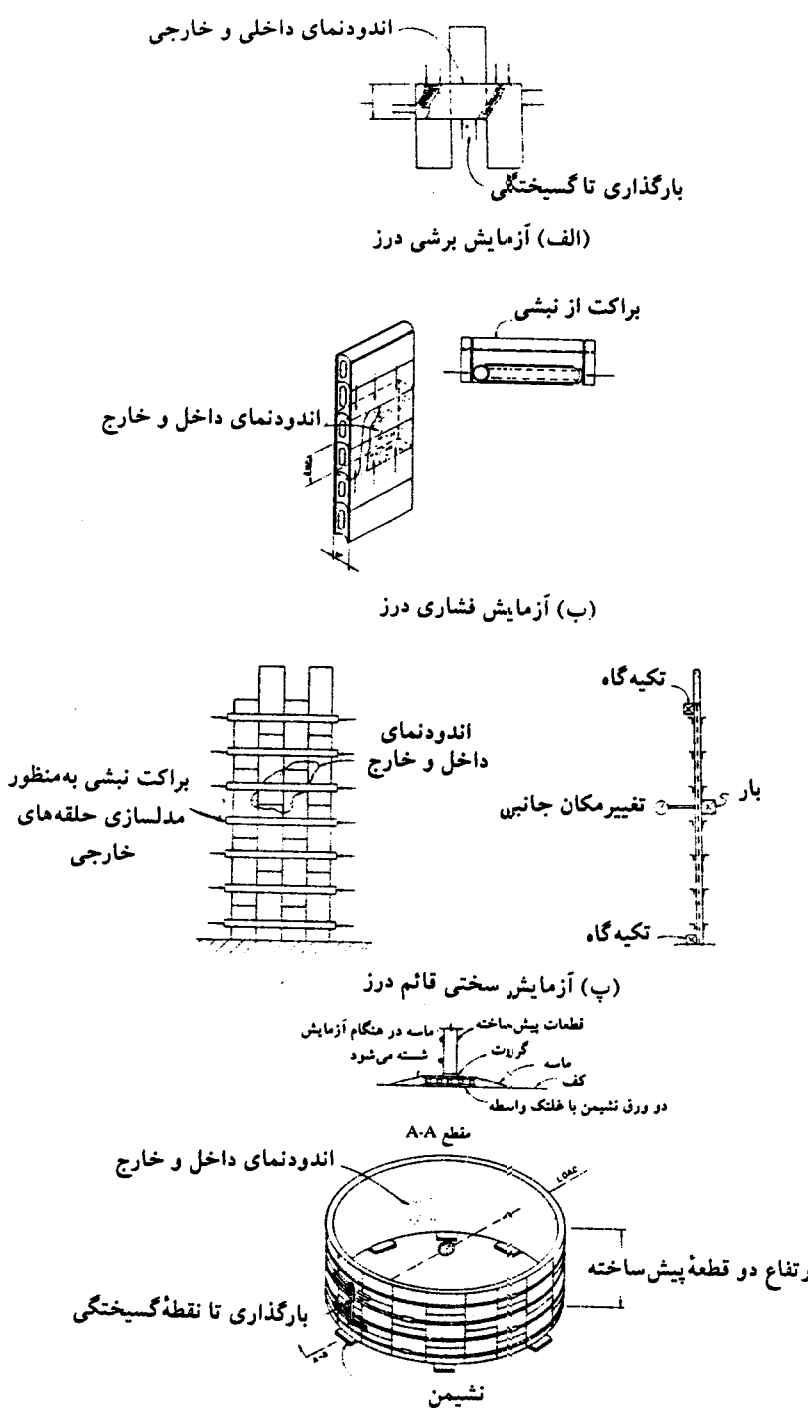
#### ۷-۵ طراحی دیوار

##### ۷-۵-۱ بارها، فشار طرح، و نیروها

بارها، فشار طرح و نیروهای قائم بر سیلوهای پیش‌ساخته، مطابق فصول چهارم و پنجم می‌باشد. اضافه فشار، ضربه، تأثیر تخلیه برون‌محور، باد، نیروهای حرارتی، و نیروهای لرزه‌ای باید مورد توجه قرار گیرند.

##### ۷-۵-۲ ضخامت دیوار

ضخامت لازم برای جداره سیلو باید با توجه به خمین حلقوی، فشار، کشش، و کمانش طراحی گردد، لیکن نباید از مقادیر توصیه شده در فصول چهارم و پنجم کمتر گردد.



شکل ۷ - ۲ آزمایش های مرتبه به سیلوهای پیش ساخته.

### ۳-۵-۷ خمش حلقوی

در غیاب انجام تحلیل‌های دقیق، مقاومت خمشی حلقوی  $M_0$  برای حلقة پیش‌ساخته باید شرایط زیر را اقناع نماید:

(الف) برای حالت تأثیر باد برابر روی دیوار مهارنشده:

۱/۲ ضریب بار طبق آبما می‌باشد.

$$M_0 \geq 1/2 D^2 w / A \quad (1-7)$$

(ب) برای حالت تخلیه یا پر شدن:

$$M_0 \geq 1/5 (M_{\text{pos}} + |M_{\text{neg}}|) \quad (2-7)$$

$$M_{0,\text{pos}} \geq 1/5 M_{\text{pos}} \quad (3-7)$$

$M_{\text{neg}} + M_{\text{pos}}$  با استفاده از روش‌های ارایه شده در فصول ۴ و ۵ و یا هر روش تحلیلی دیگر قابل تعیین است. ۱/۵ و ۱/۲ ضرایب بار می‌باشند.

روابط مقاومتی زیر نیز باید اقناع گردد:

$$1/875 (\phi_s A_s f_y - F_u) h \geq M_0 \quad (4-7)$$

$$1/375 (\phi_s A_s f_y - F_u) h \geq M_{0,\text{pos}} \quad (5-7)$$

در صورتی که روابط فوق اقناع نشوند، لازم است آزمایش مقاومت درجا انجام شود.

### ۴-۵-۷ فشار و کمانش

مقاومت فشاری بتن در امتداد قائم ( $f_{c,vert}$ ) مساوی کوچکترین مقادیر زیر در نظر گرفته می‌شود:

$$f_{c,vert} = 1/5 \phi_c f_{c,stave} \quad (6-7)$$

$$f_{c,vert} = 1/5 \phi_c f_{c,joint} \quad (7-7)$$

$$f_{c,vert} = 1/5 \phi_c f_{cr} \quad (8-7)$$

طبق آیین نامه بتن ایران  $\phi_c = 0.6$  مساوی می‌باشد.

$f_{cr}$  مقاومت فشاری کمانشی نوار قائمی از سیلو می‌باشد که به کمک آزمایش و یا روابط تحلیلی با منظور کردن ناشاقولی‌ها و غیرهم محوری‌ها قابل قبول در حد رواداری‌ها تعیین می‌گردد. ضخامت جدار  $a$  باید طوری تعیین گردد که تنش فشاری در امتداد نوار قائم جدار سیلو در

هیچ‌کدام از ترکیب‌های بار زیر از  $f_{c,vert}$  بیشتر نشود:

$$D + 1/2 L + 1/2 (W \text{ یا } E) \quad (9-7)$$

$$1/25 D + 1/5 M + 1/5 L \quad (10-7)$$

بار مرده،  $L$  بار زنده،  $E$  بار زلزله،  $W$  بار باد، و  $M$  بارهای ناشی از مصالح ذخیره شده می‌باشد.

### ۵-۵-۷ کشش و برش

حداقل ضریب اطمینان سیلوهای خالی در مقابله واژگونی ناشی از نیروی باد  $1/33$  می‌باشد. به علت لنگر خمثی ممکن است در نوارهای قائم پوسته سیلو کشش ایجاد گردد. برای مقابله با این نیروی کششی لازم است تسمه‌ها و یا ستونک‌های کششی که دارای ریشه در فونداسیون می‌باشند، به صورت قائم تا ارتفاع لازم ادامه یابند. پوسته تنها می‌تواند مقداری نیروی کششی مقاومت نماید. گسیختگی کششی بهدو صورت در دیوار سیلو به وجود می‌آید.

(الف) گسیختگی کششی حلقه‌های پیش‌ساخته که برای جلوگیری از آن باید رابطه زیر برقرار باشد.

$$\phi_c A_w \circ / 4\sqrt{f_{c,stave}} \geq 1/5 (2W) \quad (11-7)$$

$f_c$  بر حسب نیوتون بر میلی متر مربع می‌باشد.

(ب) گسیختگی برشی در محل درزهای قائم قطعات پیش‌ساخته که برای جلوگیری از آن باید رابطه زیر برقرار باشد.

$$0.1/\phi_c (A_s f_y - F_u) \geq \text{طول پوشش} (2W) \quad (12-7)$$

در روابط فوق:

$$0.65 = \phi_c$$

$W$  = نیروی کششی ناشی از باد برای عرض واحد

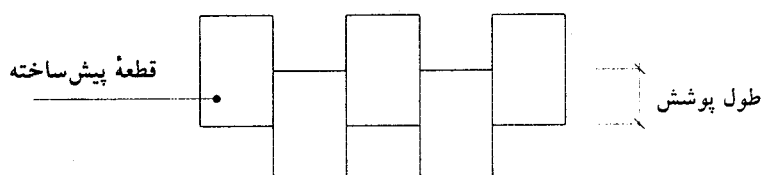
$A_s f_y - F_u$  = بر واحد ارتفاع دیوار

طول پوشش = مطابق شکل ۷-۴

$1/5$  ضریب بار می‌باشد و ضریب  $2$  بدان خاطر است که در هر درز افقی اجرایی،  $50$  درصد قطعات پیوسته می‌باشند.

### ۶-۵-۷ بازشو در دیوار

وجود سوراخ و بازشو در دیوار باید طوری باشد که از مقاومت خمثی و کششی دیوار نکاهد.



شکل ۷-۳

## ۶-۷ حلقه‌های کششی

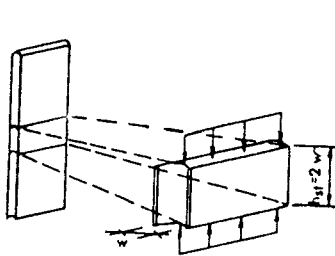
۶-۷-۱ اندازه و فاصله به استثنای موارد مذکور در ذیل، سطح مقطع و فاصله‌بندی حلقه‌های مسلح‌کننده خارجی برای سیلوهای پیش‌ساخته به همان روشی محاسبه می‌شود که آرماتورهای حلقوی در سیلوهای درجا. در محاسبات حلقه‌ها می‌توان از متوسط فشار داخلی در ارتفاعی مساوی ۳۰ برابر ضخامت دیوار استفاده نمود. حداقل قطر آرماتورهای حلقوی ۱۲ میلی‌متر و حداقل فاصله آنها از یکدیگر ارتفاع قطعه پیش‌ساخته و یا ۱۰ برابر ضخامت دیوار (هر کدام که کوچکتر است) می‌باشد.

۶-۷-۲ قطر مؤثر حلقه‌ها در صورتی که برای سفت کردن حلقه‌ها از رزوه و مهره استفاده شود، باید از قطر زیردنده‌ها در محاسبه سطح مقطع آرماتور حلقوی استفاده نمود.

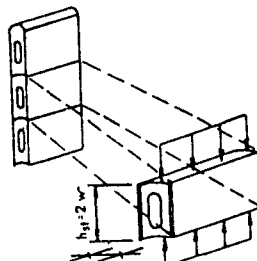
۶-۷-۳ پیش‌کشیدگی: حلقه‌ها باید طوری پیش‌تینیده شوند که بعد از اتصالات ناشی از جمع‌شدگی، خزش، کاهش طول الاستیک و کاهش درجه حرارت، کشیدگی کافی در آنها وجود داشته باشد.

## ۷-۴ آزمایش مقاومت فشاری قطعات پیش‌ساخته

شکل ۷-۴ نشان‌دهنده روش آزمایش و مقاومت فشاری قطعات پیش‌ساخته می‌باشد. حداقل مقاومت فشاری روی سطح مقطع خالص نباید کمتر از ۲۸ نیوتن بر میلی‌متر مربع روی نمونه ۲۸ روزه باشد. متوسط حاصل روی ۵ نمونه نباید کمتر از مقاومت مقرر باشد، مشروط بر اینکه بیش از ۲۰ درصد نمونه‌ها، مقاومتی کمتر از مقاومت مقرر داشته باشند.



(الف) قطعه پیش‌ساخته توب‌پر



(ب) قطعه پیش‌ساخته توالی

شکل ۷-۴ آزمایش فشاری قطعات پیش‌ساخته.



## الفصل ۸

### سیلوهای بتنی پسکشیده

#### ۱-۸ فهرست عالیم

$D$  = قطر سیلو

$E$  = ضریب الاستیسیته

$f_c$  = مقاومت مشخصه نمونه ۲۸ روزه استوانه‌ای بتن

$f_{ci}$  = مقاومت مشخصه بتن در مرحله انتقال (مرحله اعمال نیروی پیش‌تنیدگی)

$f_{pu}$  = مقاومت نهایی فولادهای پیش‌تنیدگی

$f_{py}$  = تنش تسلیم فولادهای پیش‌تنیدگی

$f_y$  = تنش تسلیم آرماتور

$h$  = ضخامت دیوار

$h_j$  = ضخامت دیوار هسته در سیستم‌های پسکشیدگی دوربیج

#### ۲-۸ دامنه

این فصل اختصاص به سیلوهای بتنی در جاریز دارد که بعد از گرفتن بتن به کمک کابل‌های پر مقاومت تحت پسکشیدگی قرار می‌گیرند. در این فصل سیستم‌های پیش‌کشیدگی مورد توجه نمی‌باشند. مفاد ارایه شده در فصول دیگر این مجموعه و یا آیین‌نامه بتن پیش‌تنیده که در تناقض با مفاد این فصل نیستند، معتبر می‌باشند.

### ۳-۸ سیستم پس کشیدگی

**۱-۳-۸** دو سیستم متداول برای سیلوهای پس کشیده، شامل سیستم تاندون<sup>۱</sup> و سیستم دورپیچ<sup>۲</sup> می باشد.

**۲-۳-۸** سیستم تاندون<sup>\*</sup> متشکل از کابل<sup>۳</sup>، مفتول<sup>۴</sup> و میلگرد<sup>۵</sup> در درون غلاف<sup>۶</sup> می باشد. درون غلاف می تواند بعد از کشیدن تزریق شده و یا نشود. در حالت اول کابل ها چسبیده و در حالت دوم نچسبیده تلقی می شوند. همچنین غلاف ها می توانند درون بتن کار گذاشته شوند و یا به صورت خارجی در محیط خارجی سیلو نصب شوند. غلاف های خارجی در صورتی که از مصالح مناسب و با دوام ساخته شوند می توانند به صورت نما و یا باز باقی بمانند، در غیر این صورت آنها را می توان توسط شات کریت پنهان نمود.

**۳-۳-۸** سیستم دورپیچ متشکل از کابل یا مفتول هایی است که بعد از گرفتن بتن جدار سیلو، با نیزی کششی دور آن پیچیده می شوند. بعد از دورپیچ کردن، توسط شات کریت لایه ای از بتن روی مفتول ها پاشیده می شود.

### ۴-۸ سیستم تاندون

**۱-۴-۸** ضخامت جدار  $h$  در سیلوها با تاندون مدفون، باید کمتر از ۲۵۰ میلی متر و همچنین کمتر از مجموع  $h_J$  (طبق بند ۸-۸-۱)، و قطر غلاف و پوشش بتن گردد.

**۲-۴-۸** فاصله مرکز به مرکز تاندون ها باید از سه برابر ضخامت دیوار  $h$  و یا سه برابر  $h_J$  تجاوز نماید. به علاوه در مورد تاندون های افقی این فاصله باید از ۱۰۰ میلی متر بیشتر شود.

1- tendon system

2- wrapped system

\* تاندون به مجبوعه ای از میلگردها، کابل ها و یا مفتول ها که با یکدیگر دسته می شوند، اطلاق می گردد. تعداد کابل های یک تاندون به صورت سه تایی، پنج تایی، هفت تایی، یازده تایی و ... بر حسب سیستم انتخابی (کارخانه تأمین و سایل پیش تبدیگی) می باشند. میلگرد آلبازدار معمولاً، به صورت تک در تاندون فرار می گیرد ولی می توان آنها را نیز دسته نمود.

3- strand

4- wire

5- bar

6- duct

**۴-۳** فاصلهٔ خالص بین دو تاندون نباید کمتر از ۲ برابر قطر غلاف (شامل لایهٔ محافظ غلاف) و یا ۱۵۰ میلی‌متر (هر کدام که بزرگترند) گردد. فاصلهٔ خالص بین غلاف تاندون‌های غیرمدفون نباید کمتر از قطر غلاف و یا ۲۰ میلی‌متر (هر کدام که بزرگترند)، گردد.

**۴-۴** تاندون‌های افقی مدفون باید در سمت داخلی سفرهٔ خارجی آرماتورهای قائم جدار سیلو قرار گیرند.

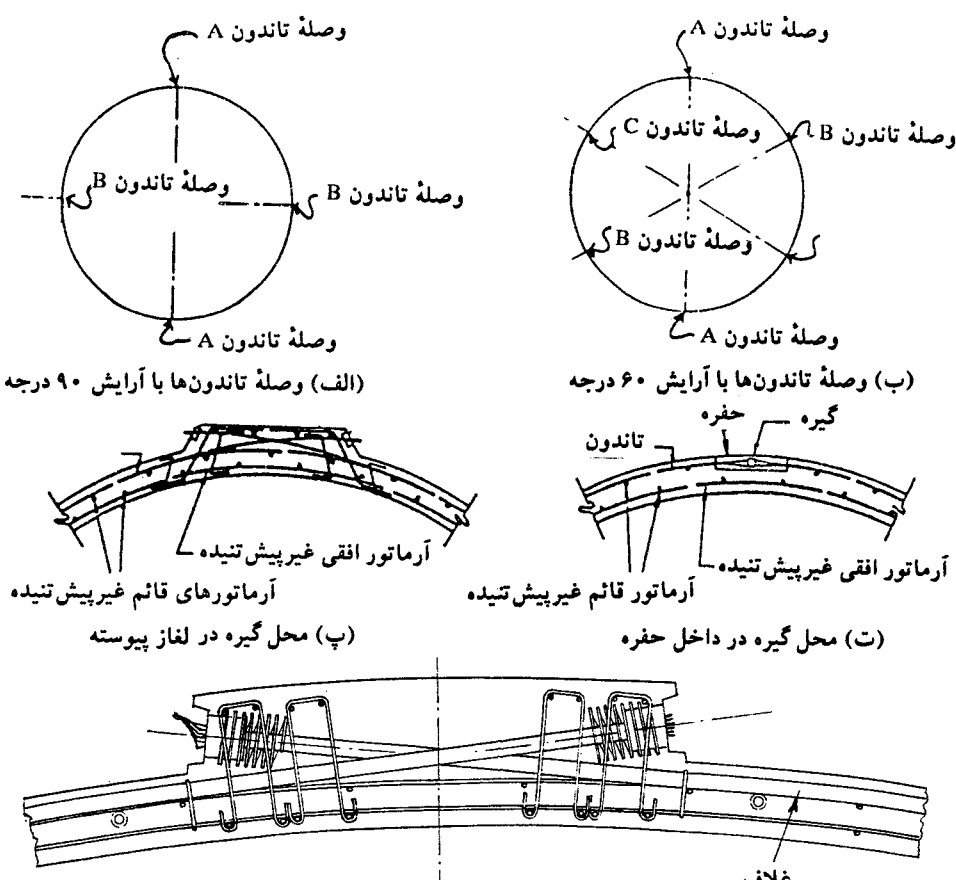
**۴-۵** نقاط اعمال نیروهای پیش‌تنیدگی<sup>۷</sup> ( محل گیره‌ها) می‌تواند روی لغازهایی در دیواره سیلو<sup>۸</sup>، محل تقاطع دوکندوی مجاور و یا حفره‌هایی<sup>۹</sup> در جدار سیلو قرار داشته باشد. در تعیین تعداد نقاط اعمال نیروی پیش‌تنیدگی، باید به اتفاق ناشی از پیش‌تنیدگی و همچنین تنش‌های متتمرکز ناشی از اعمال نیروی متتمرکز پیش‌تنیدگی توجه نمود. در صورت استفاده از حفره برای اعمال نیروی پیش‌تنیدگی باید توجه نمود که تنش ناشی از نیروی پیش‌تنیدگی در این مرحله از  $0.55 f_{ck}$  در روی مقطع خالص تجاوز ننماید. در شکل ۸-۱ نحوه یکی در میان کردن محل لغازها، و حفرات نشان داده شده است.

**۴-۶** مطابق شکل ۸-۱، برای مقابله با نیروهای متتمرکز ناشی از پیش‌تنیدگی باید آرماتورهای کافی در داخل لغازهای گیره‌ها قرار داده شود.

**۴-۷** حداقل پوشش بتنی روی غلاف‌های مدفون ۴۰ میلی‌متر می‌باشد. غلاف باید به طور محکم در محل خود ثبیت گردد تا حین بتن ریزی جایه‌جا نگردد.

**۴-۸** محل گیره در ارتفاع سیلوها باید طوری جایه‌جا شوند که محل آنها حداقل به صورت دو در میان در یک امتداد قائم قرار گیرند.

**۴-۹** بعد از اتمام پیش‌تنیدگی، گیره‌ها و گوه‌ها باید به طور دائم در مقابل خوردگی محافظت گرددند. حفرات نیز باید به کمک ملات بدون انقباض پرگردند. مقاومت این ملات نباید کمتر از بتن مجاور بوده و باید با چسبندگی خوب به آن بچسبد.



### ۸-۵ تاندون های چسبیده

۸-۵-۱ گیره ها<sup>۱۰</sup> و کوپلرها<sup>۱۱</sup> باید قادر به حصول مقاومتی مساوی  $f_{pu}$  در کابل ها و یا مفتول ها و یا میلگرد های پیش تنبیدگی گردد.

۸-۵-۲ گروت (ملات تزریق) می تواند شامل ترکیبی از سیمان پرتلند و آب و یا سیمان پرتلند، ماسه (۰ تا ۴) و آب باشد. مواد مضانی که حاوی کلراید، فلئور، سولفات، و نیترات هستند، باید مورد استفاده قرار گیرند، مگر اینکه عدم مضر بودن آنها روی فولاد، ملات و یا بتون به کمک آزمایش ثابت گردد.

10- anchorages

(وسایلی برای وصلة میلگرد های پیش تنبیدگی) 11- coupler

**۳-۵-۸** مقاومت ۷ روزه نمونه مکعبی ۵۰ میلی متر ملات تزریق نباید کمتر از ۱۷ نیوتن بر میلی متر مربع گردد. آزمایش طبق ASTMC1019 می باشد.

**۴-۵-۸** نسبت آب به سیمان ملات تزریق نباید بیشتر از ۴۵٪ گردد و مقدار آن باید در حد حداقل لازم حفظ گردد.

**۵-۵-۸** ملات تزریق باید به کمک همزن مناسب به حالت متجانس در آمده و توسط پمپ مخصوص با دبی یکنواخت تزریق گردد. ملات بعد از اختلاط باید در حداقل زمان ممکن تزریق گردد. برای جلوگیری از گیر کردن دانه های درشت درون غلاف، قبل از تزریق، ملات باید از توری مناسب عبور داده شود. در نقاط انتهایی باید هواکش برای خروج هوای محبوس درون غلاف تعییه گردد. خروج یکنواخت ملات از درون مجاری هواکش مبین پر شدن غلاف توسط ملات و خروج حباب های هوا می باشد. در این هنگام مجاری هواکش بسته شده و اجازه افزایش فشار درون غلاف داده می شود و در این لحظه فشار تزریق قطع می گردد.

**۶-۵-۸** دمای غلاف و عضو در حین تزریق باید بیش از ۲ درجه سانتی گراد باشد و این دما تا هنگام رسیدن مقاومت مکعبی ۵۰ میلی متر به ۵/۵ نیوتن بر میلی متر مربع حفظ گردد. دمای ملات در حین تزریق نباید بیش از ۳۲ درجه سانتی گراد گردد. در مناطق گرم برای جلوگیری از گیرش سریع، دمای ملات باید در دمایی پایین تر از ۳۲ درجه سانتی گراد حفظ گردد.

## ۶-۸ تاندون های نچسبیده<sup>۱۲</sup>

**۶-۶-۱** گیره ها و کوپلهای باید قادر به حصول مقاومتی مساوی  $f_{pu}$  در فولادهای پیش تنبیدگی شوند. بارگذاری دورهای ناشی از پر و خالی شدن سیلو که ایجاد خستگی در محل گیره ها و کوپلهای می شود، باید در طراحی دیده شود.

**۶-۶-۲** تاندون های خارجی و داخلی نچسبیده باید داخل غلاف قرار گرفته و یا دور آن ها نوار پیچی<sup>۱۳</sup> شود به طوری که پایایی درازمدت آن تأمین شود. کابل هایی که درون غلاف قرار دارند، باید توسط ماده روغنی تزریق شوند. گیره ها و کوپلهای نیز باید به روش مناسب محافظت گردد.

## ۷-۸ غلاف‌های پس‌کشیدگی

- ۷-۸-۱** غلاف‌های فولادهای پس‌کشیدگی چسبیده و نچسبیده باید آب‌بند بوده و با بتن، تاندون‌ها، و ملات تزریق واکنش‌های مضر نداشته باشند. حداقل ضخامت ورق غلاف‌های فولادی  $3/0$  میلی‌متر است. وصله غلاف‌ها باید یک‌درمیان باشد.
- ۷-۸-۲** قطر داخلی غلاف برای مفتول، کابل او میلگرد تک تزریق شده باید حداقل  $6$  میلی‌متر بزرگتر از قطر تاندون باشد.
- ۷-۸-۳** سطح مقطع داخلی غلاف برای مفتول، کابل، و میلگردهای دسته (چندتایی) باید حداقل  $2$  برابر سطح مقطع خالص تاندون باشد.
- ۷-۸-۴** علاوه بر قیودات بندهای ۷-۸-۲ و ۷-۸-۳، سطح مقطع داخلی غلاف باید سازگار با هندسه سازه، انحنای جداره، طول غلاف و پتانسیل گرفتگی غلاف بهمنظور اطمینان از عبور سهل فولادهای پیش‌تنیدگی از آن باشد.
- ۷-۸-۵** غلاف‌ها باید تمیز و خشک و دور از دسترس آب نگهداری شوند. تزریق باید تا حد امکان بلافاصله بعد از کشیدن کابل‌ها انجام شود. در صورتی که برای تزریق تأخیر رخ دهد، باید قسمت‌های روباز سیستم پیش‌تنیدگی در مقابل ورود از آب و مواد مضر محافظت گردد.
- ۷-۸-۶** چسبندگی غلاف با بتن محیطی و ملات تزریق باید طوری باشد که بتواند چسبندگی بین ملات تزریق و فولاد پیش‌تنیدگی را به بتن محیطی انتقال دهد.

## ۸-۸ سیستم‌های دورپیچ

- ۸-۸-۱** ضخامت دیوار هسته ( $h_i$ )، در سیستم‌های دورپیچ نباید کمتر از  $150$  میلی‌متر باشد. همچنین ضخامت دیوار باید طوری انتخاب شود که تنش فشاری در آن در هنگام دورپیچ کردن فولادهای پس‌تنیدگی از  $p_{ci} = 0.55$  تجاوز ننماید.
- ۸-۸-۲** قبل از دورپیچ کردن باید هرگونه نقص، حفره و کرومودگی در بتن هسته برداشته شده و

تعمیر گردنده. از سطح بتن هسته نیز باید هرگونه آلدگی و گرد و خاک تمیز گردنده. سطح بتن باید توسط سند بلاست مضرس گردد تا چسبندگی خوب با بتن پاشیده شده بر روی آن را داشته باشد.

**۳-۸-۸** قبل از اجرا، روش پس‌تنیدگی به وسیله دورپیچ کردن، باید مورد تأیید دستگاه نظارت قرار گیرد.

**۴-۸-۸** حداقل فاصله آزاد بین فولادهای دورپیچ نباید کمتر از ۶ میلگرد و یا قطر میلگرد پیش‌تنیدگی گردد.

**۵-۸-۸** در صورتی که از دورپیچ چند لایه استفاده شود، در حد فاصل بین دو لایه باید یک لایه شات کریت اجرا گردد.

**۶-۸-۸** سطح فولادهای پس‌کشیدگی خارجی باید توسط دو یا چند لایه شات کریت پوشیده شود. حداقل ضخامت پوشش ۲۵ میلی‌متر می‌باشد. اجرای شات کریت باید منطبق بر مفاد آئین نامه مربوطه باشد.

## ۹-۸ جزیيات و استقرار آرماتورهای معمولی

**۱-۹-۸** آرماتورهای قائم جدار سیلو باید برای مقابله با اثر نیروهای جانبی، مولفه قائم وزن مصالح ذخیره شده، نیروهای حرارتی، خمشن ناشی از اعمال نیروهای پیش‌تنیدگی و سایر نیروهای مربوط طراحی شوند. حداقل آرماتورهای قائم نیز منطبق بر مفاد فصول چهارم و پنجم می‌باشد.

**۲-۹-۸** آرماتورهای حلقوی باید برای مقابله با لنگرهای خمشی حلقوی ناشی از تغییرات درجه حرارت، اعمال نیروهای پیش‌تنیدگی و سایر نیروهای مربوطه طراحی گردد. حداقل سطح مقطع کل این میلگردها نباید کمتر از ۰/۰۰۲۵ متر باشد. حداکثر فاصله آرماتورهای حلقوی ۴۵۰ میلی‌متر است.

## ۱۰-۸ بازشوی دیوارها

**۱-۱۰-۸** برای بازشوهایی که در نواحی فشار قرار نگرفته‌اند، نصف آرماتورهای قائم و افقی

قطع شده توسط بازشو، در طرفین (لبه‌های) آن قرار داده می‌شود.

**۸-۱۰-۲** بازشوهای دیوار که در ناحیه فشار قرار می‌گیرند، ممکن است چند کابل پیش‌تینیدگی را قطع نمایند. در این حالت کابل‌ها باید نرسیده بباشو، شیبدار شده و از بالا و پایین آن عبور داده شوند. طول ناحیه شیبدار که از مرکز بازشو اندازه‌گیری می‌شود، نباید از قطر سیلو بزرگر و از ۶ برابر ارتفاع بازشو کمتر باشد. تنש‌های قائم و افقی ناشی از این کابل شیبدار باید در دو حالت سیلوی خالی و سیلوی پر کنترل شوند. در چنین مناطقی حداقل فواصل آرماتورها باید کنترل شوند.

**۸-۱۰-۳** در دو طرف بازشو باید آرماتورهای قائم قرار داده شوند. برای محاسبه آرماتور قائم، عرضی معادل ۴ برابر ضخامت سیلو در لبه جدار همانند ستونی در نظر گرفته می‌شود که بار سهم خود و نصف بار سهم بازشو را تحمل می‌نماید. آرماتورهای اضافی تعییه شده و در لبه نباید کمتر از نصف آرماتورهای قائم قطع شده توسط بازشو باشد.

### **۸-۱۱ ثبت تنش‌های پیش‌تینیدگی**

مراحل پیش‌تینیدگی باید مستند سازی گردد و اطلاعات ثبت شده حداکثر به مقدار ۲ سال نگهداری شوند. اطلاعات باید شامل اندازه، نوع و محل خرید کابل‌ها و مفتول‌های پیش‌تینیدگی، زمان اعمال پیش‌تینیدگی، فشار جک زدن، توالی کشیدن کابل‌ها، افزایش طول کابل، میزان لغزش در محل گیره‌ها، و نام مهندس ناظر باشد.

### **۸-۱۲ طراحی**

**۸-۱۲-۱** طراحی باید بر اساس حالت حدی نهایی و حالت حدی بهره‌برداری از زمان کشیدن کابل‌ها و بهره‌برداری با گذشت زمان باشد.

**۸-۱۲-۲** سیلو باید برای بارهای معرفی شده در فصل چهارم و کلیه آثار داخلی ناشی از اعمال نیروی پیش‌تینیدگی در مرحله انتقال و مرحله بهره‌برداری و همچنین تمرکز تنش ناشی از آن در محل نیرو و لبه‌های جدار سیلو با پوسته بام و کف و تقاطع با پوسته‌های مجاور، طراحی شود.

## ۱۲-۸-۳ تنش‌های مجاز بتن مطابق جدول ۸-۱ می‌باشد.

۱۲-۸-۴ تنش‌های مجاز کششی فولادهای پیش‌تنیدگی در سیستم تاندون به قرار زیر می‌باشد:

(الف) در هنگام جک زدن  $f_{pu} = ۰/۸۵ f_{py}$  یا  $۰/۹۴ f_{pu}$  (هر کدام که کوچکترند)

(ب) بلا فاصله بعد از گیر دادن  $۰/۷ f_{pu}$

در سیستم دوربینج تنش‌های مجاز فولادهای پیش‌تنیدگی برابر است با:

(الف) بلا فاصله بعد از اعمال نیرو  $۰/۷ f_{pu}$

(ب) بعد از کلیه اتلاف‌ها  $۰/۵۵ f_{py}$

۱۲-۸-۵ سیلوها می‌توانند به صورت پیش‌تنیده کامل و پیش‌تنیده نسبی باشند. در پیش‌تنیدگی کامل تمام مقاومت داخلی مقطع توسط فولادهای پیش‌تنیدگی و در پیش‌تنیدگی نسبی مقاومت داخلی ترکیبی از اثر فولادهای پیش‌تنیدگی و آرماتورهای معمولی می‌باشد. در صورتی که از عمل مشترک فولاد پیش‌تنیدگی و آرماتور برای حمل نیروهای داخلی استفاده گردد، مقدار تنش در هر یک از آنها بر مبنای سازگاری هندسی کرنش در مقطع و رابطه تنش - کرنش تعیین می‌گردد.

۱۲-۸-۶ ضریب الاستیسیته فولاد پیش‌تنیدگی باید بر مبنای نتایج آزمایش و گزارش کارخانه سازنده تعیین گردد. در غیاب اطلاعات دقیقتر می‌توان از مقادیر زیر استفاده نمود:  
 $۲ \times ۱۰^5 \text{ N/mm}^2$   
آرماتور پیش‌تنیدگی

جدول ۸-۱ تنش‌های مجاز بتن در حالت بهره‌برداری بعد از وقوع کلیه اتلاف‌ها

حالت تنش	پیش‌تنیدگی کامل	پیش‌تنیدگی نسبی
فشار محوری	$۰/۳ f_c$	$۰/۲۲ f_c$
نش فشاری ناشی از خمش و نیروی محوری در تارهای انتهایی	$۰/۴۵ f_c$	$۰/۴۵ f_c$
کش محوری	$۰$	$۰/۵ \sqrt{f_c}$
کش ناشی از خمش و نیروی محوری در تار انتهایی	$۰/۵ \sqrt{f_c}$	$\sqrt{f_c}$

$f_c$  = مقاومت مشخصه نمونه استوانه‌ای بتن

$1/86 \times 10^5 \text{ N/mm}^2$   
 $2 \times 10^5 \text{ N/mm}^2$

کابل  
مفتول

#### ۷-۱۲-۸ آرماتورهای معمولی

۱-۷-۱۲-۸ مشخصات آرماتورهای معمولی باید منطبق بر مفاد فصل سوم باشد.

۲-۷-۱۲-۸ تنش تسلیم آرماتورهای معمولی باید کمتر از  $420 \text{ نیوتن بر میلی متر مربع}$  بیشتر در نظر گرفته شود.

۳-۷-۱۲-۸ ضریب الاستیسیتیه آرماتور معمولی باید مساوی  $2 \times 10^5$  نیوتن بر میلی متر مربع در نظر گرفته شود.

۴-۱۲-۸ در صورتی که پوسته استوانه‌ای جدار سیلو در ارتفاعی مساوی  $10 \text{ برابر}$  ضخامت جدار از بام، کف، شالوده و یا هر سطح سازه‌ای متقطع با آن به طور کامل پیش‌تنیده گردد، حداقل تنش فشاری حلقوی اولیه در ارتفاعی از  $\sqrt{Dh}/4$  تا  $\sqrt{Dh}/11$  باید از مقادیر زیر کمتر گردد:

$2 \text{ N/mm}^2$

لبه‌های غیر مقید

$1 \text{ N/mm}^2$

لبه‌های مقید

#### ۹-۱۲-۸ اتلاف‌های پیش‌تنیدگی

در محاسبات تنش باید اتلافات پیش‌تنیدگی یا استفاده از آیین نامه بتن پیش‌تنیده محاسبه شوند.  
اتلافات زیر باید مورد توجه قرار گیرد:

- (الف) اتلافات آنی شامل لغزش در محل گیره‌ها، کوتاه شدن الاستیک، و اتلاف اصطکاکی
- (ب) اتلافات تابع زمان شامل اتلافات ناشی از خزش و جمع شدگی بتن، و ادادگی فولاد
- (پ) اتلاف اصطکاکی در داخل غلاف

#### ۱۳-۸ برش و خمش نوارهای قائم به علت پس‌کشیدگی

به علت اعمال نیروهای پس‌کشیدگی، در نوارهای قائم جدار سیلو خمش و برش بوجود می‌آید.  
باید آرماتورهای کافی برای مقابله با این نیروها تعییه گردد.

(الف) در صورتی که فاصله بین تاندون‌ها کمتر از  $\pi/\beta_p$  باشد، لنگر  $M_y$  و نیروی برشی  $V_{hy}$  در نوار قائم به فاصله  $y$  در بالا و یا پایین تاندون از روابط زیر به دست می‌آید:

$$M_y = (F \Psi_f) / 4 \beta_p \quad (1-8)$$

$$V_{hy} = -F \theta_f / 2 \quad (2-8)$$

که در آن:

$$F = \text{نیروی شعاعی}$$

سایر ضرایب نیز از روابط زیر یا جدول ۸-۲ به دست می‌آیند.

$$\beta_p = [12(1 - 0/2)/(D^2 h^2)]^{1/25} \quad (3-8)$$

$$\Psi_f = e^{-\beta_p y} (\cos \beta_p y - \sin \beta_p y) \quad (4-8)$$

جدول ۸-۲ ضرایب حاصل از روابط ۸-۳، ۴-۸، ۵-۸ و ۵-۹

$\beta_p y$	$\Psi_f$	$\theta_f$	$\beta_p y$	$\Psi_f$	$\theta_f$	$\beta_p y$	$\Psi_f$	$\theta_f$
0	1/000	1/000	2/4	-0/1282	-0/0669	4/8	0/0089	0/0007
0/1	0/8100	0/9003	2/5	-0/1149	-0/0658	4/9	0/0087	0/0014
0/2	0/6398	0/8024	2/6	-0/1019	-0/0636	5/0	0/0084	0/0019
0/3	0/4888	0/7077	2/7	-0/0895	-0/0508	5/1	0/0080	0/0023
0/4	0/3564	0/6174	2/8	-0/0777	-0/0573	5/2	0/0075	0/0026
0/5	0/2415	0/5323	2/9	-0/0666	-0/0534	5/3	0/0069	0/0028
0/6	0/1421	0/4520	3	-0/0563	-0/0493	5/4	0/0064	0/0029
0/7	0/0599	0/3798	3/1	-0/0489	-0/0450	5/5	0/0058	0/0029
0/8	-0/0093	0/3121	3/2	-0/0383	-0/0407	5/6	0/0052	0/0029
0/9	-0/0657	0/2527	3/3	-0/0306	-0/0354	5/7	0/0045	0/0026
1/0	-0/1108	0/1988	3/4	-0/0237	-0/0323	5/8	0/0041	0/0027
1/1	-0/1487	0/1510	3/5	-0/0177	-0/0283	5/9	0/0036	0/0026
1/2	-0/1716	0/1091	3/6	-0/0124	-0/0245	6/0	0/0031	0/0024
1/3	-0/1897	0/0729	3/7	-0/0079	-0/0210	6/1	0/0026	0/0022
1/4	-0/2011	0/0419	3/8	-0/0040	-0/0177	6/2	0/0022	0/0020
1/5	-0/2068	0/0158	3/9	-0/0008	-0/0147	6/3	0/0018	0/0018
1/6	-0/2077	-0/0059	4/0	0/0019	-0/0120	6/4	0/0015	0/0017
1/7	-0/2047	-0/0235	4/1	0/0040	-0/0095	6/5	0/0012	0/0010
1/8	-0/1935	-0/0376	4/2	-0/0057	-0/0074	6/6	0/0009	0/0013
1/9	-0/1899	-0/0484	4/3	0/0070	-0/0054	6/7	0/0006	0/0011
2/0	-0/1794	-0/0563	4/4	0/0079	-0/0038	6/8	0/0004	0/0010
2/1	-0/1675	-0/0618	4/5	0/0005	-0/0023	6/9	0/0002	0/0008
2/2	-0/1548	-0/0652	4/6	0/0009	-0/0011	7/0	0/0001	0/0007

$$\theta_f = e^{-\beta_y} (\cos \beta_y) \quad (5-8)$$

(ب) در صورتی که فاصله بین تاندون‌ها بیش از  $2\pi/\beta_p$  باشد، تاندون‌های مجاور تأثیر در برش و لنگر تاندون مورد نظر ندارند. در این حالت حداکثر لنگر و برش در نوار قائم برابر خواهد شد.

$$M_{max} = F / 4\beta_p \quad (6-8)$$

$$V_{max} = F / 2 \quad (7-8)$$

## ۱۴-۸ رواداری‌ها

**۱۴-۸-۱** رواداری نصب غلاف‌ها در نقاط تکیه‌گاهی نسبت به وضعیت نشان داده شده در نقشه در امتداد افق و قائم، ۲۵ میلی‌متر می‌باشد.

**۱۴-۸-۲** میزان افتادگی غلاف بین دو نقطه تکیه‌گاهی باید از ۱۳ میلی‌متر بزرگتر باشد.

## فصل نهم

### ضوابط نگهداری سیلوهای غلات

#### ۱-۹ معرفی

در حین نگهداری دانه‌های غلات در سیلوها حوادث مختلفی می‌تواند به وجود آید که باعث ازبین رفتن دانه‌ها و یا حوادث ناگوار برای سازه گردد. تجارت ناگواری از این قبیل حوادث در سیلوهای موجود در کشور و در دنیا به ثبت رسیده است. در چند سال اخیر حادثه انفجار سیلوی ترازنیتی بندر امام خمینی از نمونه این موارد می‌باشد که علاوه بر ضایعات اقتصادی، تلفات انسانی نیز دربر داشت. متأسفانه با وجود اتفاقات ناگوار، آیین نامه مشخصی برای بهره‌برداری از سیلوها وجود ندارد و در این فصل سعی می‌شود براساس جمع آوری اطلاعات قدیمی و تجربیات کارشناسان، رهنمودهایی ارایه گردد.

#### ۲-۹ عوامل خطرساز در سیلو

عوامل خطرساز در سیلوها را می‌توان به صورت زیر دسته‌بندی کرد:

۱- آفات انبارداری

۲- حمله حشرات (به خصوص موریانه)

۳- افزایش دما

۴- سکون هوا

۵- افزایش رطوبت

۶- تشکیل لایه‌های پودر و پوسته

۷- عوامل جرقه‌زا (مثل جرقه حاصل از وسایل الکتریکی)

۸- خرابکاری

### ۹-۳ آفات انبارداری

دانه‌های ذخیره شده در سیلو از نظر غذایی بسیار غنی می‌باشند، لذا باید انتظار حمله میکروارگانیسم‌ها را به آنها داشت. میکروارگانیسم‌ها در صورت وجود حرارت و رطوبت مناسب می‌توانند باعث فساد دانه‌های غلات گردند. مثلاً گندم در دمای زیاد می‌تواند فاسد گردد. گندم سالم می‌تواند مورد استفاده خوراک انسان باشد. در فساد کم می‌تواند به مصرف تغذیه دام و در فساد متوسط مورد مصرف تغذیه ماهی‌ها و در فساد زیاد غیرقابل مصرف گردد. گندم غیرقابل مصرف باید آتش زده شود. گندم فاسد می‌تواند موجب مشکلات طولانی مدت در انسان گردد.

برای جلوگیری از وضع فوق، کندوها باید دارای حرارت سنج باشند و حرارت کندوها از طریق اتاق فرمان کترول گردد. در موقع حساس دانه‌ها را باید درون کندوها هواهی کرد، و یا آنها را در روی تسمه نقاله‌ها گرداند.

برای گندزدایی دانه‌ها، معمولاً یک کندوی ضدغونی در نظر گرفته می‌شود که دانه‌های مشکوک را در داخل آن به مدت ۲۴ ساعت تحت گاز ضدغونی کننده قرار داده و بعد از آن تحت آزمایش قرار می‌دهند. در صورت وجود آلودگی، مجددًا گاز ضدغونی کننده به داخل کندو دمیده می‌شود.

برای ضدغونی کردن می‌توان از قرص‌های ضدغونی کننده (مثل فوستوكسین) و دستگاه قرص‌گذار استفاده نمود.

سطح داخلی سیلوها باید کاملاً صاف و صیقلی بوده و کاملاً تمیز نگه داشته شود تا از وجود فضاهای ریز برای تکثیر میکروب‌ها جلوگیری شود.

### ۹-۴ حمله حشرات

در صورت حمله حشرات موزی مثل موریانه، کل محتويات سیلو در معرض نابودی قرار می‌گیرد. لذا باید محوطه سیلو از فضای اطراف کاملاً قرنطینه گردد. غالباً حتی بین فضای سبز محوطه سیلو و کندوها عمدتاً فاصله‌ای در نظر گرفته شده و این فاصله کاملاً توسط آسفالت و یا بتون روکش می‌گردد تا امکان زاد و ولد حشرات و انتقال آن به کندوها گرفته شود.

### ۹-۵ دما

دمای داخل کندوها باید از نظر جلوگیری از دمای مناسب برای رشد میکروارگانیسم‌ها و همچنین

ایجاد پتانسیل مناسب برای وقوع انفجار، کنترل گردد. در صورت افزایش دما، باید از طریق دمیدن هوا و هوادهی، دمای داخل کندو به مقدار مناسب کاهش داده شود.

## ۶-۹ سکون هوا

سکون هوا در داخل کندو می‌تواند پتانسیل لازم را برای رشد میکروارگانیسم‌ها و همچنین گازهای قابل اشتعال حاصل از تخمیر دانه‌ها به وجود آورد. لذا هوا درون کندوها باید به‌طور مناسب تحت چرخش قرار گیرد.

## ۷-۹ افزایش رطوبت

علاوه بر کنترل دما، رطوبت داخل کندوها نیز می‌تواند باعث تکثیر میکروارگانیسم‌ها و یا تخمیر دانه‌ها گردد. چرخش هوا در داخل کندو، عامل بسیار مهم در کاهش خطرات ناشی از افزایش رطوبت می‌باشد.

## ۸-۹ تشکیل لایه‌های پودر و پوسته

در اثر حرکت دانه‌ها در روی تسمه نقاله‌های انتقال، ایجاد پودر و پوسته در فضای سیلوها می‌شود که بعد از مدتی در روی سطوح موجود رسوب می‌نمایند. پودر و پوسته قابلیت اشتعال زیادی دارند. با افزایش ضخامت لایه پودر و پوسته در روی سطوح، انبار باروتی درون سیلو به وجود می‌آید که یک جرقه کوچک می‌تواند آن را به‌آتش بکشد. لذا لازم است به‌طور مرتب سطوح به‌منظور جلوگیری از تشکیل لایه‌های پودر و پوسته، گردگیری شوند.

## ۹-۹ عوامل جرقه‌زا

تمام کابل‌ها و روشنایی مورد استفاده در داخل سیلو باید از نوع ضدانفجار باشند تا ایجاد جرقه نمایند.

از هر نوع جوشکاری در فضای داخل سیلو باید اجتناب گردد. و در صورت لزوم جوشکاری باید با احتیاطات کامل اینمی انجام شود.

## ۱۰-۹ خرابکاری

با توجه به استراتژیک بودن سیلوها، سیستم امنیتی مناسب در نگهبانی سیلوها باید به کار گرفته شود. خرابکاری در سیلو هم می‌تواند به صورت میکروبی و شیمیابی و هم به صورت انفجار انجام شود که با حفظ تدابیر امنیتی باید با آن مقابله شود. علاوه بر جلوگیری از دخول و نفوذ افراد و عناصر مشکوک، هرگونه ذخیره‌سازی باید بعد از انجام آزمایشات لازم روی مواد صورت پذیرد.

## فصل دهم

### مثال طراحی سیلو به عنوان راهنمای

#### استفاده از آیین نامه

##### معرفی

به منظور نشان دادن اصول معرفی شده در این آیین نامه، یک مثال طراحی با استفاده از روابط و روش های نشان داده شده در فصول مختلف ارایه و حل می گردد.

مطلوب است طراحی یک سیلو با هندسه نشان داده شده در اشکال ۱۰ - ۱ و ۱۰ - ۲. مشخصات مصالح ذخیره شده در این سیلو به شرح زیر می باشد:

$$\gamma = 16/5 \text{ kN/m}^3 \quad (\text{وزن مخصوص})$$

$$\mu' = 35^\circ \quad \mu = 0/4$$

مشخصات بتن و فولاد مصرفی به شرح زیر می باشد:

$$f_c = 25 \text{ N/mm}^2 \quad F_y = 400 \text{ N/mm}^2$$

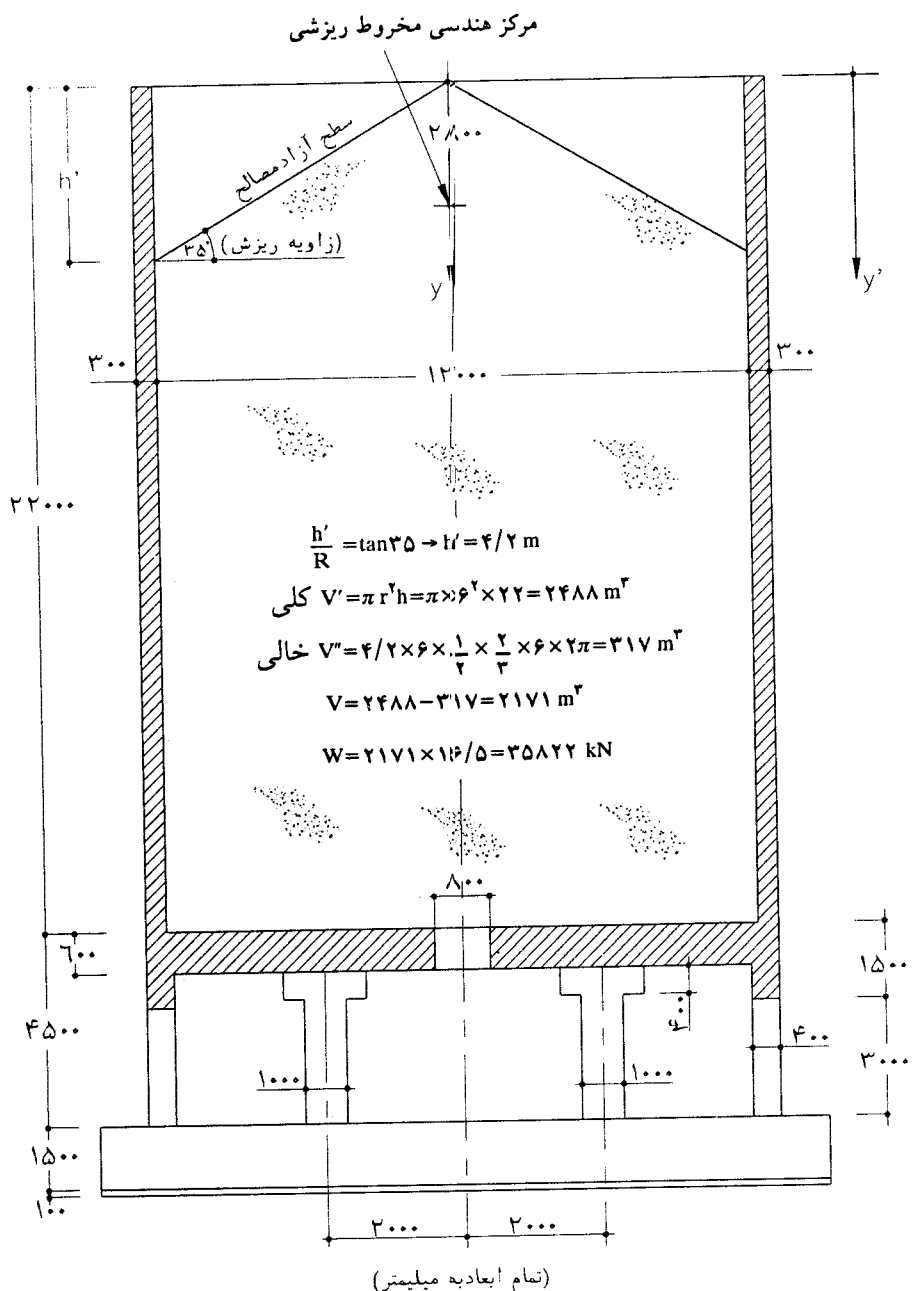
حل:

محاسبه فشارهای داخلی با استفاده از رابطه جنسن

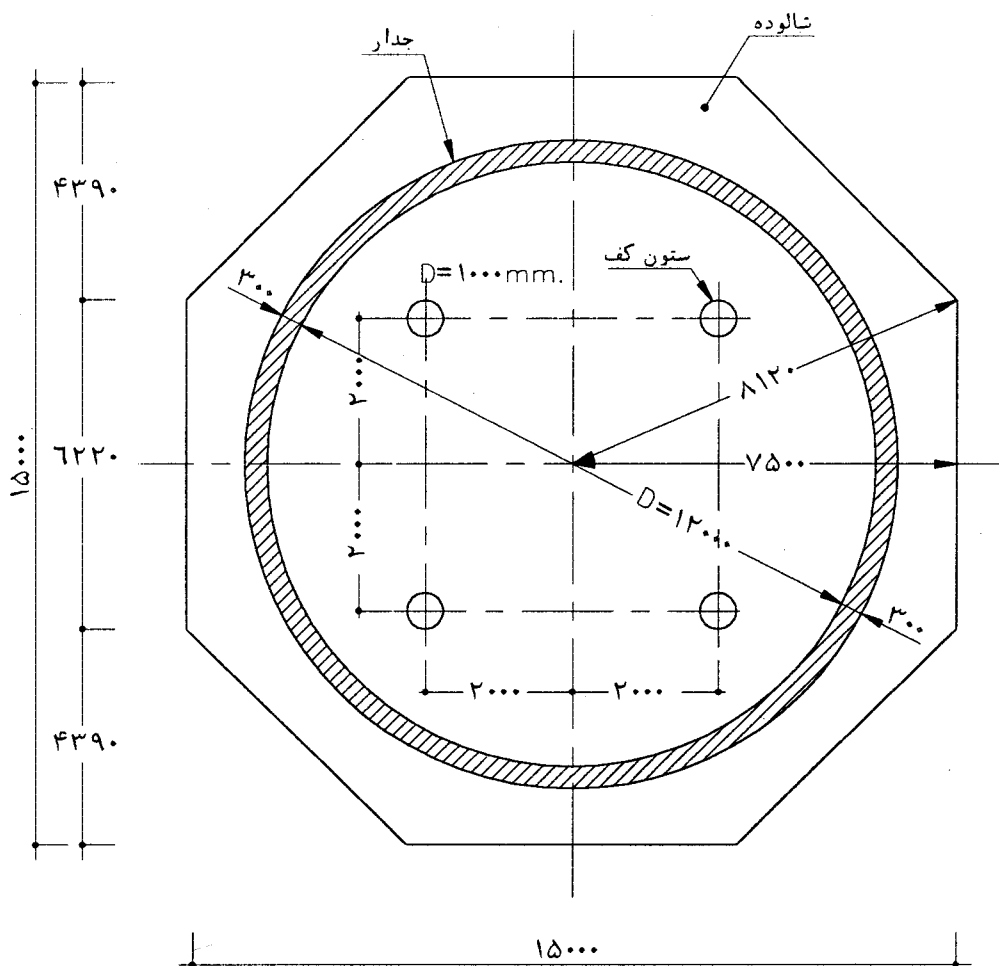
$$q = \frac{\gamma R}{\mu' K} [1 - e^{-\mu' Ky/R}]$$

که در رابطه فوق:

$q =$  فشار قائم در عمق  $y$  (  $y$  از مرکز هندسی مخروط ریزشی بالای سیلو اندازه گیری می شود).



شکل ۱۰-۱ مقطع قائم سبلو



(تمام ابعاد به میلی متر)

شکل ۱۰ - ۲ - مقطع افقی سیلو.

$\gamma$  = وزن مخصوص مصالح ذخیره شده ( $16/5 \text{ kN/m}^3$ )

$R$  = شعاع هیدرولیکی سیلو (برای سیلوهای دایروی  $R=D/4$ )

$D$  = قطر داخلی سیلو

$\mu'$  = ضریب اصطکاک مصالح ذخیره شده با جدار سیلو ( $\mu'=0/4$ )

$K$  = ضریب فشار اکتیو طبق رابطه زیر:

$$K = \frac{1 - \sin \rho}{1 + \sin \rho}$$

$\rho$  = زاویه اصطکاک داخلی مصالح (۳۵°)

فشار افقی نیز از رابطه زیر به دست می‌آید:

$$p = Kq$$

تعیین ضرایب لازم:

$$R = D/4 = 12/4 = 3 \text{ m}$$

$$K = \frac{1 - \sin \rho}{1 + \sin \rho} = \frac{1 - \sin 35}{1 + \sin 35} = 0.271$$

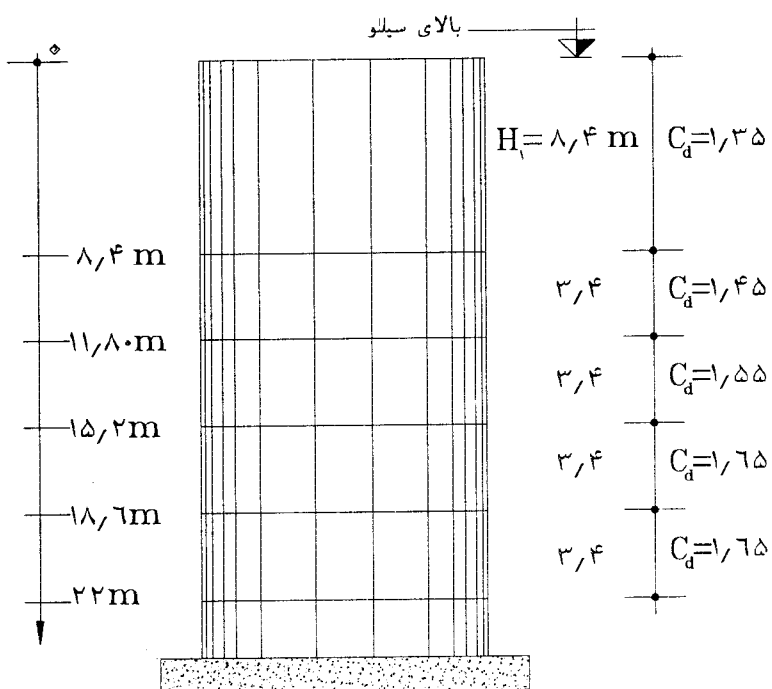
تعیین ضریب افزایش فشار در حالت پرو خالی شدن طبق جدول ۴ - ۴

$$H_1 = D \tan \phi = 12 \tan(35) = 8/40 \text{ m}$$

$$H/D = 22/12 = 1/8.3 \leq 2$$

$$(H - H_1)/4 = (22 - 8/40)/4 = 3/4$$

با مراجعه به جدول (۴ - ۴) ضریب اضافه فشار  $C_d$  به صورت زیر تعیین می‌شود (برای  $H/D \leq 2$ )



با توجه به معلومات موجود، رابطه جنسن را مرتب کرده و فشار را در ترازهای مختلف محاسبه می‌نماییم:

$$q = \frac{1/65 \times 2}{0/4 \times 0/271} [1 - e^{-0/4 \times 0/271 y/2}] = 45/66 [1 - e^{-0/0361 y}]$$

$$p = 0/271 q \quad V = (\gamma y - 0/\lambda q) R = 3(1/65 y - 0/\lambda q)$$

نتایج فشار در فواصل ۲ متر مطابق جدول ۱۰ - ۱ تنظیم می‌گردد:

$$y = y' - 2/\lambda$$

### طراحی میلگردهای حلقوی

با داشتن فشار، مقادیر فولادهای حلقوی را می‌توان محاسبه نمود:

$$A_s = \frac{T_u}{\phi f_y}$$

$$T_u = 1/5 p_{des} \frac{D}{2} = 1/5 p_{des} \frac{12/30}{2} = 9/22 p_{des} \quad (D = \text{قطر میانتار})$$

(برای بتن ریزی از قالب لغزنده استفاده می‌شود)

$$A_s = \frac{9/22 \times 10^3}{0/808 \times 400} = 28/6 p_{des}$$

جدول ۱۰ - ۱ مقادیر فشارهای جانبی و قائم

$y = y' - 2/\lambda$	$y = y' - 2/\lambda$	$q$	$P = Kq$	$V$	$C_d$	$q_{des} = C_d q$	$p_{des} = C_d p$	$V_{des} = C_d V$
$m$	$m$	$kN/m^2$	$kN/m^2$	$kN/m$	-	$kN/m^2$	$kN/m^2$	$kN/m$
۰	-	۰	۰	۰	۱/۳۵	۰	۰	۰
۲	-	۰	۰	۰	۱/۳۵	۰	۰	۰
۴	۱/۲	۱۹/۴	۵/۳	۱۲/۸	۱/۳۵	۲۶/۲	۷/۱	۱۷/۳
۶	۳/۲	۴۹/۸	۱۳/۵	۳۸/۹	۱/۳۵	۶۷/۲	۱۸/۲	۵۲/۰
۸	۵/۲	۷۸/۱	۲۱/۲	۷۰/۰	۱/۳۵	۱۰۰/۴	۲۸/۶	۹۴/۰
۱۰	۷/۲	۱۰۴/۵	۲۸/۳	۱۰۵/۶	۱/۴۰	۱۵۱/۰	۴۱/۱	۱۵۳/۱
۱۲	۹/۲	۱۲۹/۰	۳۵/۰	۱۴۵/۸	۱/۵۵	۲۰۰/۰	۵۴/۲	۲۲۶/۰
۱۴	۱۱/۲	۱۵۱/۹	۴۱/۲	۱۸۹/۸	۱/۵۵	۲۳۵/۴	۶۳/۸	۲۹۴/۲
۱۶	۱۳/۲	۱۷۳/۱	۴۶/۹	۲۳۸/۰	۱/۶۵	۲۸۵/۶	۷۷/۴	۳۹۲/۷
۱۸	۱۵/۲	۱۹۲/۸	۵۲/۲	۲۸۹/۷	۱/۶۵	۳۱۸/۱	۸۶/۲	۴۷۸/۰
۲۰	۱۷/۲	۲۱۱/۲	۵۷/۲	۳۴۴/۵	۱/۶۵	۳۴۸/۵	۹۴/۴	۵۶۸/۴
۲۲	۱۹/۲	۲۲۸/۳	۶۱/۹	۴۰۲/۵	۱/۶۵	۳۷۶/۷	۱۰۲/۱	۶۶۴/۱

با داشتن  $p_{des}$  طبق جدول ۱۰ - ۱، مقادیر فولادهای حلقوی به صورت جدول ۱۰ - ۲ قابل محاسبه است.

#### انتخاب ضخامت پوسته

در انتخاب اول، ضخامت پوسته ۳۰۰ میلی متر در نظر گرفته می شود. برای کنترل این انتخاب، سه معیار زیر به کار گرفته می شود.

#### الف - معیار کنترل تنش کششی در بتون

$$t_{min} = \frac{pD}{\gamma} \frac{mE_s + f_s - nf_{ct}}{f_s f_{ct}}$$

(ضریب جمع شدگی)  $m = 0.0003$

$$f_{ct} = 0.1 f_c = 0.1 \times 25 = 2.5 \text{ N/mm}^2$$

$$f_s = 0.4 \sim 0.5 f_y \# 200 \text{ N/mm}^2$$

جدول ۱۰ - ۲ مقادیر فولادهای حلقوی به علت فشار جانبی مواد

$y'(\text{m})$	$p_{des}(\text{kN/m}^2)$	$A_s(\text{mm}^2/\text{m})$	انتخابی (در دو طرف) $A_s$
۰	۰	۰	$\Phi 14at200$ (۱۵۳۰)
۲	۰	۰	
۴	۷/۱	۲۰۰	$\Phi 16at200$ (۲۰۰۰)
۶	۱۸/۲	۵۲۰	$\Phi 18at200$ (۲۵۴۰)
۸	۲۸/۶	۸۱۸	$\Phi 18at200$ (۲۵۴۰)
۱۰	۴۱/۱	۱۱۷۵	$\Phi 20at200$ (۳۱۴۰)
۱۲	۵۴/۲	۱۵۵۰	$\Phi 20at200$ (۳۱۴۰)
۱۴	۶۷/۸	۱۸۲۵	$\Phi 22at200$ (۳۸۰۰)
۱۶	۷۷/۴	۲۲۱۴	$\Phi 24at200$ (۴۵۲۲)
۱۸	۸۶/۲	۲۴۶۵	
۲۰	۹۴/۴	۲۷۰۰	
۲۲	۱۰۲/۱	۲۹۲۰	

$$n = 2 \times 10^5 / (5000 \sqrt{25}) = 8$$

(جدول ۱-۱۰)  $p = 61/9 kN/m^2$  فشار جانبی در حالت استاتیک (بدون اعمال ضریب ازدیاد فشار)

$$t_{min} = \frac{61/9 \times 10^{-3} \times 12300}{2} \times \frac{0/0003 \times 2 \times 10^5 + 200 - 8 \times 2/5}{200 \times 2/5} = 183 mm$$

### ب - معیار کنترل تنش فشاری در پای دیوار

در تعیین تنش فشاری در پای دیوار، فرض می‌نماییم که فقط فشار قائم ناشی از اصطکاک جدار، بر دیوار اثر نماید و وزن مصالح باقیمانده، به کف انتقال یافته و از آنجا توسط ستون‌ها به فونداسیون منتقل شود.

$$\text{وزن یک متر عرض دیوار} = 26/5 \times 0/3 \times 25 = 198/8 kN/m$$

$$\text{واکنش بام} = 10 kN/m$$

$$V_{des} = 1/65 (\gamma_y - 0/8q) R = 1/65 (16/5 \times 19/2 - 0/8 \times 228/3) 3 = 664/1 kN$$

$$F_{u,vert} = 1/25 \times 198/8 + 1/5 (10 + 664/1) = 1260 kN$$

اگر فرض نماییم که در پای دیوار ۵۰ درصد بازشو داشته باشیم، تنش قائم ناشی از نیروی فوق

برابر است با: (توجه شود که در ناحیه زیر دال کف، ضخامت جدار ۴۰۰ میلی متر است).

$$f_{c,ver} = \frac{1260 \times 10^3}{0/5 \times 1000 \times 400} = 6/30 N/mm^2$$

$$f_c = 0/55 \phi_c f_c \left[ 1 - \left( \frac{H_0}{40t} \right)^2 - \left( \frac{D}{120t} \right)^2 \right]$$

$$\phi_c = 0/6$$

$$f_c = 0/55 \times 0/6 f_c \left[ 1 - \left( \frac{3900}{40 \times 400} \right)^2 - \left( \frac{12000}{120 \times 400} \right)^2 \right]$$

$$f_c = 0/55 \times 0/6 \times 0/92 f_c = -0/304 f_c$$

$$f_c = 0/304 \times 25 = 7/6 > 6/30 N/mm^2$$

### پ - معیار کنترل عرض ترک

$$W_{cr} = W_1 - W_2 + W_3$$

که در رابطه فرق:

$W_1 =$  عرض ترک به علت تأثیر کوتاه مدت فشار جانبی  $p_{des}$  (شامل اثر ضریب افزایش فشار)

$p = W_2$  عرض ترک به علت تأثیر کوتاه مدت فشار استاتیکی

$p = W_2$  عرض ترک به علت تأثیر بلند مدت فشار استاتیکی

در واقع  $W_1 - W_2$  عرض ترک به علت تأثیر کوتاه مدت اضافه فشار می باشد.

$$W_1 = \psi_1 \frac{A\beta}{\Sigma_0} \frac{f_{s,tot}}{E_s} \quad \psi_1 = 1 - 0.7 \frac{0.8 A f_t}{f_{tot}} \geq 0.3$$

$$W_r = \psi_r \frac{A\beta}{\Sigma_0} \frac{f_{s,st}}{E_s} \quad \psi_r = 1 - 0.7 \frac{0.8 A f_t}{f_{st}} \geq 0.3$$

$$W_r = \psi_r \frac{A\beta}{\Sigma_0} \frac{f_{s,st}}{E_s} \quad \psi_r = 1 - 0.35 \frac{0.8 A f_t}{f_{st}} \geq 0.65$$

$\beta = 0.7$  برای میلگرد آجردار و  $1$  برای میلگرد ساده

$A =$  سطح مقطع دیوار برای ارتفاع واحد

$st =$  اندیس برای نشان دادن حالت استاتیک (بدون ضریب افزایش فشار)

$tot =$  اندیس برای نشان دادن فشار استاتیک به علاوه اضافه فشار

$f_t = 0.35 \sqrt{f_c} = f_t$  مقاومت کششی بتن

$\Sigma_0 =$  مجموع محیط میلگردهای حلقوی در واحد ارتفاع دیوار

$f_s =$  تنش فولاد

$$F_{tot} = p_{des} \frac{D}{\gamma} = 10.2 / 1 \times \frac{12/30}{\gamma} = 427/9 \text{ kN}$$

$$F_{st} = p \frac{D}{\gamma} = 61/9 \times \frac{12/30}{\gamma} = 380/9 \text{ kN}$$

میلگردهای حلقوی در پایین دولایه  $\Phi 24x120$  می باشد، داریم: (جدول ۱۰ - ۲)

$$\Sigma_0 = (\pi \times 24) \times 10 = 754 \text{ mm}^3$$

$$f'_t = 0.35 \sqrt{f_c} = 1/75 \text{ N/mm}^2 \quad \text{و} \quad A = 1000 \times 300 = 3 \times 10^5 \text{ N/mm}^2$$

$$\psi_1 = 1 - 0.7 \times \frac{0.8 \times 3 \times 10^5 \times 1/75}{627/9 \times 1000} = 0.53 \rightarrow \psi_1 = 0.53$$

$$\psi_r = 1 - 0.7 \times \frac{0.8 \times 3 \times 10^5 \times 1/75}{380/9 \times 1000} = 0.23 \rightarrow \psi_r = 0.23$$

$$\psi_r = 1 - 0.35 \times \frac{0.8 \times 3 \times 10^5 \times 1/75}{380/9 \times 1000} = 0.61 \rightarrow \psi_r = 0.61$$

۱۵۳ ۱. مثال طراحی سیلو بمعنوان راهنمای استفاده از آیین‌نامه

$$A_s = 2 \times \Phi 24 at 200 = 10 \times 3 / 14 \times \frac{24^2}{4} = 4522 \text{ mm}^2 / \text{m}$$

$$f_{s,tot} = 627 / 9 \times \frac{1000}{4522} = 138 / 9 \text{ N/mm}^2$$

$$f_{s,st} = 380 / 7 \times \frac{1000}{4522} = 84 / 2 \text{ N/mm}^2$$

$$A\beta / \Sigma_0 = 3 \times 10^5 \times \frac{0/7}{14} = 278 / 5 \text{ mm}$$

$$W_1 = 0 / 53 \times 278 / 5 \times \frac{138 / 9}{(2 \times 10^5)} = 0 / 11 \text{ mm}$$

$$W_r = 0 / 3 \times 278 / 5 \times \frac{84 / 2}{(2 \times 10^5)} = 0 / 04 \text{ mm}$$

$$W_r = 0 / 61 \times 278 / 5 \times \frac{84 / 2}{(2 \times 10^5)} = 0 / 07 \text{ mm}$$

$W = 0 / 11 - 0 / 04 + 0 / 07 = 0 / 14 < 0 / 2 \text{ mm}$  خوبست

از لحاظ ترک پس ضخامت ۳۰۰ میلی‌متر برای جداره رضایت‌بخش است.

### محاسبات نیروی زلزله

محاسبه وزن مرده سیلو

جدار

کف

ستون

$$W_g = 25 \left[ \pi \times 12 / 30 \times 26 / 5 \times 0 / 3 + \pi \times \frac{12^2}{4} \times 0 / 6 + 4 \times \frac{\pi \times 1^2}{4} \times 3 / 90 \right]$$

$$W = 25 \times (307 / 20 + 67 / 86 + 12 / 25) = 9682 \text{ kN}$$

(در محاسبه وزن جدار، فرض شده است که افزایش ضخامت جدار در زیر تراز کف، با اثر کاهشی بازوها خنثی می‌شود).

### وزن مصالح ذخیره شده

(۱ - ۱۰)  $W = 35822 \text{ kN}$

محاسبات نیروی زلزله طبق آیین‌نامه ۲۸۰۰ ایران

$$T = \sqrt{q/h^3} \sqrt{\frac{q}{EI}}$$

$$I = \pi R_{av}^4 t = \pi \times 6150^3 \times 300 = 2/19 \times 10^{14}$$

$$g = 9810 \text{ mm/sec}^2$$

$$E = 2 \times 10^4 \text{ N/mm}^2$$

$$q = \pi \times 6^2 \times 1 \times 16/5 + \pi \times 12/30 \times 0/3 \times 25 = 2156 \text{ kN/m} = 2156 \text{ N/mm}$$

$$h = 26/5 \text{ m} = 2600 \text{ mm}$$

$$T = \sqrt{q/h^3} \sqrt{\frac{2156}{9810 \times 2 \times 10^4 \times 2/19 \times 10^{14}}} = 0.28 \text{ sec}$$

$$0.6 < B = 2/5 \left( \frac{T_0}{T} \right)^{2/3} < 2$$

(زمین نوع ۱)

$$B = 2/5 \left( \frac{0.4}{0.28} \right)^{2/3} = 3/17 > 2/5$$

$$R = 5$$

$$A = 0/35$$

$$C = \frac{0/35 \times 2/5 \times 1}{5} = 0/175$$

$$C_{min} = 0/35 \times 0/5 = 0/175$$

$$V = CW = 0/175 \text{ W}$$

$W = \text{وزن مرده} + 100 \text{ درصد وزن مصالح}$

$$V = 0/175(9682 + 35822) = 7963 \text{ kN}$$

اگر نیروی برشی فوق به طور مثلثی در ارتفاع تیر توزیع شود، بدست می‌آید:

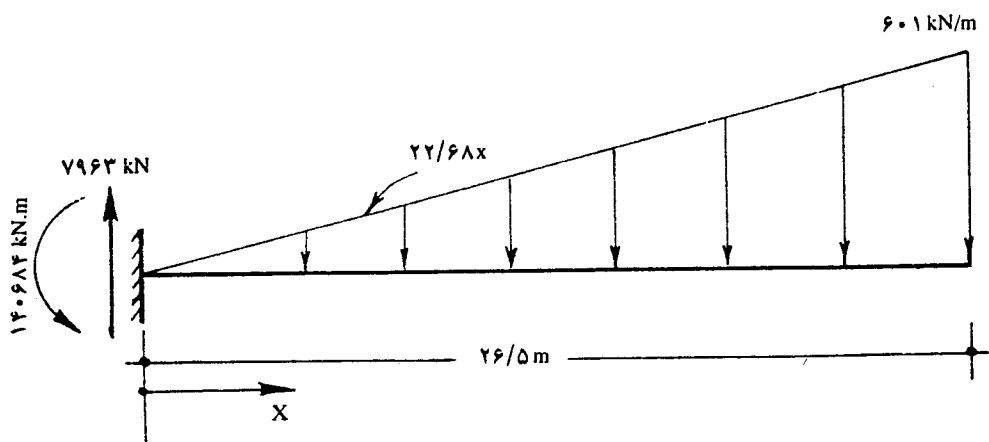
$$\frac{1}{2} p_{max} \times 26/5 = 7963$$

$$p_{max} = 601 \text{ kN/m} \quad (3 - 10)$$

در مقطعی به فاصله  $x$  از پای سیلو داریم (شکل ۱۰ - ۴):

$$V = 7963 - \frac{22/68x^2}{2} = 7963 - 11/34x^2$$

$$\Sigma M_o = 0 \quad \text{+}$$



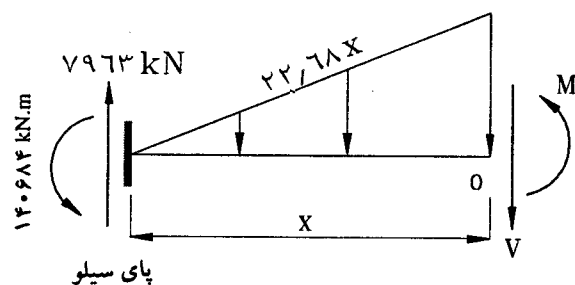
شکل ۳-۱۰

$$140684 - 7963x + 22/68 \frac{x^2}{2} + M = 0$$

$$M = -3/78x^2 + 7963x - 140684$$

مقادیر  $V$  و  $M$  در فواصل ۲ متری طبق جدول زیر محاسبه می شود:

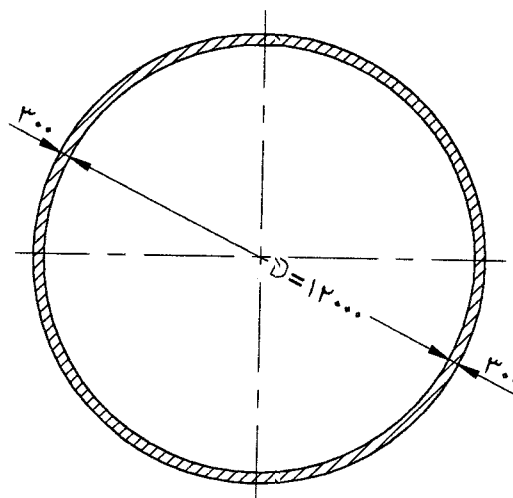
$y'$ m	از پایین m	$V = 7963 - 11/34x^2$ kN	$M = -3/78x^2 + 7963x - 140684$ kN.m
۰	۲۶/۵	۰	۰
۲	۲۴/۵	۱۱۰۶	-۱۱۸۰
۴	۲۲/۵	۲۲۲۲	-۴۰۷۳
۶	۲۰/۵	۳۱۹۷	-۱۰۰۰۸
۸	۱۸/۵	۴۰۸۲	-۱۷۳۰۲
۱۰	۱۶/۵	۴۸۷۶	-۲۶۲۷۵
۱۲	۱۴/۵	۵۵۷۹	-۳۶۷۴۴
۱۴	۱۲/۵	۶۱۹۱	-۴۸۰۲۹
۱۶	۱۰/۵	۶۷۱۳	-۶۱۴۴۸
۱۸	۸/۵	۷۱۴۴	-۷۰۳۲۰
۲۰	۶/۵	۷۴۸۴	-۸۹۹۶۳
۲۲	۴/۵	۷۷۳۳	-۱۰۰۱۹۰
۲۴	۲/۵	۷۸۹۲	-۱۰۲۸۲۶
۲۶/۵	۰	۷۹۶۳	-۱۴۰۶۸۴



شکل ۴ - ۱۰

طراحی میلگردهای قائم برای خمش و برش ناشی از  
نیروهای زلزله - ناحیه بالای دال بتی (۲۲ < y' < ۰)

در این ناحیه در جدار سیلو هیچ گونه بازشو وجود ندارد و سازه همانند یک مقطع دایره توخالی در  
مقابل فشار محوری و لنگر خمی و نیروی برشی مقاومت می نماید.



شکل ۵ - ۱۰

$$D_{av} = 12/30 \text{ m}$$

$$A_c = \pi \times 1230 \times 30 = 11592477 \text{ mm}^2$$

طراحی میلگرد قائم در تراز  $y' = 22 \text{ m}$

$V = 7733 \text{ kN}$  (بدون ضریب)

$M = 105195 \text{ kN.m}$  (بدون ضریب)

$$P = \pi \times 12/30 \times 25 \times 22 = 6376 \text{ kN}$$

توجه شود که در محاسبه  $p$  اثر نیروی محوری ناشی از اصطکاک جدار در نظر گرفته نشده است، چون در این حالت فرض می‌شود که به علت ارتعاشات زلزله، کلیه وزن ذرات به کف سیلو منتقل می‌شود.

در ترکیباتی که در آنها نیروی زلزله وجود دارد، می‌توان تنش‌های مجاز را در  $1/33$  ضرب نمود و یا نیروها را در ضریب  $0/75$  ضرب کرد، که در اینجا عمل دوم را انجام می‌دهیم:

$$V = 0/75 \times 7733 = 5800 \text{ kN}$$

$$P = 0/75 \times 6376 = 4782 \text{ kN}$$

$$M = 0/75 \times 105195 = 78896 \text{ kN}$$

(فرض اول بعنوان میلگرد قائم)  $A_s = 2 \times 848 = 1696$

$$p = \frac{1696}{(1000 \times 300)} = 0/0056 = 0/056 \text{ درصد فولاد}$$

$$e = M/P = \frac{78896}{4782} = 16/50 \text{ m}$$

$$e/D = \frac{16/50}{12/30} \cong 1/33$$

با استفاده از نمودار شکل ۵ - ۲۰ داریم:

$$\frac{P}{Df_c} = 0/32, \quad n = 0/25$$

$$f_c = \frac{4782000}{12300 \times 300 \times 0/32} = 4 < 0/40 \times 25 = 11/25 \text{ N/mm}^2$$

$$n = 0/25 \rightarrow \frac{f_s}{m} = 3 f_c$$

$$f_s = 15(3 \times 4) = 180 < 200 \quad \text{خوبست}$$

پس در تراز  $y' = 22 \text{ m}$  میلگرد قائم دولایه  $\Phi 18a1300$  رضایت‌بخش است.

کنترل برش متوسط:

$$A = \pi(6300^2 - 6000^2) = 1/16 \times 10^7 \text{ mm}^2$$

$$v = \frac{5800 \times 10^7}{1/16 \times 10^7} = 0/0$$

$$v_c = 0 / \sqrt{f_c} = 0 / \sqrt{25} = 0 / 5 \text{ N/mm}^2$$

برش رضایت‌بخش است.

### خمش پوسته

به علت شتاب حاصل از زلزله، حلقه‌ای بهارتفاوت واحد از جدار سیلو، تحت نیروهای افقی ناشی از وزن خود و مصالح تحت خمش قرار می‌گیرد. در محاسبات، این نیروی جانبی باید به یک روش منطقی تخمین زده شده و براساس آن نیروهای داخلی حلقه محاسبه شود. سپس این نیروهای داخلی با نیروهای داخلی حالت استاتیک ترکیب شده و میلگرد های حلقوی برای آنها کنترل گردد. روابط شکل ۵-۲ در این زمینه می‌تواند مورد استفاده قرار گیرد.

کنترل برای خمش و برش به علت نیروهای زلزله (ناحیه زیر دال بتی)  $(22/5 < y' < 26/5)$   
مقطع این ناحیه مطابق شکل ۱۰-۶ می‌باشد.

اگر نیروی زلزله در امتداد نشان داده شده تأثیر نماید، لنگر خمشی به صورت یک کوپل توسط دیوارهای A و B گرفته می‌شود و نیروهای برآشی توسط دیوارهای C و D مقابله می‌شود.

محاسبه نیروهای وارد بر مقطع:

$$\pi(6/30^2 - 6^2)(22/6 \times 25) = 6840 \text{ kN}$$

$$(50 \text{ درصد باقی بستون‌ها می‌رسد}) \pi \times 6^2 \times 0/6 \times 25 \times 0/5 = 848 \text{ درصد وزن دال}$$

$$\pi(6/30^2 - 5/9^2)(2/9 - 0/5 \times 2) \underline{25 = 920 \text{ kN}}$$

$$\underline{\text{وزن مرده کل}} = 8608 \text{ kN}$$

$$50 = 0/5 \times 35822 = 17911 \text{ kN}$$

(۵۰ درصد باقی بستون‌ها می‌رسد)

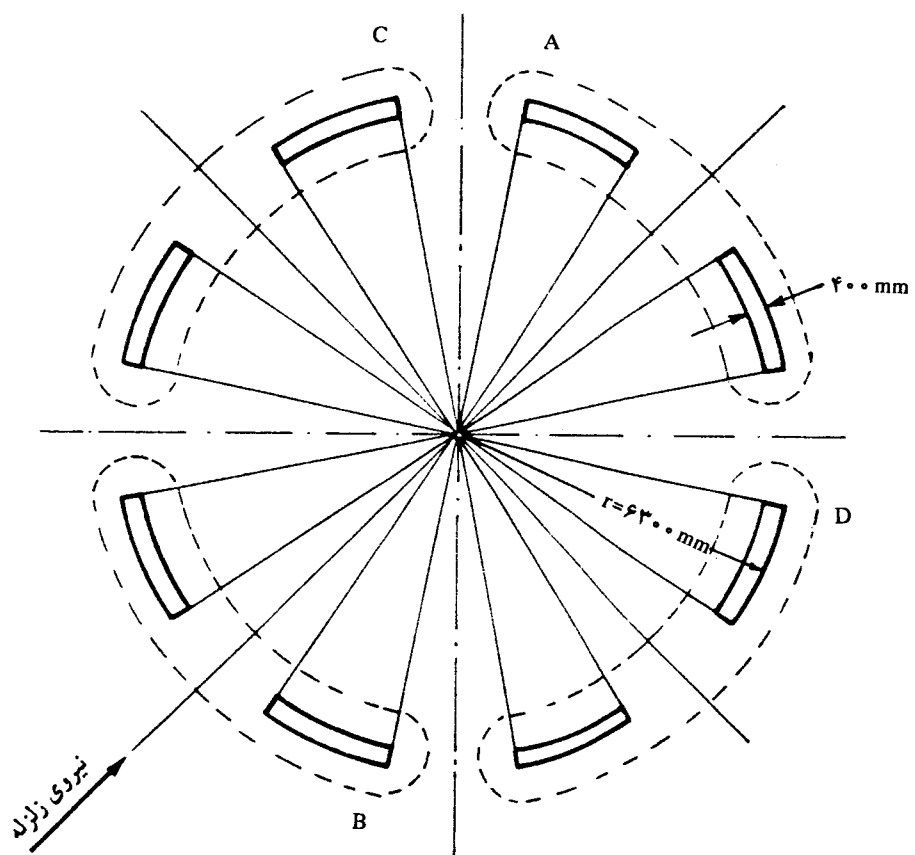
$$P_u = D + 1/2L = 8608 + 1/2 \times 17911 = 30101 \text{ kN}$$

$$V_u = 1/2 \times 7963 = 9555 \text{ kN}$$

$$M_u = 1/2 \times 140684 = 168820 \text{ kN.m}$$

$$B = \frac{168820}{12} - \frac{30101}{4} = 3272 \text{ kN}$$

$$A = -\frac{168820}{12} - \frac{30101}{4} = -10797 \text{ kN}$$



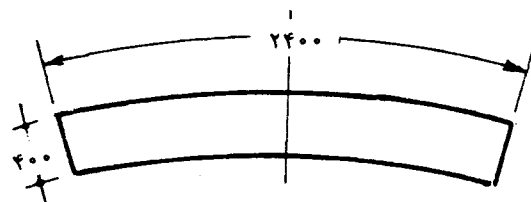
شکل ۱۰ - ۶

طراحی برای کشش:

$$A_s = \frac{T_u}{\phi F_y} = \frac{3272 \times 10^7}{0.85 \times 400} = 9624 \text{ mm}^2$$

طراحی برای فشار:

$$r = 0 / 3 \times 400 = 120 \text{ mm}$$



شکل ۷ - ۱۰

$$kL/r = 1 \times \frac{3000}{120} = 25 < 34 - 12 \frac{M_1}{M_2}$$

نیازی به در نظر گرفتن اثر لاغری نیست.

$$\begin{aligned} P_u &= 0.8 [0.85 \phi_c f_c A_g + A_s (\phi_s f_y - 0.85 \phi_c f_c)] \\ 10797 \times 10^3 &= 0.8 [0.85 \times 0.6 \times 25 \times 400 \times 2400 + \\ &\quad + A_s (0.85 \times 400 - 0.85 \times 0.6 \times 25)] \end{aligned}$$

$$A_s = 3838 \text{ mm}^2$$

پس نیروی کششی حاکم است.

$$A_s = 9624 \text{ mm}^2 \text{ لازم}$$

$$24 = \frac{9624}{452} = 21/29 \text{ تعداد میلگرد}$$

از ۲۸ میلگرد ۲۴ استفاده می شود.

کترول برای برش:

$$V_u = 9555 \text{ kN}$$

$$9555 = \frac{9555}{4} = 2389 \text{ kN} \text{ نیروی برشی هر قطعه}$$

$$b = 400 \quad d = 2200 \text{ mm}$$

$$v_n = \frac{2389 \times 10^3}{(400 \times 2200)} = 2/V2 \text{ N/mm}^2$$

$$v_c = 0.2 \phi_c \sqrt{f_c} = 0.2 \times 0.6 \times \sqrt{25} = 0.6$$

$$v_s = 2/V2 - 0.6 = 2/12 \text{ N/mm}^2$$

$$V_s = 2/12 \times 400 \times 2200 \times 10^{-3} = 1866 \text{ kN}$$

$$\frac{A_v}{s} = \frac{V_s}{f_y d} = \frac{1866 \times 10^3}{0.85 \times 400 \times 2200} = 1/5$$

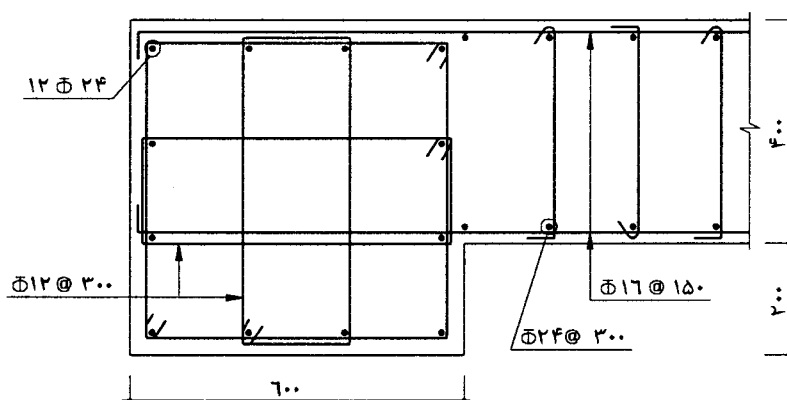
اگر از  $\Phi 16$  استفاده شود.

$$A_v = 2 \times 200 = 400 \text{ mm}^2$$

$$s = \frac{400}{1/5} = 160 \text{ mm}$$

از میلگرد افقی  $\Phi 16 at 150$  در دو سفره استفاده می شود.

در لبه های دیوار عنصر مرزی تعییه کرده و تعدادی از میلگردهای قائم را در آن قرار داده و آنها را توسط خاموت دورگیری می نماییم (شکل ۱۰ - ۸).



شکل ۱۰

### طراحی کف سیلو

ضخامت دال = ۶۰۰ mm

$$\text{وزن دال} = ۰/۶ \times ۲۵ = ۱۵ \text{ kN/m}^۳$$

فشار وارد بر دال در حالت بهره برداری:

$$C_d = ۱/۳۵ \quad (\text{برای طراحی کف})$$

$$q_{des} = ۱/۳۵ \times ۲۲۸/۳ = ۳۰۸/۲ \text{ kN/m}^۳$$

$$q_u = ۱/۲۵ \times ۱۵ + ۱/۵ \times ۳۰۸/۲ = ۴۸۱ \text{ kN/m}^۳$$

فشار وارد بر دال در حالت زلزله:

$$q = \frac{۳۵۸۲۲}{(\pi \times ۶^۳)} = ۳۱۷ \text{ kN/m}^۳ \quad (\text{بار زنده})$$

$$q_u = ۱۵ + ۱/۲ \times ۳۱۷ = ۳۹۵ < ۴۸۱ \text{ kN/m}^۳$$

فشار حالت بهره برداری حاکم است.

دال کف تحت فشار  $q_u = ۴۸۱ \text{ kN/m}^۳$  همانند یک دال تخت دو طرفه مورد طراحی قرار

می گیرد و برای آن کنترل برش سوراخ کننده و برش خمی انجام شده و میلگردهای خمی محاسبه می شود که انجام محاسبات به عهده خواننده واگذار می شود.

## طراحی ستون برای بار قائم

$$\text{ارتفاع آزاد} = 4500 - (600 + 400) = 3500 \text{ mm}$$

$$\text{قطر ستون } D = 1000 \rightarrow r = 0/25 \times 1000 = 250 \text{ mm}$$

$$kI_u/r = 1 \times \frac{3500}{250} = 14 < 34 - 12 \frac{M_1}{M_2}$$

پس ستون لاغر نیست.

$$P_u = 484 \times 481 = 7696 \text{ kN}$$

$$P_r = 0/80 [0/85 \phi_c f_c A_g + A_s (\phi_s f_y - 0/85 \phi_c f_c)]$$

$$7696 \times 10^3 = 0/80 [0/85 \times 0/6 \times 25 \times \pi \times \frac{1000^2}{4} +$$

$$+ A_s (0/85 \times 400 - 0/85 \times 0/6 \times 25)]$$

$$A_s < 0 \quad (\text{نیاز به آرماتور طولی نیست})$$

کنترل ستون در حالت زلزله:

وضعیت دیگری که ستون باید برای آن کنترل شود، حالت زلزله است. در حالت زلزله تمام لنگر و نیروی برشی حاصل از زلزله به پوسته سیلو داده شده است و ستون‌های میانی نقشی در این مورد ندارند. همانند ساختمان‌های معمولی این‌طور می‌توان فرض نمود که این ستون‌ها در هنگام زلزله ۲۵ درصد نیروی زلزله را جذب نمایند.

$$V = 0/25 \times 7696 = 1991 \text{ kN}$$

$$V = \frac{1991}{4} = 498 \text{ kN}$$

$$M = \frac{3/50}{2} \times 498 = 872 \text{ kN}$$

$$P_u = (4 \times 4) 395 = 6320 \text{ kN}$$

$$M_u = 872 \times 1/2 = 1046 \text{ kN.m}$$

با توجه به نیروهای فوق، از روی نمودارهای اندرکنش مناسب، سطح مقطع میلگردی‌های ستون بدست می‌آید. برای ستون خاموت دورگیر با منظور کردن شرایط شکل‌پذیری زیاد تعییه می‌گردد.

### طراحی شالوده

ابعاد و هندسه شالوده مطابق اشکال ۱۰ - ۱ و ۱۰ - ۲ در نظر گرفته می‌شود.

محاسبه نیروهای وارد:

$$\begin{aligned}
 \text{از محاسبات قبل} &= \text{وزن جدار} = 6840 \text{ kN} \\
 &= \text{وزن دال} = 848 \times 2 = 1696 \text{ kN} \\
 &= \text{وزن پایه‌ها} = 920 \text{ kN} \\
 \pi \times \frac{1^2}{4} \times 3/9 \times 25 \times 4 &= \text{وزن ستون‌ها} = 306 \text{ kN} \\
 \text{وزن مصالح} &= 35822 \text{ kN} \\
 8 \times \frac{1}{2} \times 6/22 \times 7/5 \times 1/5 \times 25 &= \text{وزن شالوده} = 6998 \text{ kN} \\
 \hline
 &= \text{وزن کل} = 52582 \text{ kN} \\
 52582 \times 7/5 &= 394365 \text{ kN.m} = \text{لنگر مقاوم}
 \end{aligned}$$

لنگر واژگونی در حالت زلزله:

$$M = 140684 \text{ kN.m}$$

$$V = 7963 \text{ kN}$$

$$M = 140684 + 7963 \times 1/5 = 152628 \text{ kN.m}$$

$$\frac{394365}{152628} = \text{ضریب اطمینان واژگونی} = 2/584$$

تعیین تنش زیرخاک

$$W = 52582 \text{ kN}$$

$$M = 152628 \text{ kN.m}$$

$$e = M/W = 2/90 \text{ m}$$

$$\text{متوسط } R = 0/5(V/5 + A/12) = V/81 \text{ m}$$

$$\text{متوسط } A = \pi R^2 = \pi \times V/81^2 = 191/62 \text{ m}^2$$

$$e/R = \frac{2/9}{V/81} = 0/37$$

با استفاده از نمودار شکل ۵ - ۱۴ به دست می‌آید:

$$K_1 = 3 \quad \text{و} \quad K_2 = 1/4$$

با استفاده از روابط ۵ - ۲۶ می‌توان نوشت:

$$\text{فشار حداکثر} = K_1 \frac{W}{A} = 3 \times \frac{52582}{191/62} = 823 \text{ kN/m}^2$$

$$\text{تنش مجاز حداقل زمین} = 823 \times 0.75 = 617/25 \text{ kN/m}^2$$

تنش مجاز زمین، حداقل باید  $617/25 \text{ kN/m}^2 = 617 \text{ kg/cm}^2$  باشد که عدد بزرگی است.  
در غیر این صورت باید ابعاد شالوده افزایش یابد.

برای این شالوده مطابق شکل ۵-۱۳ باید دو شبکه متعماد در دو سفره تحتانی و فوقانی تعییه گردد.  
طراحی میلگردها با استفاده از یک روش منطقی، به خواننده واگذار می شود.

## فهرست منابع

- (۱) ACI 313-91, "Standard Practice for Design and Construction of Concrete Silos and Stacking Tubes for Storing Granular Materials", American Concrete Institute, Detroit, 1991.
  - (۲) Reimbert, Marcel L., and Reimbert, Andre, M., "Silo—Theory and Practice", 2<sup>nd</sup> Edition, Lavoisier Publication Inc., Newyork, 1987.
  - (۳) Sa-farian, S. S., and Harris, E. C., "Silos and Bunckers", Handbook of Concrete Engineering [edited by M. Fintel], Van Nostrand Reinhold, Newyork, 1985.
  - (۴) Safarian, S. S., and Harris, E. C., "Deterirination of Minimum Wall Thickness and Temerature Steel in Conventionally Reinforced Circular Concrete Silos", ACI Journal, Proceeding, V. GT, No. T, July 1970.
  - (۵) Safarian, S. S., and Harris, E. C., "Design and Construction of Silos, and Bunckers", Van Nostrand Reinhold, Newyork, 1987.
  - (۶) Gaylord, E. H., and Gaylord, C. N. Structural Engineering Handbook, MC Graw-Hill Book Company, 1984.
- (۷) آینه نامه بتن ایران «آبآ» (بخش اول)، دفتر امور فنی و تدوین معیارها، نشریه ۱۲۰.
- (۸) آینه نامه بتن ایران «آبآ» (بخش دوم)، دفتر امور فنی و تدوین معیارها، نشریه ۱۲۰.

پیوست

جداول ضرایب تحلیلی دال‌ها

## جداول دال‌های دوطرفه

جداولی که در این پیوست ارایه می‌شود از کتاب بتن کالندر استخراج شده است. این جداول بدو حالت کلی دال‌ها با ۴ لبه متکی و دال‌ها با سه لبه متکی و یک لبه آزاد طبقه‌بندی می‌شوند که برای هر حالت، وضعیت‌های مختلفی بر حسب شرایط انتکایی (گیردار یا ساده) و بار واردہ (گسترده یکنواخت و گسترده مثلثی) ارایه شده است. علاوه بر این جداول به شرح زیر می‌باشند:

$$m = \text{لبه گیردار}$$

$$— = \text{لبه ساده}$$

$$--- = \text{لبه آزاد}$$

$$l_x = \text{طول ضلع موازی محور } x$$

$$l_y = \text{طول ضلع موازی محور } y$$

$$E = \text{مدول الاستیسیته بتن دال}$$

$$d = \text{ضخامت دال}$$

$$p = \text{شدت بار گسترده یکنواخت}$$

$$p_1 = \text{شدت حداکثر بار گسترده مثلثی}$$

$$f_m = \text{افت در وسط دال}$$

$$m_{xerm} = \text{لنگر در وسط لبه گیردار برای نواری به عرض واحد به موازات محور } x$$

$$m_{yerm} = \text{لنگر در وسط لبه گیردار برای نواری به عرض واحد به موازات محور } y$$

$$m_{yerm min} = \text{حداکثر لنگر منفی لبه گیردار به صورتی که در بالا شرح داده شده.}$$

$$m_{xere} = \text{لنگر مربوط به گوشة محل تلاقی یک لبه گیردار و یک لبه آزاد برای نواری به عرض واحد به موازات محور } x$$

$$m_{xm} = \text{لنگر مثبت در وسط دال برای نواری به عرض واحد به موازات محور } x$$

$$m_{ym} = \text{لنگر مثبت در وسط دال برای نواری به عرض واحد به موازات محور } y$$

$$m_{ymax} = \text{حداکثر لنگر مثبت دو نوار میانی به ترتیب به موازات محورهای } x \text{ و } y$$

$$m_{ymin} = \text{حداکثر لنگر منفی دو نوار میانی به ترتیب به موازات محورهای } x \text{ و } y$$

$$m_{xfrem} = \text{لنگر مثبت در وسط لبه آزاد در نواری به عرض واحد به موازات محور } x$$

$m_{xye}$  = لنگر پیچشی در گوشۀ محل تلاقی دو لبۀ ساده  
 $m_{xyfre}$  = لنگر پیچشی در گوشۀ محل تلاقی یک لبۀ ساده و یک لبۀ آزاد  
 $m_{xym}$  = لنگر پیچشی در وسط لبۀ ساده  
 $m_{xymax}$  = حداکثر لنگر پیچشی  
 $R_e$  = نیروی فشاری یا کششی در گوشۀ محل تلاقی دو لبۀ ساده که به علت وجود لنگر پیچشی ایجاد می‌شود و مقدارش دو برابر لنگر پیچشی است ( $R_e = 2m_{xye}$ )  
 $R_{fre}$  = نیروی فشاری یا کششی در گوشۀ محل تلاقی یک لبۀ ساده و یک لبۀ آزاد ( $R_{fre} = 2m_{xyfre}$ )  
 $q_{yrm}$  و  $q_{xrm}$  = به ترتیب تلاش برشی در وسط یک لبۀ ساده برای نواری به عرض واحد به موازات محورهای x و y  
 $q_{yrm}$  و  $q_{xrm}$  = حداکثر تلاش برشی در یک لبۀ ساده به صورتی که در بالا تشریح شد  
 $q_{yerm}$  و  $q_{xerm}$  = به ترتیب تلاش برشی در وسط یک لبۀ گیردار برای نواری به عرض واحد به موازات محورهای x و y  
 $q_{yermax}$  و  $q_{xermax}$  = حداکثر تلاش برشی در یک لبۀ گیردار به صورتی که در بالا تشریح شد  
 $q_{ye}$  و  $q_{xe}$  = تلاش برشی در گوشۀ محل تلاقی یک لبۀ ساده و یک لبۀ گیردار  
 $q$  = واکنش تکیه گاهی با اندیس‌هایی مشابه

تبصره ۱: تمام نیروهای ارایه شده مربوط به نواری به عرض واحد می‌باشند.

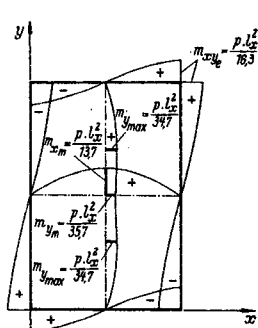
تبصره ۲: در زیر هر جدول نمودار تغییرات نیروهای فوق برای نسبت  $l_y/l_x = 1/5$  رسم شده است.

## جدول دال‌ها با چهار لبه متکی

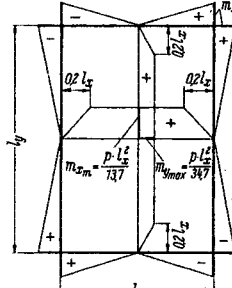
جدول ۱ دال با چهار لبه ساده تحت بار گسترده یکراخت

$l_y : l_x$	1,00	1,05	1,10	1,15	1,20	1,25	1,30	1,35	1,40	1,45	1,50
$m_{x_m} =$	27,2	24,5	22,4	20,7	19,1	17,8	16,8	15,8	15,0	14,3	13,7
$m_{y_{max}} =$	$p \cdot l_x^2$	27,2	27,5	27,9	28,4	29,1	29,9	30,9	31,8	32,8	33,8
$m_{zy_e} = \pm$	21,6	20,6	19,7	19,0	18,4	17,9	17,5	17,1	16,8	16,5	16,3
$R_e =$	10,8	10,3	9,85	9,5	9,2	8,95	8,75	8,55	8,4	8,25	8,15
$q_{z_{rm}} = \pm$	2,96	2,87	2,78	2,71	2,64	2,58	2,52	2,47	2,43	2,39	2,36
$q_{z_{rm}} =$	$p \cdot l_x^2$	2,19	2,15	2,11	2,07	2,04	2,02	2,00	1,98	1,97	1,96
$q_{y_{rm}} = \pm$	2,96	2,92	2,89	2,86	2,84	2,82	2,80	2,78	2,76	2,75	2,75
$q_{y_{rm}} =$	$p \cdot l_x^2$	2,19	2,14	2,09	2,05	2,02	1,99	1,96	1,94	1,92	1,90
$f_m =$	$\frac{p \cdot l_x^4}{E \cdot d^3}$	0,0487	0,0536	0,0584	0,0631	0,0678	0,0728	0,0767	0,0809	0,0850	0,0890
											0,0927

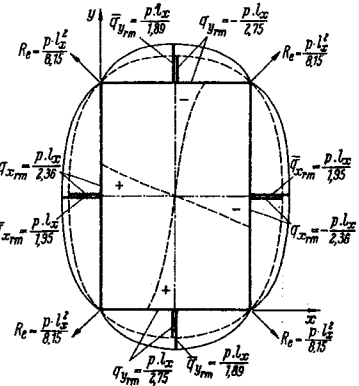
$l_y : l_x$	1,50	1,55	1,60	1,65	1,70	1,75	1,80	1,85	1,90	1,95	2,00
$m_{x_m} =$	13,7	13,2	12,7	12,3	11,9	11,5	11,3	11,0	10,8	10,6	10,4
$m_{y_{max}} =$	$p \cdot l_x^2$	34,7	35,4	36,1	36,7	37,3	37,9	38,5	38,9	39,4	39,8
$m_{zy_e} = \pm$	16,3	16,1	15,9	15,7	15,6	15,5	15,4	15,3	15,3	15,2	15,1
$R_e =$	8,15	8,05	7,95	7,85	7,8	7,75	7,7	7,65	7,65	7,6	7,55
$q_{z_{rm}} = \pm$	2,36	2,38	2,30	2,27	2,25	2,28	2,21	2,19	2,18	2,16	2,15
$q_{z_{rm}} =$	$p \cdot l_x^2$	1,95	1,94	1,93	1,92	1,92	1,92	1,92	1,92	1,92	1,92
$q_{y_{rm}} = \pm$	2,75	2,74	2,73	2,73	2,73	2,72	2,72	2,71	2,71	2,70	2,70
$q_{y_{rm}} =$	$p \cdot l_x^2$	1,89	1,88	1,87	1,86	1,85	1,84	1,83	1,82	1,82	1,82
$f_m =$	$\frac{p \cdot l_x^4}{E \cdot d^3}$	0,0927	0,0963	0,0997	0,1029	0,1060	0,1093	0,1118	0,1145	0,1169	0,1195
											0,1215



نمودار لنگر  
(توزيع واقعی)



نمودار لنگر  
(توزيع قراردادی)

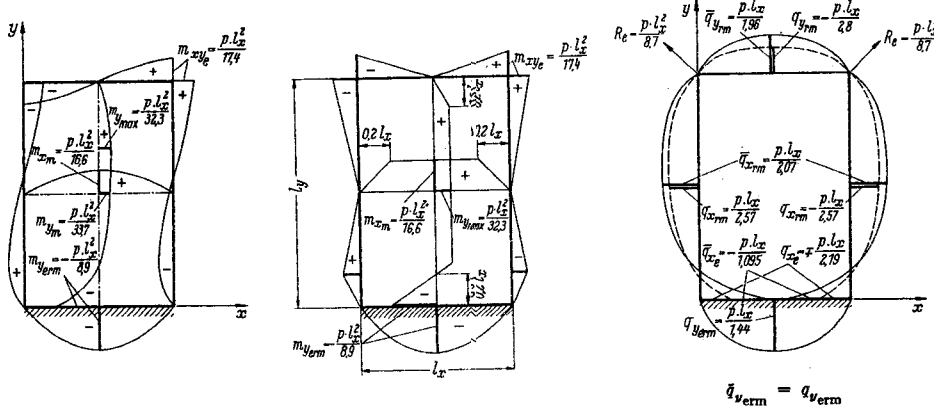


نمودار برش

جدول ۲ دال با سه لبه ساده و یک لبه گیردار تحت بار گسترده یکنواخت

$l_y : l_x$	1,00	1,05	1,10	1,15	1,20	1,25	1,30	1,35	1,40	1,45	1,50
$m_{x_m} =$	41,2	36,5	31,9	28,3	25,9	23,4	21,7	20,1	18,8	17,5	16,6
$m_{y_{erm}} = -$	11,9	11,3	10,9	10,4	10,1	9,8	9,6	9,3	9,2	9,0	8,9
$m_{y_{max}} = p \cdot l_x^2 :$	29,4	29,0	28,8	28,8	28,9	29,2	29,7	30,2	30,8	31,6	32,3
$m_{xy_e} = \pm$	26,2	24,5	23,2	21,9	21,0	20,1	19,4	18,7	18,3	17,7	17,4
$R_e =$	13,1	12,2	11,6	10,9	10,5	10,0	9,7	9,3	9,1	8,8	8,7
$q_{x_{rm}} = \pm$	3,54	3,39	3,25	3,13	3,02	2,92	2,83	2,76	2,69	2,63	2,57
$q_{z_{rm}} =$	2,59	2,49	2,42	2,34	2,29	2,23	2,19	2,15	2,12	2,09	2,07
$q_{y_{erm}} = p \cdot l_x :$	1,72	1,67	1,63	1,59	1,56	1,53	1,51	1,49	1,47	1,45	1,44
$q_{y_{rm}} = -$	3,18	3,11	3,05	3,00	2,95	2,92	2,89	2,86	2,84	2,82	2,80
$\bar{q}_{y_{rm}} =$	2,47	2,38	2,29	2,23	2,17	2,12	2,08	2,04	2,01	1,98	1,96
$f_m = \frac{p \cdot l_x^4}{E \cdot d^3}$	0,0384	0,0378	0,0422	0,0467	0,0512	0,0557	0,0602	0,0645	0,0689	0,0731	0,0773

$l_y : l_x$	1,50	1,55	1,60	1,65	1,70	1,75	1,80	1,85	1,90	1,95	2,00
$m_{x_m} =$	16,6	15,7	15,0	14,3	13,8	13,2	12,8	12,3	12,0	11,6	11,4
$m_{y_{erm}} = -$	8,9	8,8	8,7	8,6	8,5	8,45	8,4	8,35	8,3	8,25	8,2
$m_{y_{max}} = p \cdot l_x^2 :$	32,3	33,0	33,6	34,3	34,9	35,6	36,2	36,9	37,5	38,2	38,8
$m_{xy_e} = \pm$	17,4	17,0	16,8	16,5	16,3	16,1	15,9	15,7	15,6	15,5	15,4
$R_e =$	8,7	8,5	8,4	8,2	8,1	8,0	7,9	7,8	7,8	7,7	7,7
$q_{x_{rm}} = \pm$	2,57	2,52	2,47	2,43	2,39	2,36	2,33	2,30	2,28	2,25	2,23
$q_{z_{rm}} =$	2,07	2,05	2,03	2,01	1,99	1,98	1,97	1,96	1,96	1,95	1,95
$q_{y_{erm}} = p \cdot l_x :$	1,44	1,43	1,42	1,41	1,40	1,39	1,39	1,38	1,38	1,37	1,37
$q_{y_{rm}} = -$	2,80	2,78	2,77	2,76	2,75	2,74	2,73	2,72	2,72	2,71	2,71
$\bar{q}_{y_{rm}} =$	1,96	1,94	1,92	1,90	1,89	1,88	1,87	1,86	1,85	1,84	1,84
$f_m = \frac{p \cdot l_x^4}{E \cdot d^3}$	0,0773	0,0815	0,0852	0,0892	0,0926	0,0962	0,0994	0,1027	0,1056	0,1085	0,1112

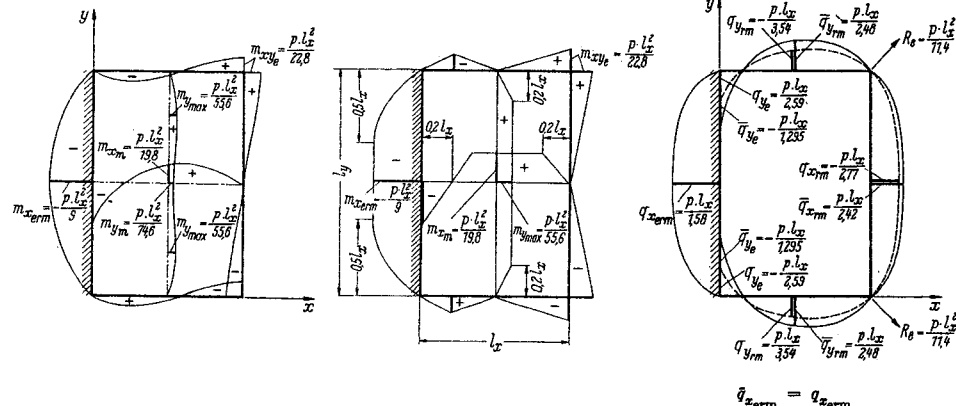


جدول ۳ دال با سه لبه ساده و یک لبه گیردار تحت بار گسترده یکنواخت

$l_y : l_x$	1,00	1,05	1,10	1,15	1,20	1,25	1,30	1,35	1,40	1,45	1,50
$m_{x_{erm}} = -$	11,9	11,3	10,9	10,5	10,2	9,9	9,7	9,4	9,3	9,1	9,0
$m_{x_m} =$	31,4	29,2	27,3	25,8	24,5	23,4	22,4	21,6	21,0	20,3	19,8
$m_{y_{max}} = p \cdot l_x^2 :$	41,2	43,2	45,1	47,1	48,8	50,3	51,8	53,2	54,8	55,0	55,6
$m_{zy_e} = \pm$	26,2	25,4	24,9	24,4	24,0	23,7	23,5	23,2	23,0	22,9	22,8
$R_e =$	18,1	12,7	12,4	12,2	12,0	11,8	11,7	11,6	11,5	11,4	11,4
$q_{x_{erm}} = -$	1,72	1,69	1,67	1,65	1,63	1,62	1,61	1,60	1,59	1,58	1,58
$q_{x_m} = -$	3,18	3,11	3,05	2,99	2,94	2,90	2,87	2,84	2,81	2,79	2,77
$\bar{q}_{x_{rm}} = p \cdot l_x :$	2,47	2,44	2,42	2,41	2,41	2,40	2,40	2,40	2,41	2,41	2,42
$q_{y_{rm}} = \pm$	3,53	3,53	3,53	3,53	3,53	3,53	3,53	3,53	3,53	3,53	3,54
$\bar{q}_{y_{rm}} =$	2,59	2,56	2,54	2,52	2,51	2,50	2,50	2,49	2,49	2,48	2,48
$f_m = \frac{p \cdot l_x^4}{E \cdot d^3} .$	0,0384	0,0357	0,0380	0,0401	0,0420	0,0438	0,0455	0,0472	0,0485	0,0498	0,0510

$l_y : l_x$	1,50	1,55	1,60	1,65	1,70	1,75	1,80	1,85	1,90	1,95	2,00
$m_{x_{erm}} = -$	9,0	8,9	8,8	8,7	8,6	8,5	8,4	8,3	8,3	8,3	8,3
$m_{x_m} =$	19,8	19,4	19,0	18,6	18,3	18,0	17,8	17,5	17,4	17,2	17,1
$m_{y_{max}} = p \cdot l_x^2 :$	55,6	56,2	56,8	57,3	57,8	58,2	58,6	58,8	59,0	59,1	59,2
$m_{zy_e} = \pm$	22,8	22,7	22,6	22,5	22,5	22,4	22,4	22,4	22,4	22,4	22,4
$R_e =$	11,4	11,3	11,3	11,2	11,2	11,2	11,2	11,2	11,2	11,2	11,2
$q_{x_{erm}} = -$	1,58	1,57	1,57	1,57	1,57	1,57	1,57	1,57	1,57	1,57	1,57
$q_{x_m} = -$	2,77	2,75	2,73	2,72	2,71	2,70	2,69	2,68	2,68	2,67	2,67
$\bar{q}_{x_{rm}} = p \cdot l_x :$	2,42	2,42	2,43	2,43	2,44	2,45	2,46	2,47	2,49	2,49	2,50
$q_{y_{rm}} = \pm$	3,54	3,54	3,54	3,54	3,55	3,55	3,55	3,55	3,55	3,55	3,56
$\bar{q}_{y_{rm}} =$	2,48	2,47	2,47	2,47	2,47	2,47	2,47	2,47	2,47	2,47	2,47
$f_m = \frac{p \cdot l_x^4}{E \cdot d^3} .$	0,0510	0,0521	0,0581	0,0541	0,0549	0,0556	0,0562	0,0569	0,0575	0,0580	0,0585

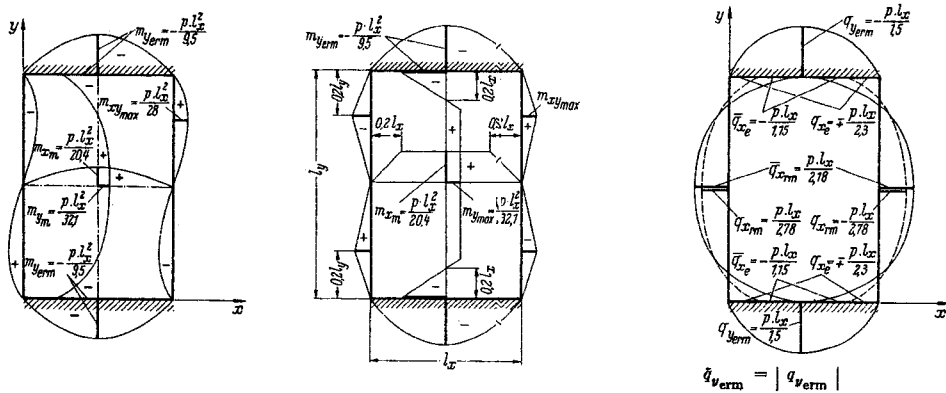


$$\bar{q}_{x_{rm}} = q_{x_{erm}}$$

جدول ۴ دال با دو لبه ساده و دو لبه گیردار تحت بار گستردگی یکنواخت

$I_y : I_x$	1,00	1,05	1,10	1,15	1,20	1,25	1,30	1,35	1,40	1,45	1,50
$m_{x_m} =$	63,3	52,2	46,1	39,8	35,5	31,5	28,5	25,8	23,7	22,0	20,4
$m_{y_{erm}} = - \left\{ p \cdot l_x^{\frac{4}{3}} : \right.$	14,3	13,4	12,7	12,0	11,5	11,1	10,7	10,3	10,0	9,75	9,5
$m_{y_{max}} =$	35,1	33,7	32,9	32,2	31,7	31,3	31,2	31,4	31,7	32,1	
$q_{x_{rm}} = \pm$	4,09	3,87	3,70	3,54	3,39	3,27	3,15	3,05	2,95	2,86	2,78
$q_{x_{rm}} =$	$\left\{ p \cdot l_x : \right.$	2,95	2,82	2,71	2,60	2,52	2,44	2,38	2,32	2,27	2,22
$q_{y_{erm}} = \pm$	1,94	1,86	1,80	1,74	1,69	1,65	1,61	1,58	1,55	1,52	1,50
$f_m = \frac{p \cdot l_x^4}{E \cdot d^3}$	0,0230	0,0266	0,0303	0,0343	0,0383	0,0425	0,0467	0,0510	0,0553	0,0596	0,0639

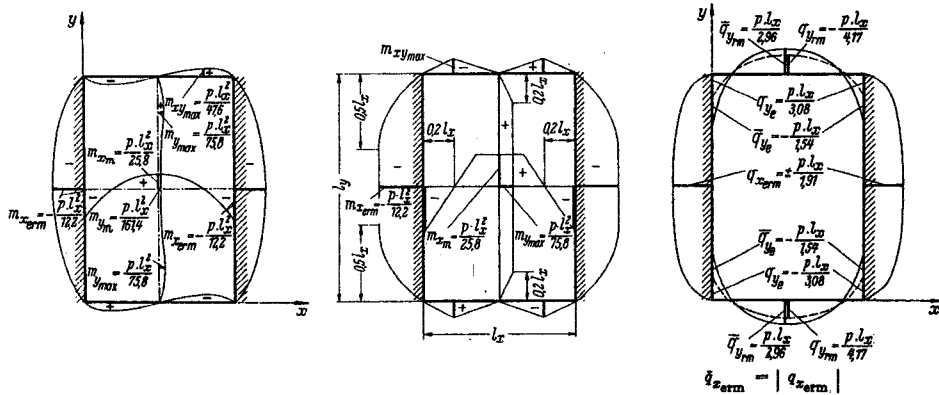
$I_y : I_x$	1,50	1,55	1,60	1,65	1,70	1,75	1,80	1,85	1,90	1,95	2,00
$m_{x_m} =$	20,4	19,0	17,9	16,9	16,0	15,2	14,6	13,9	13,4	12,9	12,5
$m_{y_{erm}} = - \left\{ p \cdot l_x^{\frac{4}{3}} : \right.$	9,5	9,3	9,2	9,05	8,9	8,8	8,7	8,6	8,5	8,4	8,4
$m_{y_{max}} =$	32,1	32,7	33,3	34,0	34,9	35,9	37,1	38,3	39,7	41,1	42,4
$q_{x_{rm}} = \pm$	2,78	2,71	2,65	2,59	2,54	2,49	2,45	2,41	2,38	2,35	2,32
$q_{x_{rm}} =$	$\left\{ p \cdot l_x : \right.$	2,18	2,14	2,11	2,09	2,07	2,05	2,03	2,01	1,99	1,98
$q_{y_{erm}} = \pm$	1,50	1,47	1,46	1,44	1,43	1,42	1,41	1,40	1,40	1,39	1,39
$f_m = \frac{p \cdot l_x^4}{E \cdot d^3}$	0,0639	0,0681	0,0722	0,0762	0,0802	0,0840	0,0878	0,0914	0,0949	0,0982	0,1013



جدول ۵ دال با دو لبه ساده و دو لبه گبردار تحت بار گسترده یکنواخت

$l_y : l_x$	1,00	1,05	1,10	1,15	1,20	1,25	1,30	1,35	1,40	1,45	1,50
$m_{x_{erm}} = -$	14,3	13,8	13,5	13,2	13,0	12,7	12,6	12,4	12,3	12,2	12,2
$m_{x_m} =$	$p \cdot l_x^2 :$	35,1	33,0	31,7	30,4	29,4	28,5	27,8	27,1	26,6	26,1
$m_{y_{max}} =$		61,7	64,5	67,2	69,6	71,5	72,8	73,5	74,1	74,6	75,3
$q_{x_{erm}} = \pm$		1,94	1,92	1,91	1,90	1,90	1,90	1,90	1,90	1,90	1,91
$q_{y_{rm}} = \pm$	$p \cdot l_x :$	4,09	4,10	4,11	4,12	4,13	4,14	4,15	4,15	4,16	4,17
$\bar{q}_{y_{rm}} =$		2,95	2,95	2,95	2,95	2,95	2,95	2,95	2,95	2,95	2,96
$f_m =$	$\frac{p \cdot l_x^4}{E \cdot d^3}$	0,0230	0,0241	0,0251	0,0260	0,0267	0,0275	0,0280	0,0285	0,0289	0,0293
											0,0297

$l_y : l_x$	1,50	1,55	1,60	1,65	1,70	1,75	1,80	1,85	1,90	1,95	2,00
$m_{x_{erm}} = -$	12,2	12,1	12,0	12,0	12,0	12,0	12,0	12,0	12,0	12,0	12,0
$m_{x_m} =$	$p \cdot l_x^2 :$	25,8	25,4	25,2	24,9	24,7	24,5	24,4	24,3	24,3	24,2
$m_{y_{max}} =$		75,8	76,5	77,0	77,0	77,0	77,0	77,0	77,0	77,0	77,0
$q_{x_{erm}} = \pm$		1,91	1,91	1,92	1,92	1,93	1,93	1,94	1,94	1,95	1,95
$q_{y_{rm}} = \pm$	$p \cdot l_x :$	4,17	4,17	4,18	4,18	4,19	4,19	4,19	4,19	4,19	4,19
$\bar{q}_{y_{rm}} =$		2,96	2,96	2,96	2,96	2,96	2,96	2,97	2,97	2,97	2,97
$f_m =$	$\frac{p \cdot l_x^4}{E \cdot d^3}$	0,0297	0,0300	0,0302	0,0305	0,0307	0,0308	0,0309	0,0310	0,0312	0,0313

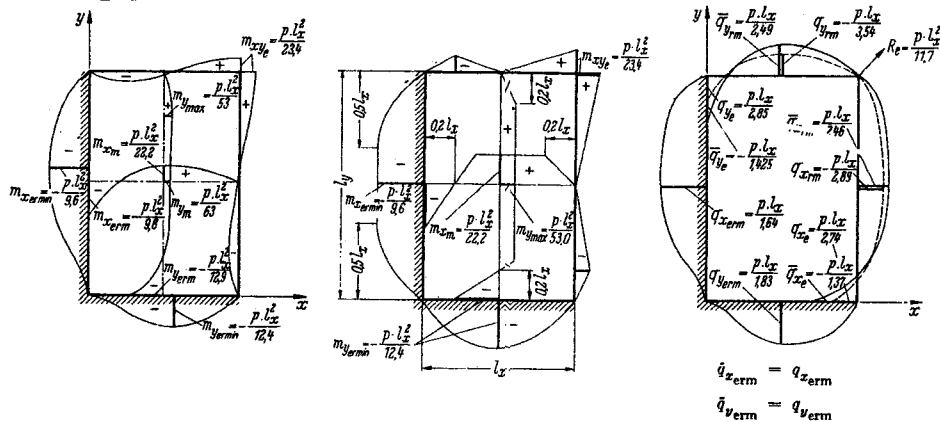


جدول ۶ دال با دو لبه گیردار و دو لبه ساده تحت بار گستردہ یکنواخت

$l_y : l_x$	1,00	1,05	1,10	1,15	1,20	1,25	1,30	1,35	1,40	1,45	1,50
$m_{x_{\text{erm}} \min} = -$	14,3	13,3	12,7	12,0	11,5	11,1	10,7	10,3	10,0	9,8	9,6
$m_{x_m} = -$	42,7	38,0	35,1	32,2	30,0	28,0	26,5	25,2	24,1	23,1	22,2
$m_{y_{\text{erm}} \min} = -$	14,3	13,8	13,6	13,3	13,1	12,9	12,8	12,7	12,6	12,5	12,4
$m_{y_{\max}} =$	40,2	41,0	42,0	42,9	44,0	45,6	47,6	49,6	51,0	52,1	53,0
$q_{x_{\text{erm}}} =$	1,96	1,89	1,83	1,78	1,75	1,72	1,69	1,67	1,65	1,64	1,64
$q_{x_{\text{rm}}} = -$	3,64	3,51	3,40	3,30	3,22	3,14	3,08	3,01	2,97	2,93	2,89
$\bar{q}_{x_{\text{rm}}} =$	2,76	2,69	2,64	2,58	2,55	2,53	2,51	2,49	2,47	2,46	2,46
$q_{y_{\text{erm}}} =$	1,96	1,93	1,90	1,88	1,87	1,86	1,85	1,84	1,84	1,83	1,83
$q_{y_{\text{rm}}} = -$	3,64	3,61	3,59	3,57	3,55	3,54	3,54	3,54	3,54	3,54	3,54
$\bar{q}_{y_{\text{rm}}} =$	2,76	2,69	2,65	2,61	2,59	2,56	2,54	2,52	2,51	2,50	2,49
$f_m = \frac{p \cdot l_x^4}{E \cdot d^3}$	0,0252	0,0281	0,0302	0,0329	0,0348	0,0369	0,0389	0,0408	0,0426	0,0443	0,0459

$l_y : l_x$	1,50	1,55	1,60	1,65	1,70	1,75	1,80	1,85	1,90	1,95	2,00
$m_{x_{\text{erm}} \min} = -$	9,6	9,4	9,2	9,1	8,9	8,8	8,7	8,6	8,5	8,4	8,4
$m_{x_m} = -$	22,2	21,6	21,0	20,4	19,9	19,5	19,1	18,7	18,4	18,1	17,9
$m_{y_{\text{erm}} \min} = -$	12,4	12,3	12,3	12,2	12,3	12,2	12,2	12,2	12,2	12,2	12,2
$m_{y_{\max}} =$	53,0	54,1	54,8	55,6	56,3	57,0	57,7	58,3	59,0	59,6	60,2

$l_y : l_x$	1,64	1,68	1,63	1,62	1,62	1,61	1,60	1,60	1,59	1,59	1,58
$q_{x_{\text{erm}}} = -$	2,89	2,87	2,83	2,80	2,78	2,76	2,75	2,74	2,73	2,72	2,71
$\bar{q}_{x_{\text{rm}}} =$	2,46	2,46	2,46	2,47	2,47	2,47	2,48	2,48	2,48	2,49	2,49
$q_{y_{\text{erm}}} =$	1,83	1,82	1,82	1,82	1,82	1,82	1,82	1,82	1,82	1,82	1,82
$q_{y_{\text{rm}}} = -$	3,54	3,54	3,54	3,54	3,54	3,54	3,54	3,54	3,54	3,54	3,55
$\bar{q}_{y_{\text{rm}}} =$	2,49	2,49	2,49	2,49	2,48	2,48	2,48	2,47	2,47	2,47	2,47
$f_m = \frac{p \cdot l_x^4}{E \cdot d^3}$	0,0459	0,0472	0,0484	0,0496	0,0508	0,0519	0,0529	0,0538	0,0547	0,0554	0,0562

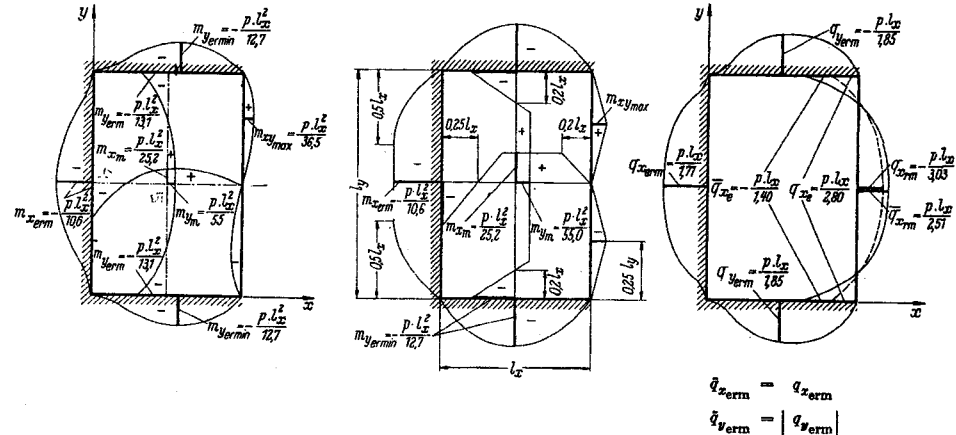


جدول ۷ دال با سه لبه گیردار و یک لبه ساده تحت بار گسترده یکنواخت

$l_y:l_x$	1,00	1,05	1,10	1,15	1,20	1,25	1,30	1,35	1,40	1,45	1,50
$m_{x_{erm}} = -$	18,3	16,6	15,4	14,4	13,5	12,7	12,2	11,6	11,2	10,9	10,6
$m_{x_m} =$	59,5	51,6	46,1	41,4	37,5	34,2	31,8	29,6	28,0	26,4	25,2
$m_{y_{erm}} = -$	$p \cdot l_x^2$ : 16,2	15,4	14,8	14,3	13,9	13,5	13,8	13,1	13,0	12,8	12,7
$m_{y_m} =$	44,1	43,6	43,7	44,2	44,8	45,8	46,9	48,6	50,3	52,3	55,0
$q_{x_{erm}} = \mp$	2,21	2,10	2,01	1,95	1,89	1,85	1,81	1,78	1,76	1,73	1,71
$q_{x_{rm}} =$	$\pm$ : 4,11	3,94	3,77	3,68	3,50	3,40	3,30	3,22	3,14	3,08	3,03
$q_{y_{erm}} = -$	3,04	2,92	2,84	2,77	2,70	2,65	2,61	2,57	2,54	2,52	2,51
$q_{y_{rm}} = \pm$	2,11	2,05	2,00	1,97	1,94	1,91	1,89	1,87	1,86	1,85	1,85
$f_m = \frac{p \cdot l_x^4}{E \cdot d^3}$	0,0188	0,0212	0,0236	0,0260	0,0284	0,0308	0,0329	0,0351	0,0371	0,0391	0,0409

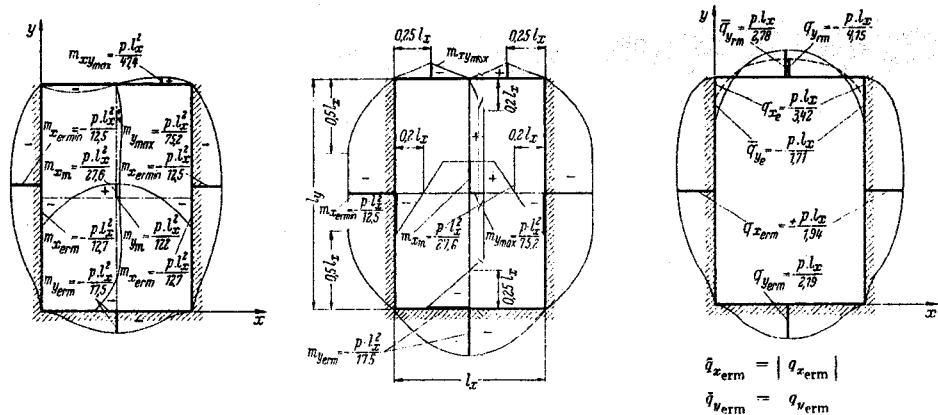
$l_y:l_x$	1,50	1,55	1,60	1,65	1,70	1,75	1,80	1,85	1,90	1,95	2,00
$m_{x_{erm}} = -$	10,6	10,3	10,1	9,9	9,7	9,5	9,4	9,2	9,0	8,9	8,8
$m_{x_m} =$	25,2	24,2	23,3	22,5	21,7	21,1	20,5	20,0	19,5	19,1	18,7
$m_{y_{erm}} = -$	$p \cdot l_x^2$ : 12,7	12,6	12,6	12,5	12,5	12,4	12,4	12,3	12,3	12,3	12,3
$m_{y_m} =$	55,0	58,2	61,6	65,6	70,4	75,0	79,6	84,7	89,8	95,4	101,0
$q_{x_{erm}} =$	1,71	1,70	1,69	1,68	1,67	1,66	1,65	1,64	1,63	1,62	1,61
$q_{x_{rm}} = -$	$p \cdot l_x$ : 3,03	2,99	2,95	2,91	2,88	2,85	2,83	2,80	2,77	2,76	2,75
$q_{z_{rm}} =$	2,51	2,50	2,50	2,49	2,49	2,48	2,48	2,48	2,47	2,47	2,47
$q_{y_{erm}} = \pm$	1,85	1,84	1,84	1,84	1,84	1,83	1,83	1,83	1,83	1,82	1,82
$f_m = \frac{p \cdot l_x^4}{E \cdot d^3}$	0,0409	0,0426	0,0442	0,0457	0,0471	0,0484	0,0495	0,0507	0,0518	0,0529	0,0539



جدول ۸ دال با سه لبه گیردار و یک لبه ساده تحت بار گسترده یکنواخت

$I_y : I_x$	1,00	1,05	1,10	1,15	1,20	1,25	1,30	1,35	1,40	1,45	1,50
$m_{x_{\text{erm}}}$	16,2	15,3	14,8	14,2	13,9	13,5	13,2	12,9	12,7	12,6	12,5
$m_{x_m}$	$p \cdot l_x^2 :$ 44,1	40,5	37,9	35,5	33,8	32,3	31,0	29,9	29,0	28,2	27,6
$m_{y_{\text{erm}}}$	$p \cdot l_x^2 :$ 18,3	17,9	17,7	17,6	17,5	17,5	17,5	17,5	17,5	17,5	17,5
$m_{y_{\text{max}}}$	$p \cdot l_x^2 :$ 55,9	57,5	60,3	64,2	66,2	67,7	69,0	70,5	72,0	73,4	75,2
$q_{x_{\text{erm}}} = \pm$	2,11	2,05	2,01	1,97	1,96	1,94	1,93	1,92	1,92	1,93	1,94
$q_{y_{\text{erm}}}$	$p \cdot l_x^2 :$ 2,21	2,14	2,10	2,09	2,09	2,10	2,11	2,12	2,13	2,16	2,19
$q_{x_m}$	$p \cdot l_x^2 :$ 4,11	4,10	4,10	4,10	4,11	4,12	4,13	4,14	4,15	4,15	4,15
$q_{y_m}$	3,04	2,93	2,87	2,88	2,81	2,79	2,79	2,78	2,78	2,78	2,78
$f_m = \frac{p \cdot l_x^4}{E \cdot d^3} \cdot$	0,0188	0,0202	0,0214	0,0226	0,0236	0,0245	0,0253	0,0261	0,0268	0,0274	0,0280

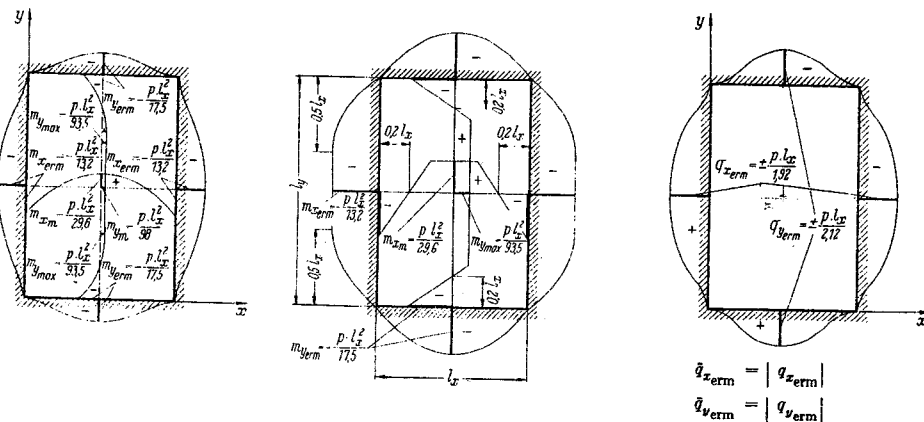
$I_y : I_x$	1,50	1,55	1,60	1,65	1,70	1,75	1,80	1,85	1,90	1,95	2,00
$m_{x_{\text{erm}}}$	12,5	12,4	12,3	12,2	12,2	12,1	12,1	12,0	12,0	12,0	12,0
$m_{x_m}$	$p \cdot l_x^2 :$ 27,6	27,0	26,5	26,1	25,7	25,3	25,1	24,9	24,7	24,6	24,5
$m_{y_{\text{erm}}}$	$p \cdot l_x^2 :$ 17,5	17,5	17,5	17,5	17,5	17,5	17,5	17,5	17,5	17,5	17,5
$m_{y_{\text{max}}}$	$p \cdot l_x^2 :$ 75,2	76,9	78,7	80,5	82,5	84,6	86,8	89,2	91,7	94,3	97,0
$q_{x_{\text{erm}}} = \pm$	1,94	1,94	1,94	1,94	1,94	1,94	1,94	1,94	1,95	1,95	1,95
$q_{y_{\text{erm}}}$	$p \cdot l_x^2 :$ 2,19	2,19	2,19	2,19	2,19	2,20	2,20	2,20	2,21	2,21	2,21
$q_{x_m}$	$p \cdot l_x^2 :$ 4,15	4,15	4,15	4,15	4,15	4,15	4,15	4,15	4,15	4,15	4,15
$q_{y_m}$	2,78	2,78	2,78	2,78	2,78	2,78	2,78	2,78	2,78	2,78	2,78
$f_m = \frac{p \cdot l_x^4}{E \cdot d^3} \cdot$	0,0280	0,0285	0,0289	0,0294	0,0298	0,0301	0,0303	0,0305	0,0307	0,0308	0,0309



جدول ۹ دال با چهار لبه گیردار تحت بار گستردہ یکنواخت

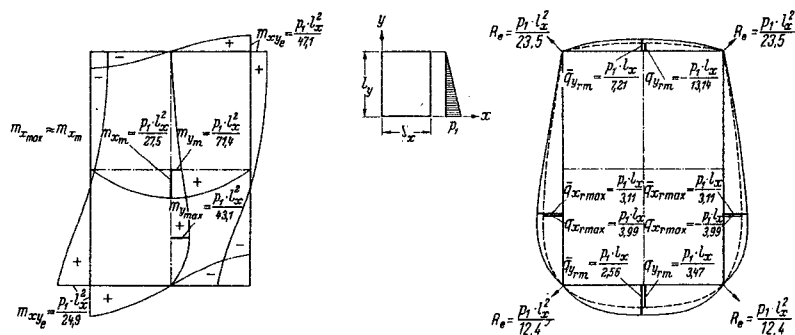
$l_y : l_x$	1,00	1,05	1,10	1,15	1,20	1,25	1,30	1,35	1,40	1,45	1,50
$m_{x_{erm}} = -$	19,4	18,2	17,1	16,3	15,5	14,9	14,5	14,0	13,7	13,4	13,2
$m_{x_m} = -$	56,8	50,6	46,1	42,4	39,4	37,0	34,8	33,3	31,9	30,6	29,6
$m_{y_{erm}} = -$	19,4	18,8	18,4	18,1	17,9	17,7	17,6	17,5	17,5	17,5	17,5
$m_{y_{max}} =$	56,8	58,2	60,3	62,6	65,8	69,4	73,6	78,4	83,4	89,4	93,5
$q_{x_{erm}} = \pm$	2,24	2,17	2,10	2,05	2,01	1,98	1,96	1,94	1,92	1,92	1,92
$q_{y_{erm}} = \pm$	2,24	2,20	2,16	2,14	2,12	2,11	2,10	2,09	2,10	2,12	2,12
$f_m = \frac{p \cdot l_x^4}{E \cdot d^3}$	0,0152	0,0167	0,0181	0,0195	0,0207	0,0219	0,0230	0,0240	0,0248	0,0257	0,0264

$l_y : l_x$	1,50	1,55	1,60	1,65	1,70	1,75	1,80	1,85	1,90	1,95	2,0
$m_{x_{erm}} = -$	13,2	13,0	12,8	12,7	12,5	12,4	12,3	12,2	12,1	12,0	12,0
$m_{x_m} = -$	29,6	28,8	28,1	27,5	26,9	26,4	26,0	25,7	25,4	25,2	25,0
$m_{y_{erm}} = -$	17,5	17,5	17,5	17,5	17,5	17,5	17,5	17,5	17,5	17,5	17,5
$m_{y_{max}} =$	93,5	96,1	98,1	99,9	101,3	102,4	103,3	104,0	104,6	104,9	105,0
$q_{x_{erm}} = \pm$	1,92	1,92	1,92	1,92	1,91	1,91	1,91	1,91	1,91	1,91	1,91
$q_{y_{erm}} = \pm$	2,12	2,12	2,12	2,12	2,12	2,12	2,12	2,12	2,13	2,13	2,13
$f_m = \frac{p \cdot l_x^4}{E \cdot d^3}$	0,0264	0,0271	0,0277	0,0282	0,0287	0,0291	0,0294	0,0297	0,0300	0,0302	0,0304



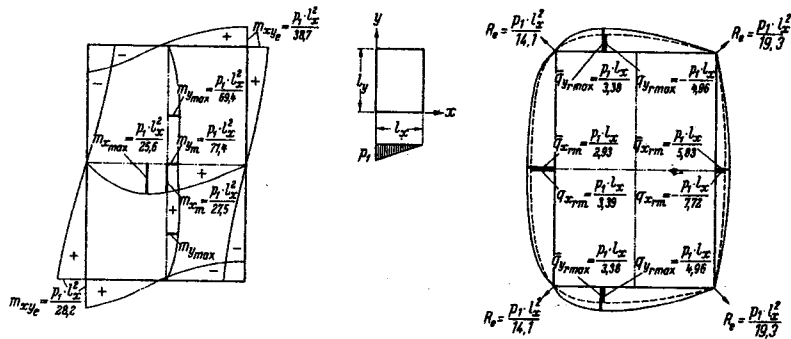
### جدول ۱۱ دال با چهار لبه ساده تحت بارگستردۀ مثلثی

$l_y : l_z$	1,0	1,1	1,2	1,3	1,4	1,5	2,0	
$m_{x_m}$	=	54,3	44,6	38,2	33,5	30,1	27,5	20,7
$m_{y_{\max}}$	=	45,5	44,2	43,5	42,9	42,7	43,1	43,1
$m_{xv_e(y=0)}$	= ±	35,8	32,4	29,8	27,7	26,2	24,9	21,3
$m_{xy_e(y=l_y)}$	= ±	$p_1 \cdot l_z^2 :$	54,0	50,7	48,8	47,6	47,1	52,4
$R_e(y=0)$	=		17,9	16,2	14,9	13,8	13,1	12,4
$R_e(y=l_y)$	=	$p_1 \cdot l_z^2 :$	27,0	25,3	24,4	23,8	23,5	26,2
$q_{x_{\max}}$	= ±		5,23	4,87	4,58	4,34	4,15	3,99
$q_{z_{\max}}$	=	3,77	3,57	3,41	3,29	3,19	3,11	2,79
$q_{y_{\rm rm}(y=0)}$	=	$p_1 \cdot l_z^2 :$	4,03	3,86	3,73	3,63	3,54	3,47
$\bar{q}_{y_{\rm rm}(y=0)}$	=		3,18	3,00	2,85	2,73	2,64	2,56
$q_{y_{\rm rm}(y=l_y)}$	= -	$p_1 \cdot l_z^2 :$	11,1	11,3	11,6	12,1	12,6	13,1
$\bar{q}_{y_{\rm rm}(y=l_y)}$	=		7,04	6,92	6,90	6,95	7,06	7,21
$f_m$	= $\frac{p_1 \cdot l_z^4}{E \cdot d^3}$ .	0,0244	0,0292	0,0339	0,0383	0,0425	0,0463	0,0608



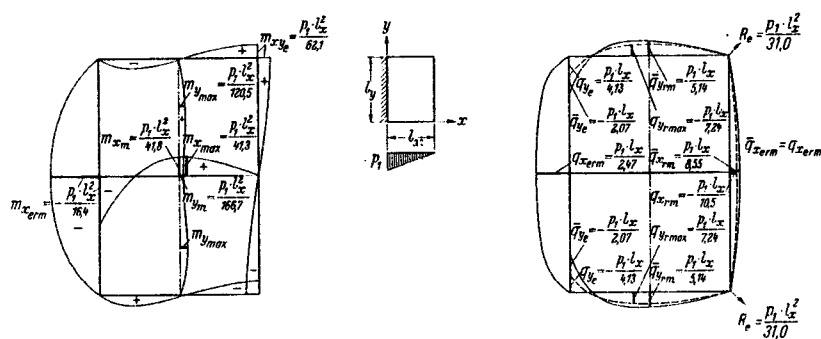
جدول ۱۰ دال با چهار لبه ساده تحت بار گسترده مثلثی

$I_y : I_x$	1,0	1,1	1,2	1,3	1,4	1,5	2,0
$m_{x_{max}}$	45,5	38,9	34,2	30,8	27,9	25,6	19,8
$m_{y_{max}}$	54,3	55,9	58,1	61,7	65,8	69,4	80,6
$m_{xy_e(x=0)}$	35,8	33,3	31,4	30,0	29,1	28,2	26,6
$m_{xy_e(x=l_x)}$	54,0	48,5	44,8	42,2	40,2	38,7	35,5
$R_{e(x=0)}$	17,9	16,6	15,7	15,0	14,5	14,1	13,3
$R_{e(x=l_x)}$	27,0	24,2	22,4	21,1	20,1	19,8	17,7
$a_{x_{rm}(x=0)}$	4,03	3,84	3,69	3,57	3,47	3,39	3,16
$\bar{d}_{x_{rm}(x=0)}$		3,18	3,10	3,03	2,99	2,95	2,91
$a_{x_{rm}(x=l_x)}$		11,1	10,0	9,19	8,57	8,09	7,72
$\bar{d}_{x_{rm}(x=l_x)}$		7,04	6,60	6,30	6,08	5,98	5,83
$a_{y_{rmmax}}$	±	5,23	5,14	5,07	5,02	4,98	4,90
$\bar{d}_{y_{rmmax}}$		3,77	3,64	3,55	3,47	3,42	3,38
$f_m = \frac{P_1 \cdot l_x^4}{E \cdot d^3}$	0,0244	0,0292	0,0389	0,0388	0,0425	0,0468	0,0608



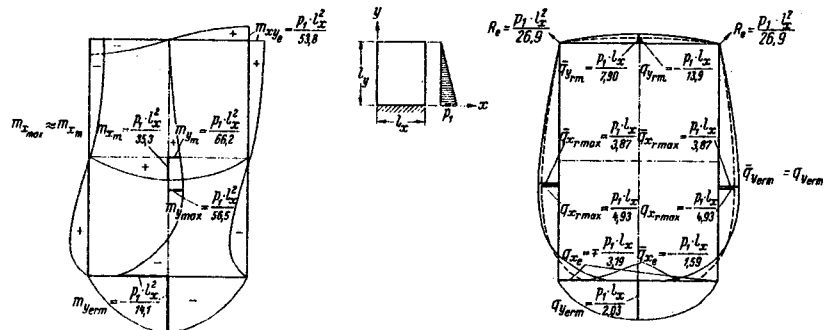
جدول ۱۲ دال با سه لبه ساده و یک لبه گیردار تحت بار گسترده مثلثی

$l_y : l_x$	1,0	1,1	1,2	1,3	1,4	1,5	2,0
$m_{x,rm}$	20,7	19,1	18,2	17,4	16,8	16,4	15,3
$m_{x,max}$	63,6	56,2	51,0	46,7	43,8	41,8	35,7
$m_{y,max}$	$p_1 \cdot l_x^2 :$	90,1	98,0	108,8	112,3	116,2	120,5
$m_{y,te(x=l_x)}$	$\pm$	73,0	69,0	65,8	64,2	62,9	61,0
$R_{te(x=l_x)}$	$=$	36,5	34,5	32,9	32,1	31,4	30,5
$q_{x,rm}$	$=$	2,61	2,54	2,52	2,49	2,48	2,46
$q_{x,rm}(x=l_x)$	$= -$	18,1	12,2	11,6	11,1	10,8	10,0
$\bar{q}_{x,rm}(x=l_x)$	$=$	$p_1 \cdot l_x :$	8,85	8,68	8,50	8,47	8,50
$q_{y,rm}$	$\pm$	7,13	7,16	7,17	7,19	7,22	7,24
$\bar{q}_{y,rm}$	$=$	5,23	5,21	5,17	5,17	5,16	5,14
$f_m$	$= \frac{p_1 \cdot l_x^4}{E \cdot d^3}$	0,0154	0,0174	0,0192	0,0208	0,0221	0,0231
							0,0264



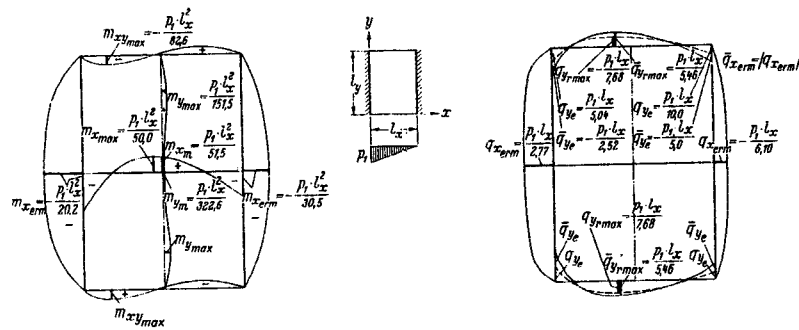
جدول ۱۳ دال با سه لبه ساده و یک لبه گیردار تحت بار گستردہ مثلثی

$l_y : l_x$	1,0	1,1	1,2	1,3	1,4	1,5	2,0
$m_{x_m}$	90,1	69,5	55,8	46,7	40,2	35,3	23,6
$m_{y_{erm}}$	20,7	18,6	17,0	15,8	14,8	14,1	11,8
$m_{y_{max}}$	$p_1 \cdot l_x^2 :$	63,6	60,6	59,2	57,8	56,8	56,5
$m_{xy_e (y=l_y)}$		73,0	65,4	60,6	57,2	54,9	54,9
$R_e (y=l_y)$	36,5	32,7	30,3	28,6	27,4	26,9	27,4
$q_{x_{rmax}}$	$\pm$	7,18	6,48	5,97	5,55	5,21	4,98
$q_{x_{rmin}}$		5,28	4,82	4,49	4,28	4,03	3,87
$q_{y_{erm}}$	$p_1 \cdot l_x :$	2,61	2,43	2,29	2,19	2,10	1,80
$q_{y_{rm} (y=l_y)}$		18,1	13,0	13,0	13,2	13,5	13,9
$q_{y_{rm} (y=l_y)}$	8,85	8,88	8,10	7,94	7,90	7,90	8,75
$f_m$	$\frac{p_1 \cdot l_x^4}{E \cdot d^3}$	0,0154	0,0195	0,0238	0,0281	0,0324	0,0365



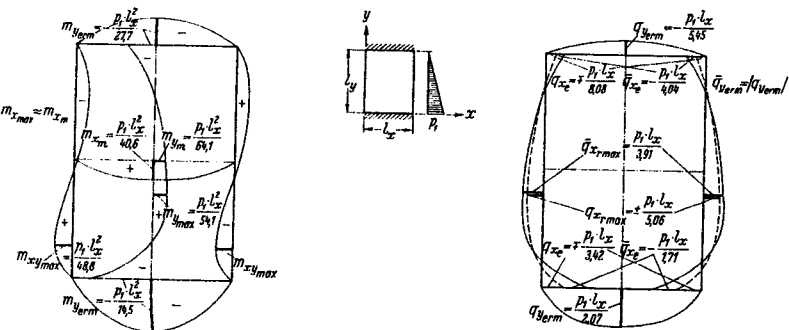
جدول ۱۴ دال با دو لبه ساده و دو لبه گیردار تحت بار گسترده مثالی

$l_y : l_x$	1,0	1,1	1,2	1,3	1,4	1,5	2,0
$m_{x_{erm}} (x=0)$	23,2	22,2	21,5	20,9	20,6	20,2	20,0
$m_{x_{erm}} (x=l_x)$	37,6	34,9	33,1	31,9	31,2	30,5	30,0
$m_{x_{max}}$	$p_1 \cdot l_x^2 :$ 65,8	$p_1 \cdot l_x^2 :$ 60,6	$p_1 \cdot l_x^2 :$ 56,8	$p_1 \cdot l_x^2 :$ 54,1	$p_1 \cdot l_x^2 :$ 51,3	$p_1 \cdot l_x^2 :$ 50,0	$p_1 \cdot l_x^2 :$ 46,7
$m_{y_{max}}$	123,5	133,3	142,9	147,0	149,3	151,5	154,0
$m_{x_{Umax}}$	85,5	88,4	82,7	82,7	82,7	82,6	83,4
$m_{x_{Umax}}$	2,77	2,76	2,75	2,75	2,76	2,77	2,83
$q_{x_{erm}} (x=0)$	6,45	6,20	6,11	6,09	6,09	6,10	6,29
$q_{x_{erm}} (x=l_x)$	$p_1 \cdot l_x :$ 7,54	$p_1 \cdot l_x :$ 7,58	$p_1 \cdot l_x :$ 7,62	$p_1 \cdot l_x :$ 7,65	$p_1 \cdot l_x :$ 7,66	$p_1 \cdot l_x :$ 7,68	$p_1 \cdot l_x :$ 7,71
$q_{y_{rmmax}}$	5,45	5,44	5,44	5,45	5,46	5,46	5,46
$f_m$	$\frac{p_1 \cdot l_x^4}{E \cdot d^3} \cdot$	0,0115	0,0135	0,0133	0,0140	0,0145	0,0148
							0,0157



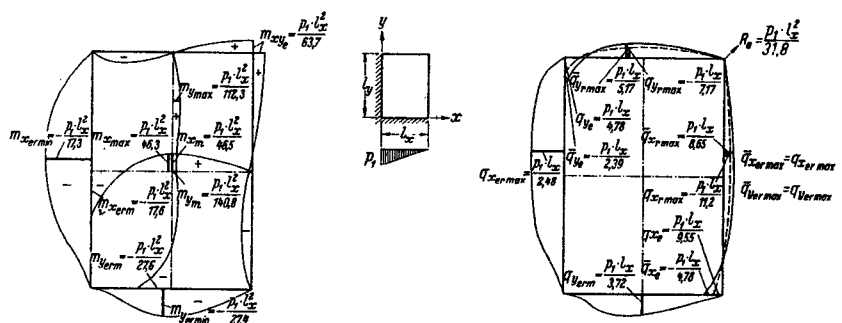
جدول ۱۵ دال با دو لبه ساده و دو لبه گیردار تحت بار گسترده مثلثی

$I_y : I_z$	1,0	1,1	1,2	1,3	1,4	1,5	2,0
$m_{x_{\max}}$	123,5	91,7	70,9	56,8	47,6	40,6	25,0
$m_{y_{\text{erm}}(y=0)}$	23,2	20,4	18,3	16,7	15,5	14,5	11,9
$m_{y_{\text{erm}}(y=l_y)}$	$p_1 \cdot l_z^2 :$ 37,6 65,8	33,7 61,3	31,2 57,5	29,6 55,5	28,3 54,3	27,7 54,1	28,5 55,2
$m_{y_{\max}}$	$\pm$	85,5	71,9	62,9	56,8	51,6	48,8
$m_{xy_{\max}}$	$\pm$	7,54	6,82	6,24	5,76	5,38	4,07
$q_{z_{\max}}$	$\pm$	5,45	4,99	4,62	4,32	4,10	3,91
$\bar{q}_{x_{\max}}$	$p_1 \cdot l_z :$ 2,77	2,57	2,40	2,27	2,16	2,07	1,81
$q_{y_{\text{erm}}(y=0)}$	$p_1 \cdot l_z :$ 6,45	5,96	5,71	5,53	5,47	5,45	5,92
$\bar{q}_{y_{\text{erm}}(y=l_y)}$							
$f_m$	$\frac{p_1 \cdot l_z^4}{E \cdot d^3}$	0,0115	0,0152	0,0192	0,0234	0,0277	0,0319
							0,0507



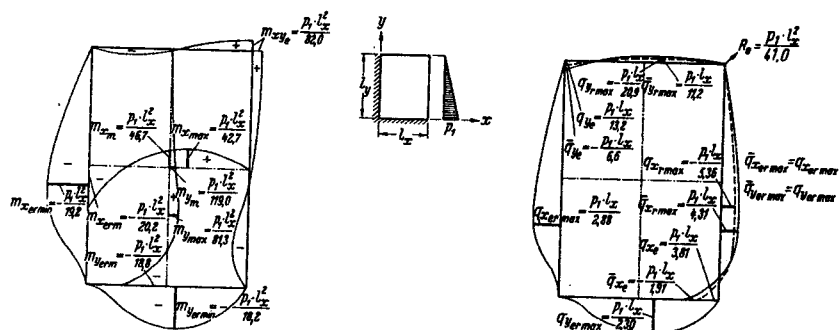
جدول ۱۶ دال با دو لبه گیردار و دو لبه ساده تحت بار گسترده مثلثی

$l_y : l_x$	1,0	1,1	1,2	1,3	1,4	1,5	2,0
$m_{x_{\text{ermin}}}$	24,1	21,7	20,0	18,9	17,9	17,3	15,6
$m_{x_{\text{max}}}$	88,3	70,9	61,0	54,6	50,0	46,3	37,7
$m_{y_{\text{ermin}}}$	91,0	29,4	28,6	27,9	27,5	27,4	27,1
$m_{y_{\text{max}}}$	86,3	90,9	97,1	108,2	107,6	112,3	126,6
$m_{z_{\nu_e}}$	85,5	77,5	71,9	68,1	65,4	63,7	61,0
$R_e$	42,7	37,7	35,9	34,0	32,7	31,8	30,5
$q_{x_{\text{ermax}}(z=0)}$	2,77	2,67	2,60	2,54	2,51	2,48	2,43
$q_{x_{\text{rmax}}(z=l_x)}$	16,0	14,8	13,1	12,3	11,6	11,2	10,2
$q_{x_{\text{rmax}}(z=l_x)}$	10,1	9,47	9,02	8,88	8,70	8,65	8,91
$q_{y_{\text{ermax}}(y=0)}$	3,94	3,86	3,79	3,75	3,73	3,72	3,70
$q_{y_{\text{rmax}}(y=l_y)}$	7,22	7,18	7,18	7,17	7,17	7,17	7,14
$q_{y_{\text{rmax}}(y=l_y)}$	5,43	5,33	5,27	5,22	5,19	5,17	5,13
$f_m$	$\frac{p_1 \cdot l_x^4}{E \cdot d^3}$	0,0117	0,0189	0,0160	0,0178	0,0195	0,0208
							0,0254



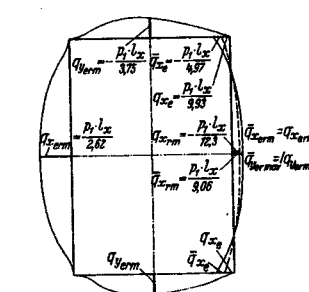
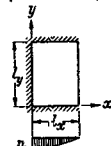
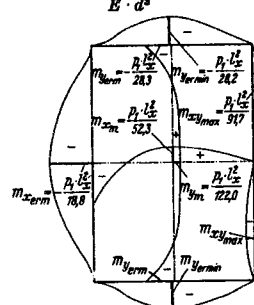
جدول ١٧ دال با دو لبه گیردار و دو لبه ساده تحت بار گسترده مثلثی

$i_y : i_z$	1,0	1,1	1,2	1,3	1,4	1,5	2,0
$m_{x_{\text{ermin}}}$	31,0	27,1	24,3	22,2	20,7	19,2	15,4
$m_{x_{\text{max}}}$	86,3	70,5	59,5	51,6	46,5	42,7	33,0
$m_{y_{\text{ermin}}}$	24,1	22,0	20,7	19,6	18,8	18,2	16,2
$m_{y_{\text{max}}}$	83,3	82,0	81,3	81,3	81,3	81,3	81,3
$m_{xy_s}$	85,5	80,6	87,7	77,6	78,7	82,0	96,2
$R_e$	42,7	40,3	39,3	37,8	39,3	41,0	48,1
$q_{x_{\text{ermax}}(z=0)}$	3,94	3,66	3,41	3,20	3,02	2,88	2,47
$q_{x_{\text{rmax}}(z=l_x)}$	7,22	6,64	6,20	5,88	5,57	5,36	4,50
$\bar{q}_{x_{\text{rmax}}(z=l_x)}$	5,43	5,08	4,81	4,65	4,48	4,31	3,78
$q_{y_{\text{ermax}}(y=0)}$	2,77	2,62	2,51	2,43	2,36	2,30	2,12
$q_{y_{\text{rmax}}(y=l_y)}$	16,0	16,6	17,4	18,4	19,6	20,9	28,1
$\bar{q}_{y_{\text{rmax}}(y=l_y)}$	10,1	10,0	10,1	10,4	10,7	11,2	14,2
$I_m$	$\frac{p_1 \cdot l_x^4}{E \cdot d^3}$	0,0117	0,0141	0,0163	0,0184	0,0208	0,0219
							0,0275

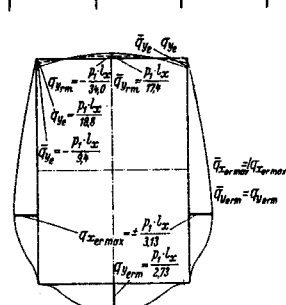
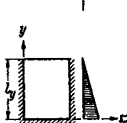
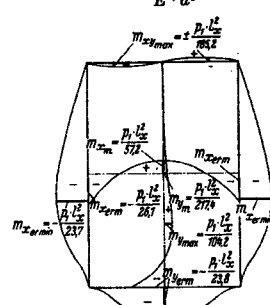


جدول ۱۸ دال با سه لبه گیردار و یک لبه ساده تحت بار گستردۀ مثلثی

$l_y : l_x$	1,0	1,1	1,2	1,3	1,4	1,5	2,0
$m_{x_{erm}}$	29,0	25,3	22,9	21,1	19,6	18,8	16,6
$m_{x_{max}}$	104,2	86,0	75,2	64,9	57,8	52,8	39,4
$m_{y_{erm}}$	34,5	32,1	30,3	29,2	28,6	28,2	27,8
$m_{y_{max}}$	95,2	95,2	98,0	103,1	112,2	122,0	181,9
$m_{zy_{max}}$	149,2	128,2	113,7	103,1	97,2	91,7	85,5
$q_{x_{erm}} (z=0)$	3,10	2,93	2,82	2,73	2,67	2,62	2,52
$q_{x_{erm}} (z=l_z)$	21,3	18,0	15,8	14,2	13,1	12,8	10,4
$q_{x_{erm}} (z=l_y)$	12,7	11,2	10,3	9,72	9,32	9,06	8,89
$q_{y_{erm}} (y=0 \text{ u. } l_y)$	4,11	4,01	3,93	3,85	3,79	3,75	3,70
$f_m = \frac{p_1 \cdot l_x^4}{E \cdot d^3}$	0,0088	0,0110	0,0131	0,0151	0,0170	0,0187	0,0242

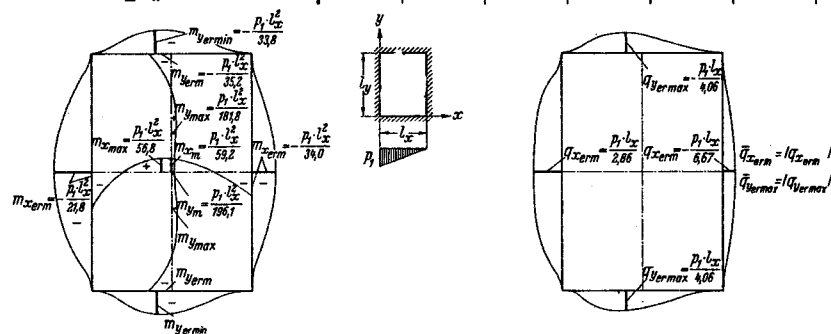


$l_y : l_x$	1,0	1,1	1,2	1,3	1,4	1,5	2,0
$m_{x_{erm}}$	34,5	31,1	28,7	26,7	25,8	23,7	20,2
$m_{x_{max}}$	95,2	81,8	71,4	64,9	60,6	57,2	49,5
$m_{y_{erm}}$	29,0	26,0	25,8	24,9	24,1	23,8	21,9
$m_{y_{max}}$	104,2	104,2	104,2	104,2	104,2	104,2	104,2
$m_{zy_{max}}$	149,2	153,9	158,8	166,6	175,5	185,2	243,9
$q_{x_{erm}} (z=0 \text{ u. } l_z)$	4,11	3,80	3,57	3,38	3,24	3,18	2,82
$q_{x_{erm}} (y=0)$	3,10	2,99	2,90	2,83	2,77	2,73	2,60
$q_{y_{erm}} (y=l_y)$	21,3	23,4	25,8	28,4	31,2	34,0	47,3
$q_{y_{erm}} (y=l_y)$	12,7	13,2	14,1	15,1	16,2	17,4	23,8
$f_m = \frac{p_1 \cdot l_x^4}{E \cdot d^3}$	0,0088	0,0101	0,0118	0,0122	0,0130	0,0136	0,0147

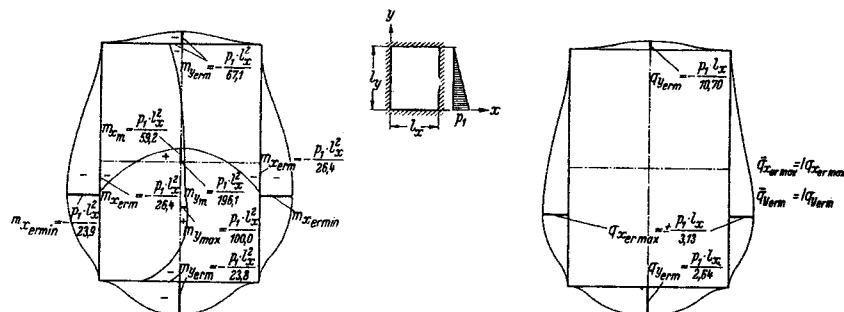


جدول ۱۹ دال با چهار لبه گیردار تحت بار گسترده مثلثی

$l_y : l_x$	1,0	1,1	1,2	1,3	1,4	1,5	2,0
$m_{x_{erm}}(z=0)$	30,0	26,7	24,7	23,3	22,2	21,8	20,2
$m_{x_{erm}}(z=l_x)$	56,2	47,1	41,7	38,1	35,5	34,0	30,4
$m_{x_{max}}$	= $p_1 \cdot l_x^2 :$	98,0	82,6	73,0	65,8	60,6	56,8
$m_{y_{erm}}$	= $p_1 \cdot l_x^2 :$	36,9	36,0	35,1	34,6	34,4	33,8
$m_{y_{max}}$	= $p_1 \cdot l_x^2 :$	113,6	120,4	131,5	147,0	166,6	181,8
$q_{x_{erm}}(z=0)$	= $p_1 \cdot l_x^2 :$	3,07	2,93	2,86	2,86	2,86	2,86
$q_{x_{erm}}(z=l_x)$	= $p_1 \cdot l_x^2 :$	8,25	7,35	6,67	6,67	6,67	6,67
$q_{y_{erm}}(y=0 \text{ u. } l_y)$	= $\pm$	4,14	4,12	4,08	4,07	4,07	4,08
$f_m$	= $\frac{p_1 \cdot l_x^4}{E \cdot d^3} .$	0,0076	0,0091	0,0104	0,0115	0,0124	0,0132



$l_y : l_x$	1,0	1,1	1,2	1,3	1,4	1,5	2,0
$m_{x_{erm}}$	36,9	33,1	29,8	27,5	25,6	23,9	20,2
$m_{x_m}$	= $p_1 \cdot l_x^2 :$	113,6	91,7	78,7	69,9	63,7	59,2
$m_{y_{erm}}(y=0)$	= $p_1 \cdot l_x^2 :$	30,0	27,5	26,1	25,0	24,1	23,8
$m_{y_{erm}}(y=l_y)$	= $p_1 \cdot l_x^2 :$	56,2	55,5	57,2	59,5	62,9	67,1
$m_{y_{max}}$	= $p_1 \cdot l_x^2 :$	98,0	98,0	99,0	99,0	100,0	100,0
$q_{x_{erm}}(z=0 \text{ u. } l_x)$	= $\pm$	4,14	3,86	3,59	3,39	3,25	3,13
$q_{y_{erm}}(y=0)$	= $p_1 \cdot l_x :$	3,07	2,90	2,80	2,74	2,70	2,64
$q_{y_{erm}}(y=l_y)$	= $p_1 \cdot l_x :$	8,25	8,40	8,77	9,40	9,99	10,70
$f_m$	= $\frac{p_1 \cdot l_x^4}{E \cdot d^3} .$	0,0076	0,0091	0,0104	0,0115	0,0124	0,0132

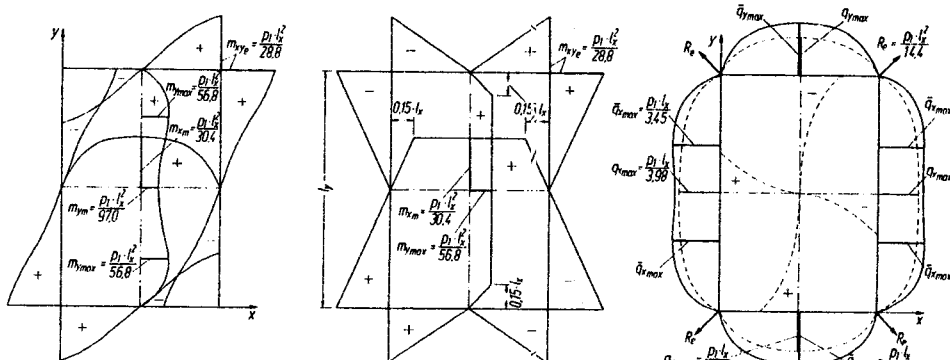


جدول ۲۰

$l_y : l_x$	0,5	0,55	0,6	0,65	0,7	0,75	0,8	0,85	0,9	0,95	1,0
$m_{x\max} =$	211	179	154	134	117	102	91,0	81,0	72,5	65,4	59,3
$m_{y\max} =$	92,7	82,3	75,0	69,9	66,3	63,8	62,1	60,9	60,2	59,6	59,3
$m_{xye} = \pm$	$p_1 \cdot l_x^2 :$	101	87,0	75,9	67,2	60,4	54,9	50,4	46,7	43,7	41,2
$R_e =$	50,7	43,5	37,9	33,6	30,2	27,4	25,2	23,3	21,8	20,6	19,5
$q_{x\max} = \pm$	7,41	6,91	6,49	6,13	5,83	5,57	5,35	5,15	4,98	4,83	4,70
$\tilde{q}_{x\max} =$	5,40	5,07	4,79	4,55	4,39	4,20	4,07	3,96	3,86	3,78	3,72
$q_{y\max} = \pm$	$p_1 \cdot l_x :$	7,51	6,94	6,47	6,09	5,73	5,52	5,30	5,11	4,95	4,82
$\tilde{q}_{y\max} =$	6,48	6,03	5,64	5,29	4,97	4,68	4,42	4,20	4,02	3,86	3,72
$f_{\max} =$	$\frac{p_1 \cdot l_x^4}{E \cdot d^3} :$	0,0036	0,0049	0,0065	0,0082	0,0101	0,0122	0,0144	0,0167	0,0190	0,0214
											0,0238

$l_y : l_x$	1,0	1,1	1,2	1,3	1,4	1,5	1,6	1,7	1,8	1,9	2,0
$m_{x\max} =$	59,3	49,6	42,5	37,3	33,4	30,4	28,2	26,4	25,1	24,0	23,1
$m_{y\max} =$	59,3	58,8	58,4	58,0	57,5	56,8	56,1	55,4	54,6	53,8	52,9
$m_{xye} = \pm$	$p_1 \cdot l_x^2 :$	39,1	35,7	33,2	31,4	29,9	28,8	27,8	27,1	26,4	25,3
$R_e =$	19,5	17,8	16,6	15,7	14,9	14,4	13,9	13,5	13,2	12,9	12,6
$q_{x\max} = \pm$	4,70	4,48	4,31	4,17	4,07	3,98	3,92	3,86	3,82	3,79	3,76
$\tilde{q}_{x\max} =$	3,72	3,62	3,56	3,52	3,49	3,45	3,41	3,37	3,32	3,28	3,24
$q_{y\max} = \pm$	$p_1 \cdot l_x :$	4,70	4,50	4,34	4,21	4,11	4,02	3,94	3,87	3,81	3,75
$\tilde{q}_{y\max} =$	3,72	3,50	3,33	3,19	3,03	2,99	2,91	2,85	2,79	2,74	2,70
$f_{\max} =$	$\frac{p_1 \cdot l_x^4}{E \cdot d^3} :$	0,0238	0,0285	0,0330	0,0372	0,0412	0,0448	0,0480	0,0509	0,0534	0,0556
											0,0575



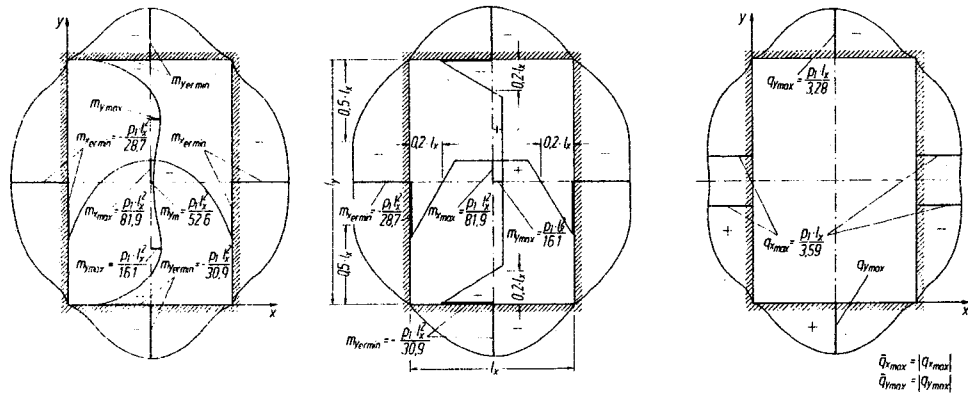
نمودار لنگر  
(توزيع واقعی)

نمودار لنگر  
(توزيع قراردادی)

نمودار برش

جدول ۲۱

$I_y : I_z$	0,5	0,55	0,6	0,65	0,7	0,75	0,8	0,85	0,9	0,95	1,0
$m_{x\text{termin}} = -$	109	94,0	82,0	72,3	64,4	58,0	52,7	48,3	44,7	41,7	39,2
$m_{x\text{max}} =$	$p_1 \cdot I_x^2 :$	534	469	420	377	338	303	269	238	209	184
$m_{y\text{termin}} = -$	$p_1 \cdot I_x^2 :$	106	90,7	77,4	67,3	59,8	54,0	49,5	46,0	43,2	41,0
$m_{y\text{max}} =$		273	238	210	189	175	165	160	157	158	160
$q_{x\text{max}} = \pm$	$p_1 \cdot I_x^2 :$	5,96	5,59	5,27	5,00	4,77	4,56	4,39	4,24	4,11	4,00
$q_{y\text{max}} = \pm$	$p_1 \cdot I_x^2 :$	6,71	6,28	5,88	5,51	5,15	4,83	4,57	4,36	4,18	4,03
$f_{\text{max}} =$	$\frac{p_1 \cdot I_x^4}{E \cdot d^3}$	0,0008	0,0011	0,0015	0,0019	0,0025	0,0030	0,0037	0,0043	0,0050	0,0058
$I_y : I_z$	1,0	1,1	1,2	1,3	1,4	1,5	1,6	1,7	1,8	1,9	2,0
$m_{x\text{termin}} = -$		39,2	35,3	32,7	30,8	29,5	28,7	28,1	27,7	27,4	27,1
$m_{x\text{max}} =$	$p_1 \cdot I_x^2 :$	163	131	110	96,6	87,7	81,9	77,8	74,9	72,5	70,4
$m_{y\text{termin}} = -$	$p_1 \cdot I_x^2 :$	39,2	36,4	34,5	33,0	31,8	30,9	30,0	29,2	28,5	27,9
$m_{y\text{max}} =$		163	169	172	171	167	161	155	149	143	138
$q_{x\text{max}} = \pm$	$p_1 \cdot I_x^2 :$	3,91	3,77	3,69	3,63	3,61	3,59	3,56	3,51	3,46	3,41
$q_{y\text{max}} = \pm$	$p_1 \cdot I_x^2 :$	3,91	3,72	3,57	3,45	3,36	3,28	3,21	3,14	3,08	2,98
$f_{\text{max}} =$	$\frac{p_1 \cdot I_x^4}{E \cdot d^3}$	0,0068	0,0074	0,0085	0,0094	0,0101	0,0106	0,0110	0,0113	0,0115	0,0118

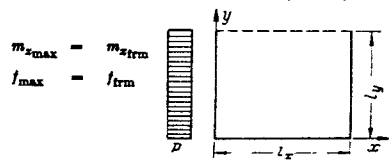


## جدول دال‌ها با سه لبۀ متکی

دال‌ها با سه لبۀ متکی، دال‌هایی هستند که سه لبۀ آنها تکیه داده شده (ساده یا گیردار) و لبۀ چهارم آزاد می‌باشد. در جداول صفحات بعد، ضرایب نیروی برشی و لنگر خمی این دال‌ها برای ضرایب مختلف تکیه‌گاهی تحت بار گسترده یکنواخت و بار مثلثی ارائه شده است.

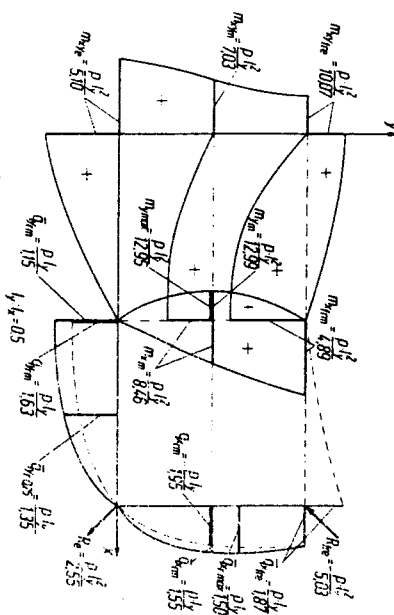
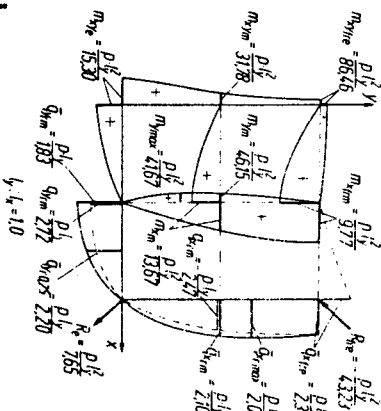
## جدول ۲۲ دال با سه لبه ساده تحت بار بکتواخت

$I_y : I_x$	0,25	0,3	0,4	0,5	0,6	0,7	0,8	0,9	1,0	1,1	1,2	1,3	1,4	1,5
$m_{z_m}$	7,88	7,88	8,04	8,46	9,11	9,97	11,04	12,26	13,67	15,24	16,96	18,83	20,86	23,04
$m_{z_{frm}}$	4,04	4,12	4,41	4,89	5,53	6,34	7,32	8,46	9,77	11,25	12,90	14,73	16,73	18,90
$m_{y_m}$	8,43	8,92	10,51	12,99	16,51	21,27	27,56	35,72	46,15	59,35	75,90	96,51	122,04	158,54
$m_{y_{max}}$	8,43	8,92	10,51	12,95	16,44	20,94	26,58	33,47	41,67	50,42	59,99	70,42	81,67	93,75
$p \cdot I_y^2 :$		$y/I_y = 0,5$	0,5	0,5	0,48	0,45	0,42	0,4	0,38	0,33	0,28	0,26	0,25	0,24
$m_{xy_e}$	2,23	2,74	3,84	5,10	6,58	8,31	10,32	12,65	15,30	18,27	21,56	25,17	29,10	33,34
$m_{xy_m}$	2,55	3,24	4,89	7,03	9,81	13,42	18,10	24,11	31,78	41,51	53,78	69,19	88,44	112,41
$m_{xy_{tre}}$	2,90	3,83	6,32	10,07	15,79	24,47	37,57	57,22	86,46	129,72	193,27	286,29	421,76	618,43
$R_e$	1,11	1,37	1,92	2,55	3,29	4,15	6,16	8,32	7,65	9,13	10,78	12,58	14,55	16,67
$R_{tre}$	1,45	1,91	3,16	5,03	7,89	12,23	18,78	28,61	48,23	64,86	96,63	143,14	210,88	309,21
$q_{z_{rm}}$	1,89	1,90	1,92	1,95	2,02	2,10	2,21	2,33	2,47	2,61	2,77	2,93	3,09	3,25
$q_{x_{rm}}$	1,48	1,48	1,50	1,55	1,62	1,71	1,83	1,96	2,10	2,26	2,43	2,60	2,78	2,96
$q_{z_{tre}}$	1,88	1,84	1,85	1,87	1,93	2,00	2,09	2,20	2,33	2,46	2,61	2,77	2,94	3,11
$q_{y_{rm}}$	1,85	1,88	1,48	1,63	1,80	2,01	2,23	2,47	2,72	2,97	3,23	3,49	3,75	4,03
$q_{y_{max}}$	1,00	1,02	1,07	1,15	1,25	1,38	1,52	1,67	1,83	2,00	2,16	2,34	2,51	2,69
$I_{frm}$	$\frac{p \cdot I_y^4}{E \cdot d^3}$	5,50	8,67	1,87	1,06	0,643	0,409	0,270	0,184	0,129	0,092	0,068	0,050	0,038



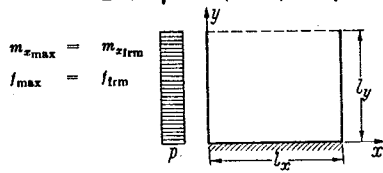
$$R_{tre} = -\frac{p \cdot I_y^3}{5,03}$$

$$R_e = \frac{p \cdot I_y^3}{2,85}$$

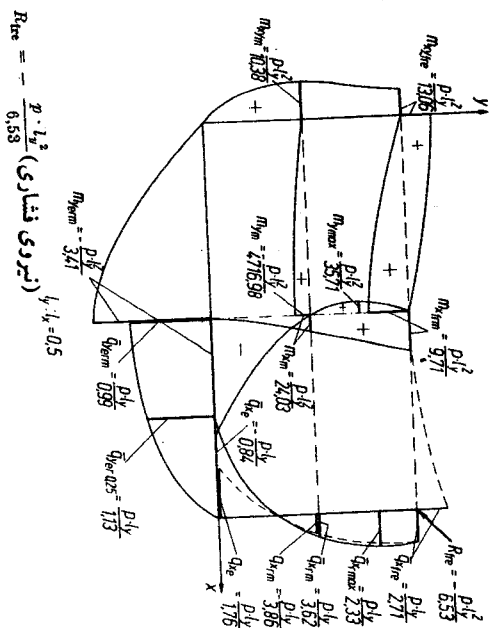
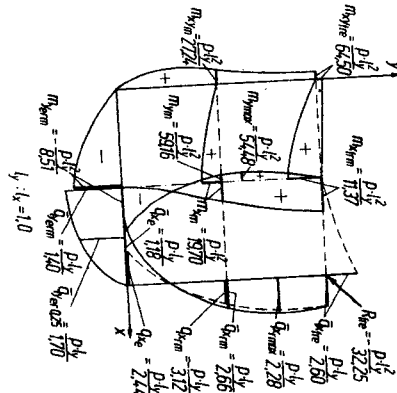


جدول ۲۳ دال با دو لبه ساده یک لبه گیردار تحت بار استرده یکنواخت

$t_y : t_x$	0,25	0,3	0,4	0,5	0,6	0,7	0,8	0,9	1,0	1,1	1,2	1,3	1,4	1,5
$m_{x_m}$	73,19	52,29	31,74	24,03	20,57	18,92	18,63	18,92	19,70	20,68	21,08	23,51	26,24	27,18
$m_{x_{trm}}$	26,43	18,09	11,75	9,71	9,09	9,13	9,59	10,36	11,37	12,61	14,06	15,72	17,58	19,64
$m_{y_{erm}}$	-	2,26	2,42	2,85	3,41	4,11	4,94	5,95	7,14	8,51	10,06	11,79	13,72	15,82
$m_{y_m}$	-	-12,69	17,24	-43,58	-4716,98	82,03	86,95	52,20	53,97	59,16	67,51	78,68	92,89	110,55
$m_{y_{max}}$	$p \cdot l_y^2 :$				35,71				54,48					126,58
					$y/l_y = 0,75$				$y/l_y = 0,6$					$y/l_y = 0,43$
$m_{z_{rm}}$	$\pm$	8,00	8,32	9,11	10,38	12,21	14,66	17,87	21,99	27,24	33,83	42,07	52,32	65,00
$m_{z_{trm}}$	$\pm$	8,08	9,02	10,48	13,06	17,10	23,18	32,15	45,35	64,50	92,32	132,53	190,51	273,74
$R_{trm}$	-	4,34	4,51	5,24	6,53	8,55	11,59	16,07	22,67	32,25	46,10	66,26	95,25	136,87
$q_{x_{rm}}$	$\pm$	4,78	4,69	4,31	3,86	3,52	3,30	3,17	3,12	3,12	3,16	3,23	3,32	3,43
$q_{x_{trm}}$	$\pm$	5,58	5,26	4,38	3,62	3,14	2,86	2,71	2,65	2,66	2,71	2,79	2,89	3,02
$q_{z_{rm}}$	$p \cdot l_y :$	2,96	2,94	2,84	2,71	2,60	2,58	2,52	2,54	2,60	2,68	2,79	2,91	3,05
$q_{z_{trm}}$	$p \cdot l_y :$	0,97	0,96	0,96	0,90	1,04	1,11	1,20	1,29	1,40	1,52	1,64	1,77	1,90
$q_{y_{erm}}$														2,08
$f_{trm}$	$= \frac{p \cdot l_y^4}{E \cdot d^3} :$	1,20	1,05	0,780	0,563	0,404	0,200	0,209	0,152	0,111	0,083	0,062	0,047	0,036
														0,028



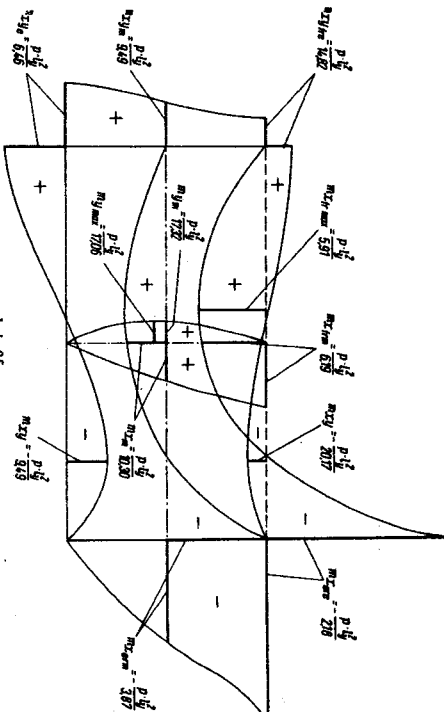
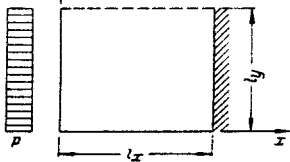
$$R_{trm} = -\frac{p \cdot l_y^2}{6,53} \quad (نیزی فشاری)$$



جدول ۲۴ دال با دو لبه ساده و یک لبه گیردار تحت بار گسترده یکنواخت

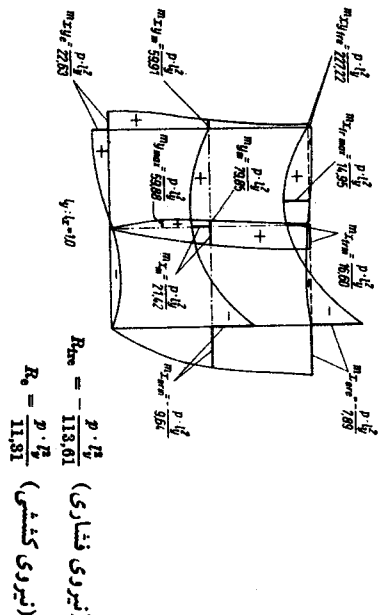
$I_y : I_z$	0,25	0,3	0,4	0,5	0,6	0,7	0,8	0,9	1,0	1,1	1,2	1,3	1,4	1,5
$m_{x_{er0}} = -$	1,94	2,81	3,07	3,87	4,77	5,79	6,93	8,22	9,64	11,22	12,95	14,83	16,88	19,08
$m_{x_{er0}} = -$	0,80	1,02	1,53	2,18	2,98	3,94	5,08	6,40	7,89	9,56	11,40	13,41	15,58	17,92
$m_{x_{en}} = -$	7,99	8,21	9,04	10,30	11,91	15,85	16,09	18,61	21,42	24,55	27,91	31,57	35,57	39,87
$m_{x_{erM}} = -$	4,18	4,41	5,14	6,19	7,68	9,30	11,38	13,81	16,60	19,76	23,29	27,17	31,41	35,99
$m_{x_{ermax}} = -$	4,18	4,13	4,88	5,91	7,23	8,75	10,49	12,60	14,95	17,85	20,94	24,31	28,10	32,18
$z/l_x$	= 0,5	0,48	0,44	0,42	0,41	0,40	0,39	0,38	0,38	0,38	0,38	0,38	0,38	0,38
$m_{y_m} = -$	$p \cdot I_y^2$	9,10	10,08	12,97	17,32	23,47	31,98	43,56	56,11	79,85	107,35	145,64	191,39	258,82
$m_{y_{max}} = -$	$p \cdot I_y^2$	9,05	10,06	12,95	17,06	22,64	29,69	38,43	46,50	59,88	72,45	86,22	101,19	117,36
$y/l_x$	= 0,49	0,48	0,46	0,44	0,40	0,37	0,32	0,28	0,26	0,24	0,22	0,19	0,17	0,15
$m_{x_{re0}} = -$	2,48	3,12	4,01	6,46	8,74	11,44	14,71	16,42	22,63	27,81	32,45	36,06	44,13	50,66
$m_{x_{reM}} = -$	2,89	3,78	6,14	9,49	14,24	20,90	30,11	42,74	59,91	83,12	114,37	156,59	212,37	287,24
$m_{x_{re}} = -$	8,85	4,01	8,34	14,82	25,90	44,88	77,29	132,63	227,22	339,56	669,76	1157,50	2016,4	3548,8
$R_x$	1,2	1,56	2,30	3,23	4,37	5,72	7,35	9,21	11,31	13,65	16,22	19,03	22,06	25,38
$R_{f/re}$	1,67	2,30	4,17	7,41	12,86	22,44	38,64	66,81	118,61	194,7	334,8	578,2	1008,2	1774,4
$\delta_{x_m}$	1,89	1,90	1,95	2,02	2,16	2,33	2,50	2,70	2,90	3,13	3,35	3,59	3,88	4,06
$\delta_{x_{re}}$	1,48	1,49	1,54	1,63	1,77	1,93	2,12	2,33	2,54	2,78	3,03	3,27	3,53	3,80
$\delta_{x_{re}}$	1,83	1,84	1,87	1,94	2,06	2,21	2,38	2,58	2,78	3,02	3,25	3,49	3,75	4,01
$\delta_{x_{er0}}$	0,884	0,942	1,02	1,12	1,20	1,30	1,41	1,53	1,67	1,80	1,94	2,08	2,23	2,38
$\delta_{x_{er0}}$	0,069	0,093	0,159	0,254	0,383	0,551	0,754	0,982	1,22	1,46	1,69	1,91	2,12	2,32
$q_{y_m}$	1,40	1,47	1,67	1,91	2,21	2,53	2,86	3,20	3,50	3,90	4,25	4,60	4,95	5,29
$q_{y_{er0}}$	1,03	1,07	1,20	1,36	1,56	1,77	2,00	2,24	2,46	2,72	2,96	3,21	3,46	3,70
$I_{frm}$	$\frac{p \cdot I_y^2}{E \cdot d^3}$	4,46	2,83	1,81	0,678	0,379	0,225	0,140	0,091	0,061	0,042	0,030	0,022	0,016

$m_{x_{ermin}} = m_{x_{ero}}$



$$R_{x0} = -\frac{p \cdot I_y^2}{7.41} \quad (\text{نیزدی نشاری})$$

$$R_{x0} = -\frac{p \cdot I_y^2}{3.28} \quad (\text{نیزدی کششی})$$

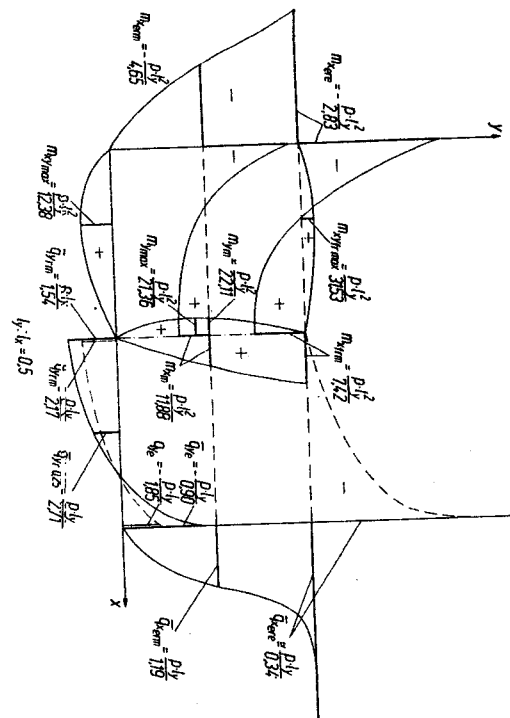
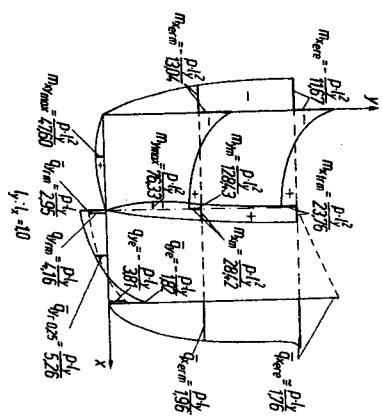
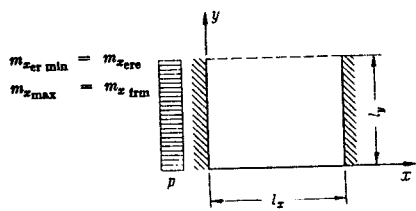


$$R_{x0} = -\frac{p \cdot I_y^2}{7.41} \quad (\text{نیزدی نشاری})$$

$$R_{x0} = -\frac{p \cdot I_y^2}{3.28} \quad (\text{نیزدی کششی})$$

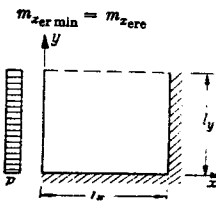
جدول ۲۵ دال با دو لبه گیردار و یک لبه ساده تحت بار گسترده یکنواخت

$l_y : l_z$	0,25	0,3	0,4	0,5	0,6	0,7	0,8	0,9	1,0	1,1	1,2	1,3	1,4	1,5	
$m_{x,rm}$	2,12	2,63	3,55	4,65	5,92	7,39	9,06	10,94	13,04	16,39	17,98	20,81	23,90	27,24	
$m_{x,ere}$	0,90	1,20	1,89	2,83	4,04	5,53	7,30	9,35	11,67	14,25	17,07	20,13	23,43	26,06	
$m_{z,m}$	8,08	8,48	9,86	11,88	14,34	17,25	20,56	24,28	28,42	32,98	38,00	43,48	49,46	55,91	
$m_{z,trm}$	$p \cdot l_y^2$	4,30	4,67	5,80	7,42	9,58	12,27	15,53	19,35	23,76	28,73	34,22	40,24	46,76	53,74
$m_{y,m}$	9,72	11,20	15,55	22,11	31,53	44,06	63,94	90,71	128,43	181,82	256,82	363,36	515,11	732,42	
$m_{y,max}$	9,72	11,11	15,38	21,36	29,03	38,58	49,61	61,83	76,33	92,36	110,76	131,00	151,93	174,41	
$y/l_y$	$= 0,5$	0,48	0,45	0,42	0,37	0,32	0,29	0,25	0,23	0,21	0,20	0,18	0,17	0,15	
$q_{x,rm}$	$\approx$	0,91	0,97	1,08	1,19	1,32	1,47	1,62	1,79	1,96	2,15	2,34	2,53	2,73	2,93
$q_{x,ere}$	$\approx$	0,07	0,11	0,20	0,34	0,65	0,82	1,12	1,45	1,76	2,06	2,32	2,56	2,70	3,00
$q_{y,m}$	$p \cdot l_y$	1,44	1,55	1,83	2,17	2,54	2,94	3,34	3,75	4,16	4,58	5,00	5,40	5,81	6,21
$q_{y,trm}$	$\approx$	1,05	1,12	1,31	1,54	1,81	2,08	2,37	2,66	2,95	3,25	3,54	3,84	4,13	4,42
$f_{max}$	$\frac{p \cdot l_y^4}{E \cdot d^3}$	3,62	2,19	0,927	0,444	0,233	0,131	0,078	0,049	0,032	0,022	0,016	0,011	0,008	0,006

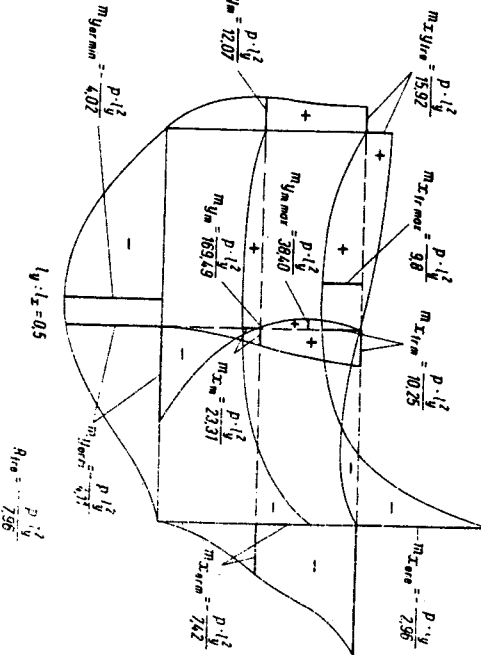
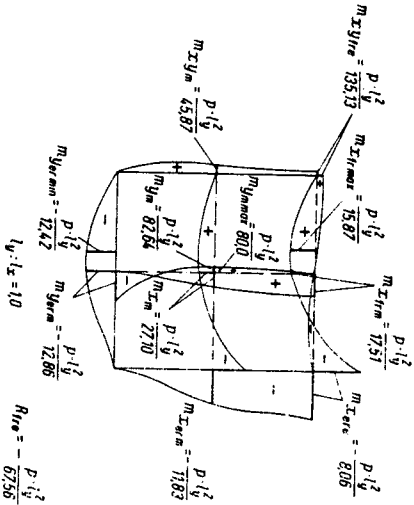
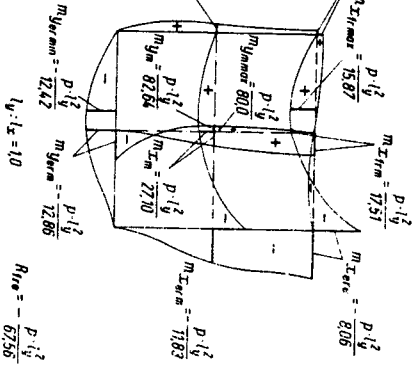


جدول ۲۶ دال با دو لبه گیردار و یک لبه ساده تحت بار گسترده یکنراخت

$I_y : I_z$	0,25	0,3	0,4	0,5	0,6	0,7	0,8	0,9	1,0	1,1	1,2	1,3	1,4	1,5
$m_{x_{erm}}$	6,76	6,88	7,06	7,42	7,94	8,05	9,53	10,60	11,83	13,23	14,79	16,52	18,40	20,45
$m_{x_{ere}}$	2,11	2,20	2,50	2,06	3,60	4,43	5,45	6,66	8,06	9,66	11,44	13,40	15,53	17,84
$m_{z_m}$	70,06	45,66	28,40	23,02	21,31	23,12	23,25	24,93	27,10	29,67	32,57	35,84	39,37	48,29
$m_{x_{erm}}$	22,97	16,05	11,31	10,25	10,52	11,52	13,07	15,08	17,51	20,36	23,64	27,24	31,25	35,71
$m_{x_{er} \max}$	14,08	12,98	10,86	9,80	10,63	12,04	13,69	15,87	18,51	21,27	24,39	27,77	31,25	
$x/l_y$	-0,15	0,22	0,34	0,38	0,38	0,38	0,38	0,38	0,38	0,38	0,38	0,38	0,38	0,38
$m_{y_{erm}}$	-	2,33	2,56	3,20	4,11	5,28	6,74	8,48	10,53	12,86	15,47	18,85	21,51	24,93
$m_{y_{er} \min}$	-	2,33	2,56	3,16	4,02	5,14	6,53	8,20	10,18	12,42	14,97	17,77	20,62	24,13
$m_{y_m}$	-14,01	-20,53	-72,09	169,49	68,96	58,92	61,34	69,44	82,64	100,00	123,45	158,84	196,07	243,90
$m_{y_{er} \max}$	133,83	76,92	43,47	38,40	40,00	43,47	54,05	67,56	80,00	100,00	120,46	140,84	166,66	200,00
$y/l_y$	-0,9	0,8	0,78	0,74	0,70	0,66	0,60	0,58	0,52	0,49	0,45	0,41	0,40	0,40
$m_{z_{erm}}$	8,56	8,73	9,05	12,07	15,23	19,84	26,10	34,60	45,87	60,60	80,00	105,26	138,88	181,81
$m_{z_{ere}}$	8,92	9,45	11,88	15,92	23,14	34,96	54,34	85,47	135,13	217,39	344,82	555,55	909,09	1426,57
$R_{te}$	4,46	4,72	5,84	7,96	11,57	17,48	27,17	42,73	67,56	108,69	172,41	277,77	454,54	714,26
$q_{z_{erm}}$	4,73	4,58	4,06	3,61	3,34	3,22	3,21	3,26	3,37	3,51	3,67	3,86	4,04	4,25
$q_{z_{ere}}$	5,46	5,00	8,06	8,27	2,92	2,77	2,75	2,61	2,92	3,06	3,24	3,44	3,65	3,88
$q_{te}$	2,95	2,92	2,77	2,64	2,56	2,67	2,70	2,95	3,13	3,34	3,56	3,80	4,03	
$q_{z_{erm}}$	2,31	2,25	2,08	1,96	1,83	1,80	1,80	1,85	1,91	2,00	2,10	2,22	2,34	2,47
$q_{z_{ere}}$	0,169	0,173	0,212	0,275	0,366	0,491	0,652	0,847	1,07	1,31	1,55	1,79	2,02	2,73
$q_{te}$	0,976	0,975	1,01	1,09	1,20	1,33	1,49	1,65	1,83	2,00	2,18	2,36	2,56	2,78
$f_{rm}$	$\frac{p \cdot l_y^4}{E \cdot d^3}$	1,14	0,966	0,657	0,431	0,281	0,184	0,122	0,083	0,058	0,041	0,029	0,022	0,012



$$m_{x_{erm}} = m_{zero}$$



$$R_{te} = -\frac{p \cdot l_y^2}{7,95}$$

$$m_{x_{erm}} = -\frac{p \cdot l_y^2}{7,42}$$

$$m_{y_{er} \min} = -\frac{p \cdot l_y^2}{12,07}$$

$$m_{x_{ere}} = -\frac{p \cdot l_y^2}{15,92}$$

$$m_{y_{er} \max} = -\frac{p \cdot l_y^2}{2,95}$$

$$m_{x_{te}} = -\frac{p \cdot l_y^2}{10,25}$$

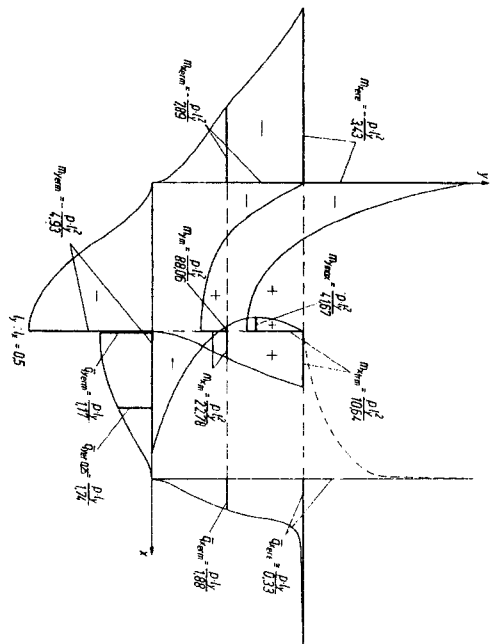
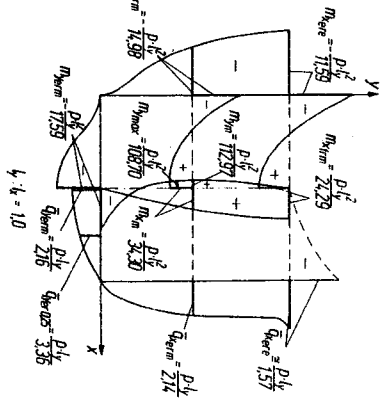
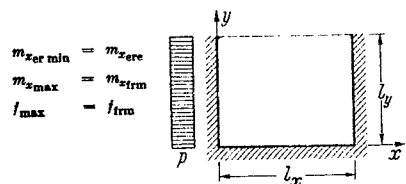
$$m_{y_{te}} = -\frac{p \cdot l_y^2}{22,31}$$

$$m_{x_{en}} = -\frac{p \cdot l_y^2}{7,42}$$

$$m_{y_{en}} = -\frac{p \cdot l_y^2}{2,95}$$

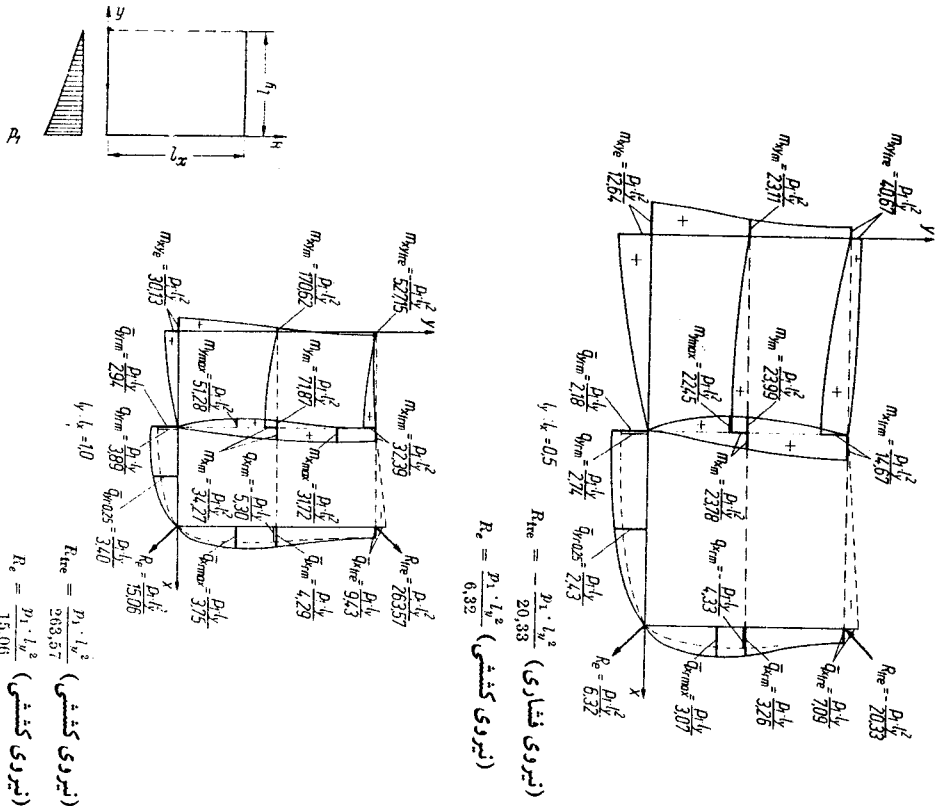
جدول ۲۷ دال با سه لبه گیردار تحت بار گسترده یکنواخت

$l_y : l_x$	0,25	0,3	0,4	0,5	0,6	0,7	0,8	0,9	1,0	1,1	1,2	1,3	1,4	1,5
$m_{x_{erm}}$	—	6,79	6,89	7,26	7,89	8,79	13,98	11,41	13,08	14,98	17,12	19,50	22,13	25,03
$m_{x_{ere}}$	—	2,15	2,27	2,71	3,43	4,45	15,77	7,41	9,35	11,59	14,11	16,90	19,94	23,22
$m_{x_m}$	—	57,08	37,91	25,43	22,78	23,16	24,92	27,49	30,65	34,30	38,42	43,01	48,06	53,61
$m_{z_{erm}}$	—	19,24	13,91	10,69	10,64	11,87	13,94	16,73	20,18	24,29	29,02	34,35	40,26	46,71
$m_{z_{erm}}$	$p \cdot l_y^2 :$	2,41	2,71	3,61	4,93	6,66	8,81	11,34	14,29	17,59	21,26	25,28	29,66	34,39
$m_{y_{erm}}$	—	-16,07	-26,67	-287,52	88,06	62,86	63,84	73,38	89,55	112,97	145,48	189,93	250,44	332,89
$m_{y_m}$	—	104,17	62,46	43,24	41,67	48,00	58,45	72,73	89,55	108,70	131,53	156,52	183,69	213,04
$m_{y_{max}}$	—	$y/l_y$	0,88	0,8	0,75	0,7	0,65	0,6	0,55	0,5	0,45	0,4	0,35	0,32
$\bar{q}_{x_{erm}}$	—	2,29	2,21	2,02	1,88	1,83	1,85	1,92	2,02	2,14	2,28	2,43	2,60	2,77
$\bar{q}_{x_{ere}}$	$\approx p \cdot l_y :$	0,16	0,17	0,23	0,33	0,47	0,68	0,94	1,24	1,57	1,89	2,20	2,48	2,73
$\bar{q}_{y_{erm}}$	—	0,97	0,98	1,05	1,17	1,34	1,53	1,73	1,94	2,16	2,38	2,59	2,81	3,03
$f_{trm}$	$\frac{p \cdot l_y^4}{E \cdot d^3} :$	1,081	0,884	0,548	0,327	0,195	0,118	0,074	0,048	0,032	0,022	0,016	0,011	0,008
														0,006



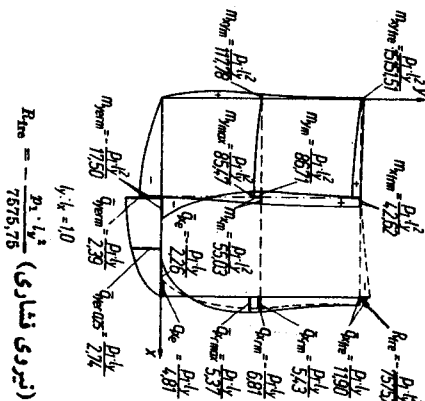
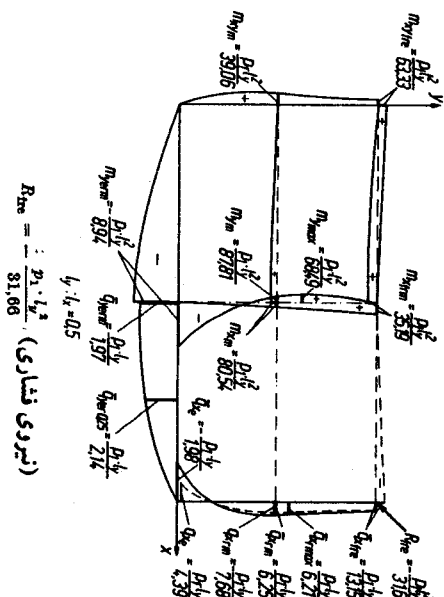
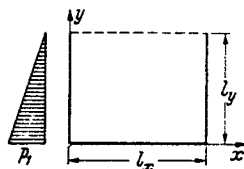
جدول ۲۸ دال با سه لبه تحت بار گسترده مثلثی

$l_y : l_z$	0.25	0.3	0.4	0.5	0.6	0.7	0.8	0.9	1.0	1.1	1.2	1.3	1.4	1.5	
$m_{x_m}$	23.50	23.24	23.17	23.78	24.99	26.71	28.87	31.40	34.27	37.44	40.89	44.62	48.61	52.87	
$m_{z_{frm}}$	12.07	12.29	13.17	14.67	16.79	19.56	23.03	27.28	32.39	38.46	45.62	53.05	63.61	74.69	
$m_{x_{max}}$	12.07	12.29	13.17	14.67	16.79	19.56	23.03	27.28	31.72	35.91	40.13	44.47	48.61	52.87	
$y/l_y$	-1.0	1.0	1.0	1.0	1.0	1.0	1.0	1.0	0.8	0.65	0.6	0.55	0.5	0.5	
$m_{v_m}$	16.65	17.45	20.04	23.99	29.45	36.62	45.83	57.43	71.87	89.09	111.57	138.31	170.85	210.44	
$m_{y_{max}}$	16.22	16.89	19.13	22.45	26.67	31.61	37.63	43.78	51.28	60.50	70.24	79.82	89.91	100.90	
$m_{y_{min}}$	$p_1 \cdot l_y^2$ -0.4	0.4	0.4	0.4	0.35	0.32	0.3	0.28	0.25	0.23	0.22	0.2	0.19	0.18	
$m_{v_{min}}$	6.41	7.46	9.97	12.64	15.54	18.74	22.24	26.04	30.13	34.49	39.10	43.96	49.08	54.45	
$m_{z_{sym}}$	7.90	10.10	15.57	23.11	33.81	49.37	72.74	109.37	170.62	284.50	544.37	1557.63	-34482.76	-1273.88	
$m_{z_{vte}}$	9.43	12.76	22.68	40.67	77.29	168.38	558.97	-1677.85	-527.15	-394.32	-359.97	-358.55	-374.25	-401.61	
$R_e$	3.20	3.73	4.98	6.32	7.77	9.37	11.12	13.02	15.06	17.24	19.55	21.98	24.54	27.22	
$R_{tre}$	-4.71	-6.38	-11.74	-20.33	-38.64	-84.10	-279.48	888.92	263.57	197.16	179.08	179.27	187.12	200.81	
$q_{z_{rm}}$	±	4.20	4.21	4.27	4.33	4.40	4.60	4.80	5.05	5.30	5.58	5.88	6.17	6.49	6.80
$q_{z_{sym}}$		3.14	3.15	3.18	3.26	3.38	3.55	3.77	4.01	4.29	4.58	4.87	5.20	5.55	5.88
$\bar{q}_{x_{tre}}$	$p_1 \cdot l_y$	7.35	7.19	7.00	7.09	7.29	7.63	8.06	8.69	9.43	10.30	11.23	12.34	13.51	14.92
$q_{v_{rm}}$		2.12	2.15	2.57	2.74	2.94	3.16	3.40	3.64	3.89	4.14	4.40	4.65	4.90	5.15
$\bar{q}_{y_{rm}}$		2.00	2.02	2.08	2.18	2.30	2.45	2.61	2.77	2.94	3.10	3.26	3.43	3.61	3.77
$f_{max}$	$\frac{p_1 \cdot l_y^2}{E \cdot d^2}$	1.83	1.22	0.618	0.348	0.208	0.130	0.084	0.056	0.040	0.029	0.021	0.017	0.013	0.011



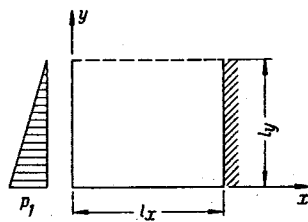
جدول ۲۹ دال با یک لبه گیردار و دو لبه ساده تحت بار گسترده مثلثی

$l_y : l_x$	0,25	0,3	0,4	0,5	0,6	0,7	0,8	0,9	1,0	1,1	1,2	1,3	1,4	1,5
$m_{x_m}$	252,02	184,43	109,89	80,54	60,00	50,21	55,90	54,87	55,08	55,29	55,20	60,66	63,60	66,98
$m_{x_{fim}}$	94,00	65,03	42,79	35,10	32,72	32,02	34,74	37,87	42,62	47,55	54,16	62,02	71,23	81,98
$m_{x_{max}}$	94,69	65,93	42,79	35,10	32,72	32,92	34,74	37,87	42,62	47,55	54,16		65,59	6,6
$y/l_y = 1,0$	1,0	1,0	1,0	1,0	1,0	1,0	1,0	1,0	1,0	1,0	1,0			
$m_{y_{erm}}$	6,59	6,94	7,82	8,94	10,25	11,74	13,16	15,37	17,50	19,75	22,18	24,79	27,53	30,47
$m_{y_m}$	-114,26	-299,04	175,04	87,81	71,44	68,28	70,92	77,27	86,71	99,19	114,86	134,16	157,55	185,04
$m_{y_{max}}$	$p_1 \cdot l_y^2$			68,49					85,47				144,92	
$y/l_y$				= 0,62					$y/l_y$				$y/l_y = 0,35$	
$m_{y_{min}}$													1607,71	
$m_{xym}$	$\pm$	30,41	31,57	34,29	39,06	46,49	56,87	70,70	90,85	117,78	157,18	215,47	306,18	425,35
$m_{xyfim}$	$\pm$	36,98	39,11	47,25	63,33	90,06	142,57	257,36	017,66	15151,51	-1121,07	-677,50	-559,59	-524,10
$R_{fre}$	-	-18,49	-19,55	-23,62	-31,66	-45,03	-71,28	-128,93	-308,83	-7575,71	560,53	338,75	270,79	262,05
$q_{x_m}$	$\pm$	8,40	8,40	8,13	7,68	7,29	7,04	6,34	6,80	6,81	6,89	6,99	7,19	7,35
$q_{x_{fim}}$		7,35	7,24	6,75	6,25	5,81	5,55	5,40	5,37	5,43	5,52	5,68	5,88	6,09
$q_{x_{max}}$	$p_1 \cdot l_y$	16,94	15,87	14,28	13,15	12,19	11,62	11,10	11,62	11,90	12,50	13,15	14,08	15,15
$q_{y_{erm}}$		1,97	1,96	1,94	1,97	2,02	2,09	2,18	2,28	2,39	2,50	2,62	2,73	2,80
$f_{max}$	$\frac{p_1 \cdot l_y^2}{E \cdot d^2}$	0,821	0,283	0,211	0,158	0,110	0,079	0,067	0,041	0,030	0,022	0,017	0,013	0,011
													0,008	



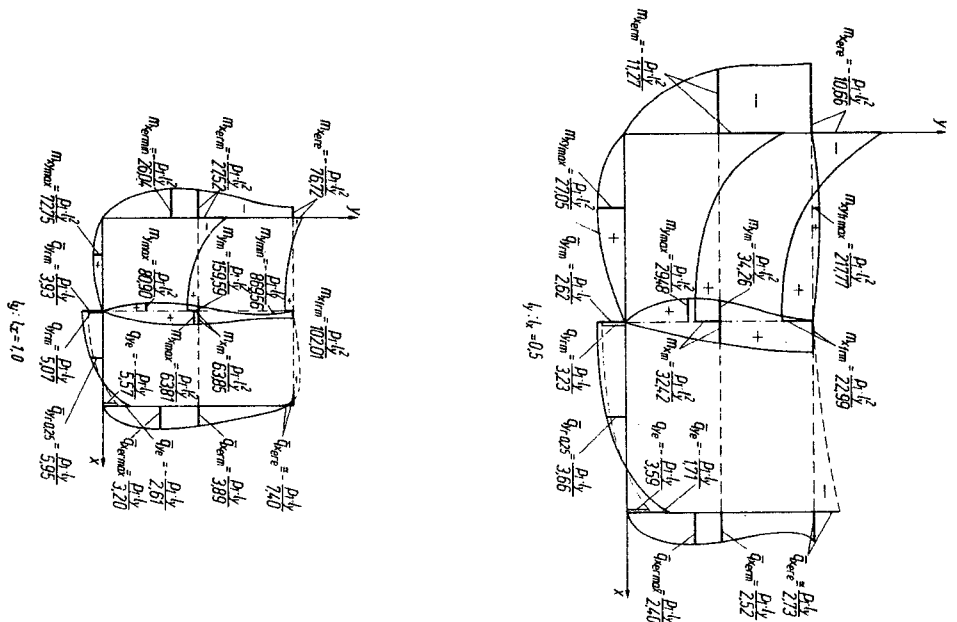
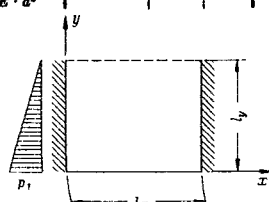
جدول ۳۰ دال با یک لبه گیردار و دو لبه ساده تحت بار گسترده مثلثی

$l_y : l_x$	0,25	0,3	0,4	0,5	0,6	0,7	0,8	0,9	1,0	1,1	1,2	1,3	1,4	1,5
$m_{x_{\text{erm}}}$	5,27	6,16	7,89	9,64	11,53	18,60	15,91	18,46	21,27	24,85	27,76	31,38	35,34	39,62
$m_{x_{\text{ero}}}$	2,66	3,31	5,17	7,72	11,18	15,82	21,91	20,73	20,58	51,70	66,34	88,71	108,98	127,31
$m_{x_{\text{er min}}}$	2,58	3,31	5,17	7,72	11,18	18,49	15,80	18,40	20,88	22,58	26,64	29,28	32,39	35,43
$y/l_y = 1,0$	1,0	1,0	1,0	1,0	1,0	0,53	0,49	0,45	0,42	0,39	0,37	0,35	0,34	0,33
$m_{x_{\text{em}}}$	23,80	24,18	25,88	26,57	31,95	35,89	40,38	45,22	50,00	56,47	62,96	69,80	77,80	85,40
$m_{x_{\text{max}}}$	12,50	18,19	15,44	18,88	23,67	30,05	37,20	45,78	50,25	56,27	62,74	69,54	75,52	82,26
$A/l_y = 1,0$	1,0	1,0	1,0	1,0	1,0	1,0	0,77	0,68	0,55	0,51	0,48	0,45	0,43	0,41
$m_{x_{\text{frm}}}$	12,50	18,19	15,44	18,88	23,67	30,05	36,51	45,92	62,16	78,51	98,41	122,29	150,68	188,65
$m_{x_{\text{el max}}}$	12,50	11,68	14,93	17,98	22,92	28,99	36,06	44,50	54,84	66,86	81,58	100,00	122,50	158,58
$z/l_z = 0,5$	0,47	0,44	0,42	0,40	0,39	0,39	0,38	0,38	0,38	0,38	0,38	0,38	0,38	0,38
$m_{y_{\text{m}}}$	$p_1 \cdot \frac{l_y^4}{E \cdot d^3}$	17,53	18,95	23,12	29,38	37,54	48,70	63,72	88,87	106,11	142,68	186,50	248,61	317,61
$m_{y_{\text{max}}}$		16,98	18,18	21,62	26,81	31,71	38,67	46,54	55,10	65,57	77,56	90,56	104,32	119,51
$y/l_y = 0,4$	0,39	0,37	0,34	0,31	0,30	0,27	0,25	0,23	0,20	0,19	0,18	0,17		
$m_{y_{\text{min}}}$							6400,0	2514,8	1250,0	1008,8	900,0	889,4	980,0	1022,7
$y/l_y = 0,96$							0,94	0,92	0,90	0,89	0,89	0,88		
$m_{xy_e}$		7,10	8,41	11,71	15,42	19,56	24,12	28,08	34,39	40,05	46,07	52,45	59,22	66,39
$m_{xy_m}$		8,99	11,00	10,94	32,86	53,68	90,25	151,76	327,98	994,08	-3324,1	-894,4	-622,9	-588,0
$m_{xy_{\text{frt}}}$		11,05	15,78	32,34	72,38	212,89	11395,3	-426,9	-808,3	-288,2	-298,9	-821,7	-362,8	-416,3
$R_e$		8,55	4,20	5,85	7,71	9,78	12,06	14,54	17,19	20,02	23,08	26,32	29,61	33,19
$R_{\text{frt}}$		5,52	7,89	16,17	36,16	106,4	5697,6	-518,4	-151,6	-141,6	-146,9	-160,8	-181,4	-206,1
$q_{x_{\text{rm}}}$		4,20	4,23	4,32	4,48	4,71	5,00	5,81	5,98	6,00	6,45	6,89	7,35	7,75
$q_{x_{\text{rm}}}$	$p \cdot l_y$	3,14	3,16	3,24	3,39	3,68	3,92	4,28	4,60	5,00	5,43	5,88	6,36	6,84
$q_{x_{\text{frt}}}$		7,35	7,24	7,19	7,46	8,00	8,77	9,70	10,98	12,50	14,08	16,12	18,18	20,88
$q_{x_{\text{erm}}}$		2,02	2,11	2,25	2,38	2,58	2,71	2,91	3,14	3,37	3,68	3,89	4,16	4,46
$q_{x_{\text{ero}}}$		0,241	0,346	0,683	1,38	3,18	10,10	-62,5	-18,88	-10,52	-10,00	-10,41	-11,49	-12,98
$q_{x_{\text{er min}}}$	$p \cdot l_y$	2,47	2,55	2,76	3,00	3,81	3,82	3,98	4,25	4,56	4,90	5,28	5,65	5,88
$q_{x_{\text{rm}}}$		2,04	2,09	2,24	2,42	2,64	2,86	3,08	3,31	3,58	3,75	3,98	4,21	4,44
$f_{\text{max}}$	$\frac{p_1 \cdot l_y^4}{E \cdot d^3}$	1,48	0,936	0,427	0,217	0,118	0,067	0,042	0,028	0,020	0,015	0,011	0,008	0,007
														0,005



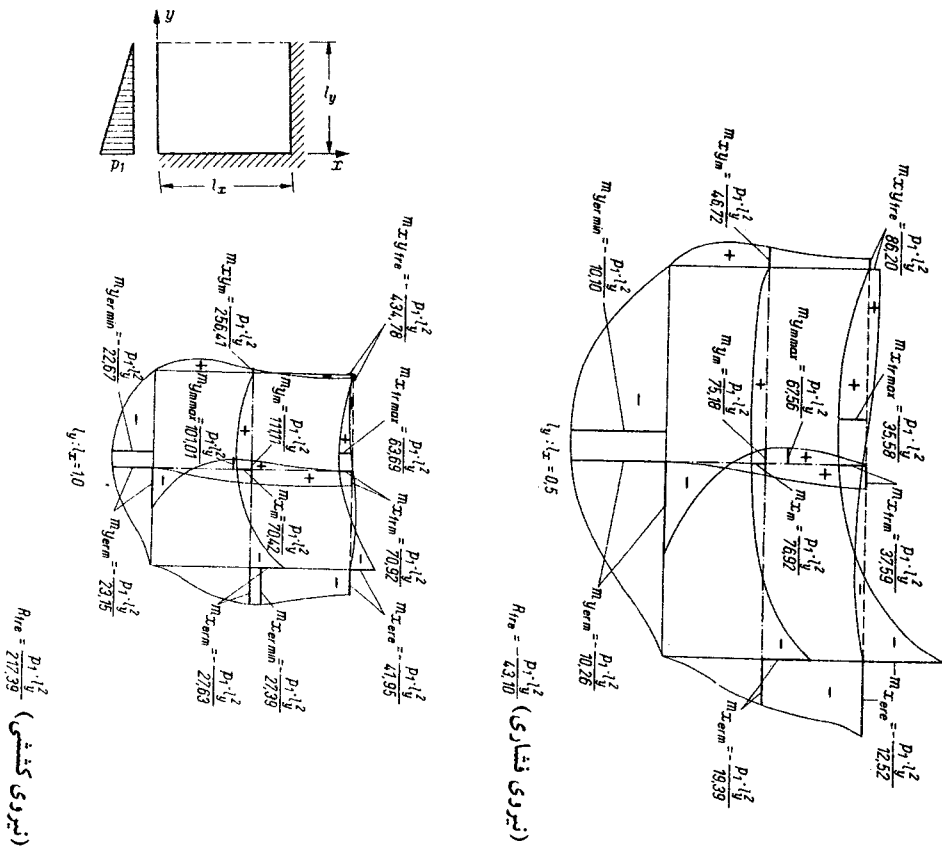
جدول ۳۱ دال با دو لبه گردان و یک لبه ساده تحت بار گستردگی مثنی

$t_y : t_x$	0,25	0,3	0,4	0,5	0,6	0,7	0,8	0,9	1,0	1,1	1,2	1,3	1,4	1,5	
$m_{x_{erm}}$	5,73	6,89	8,90	11,27	13,84	16,46	19,91	23,51	27,52	31,99	36,93	42,38	48,34	54,84	
$m_{x_{ere}}$	2,92	3,95	6,59	10,66	16,56	25,54	37,94	54,77	70,72	104,40	137,99	177,59	223,21	274,79	
$m_{x_{er\ min}}$	2,92 $y/l_y = 1,0$	3,95 1,0	6,59 1,0	10,66 0,53	13,74 0,48	16,44 0,44	19,63 0,40	22,75 0,37	26,04 0,35	29,36 0,34	33,10 0,33	37,06 0,32	41,17 0,31	45,03	
$m_{x_m}$	24,03	24,91	28,05	32,42	37,51	43,24	49,47	50,31	63,85	72,17	81,37	91,51	102,05	114,85	
$m_{x_{frm}}$	12,82	13,99	17,52	22,99	31,12	41,81	56,06	76,40	102,01	134,54	174,02	223,90	282,05	349,97	
$m_{x_{max}}$	$p_1 \cdot l_y^2$ $y/l_y = 1,0$	12,82 1,0	13,99 1,0	17,52 1,0	22,99 1,0	31,12 1,0	40,00 0,78	48,30 0,6	56,05 0,53	63,81 0,48	71,38 0,45	79,33 0,42	87,33 0,40	95,84 0,38	104,65 0,36
$m_{y_m}$	18,31	20,32	26,03	34,26	45,80	61,07	84,48	115,83	159,50	220,70	306,57	427,63	598,65	842,38	
$m_{y_{max}}$	$y/l_y = 0,4$	17,66 0,39	20,31 0,37	28,88 0,34	29,48 0,31	36,54 0,28	45,11 0,26	55,41 0,24	67,21 0,22	80,90 0,2	95,05 0,19	112,50 0,18	131,41 0,17	151,93 0,15	
$m_{y_{min}}$	-	-	-	-	-	-	4900,00	1729,72	1024,02	869,56	864,28	929,03	1056,25	1120,00	1285,71
$\bar{q}_{z_{erm}}$	2,07	2,17	2,34	2,52	2,73	2,99	3,26	3,57	3,89	4,23	4,58	4,97	5,34	5,74	
$\bar{q}_{z_{ere}}$	0,28	0,42	1,00	2,73	16,39	-12,82	-7,57	-6,09	-7,40	-8,40	-9,90	-11,90	-14,49	-17,54	
$\bar{q}_{x_{erm}}$	2,51	2,68	2,91	3,28	3,58	3,95	4,31	4,69	5,07	5,46	5,84	6,25	6,62	7,04	
$\bar{q}_{x_{frm}}$	2,07	2,15	2,36	2,62	2,88	3,1k	3,41	3,67	3,93	4,20	4,48	4,76	5,02	5,31	
$f_{max}$	$\frac{p_1 \cdot l_y^2}{E \cdot d^2}$	1,19	0,720	0,297	0,137	0,068	0,039	0,026	0,018	0,013	0,009	0,007	0,005	0,004	0,003



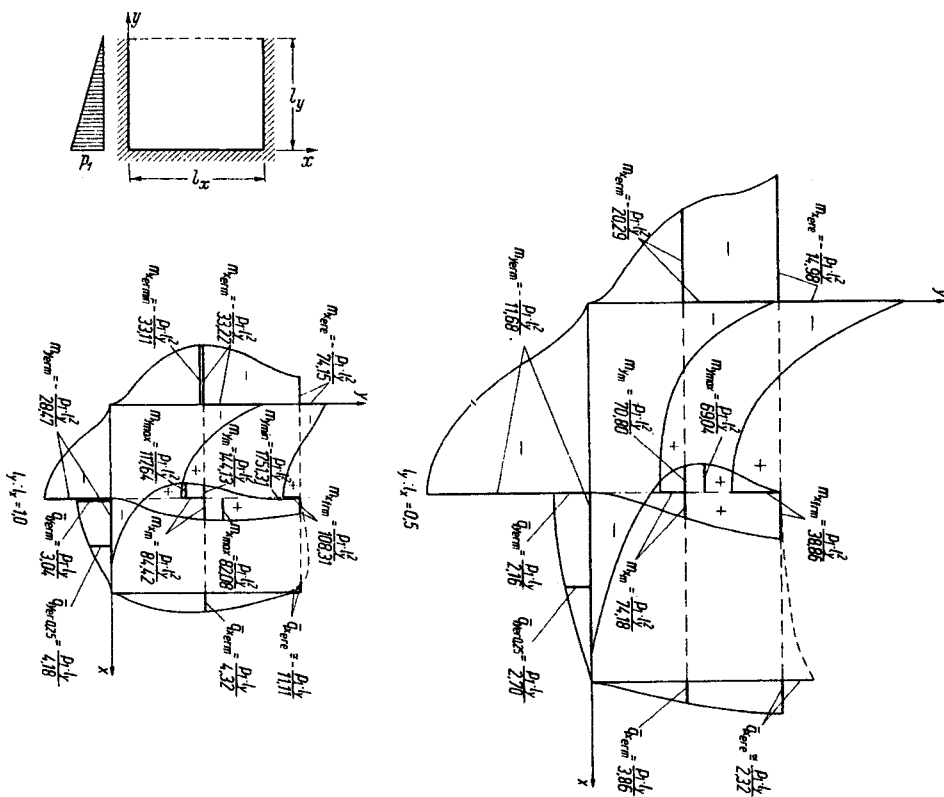
جدول ۳۲ دال با دو لبه گیردار و یک لبه ساده تحت بار گسترده مثلثی

$l_y : l_x$	0,25	0,3	0,4	0,5	0,6	0,7	0,8	0,9	1,0	1,1	1,2	1,3	1,4	1,5	
$m_{x,erm}$	-	18,18	18,32	18,74	19,39	20,35	21,68	23,32	25,32	27,63	30,25	33,17	36,39	39,92	
$m_{x,reo}$	-	8,70	9,08	10,39	12,52	15,63	19,88	25,52	32,79	41,95	53,25	66,94	83,22	102,28	
$m_{x,ermin}$	-	8,70	9,08	10,39	12,52	15,63	19,88	22,45	25,07	27,39	30,25	33,10	36,34	39,91	
$m_{x,m}$	$y/l_y = 1,0$	1,0	1,0	1,0	1,0	1,0	0,65	0,58	0,55	0,52	0,49	0,48	0,48	0,47	
$m_{x,erm}$	-	263,15	166,66	98,02	76,92	68,49	65,78	67,56	70,42	74,07	78,74	84,03	90,09	97,08	
$m_{x,ermax}$	-	86,95	59,88	41,68	37,50	38,61	42,91	49,50	58,82	70,92	86,20	105,26	126,68	153,84	
$m_{x,ermin}$	-	51,28	47,61	39,91	35,55	38,10	39,68	45,45	53,19	63,09	76,02	92,59	111,11	133,33	
$m_{y,erm}$	$x/l_x = 0,15$	0,21	0,32	0,38	0,39	0,40	0,40	0,40	0,40	0,40	0,40	0,40	0,40	0,40	
$m_{y,ermin}$	-	6,75	7,24	8,56	10,28	12,30	14,03	17,23	20,07	23,15	26,48	30,00	33,77	37,77	
$m_{y,m}$	-	6,73	7,22	8,48	10,10	12,08	14,32	16,88	18,66	22,67	25,91	29,26	32,81	36,91	
$m_{y,erm}$	-	-163,93	-5000	113,63	75,18	68,96	71,42	80,00	92,59	111,11	133,33	163,93	204,08	250,00	
$m_{y,ermax}$	-	181,81	112,64	76,92	67,58	66,66	71,42	78,74	89,28	101,01	114,94	131,57	161,61	169,49	
$m_{z,erm}$	$y/l_y = 0,75$	0,68	0,64	0,60	0,55	0,50	0,47	0,44	0,40	0,38	0,36	0,34	0,33	0,32	
$m_{z,m}$	-	32,38	33,33	38,02	46,72	60,80	81,30	114,04	166,68	250,41	416,68	833,33	2500	-6000	
$m_{z,ermax}$	-	39,21	42,55	55,86	86,20	153,84	400,0	1000	-666,66	-434,78	-384,61	-384,61	-400,00	-454,78	
$R_{tre}$	-	19,60	21,27	27,93	43,10	76,92	200,0	500,0	-333,83	-217,39	-192,30	-192,30	-200,00	-217,39	
$q_{x,rm}$	-	8,33	8,28	7,87	7,40	7,09	6,94	6,84	7,04	7,19	7,46	7,75	8,06	8,40	
$\dot{q}_{x,rm}$	-	7,29	7,09	6,45	5,91	5,58	5,46	5,49	5,61	5,81	6,06	6,41	6,75	7,14	
$\ddot{q}_{x,rm}$	-	16,66	15,62	13,88	12,65	12,04	12,04	12,5	13,15	14,28	15,82	17,54	19,60	21,73	
$\dot{q}_{x,ere}$	-	4,38	4,31	4,09	3,92	3,80	3,75	3,78	3,86	3,98	4,13	4,31	4,52	4,73	
$\ddot{q}_{x,ere}$	-	0,78	0,86	1,13	1,64	2,63	4,83	11,23	71,42	-33,88	-18,86	-15,87	-15,82	-16,18	
$\dot{q}_{y,erm}$	-	1,97	1,66	2,00	2,07	2,18	2,32	2,46	2,61	2,78	2,93	3,12	3,25	3,42	
$f_{m,max}$	$p_1 \cdot l_y^4$	$E \cdot d^3$	0,805	0,259	0,177	0,116	0,075	0,048	0,031	0,022	0,015	0,011	0,009	0,007	0,006



جدول ۳۳ دال با سه لبه گیردار تحت بار گسترده مثلثی

$l_y : l_x$	0,25	0,3	0,4	0,5	0,6	0,7	0,8	0,9	1,0	1,1	1,2	1,3	1,4	1,5
$m_{\text{erm}}$	-	18,24	18,44	19,12	20,29	21,96	24,12	26,73	29,76	33,22	37,13	41,49	46,33	51,68
$m_{\text{zero}}$	-	8,84	9,40	11,44	14,98	20,43	28,35	39,43	54,44	74,15	99,18	120,02	166,56	209,03
$m_{\text{xerm}}$	-	8,84	9,40	11,44	14,98	20,43	23,50	26,56	29,76	33,11	37,00	41,14	45,36	49,50
$y/l_y = 1,0$	1,0	1,0	1,0	1,0	1,0	0,3	0,55	0,5	0,47	0,45	0,43	0,4	0,38	0,36
$m_{\text{zm}}$	-	215,52	138,26	87,67	74,18	71,01	71,37	74,79	79,06	84,42	90,84	98,29	106,80	116,40
$m_{\text{zrm}}$	-	71,61	51,25	38,99	38,86	43,94	53,08	60,39	84,52	108,31	138,85	177,09	224,06	280,50
$m_{\text{xmax}}$	-	71,51	51,25	38,99	38,86	43,94	53,08	64,13	73,74	82,08	90,30	98,29	105,63	115,30
$p_1 \cdot l_y^2 : y/l_y = 1,0$	1,0	1,0	1,0	1,0	1,0	1,0	0,8	0,7	0,6	0,55	0,5	0,47	0,45	0,42
$m_{\text{verm}}$	-	6,92	7,56	9,35	11,68	14,43	17,49	20,86	24,25	28,47	32,75	37,37	42,37	47,68
$m_{\text{zrm}}$	-	-243,19	418,59	91,32	70,80	70,89	79,16	93,70	114,88	144,13	183,85	237,53	309,60	407,83
$m_{\text{ymax}}$	-	156,25	103,44	72,73	69,04	70,89	79,03	86,48	102,52	117,64	137,49	160,03	185,70	213,40
$m_{\text{ymin}}$	-	-	-	-	0,7	0,65	0,6	0,5	0,47	0,45	0,4	0,35	0,32	0,31
$q_{\text{zerm}}$	-	4,38	4,25	4,01	3,86	3,80	3,84	3,95	4,11	4,32	4,58	4,85	5,18	5,49
$q_{\text{xerm}}$	-	0,80	0,91	1,34	2,32	5,05	20,00	-29,41	-13,33	-11,11	-10,98	-11,90	-13,51	-15,62
$q_{\text{verm}}$	-	1,07	1,97	2,04	2,16	2,33	2,50	2,68	2,86	3,04	3,24	3,43	3,63	3,84
$l_{\text{max}}$	=	$\frac{p_1 \cdot l_y^4}{E \cdot q^2}$	0,288	0,235	0,146	0,086	0,049	0,029	0,019	0,013	0,010	0,007	0,006	0,004
														0,003



## واژه‌نامه انگلیسی به فارسی

### A

Anchorage

گیره‌ها

### H

Hoppe

قیف مخروطی

### B

Bar

میلگرد

### J

Janssen's method

روش جنسن

Blockouts

حفره‌ای

Bundlling

رشته کردن

### O

Bunker

بونکر

Optical plummet

شاقول نوری

### P

### C

Coupler

(وسایلی برای وصله میلگردهای پیش‌تنیدگی)

Pilaster

ستون‌های یکپارچه با دیوار

Pilasters

دیواره سیلو

Pullup

توقف

### D

Duct

غلاف

### S

Sheating

قالب بدنه

Silo

سیلو

### F

Funnel

جریان قیفی

Skid

طره‌ای، گیره‌ای

Stave

حلقوی

<b>S</b> trand	کابل	<b>W</b>	
Stressing points	نیروهای پیش تنشیگی	<b>Wale</b>	پشت بند های افقی
		<b>Wire</b>	مفتول
<b>T</b>		<b>Wrapped system</b>	سیستم دور پیچ
Tendon system	سیستم تاندون	<b>Wrapping</b>	نوار پیچی
<b>U</b>		<b>Y</b>	
Unbounded	تاندون های نچسبیده	<b>Yoke</b>	بوغ
Unstaggered	مرحله های غیر مرحله ای		

## واژه‌نامه فارسی به انگلیسی

ب	ب	ب
Bundlling	رشته کردن	Bunker
Janssen's method	روش جنسن	
پ	پ	پ
Pilaster	ستون‌های یکپارچه با دیوار	Wale
Tendon system	سیستم تاندون	پشت‌بندهای افقی
Wrapped system	سیستم دور پیچ	تاندون‌های نسبی
Silo	سیلو	توقف
ت	ت	ت
Optical plummet	شاقول نوری	Funnel
		جریان قیفی
ج	ج	ج
Skid	طره‌ای، گیره‌ای	Blockouts
		حفره‌ای
Duct	غلاف	Stave
		حلقوی
خ	خ	خ
Pilasters		دیواره سیلو

Bar	میلگرد	ق
	Sheating	قالب بدنه
ن	Hoppe	قیف مخروطی
Wrapping	نوار پیچی	ک
Stressing points	نیروهای پیش تنشیدگی	کابل
	Strand	
		و
Coupler	(وسایلی برای وصله میلگردهای پیش تنشیدگی)	گیره ها
Yoke	یوغ	م
	Unstaggered	مرحله های غیر مرحله ای
	Wire	مفتول

## نمايه

- بارگذاري، ۱۰۸  
بارهای قائم، ۱۰۸  
بازشوها با فواصل کم، ۱۰۱  
بازشوها در ناحیه بدون فشار داخلی، ۱۰۰  
بازشوها در ناحیه تحت فشار داخلی، ۱۰۰  
بازشوي ديوارها، ۱۳۵  
براي سيلو با مقطع چندضلعی، ۵۵  
براي سيلو با مقطع دائري، ۵۴  
براي سيلوها با مقطع مستطيلي، ۵۵  
برش و خمش نوارهای قائم به علت پسکشیدگی، ۱۳۸  
بزرگترین اندازه اسمی سنگدانه‌های درشت، ۲۹  
پاپير، ۱  
پایه‌های سيلو، ۸۹  
پوزولان‌ها، ۳۷  
پوشش، ۱۲۲  
تابش يك طرفه آفتاب، ۶۴  
تandون‌های چسبیده، ۱۳۲  
تandون‌های نچسبیده، ۱۳۳  
تأمين پرسنل فني، ۱۷  
تأمين ماشين‌آلات سنگين، ۱۷  
تأمين صالح ساختماني در محل، ۱۷  
تحليل، ۶۵  
تحليل دستي، ۶۵  
تحليل راياني‌اي، ۸۴  
تحليل و طراحی، ۶۵  
ترافيک منطقه، ۱۷  
تشكيل لايه‌های پودر و پوسته، ۱۴۳  
آب غيرآشاميدنی، در ساختن بتن، ۳۲  
آب مصرفی برای شست و شوی سنگدانه‌ها، ۳۲  
آثار دما، ۶۳  
آزمایش مقاومت فشاری قطعات پیش‌ساخته، ۱۲۷  
آزمایش‌های صالح، ۲۸  
آفات انبارداری، ۱۴۲  
اجزای قالب لغزende، ۱۰۵  
اختلاف بين سيلو و بونکر، ۴  
استفاده از مواد افزودنی در بتن، ۳۴  
افزایش رطوبت، ۱۴۳  
افزایش یا کاهش یکنواخت دما، ۶۴  
افزوردنی‌های شبهمیانی، ۳۸  
افزوردنی‌های شبیه‌سیمانی، ۳۵  
افزوردنی‌های معدنی، ۳۷  
افزوردنی‌های معدنی خشی و رنگدانه‌ها، ۳۷  
انبار کردن، نگهداري و کنترل فولاد، ۴۷  
انبار کردن و نگهداري صالح بتن، ۳۹  
انتخاب ضخامت پوسته، ۱۵۰  
انتخاب طرح معماري و سازه‌اي، ۱۹  
انتخاب نسبت‌های اختلاط بتن، ۳۲  
انتخاب و تأييد صالح، ۲۷  
اندازه‌گيري مواد افزوردنی، ۳۴  
انواع فولاد، ۴۲  
بار برف، ۵۸  
بار زنده و ماشين‌آلات، ۵۰  
بارگذاري، ۴۹  
ـ، دامنه  
ـ، بار مرده، ۴۹

- دما، ۱۴۲  
 رواداری‌های کار تمام شده، ۱۰۸  
 رواداری‌های نصب، ۱۲۳  
 روش آیین‌نامه شوروی، ۵  
 –، (برای سیلوهای گرد)، ۵  
 –، (برای سیلوهای مستطیل)، ۵  
 روش تراز کردن قالب، ۱۱۲  
 روش تولید، ۴۲  
 روش جنسن، ۵۰  
 روش دیشینگر، ۴  
 روش ریمبرت، ۵۰  
 سکون هوای، ۱۴۳  
 سنگدانه‌ها، ۲۹  
 سنگدانه‌های پولکی و سوزنی، ۳۰  
 سنگدانه‌های مصرفی در بتن، ۲۹  
 سهولت توزیع غلات، ۱۸  
 سهولت صادرات و واردات، ۱۸  
 سیستم پس‌کشیدگی، ۱۲۹  
 سیستم تاندون، ۱۳۰  
 سیستم حک، ۱۰۹  
 سیستم‌های دوربین، ۱۳۴  
 سیلوها با مقطع دایره، ۶۵  
 سیلوها با مقطع مریع مستطیل و چندضلعی، ۶۹  
 سیلوهای بتنی پس‌کشیده، ۱۲۹  
 سیلوهای پیش‌ساخته بتنی، ۱۱۷  
 سیمان، ۲۸  
 سیمان مصرفی در ساخت قطعات باربر، ۲۸  
 سیمان مصرفی در کارگاه، ۲۸  
 شالوده سیلو، ۸۱  
 شکل‌پذیری، ۴۳  
 شکل‌پذیری فولاد، ۴۶  
 تعداد سفره‌های میلگرد، ۹۹  
 تقسیم‌بندی سیلوها از نظر کاربری، ۲۰  
 تنش فشاری حداکثر بتن در پای جداره سیلو، ۹۲  
 توازن نمونه‌برداری، ۴۵  
 ثبت تنش‌های پیش‌تنبیگی، ۱۳۶  
 جاده‌های اصلی و راه‌های دسترسی، ۱۶  
 جداول دال‌های دوطرفه، ۱۶۶  
 جدول دال‌ها با چهار لبه متکی، ۱۶۸  
 جدول دال‌ها با سه لبه متکی، ۱۶۸  
 جزییات آرماتوربندی در گوشها و در محل  
 مقاطع، ۹۹  
 جزییات بازشوها، ۱۱۶  
 جزییات و استقرار آرماتورهای معمولی، ۱۳۵  
 جنسن، ۱  
 جوش‌پذیری، ۴۲  
 جوش‌پذیری فولاد، ۴۶  
 حداقل فاصله بین میلگردهای افقی، ۱۰۱  
 حداقل میلگردهای ارتعی، ۹۶  
 حداقل میلگردهای قائم، ۹۶  
 حفظ محیط زیست، ۱۹  
 حلقه‌های کششی، ۱۲۷  
 حمله حشرات، ۱۴۲  
 خرابکاری، ۱۴۴  
 خصوصیات ژئوتکنیکی ساختگاه، ۱۶  
 خمسم جدار به علت گرادیان حرارتی، ۶۹  
 خمسم داخل صفحه دیوارها، ۷۱  
 خمسم مقاطع بتن مسلح دایره با جدار نازک، ۹۳  
 درزهای اجرابی، ۱۰۲  
 دسترسی به آب، ۱۷  
 دسترسی به برق دائمی و خطوط مخابراتی، ۱۷  
 دسته کردن میلگردها، ۹۹

- قرارگیری آرماتور، ۱۰۲  
 قطر اسمی فولاد، ۴۳  
 قیف مخروطی، ۷۳  
 قیف هرمی، ۷۵  
 کف و قیف سیلو، ۷۲  
 کلرید کلسیم، ۳۶  
 کنترل عرض ترک، ۹۰  
 کنترل و بازرسی، ۳۹  
 گرادیان حرارتی، ۶۴  
 لغزش قالب، ۱۱۴  
 مالکیت زمین در محل سیلو، ۱۸  
 مثال طراحی سیلو، ۱۴۵  
 مجموعه تأسیسات ذخیره‌سازی، ۱۱  
 محاسبات نیروی زلزله، ۱۵۳  
 مدول الاستیستیت، ۴۶  
 مشخصات مکانیکی فولاد، ۴۴  
 مطالعات کلیماتولوژیکی منطقه، ۱۸  
 مطالعات هیدرولوژیکی منطقه، ۱۸  
 معرفی، ۱۴۱  
 معیارها و استانداردهای طراحی و اجرای سیلوهای بتونی در ایران، ۱۶  
 معیارها و استانداردهای مکانیکی سیلوهای بتونی در ایران، ۱۶  
 مکانیکی سیلوها، ۱۶  
 مواد افزودنی، ۳۴  
 مواد افزودنی تسریع‌کننده، ۳۶  
 مواد افزودنی حباب‌ساز، ۳۵  
 مواد افزودنی کاهنده آب، ۲۵  
 مواد افزودنی کندگیرکننده، ۳۵  
 مواد افزودنی متفرقه، ۳۸  
 مواد خمیری‌کننده و روان‌کننده، ۳۶
- شکل رویه، ۴۲  
 ضخامت حداقل در جداره سیلوهای گرد، ۹۱  
 ضرایب جزیی ایمنی، ۸۶  
 ضرایب و ترکیبات بار، ۸۵  
 ضریب انبساط حرارتی، ۴۶  
 ضوابط پذیرش میلگردها (با فولاد)، ۴۵  
 ضوابط عمومی قالب‌های لغزنهای، ۱۰۳  
 ضوابط نگهداری سیلوهای غلات، ۱۴۱  
 طراحی برای اثر توأم کشش محوری، ۸۷  
 طراحی برای اثر توأم لنگر خمشی، ۸۷  
 طراحی برای برش، ۹۰  
 طراحی برای خمث تنها، ۸۶  
 طراحی برای خمث ناشی از گرادیان حرارتی، ۹۴  
 طراحی برای کشش تنها، ۸۷  
 طراحی دیوار، ۱۲۳  
 طراحی شالوده، ۱۶۳  
 طراحی کف سیلو، ۱۶۱  
 طراحی میلگردهای حلقوی، ۱۴۹  
 طول وصله، ۱۰۱  
 عملکرد یا مؤثر بودن مواد افزودنی، ۳۴  
 عوامل جرقه‌زن، ۱۴۳  
 عوامل خطرساز در سیلو، ۱۴۱  
 غلافهای پس‌کشیدگی، ۱۳۴  
 فشار استاتیکی ناشی از مصالح، ۵۰  
 فشار باد، ۵۹  
 فشار جانبی، ۱۰۸  
 فشار مصالح در بونکرها، ۵۸  
 فشار مصالح در سیلو، ۵۰  
 فشار ناشی از مصالح ذخیره‌شده، ۵۰  
 فولادهای قائم در جدار سیلوها، ۷۲

۲۱۰ آیین‌نامه طراحی سیلوهای بتن آرمه

نمودار تنش - تغییر شکل نسبی،	۴۶	مواد زیان‌آور در سنگدانه‌ها،	۲۹
نیروی زلزله - روش استاتیکی معادل،	۶۱	مواد زیان‌آور در سنگدانه‌های درشت،	۲۹
- ، توزیع نیروی زلزله در ارتفاع،	۶۲	مواد زیان‌آور در سنگدانه‌های ریز،	۲۹
ویژگی‌های مصالح مصرفی،	۲۷	مهار میلگرد های تقویتی در اطراف بازشو،	۱۰۰
		نمای سطح بتن،	۱۰۵